

ANEXO 1

SECCIONES TRANSVERSALES DE LA MODELACIÓN HIDRÁULICA DE LAS QUEBRADAS SIN NOMBRES ASOCIADOS A LAS VÍAS Y LA LÍNEA DE PRESIÓN A IMPLEMENTAR EN LA VEREDA LA PLACETA, MAZOTES Y LOS CEDROS DE LA PCH COCORNÁ III, USANDO EL SOFTWARE HEC-RAS 4.1.0

DISEÑO

PRAMING

MEDELLIN

MAYO 2021

SECCIONES TRANSVERSALES DEL Q. VÍA CAPTACIÓN, CONDICIÓN ACTUAL

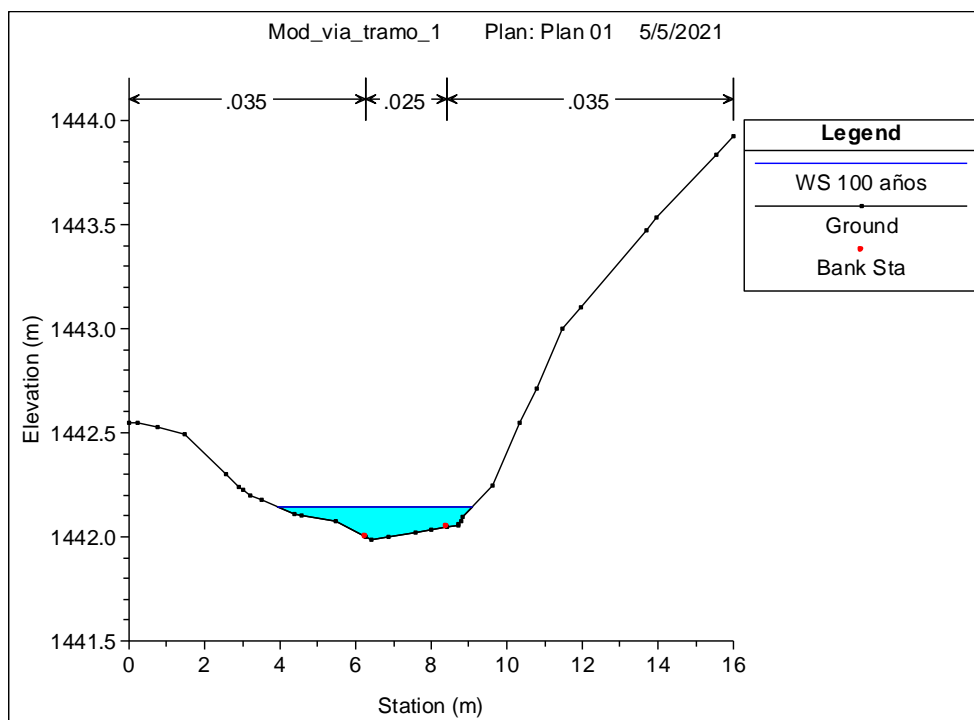


Figura 1. Sección 0+005.00, obtenida del programa HEC-RAS

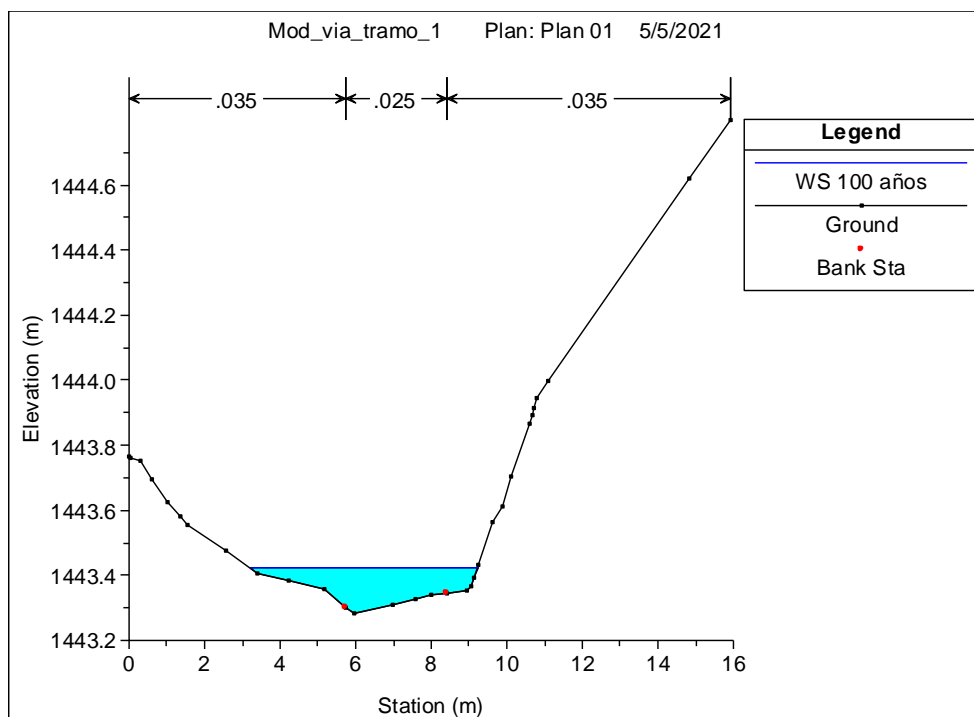


Figura 2. Sección 0+008.38, obtenida del programa HEC-RAS

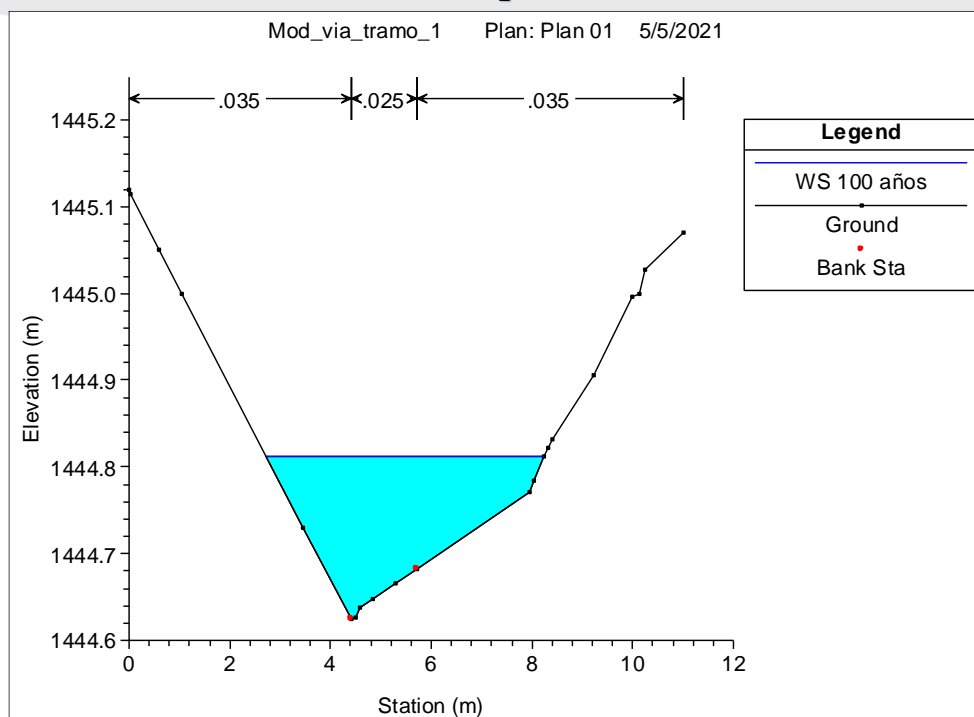


Figura 3. Sección 0+012.17, obtenida del programa HEC-RAS

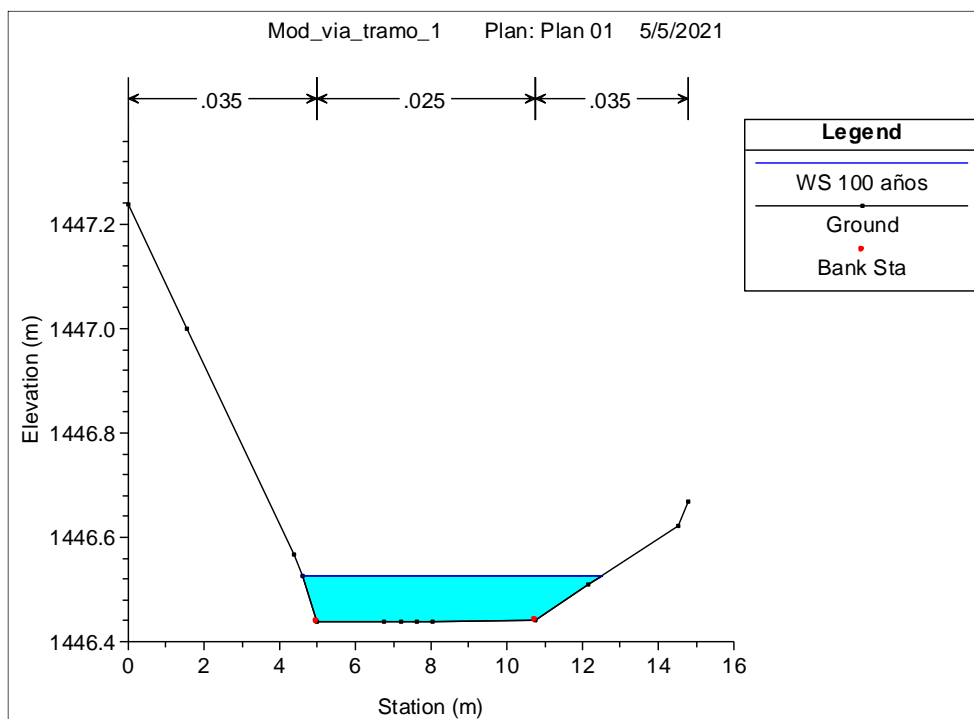


Figura 4. Sección 0+017.74, obtenida del programa HEC-RAS

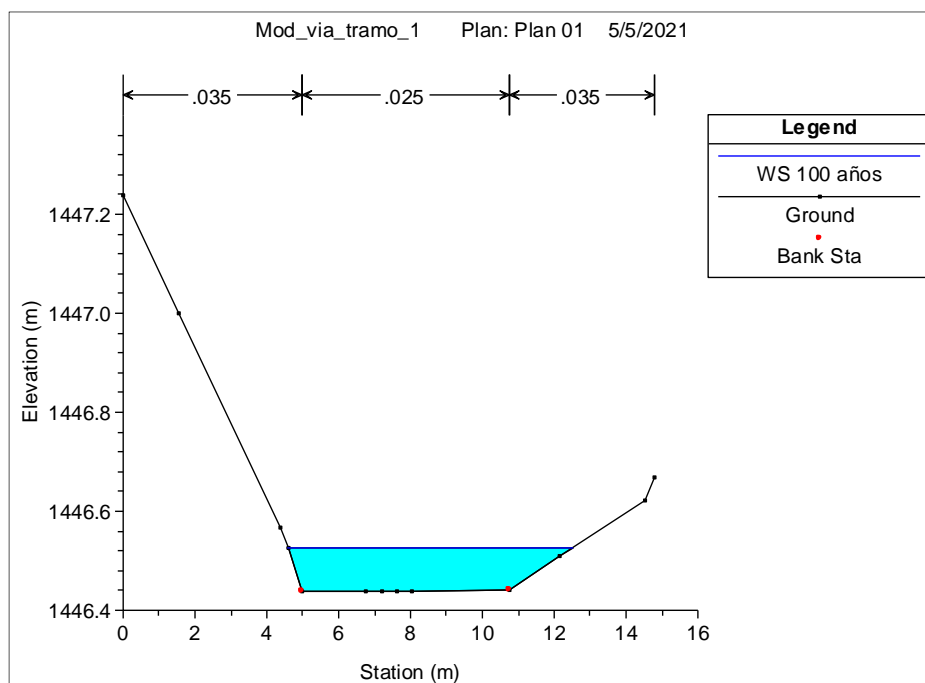


Figura 5. Sección 0+018.27, obtenida del programa HEC-RAS

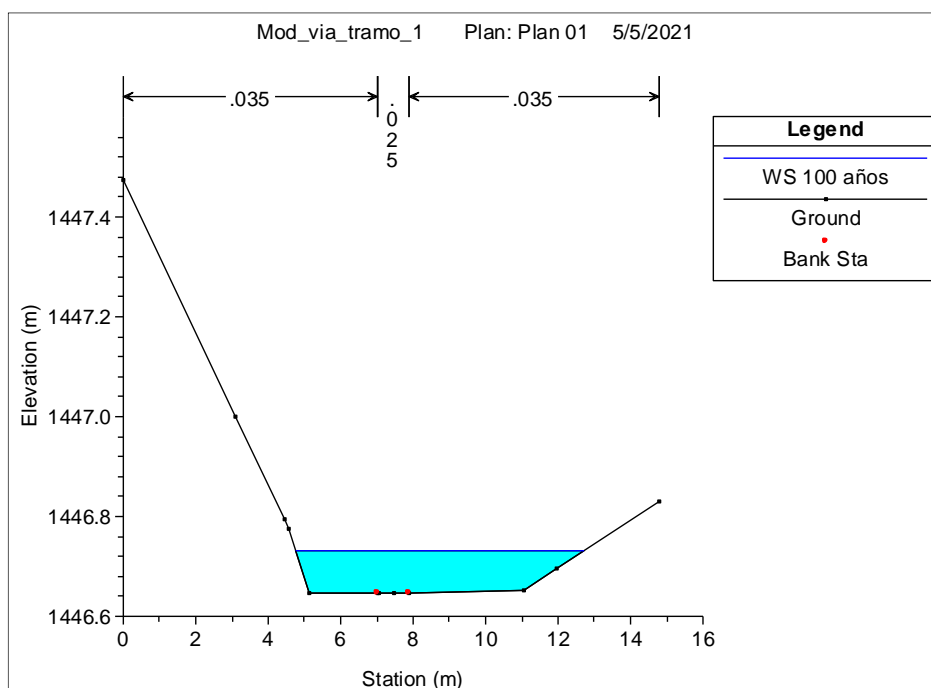


Figura 6. Sección 0+018.43, obtenida del programa HEC-RAS

SECCIONES TRANSVERSALES DEL Q. VÍA CAPTACIÓN, CONDICIÓN A IMPLEMENTAR

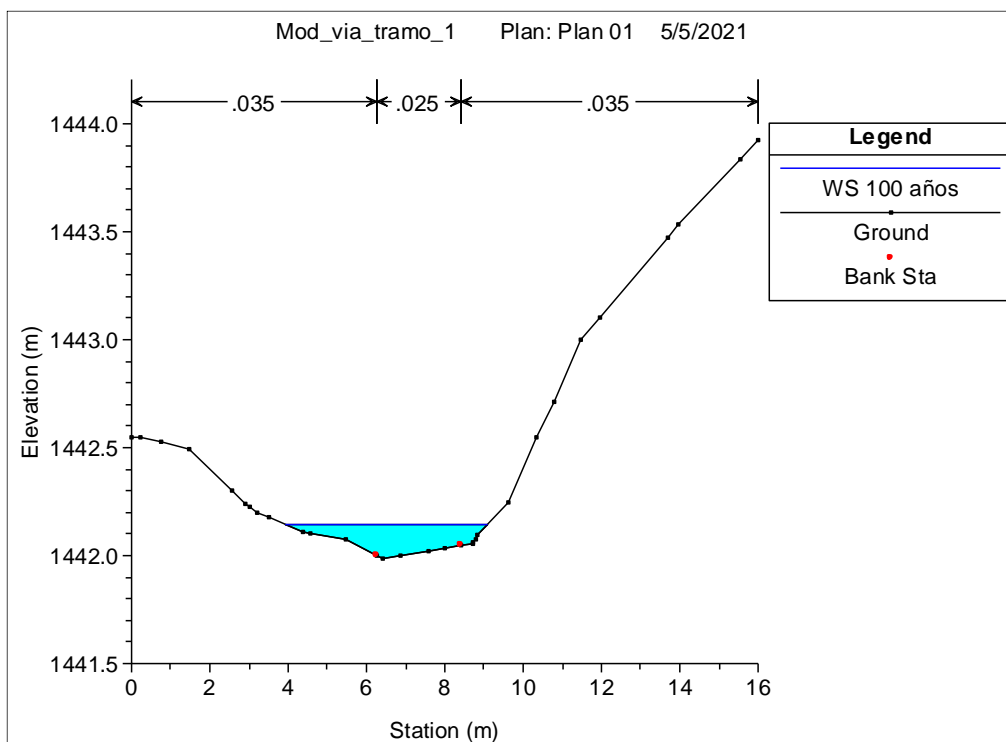


Figura 7. Sección 0+005.00, obtenida del programa HEC-RAS

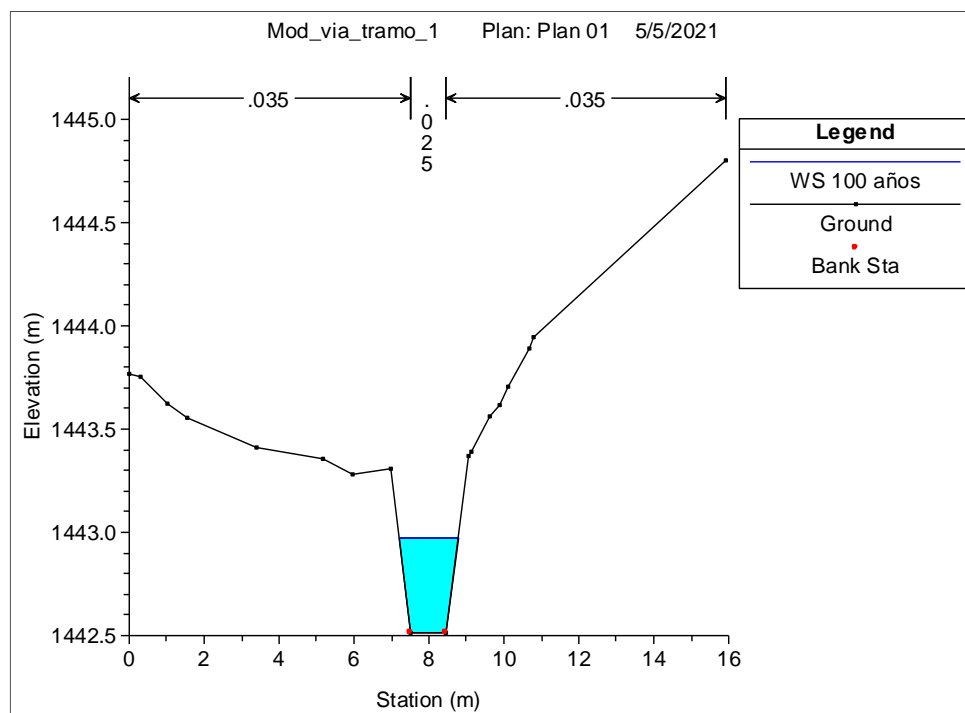


Figura 8. Sección 0+08.38, obtenida del programa HEC-RAS

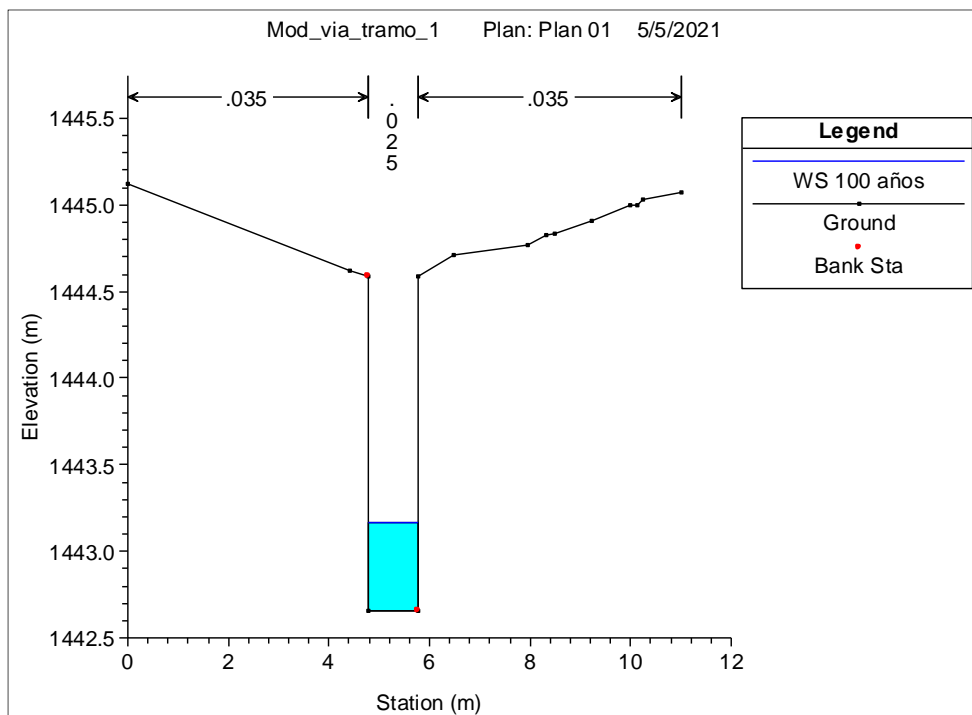


Figura 9. Sección 0+012.17, obtenida del programa HEC-RAS

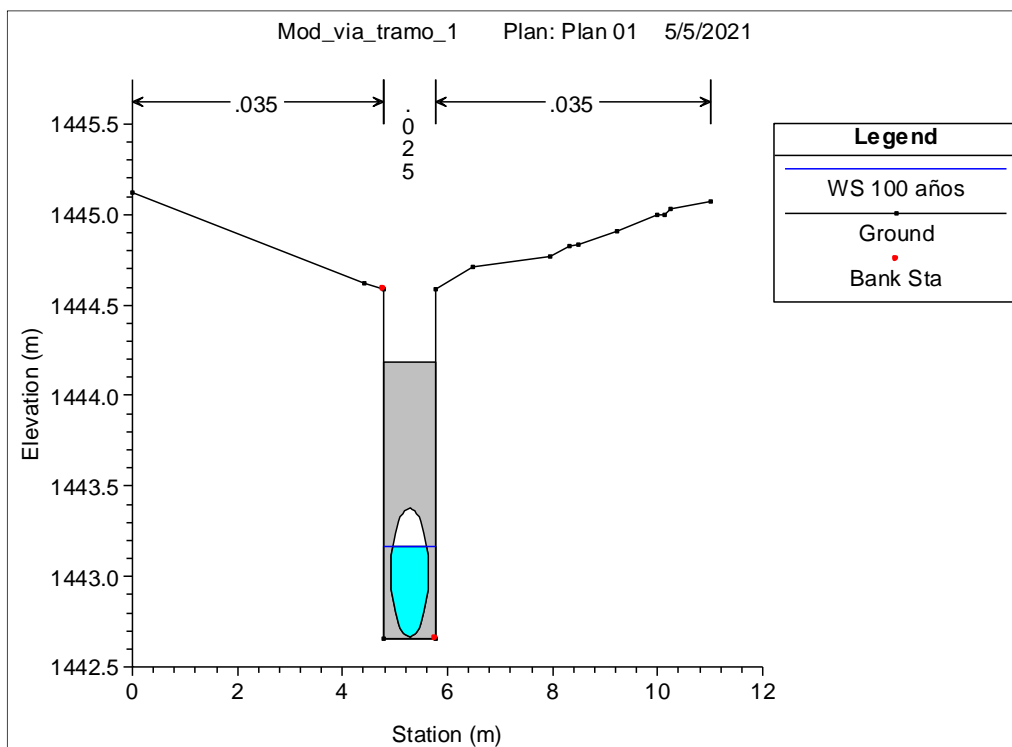


Figura 10. Sección 0+015.00 aguas abajo, obtenida del programa HEC-RAS

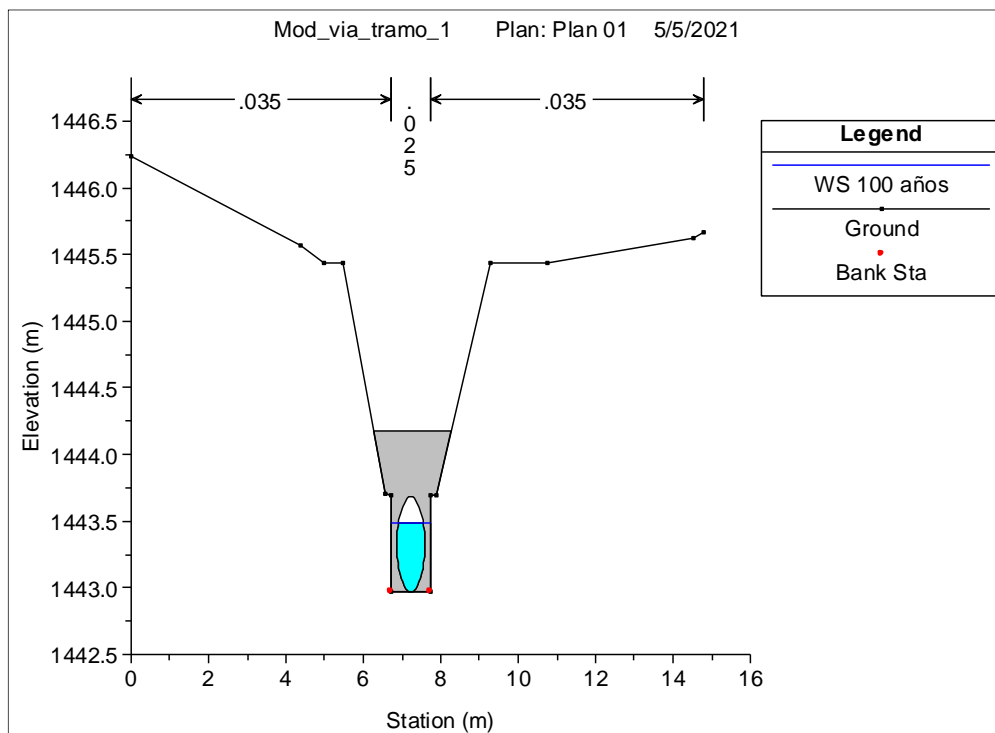


Figura 11. Sección 0+015.00 aguas arriba, obtenida del programa HEC-RAS

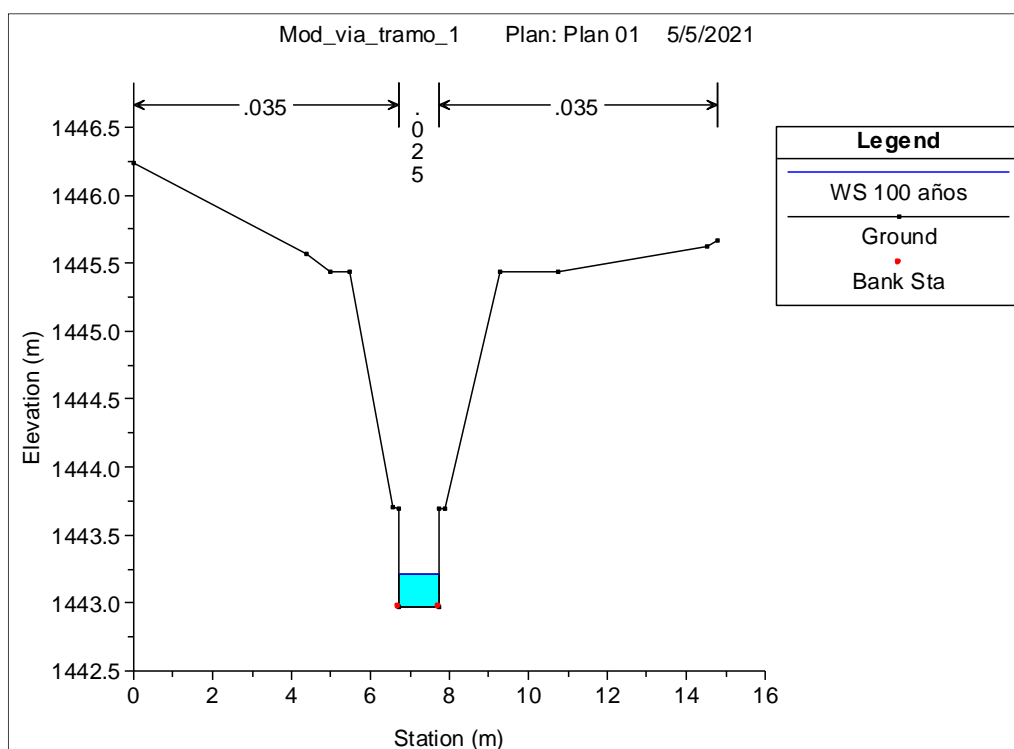


Figura 12. Sección 0+017.74, obtenida del programa HEC-RAS

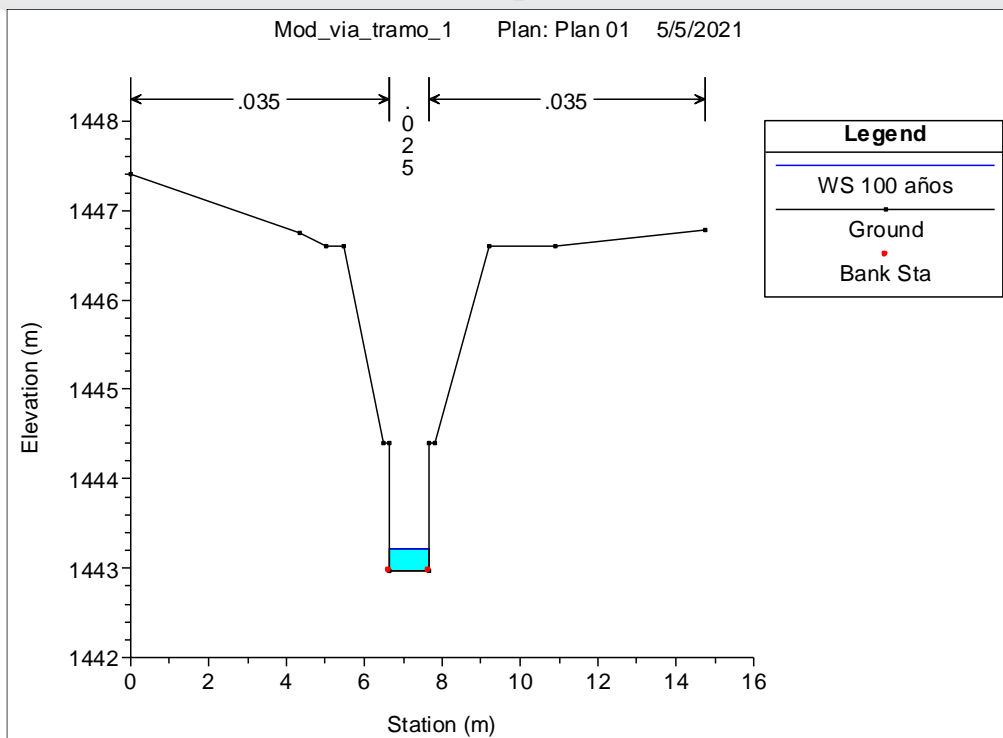


Figura 13. Sección 0+018.27, obtenida del programa HEC-RAS

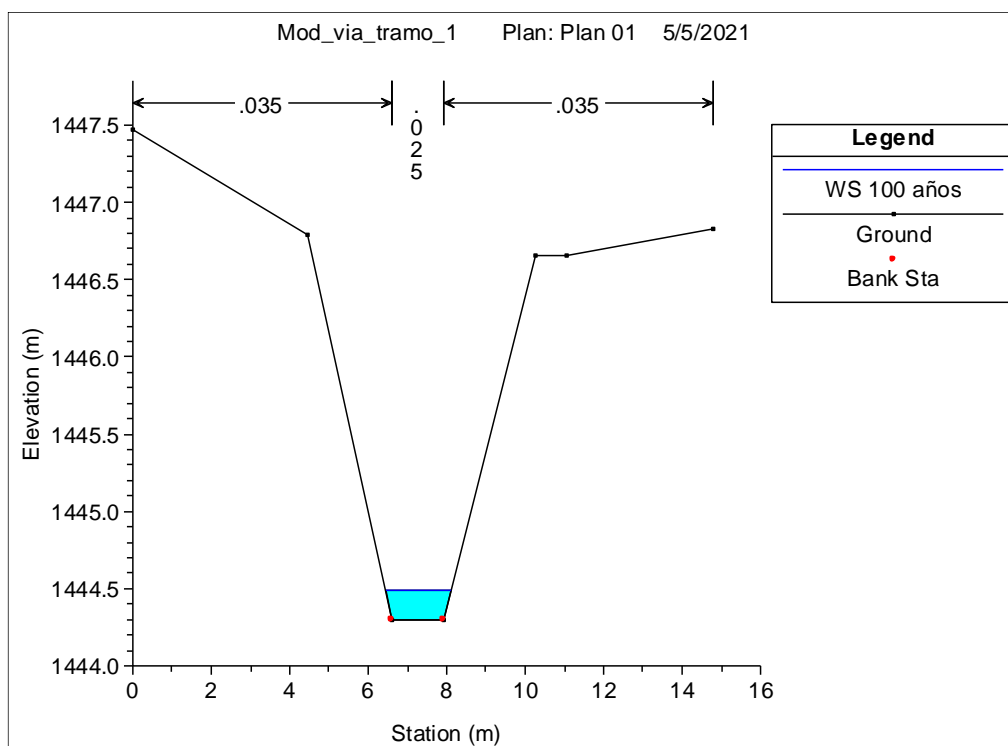


Figura 14. Sección 0+018.43, obtenida del programa HEC-RAS

SECCIONES TRANSVERSALES DEL Q. SIN NOMBRE 1, CONDICIÓN ACTUAL

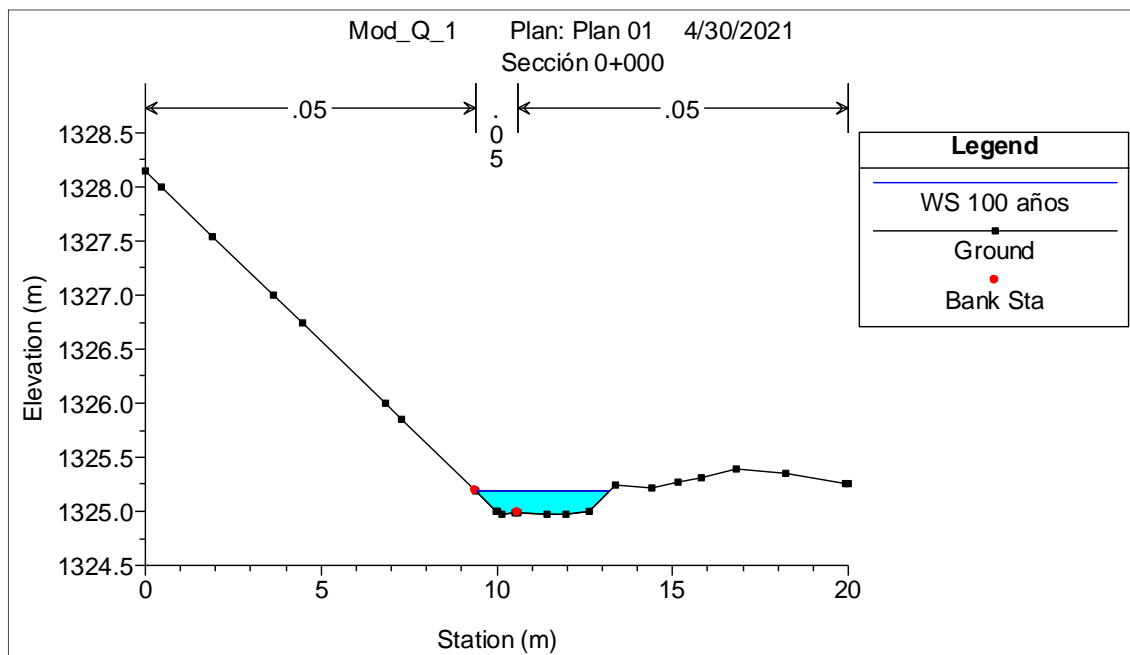


Figura 15. Sección 0+000.00, obtenida del programa HEC-RAS

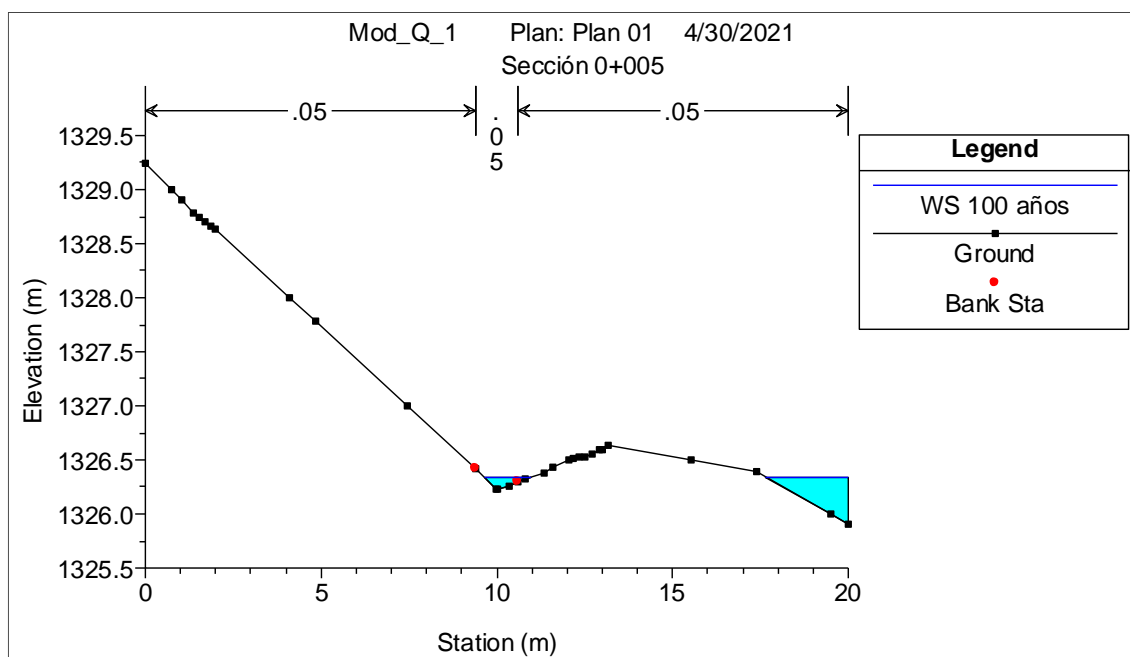


Figura 16. Sección 0+005.00, obtenida del programa HEC-RAS

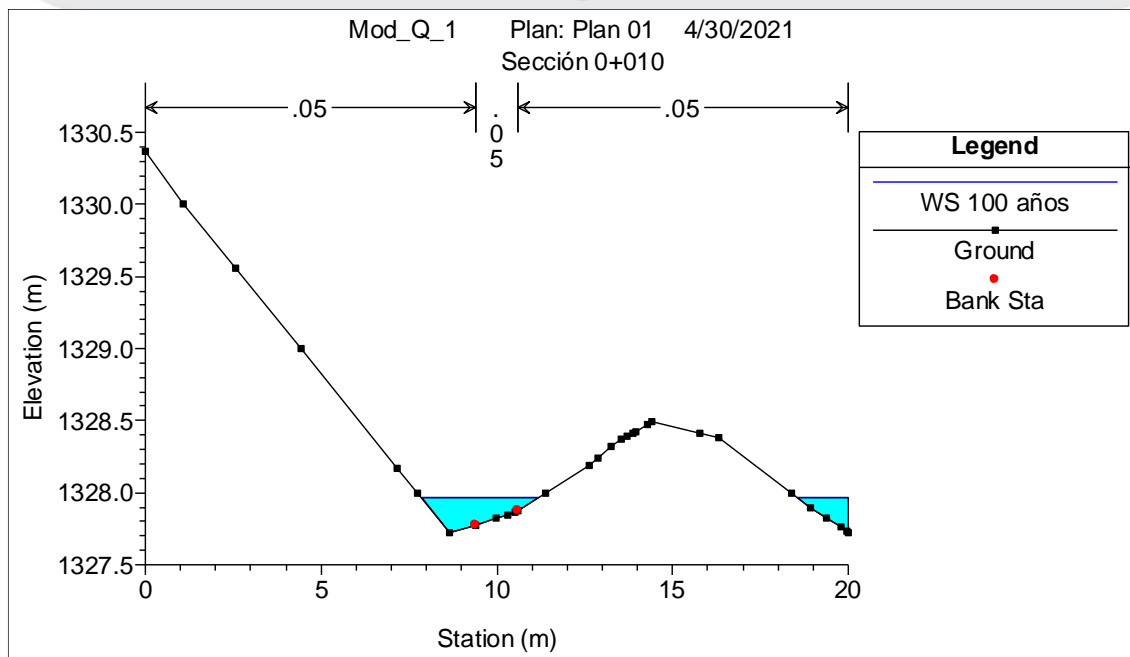


Figura 17. Sección 0+010.00, obtenida del programa HEC-RAS

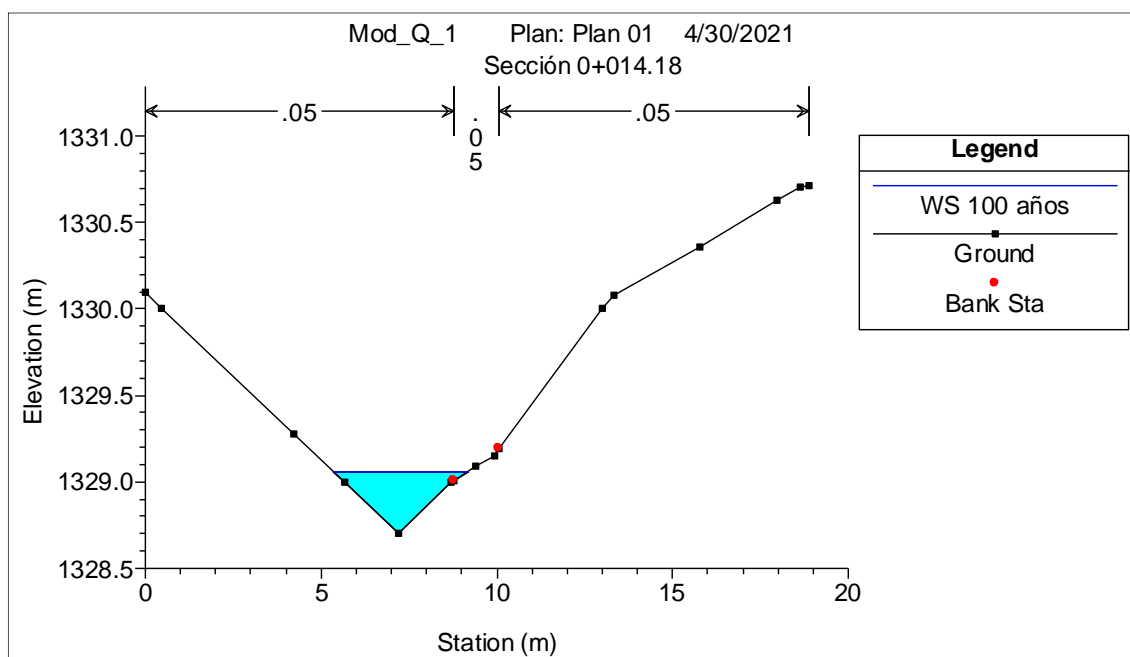


Figura 18. Sección 0+014.18, obtenida del programa HEC-RAS

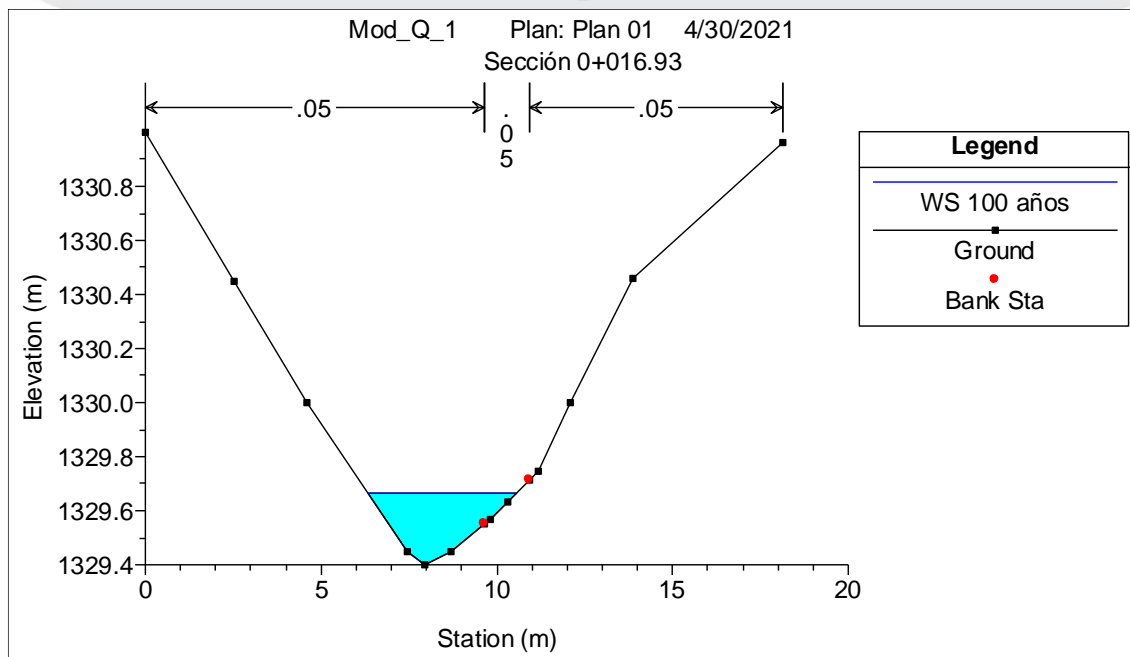


Figura 19. Sección 0+016.93, obtenida del programa HEC-RAS

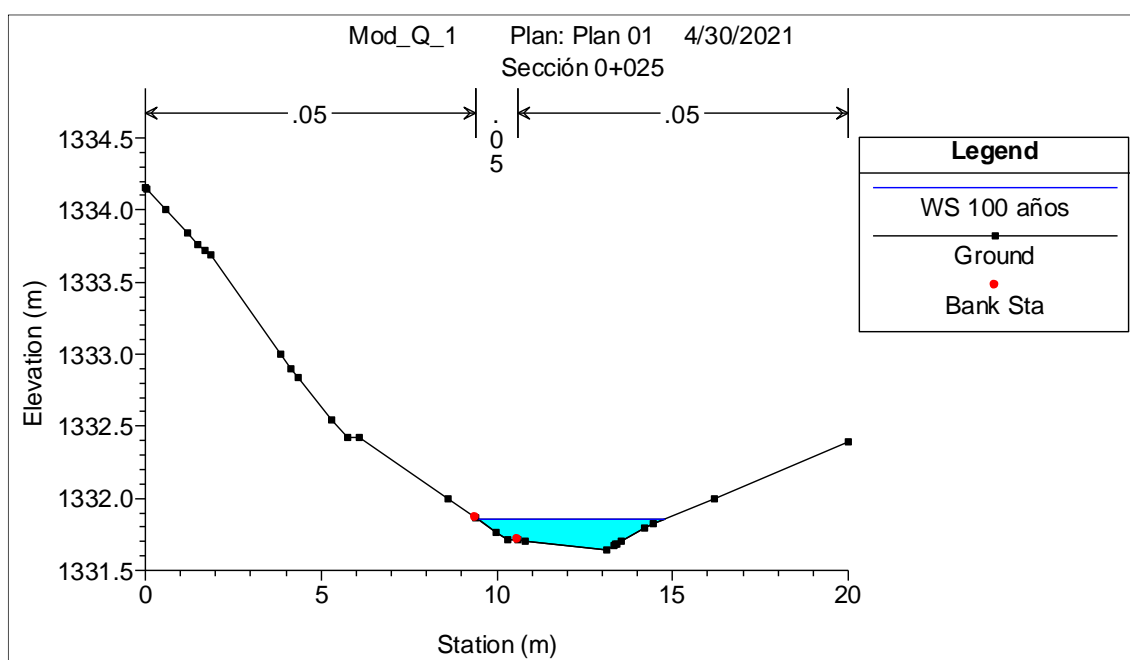


Figura 20. Sección 0+025, obtenida del programa HEC-RAS

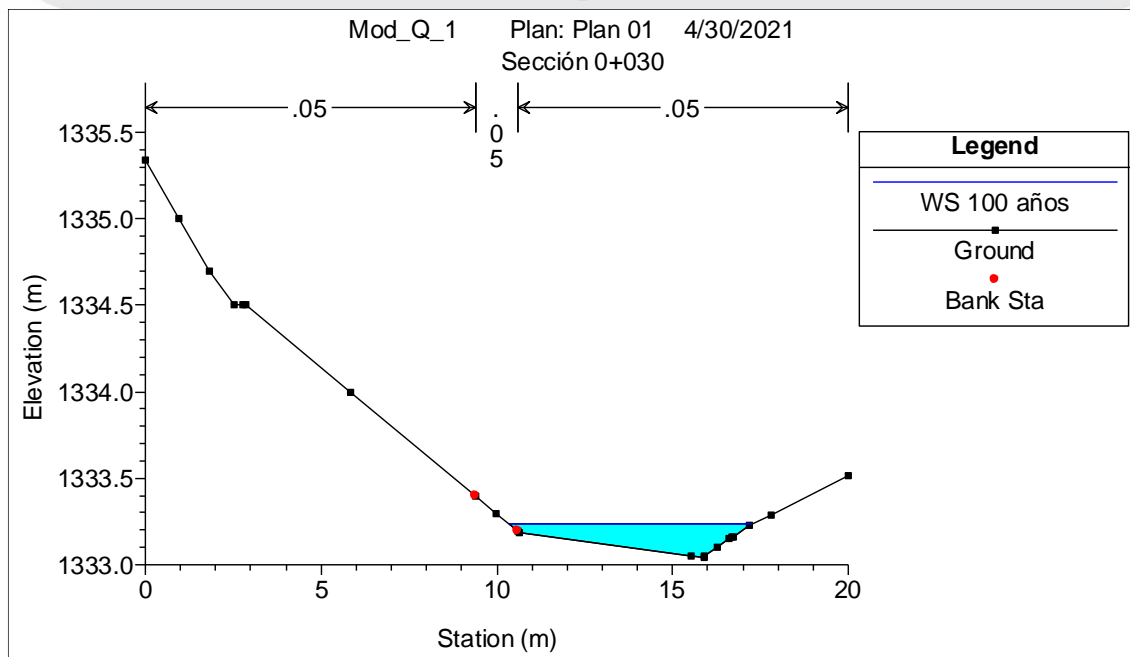


Figura 21. Sección 0+030, obtenida del programa HEC-RAS

SECCIONES TRANSVERSALES DE LA Q. SIN NOMBRE 1, CONDICIÓN A IMPLEMENTAR

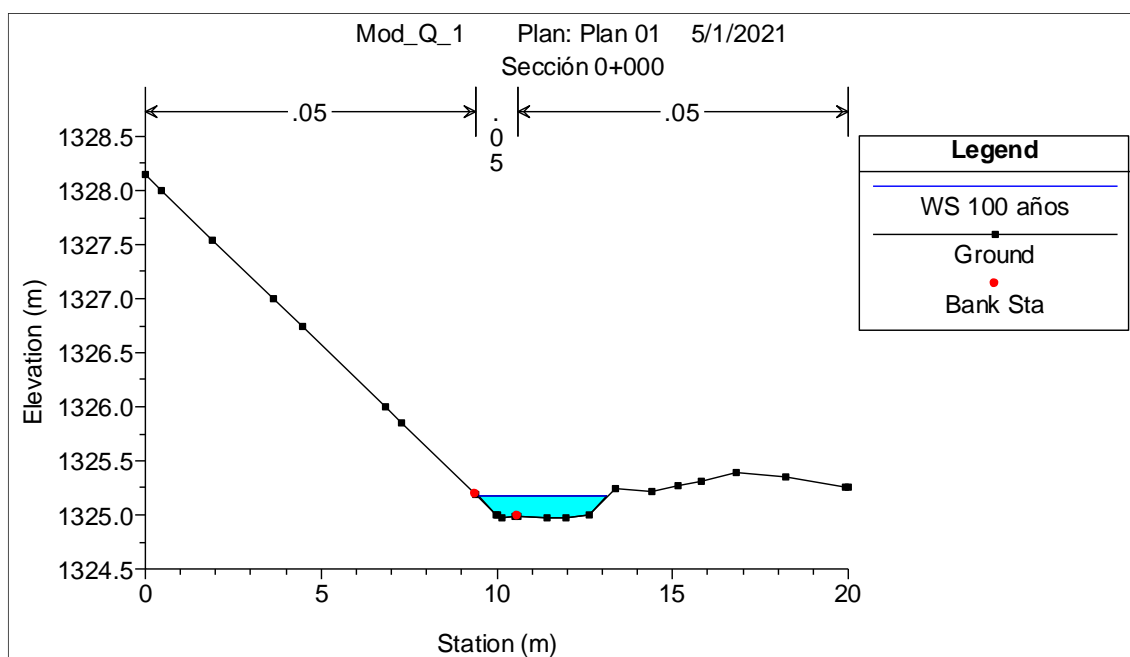


Figura 22. Sección 0+000.00, obtenida del programa HEC-RAS

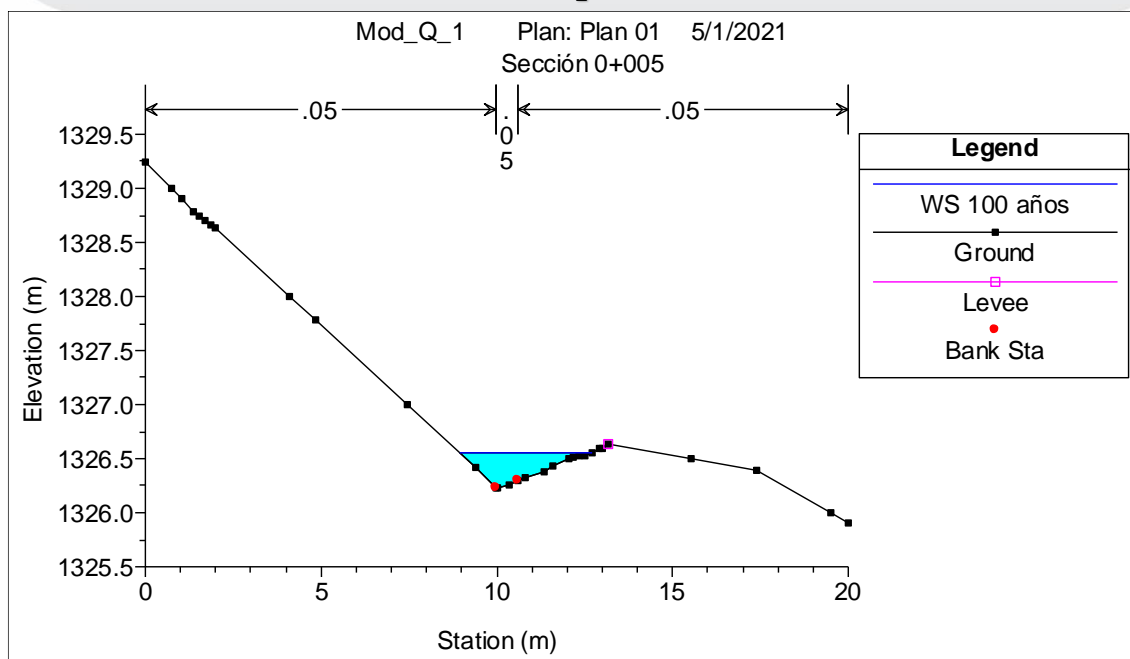


Figura 23. Sección 0+005.00, obtenida del programa HEC-RAS

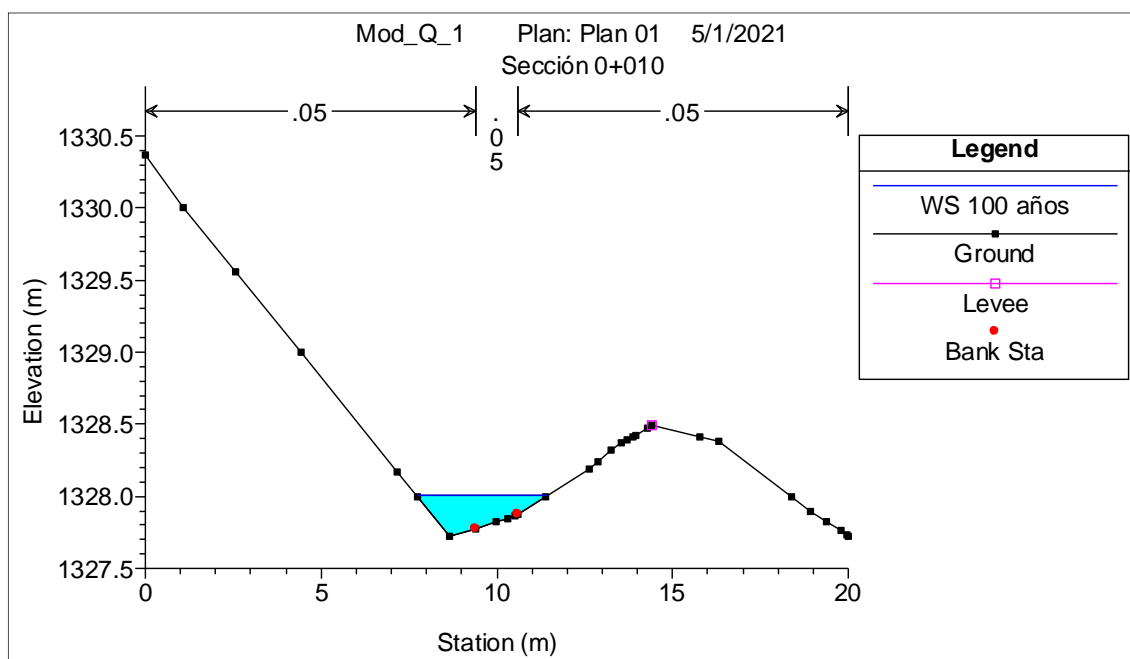


Figura 24. Sección 0+010.00, obtenida del programa HEC-RAS

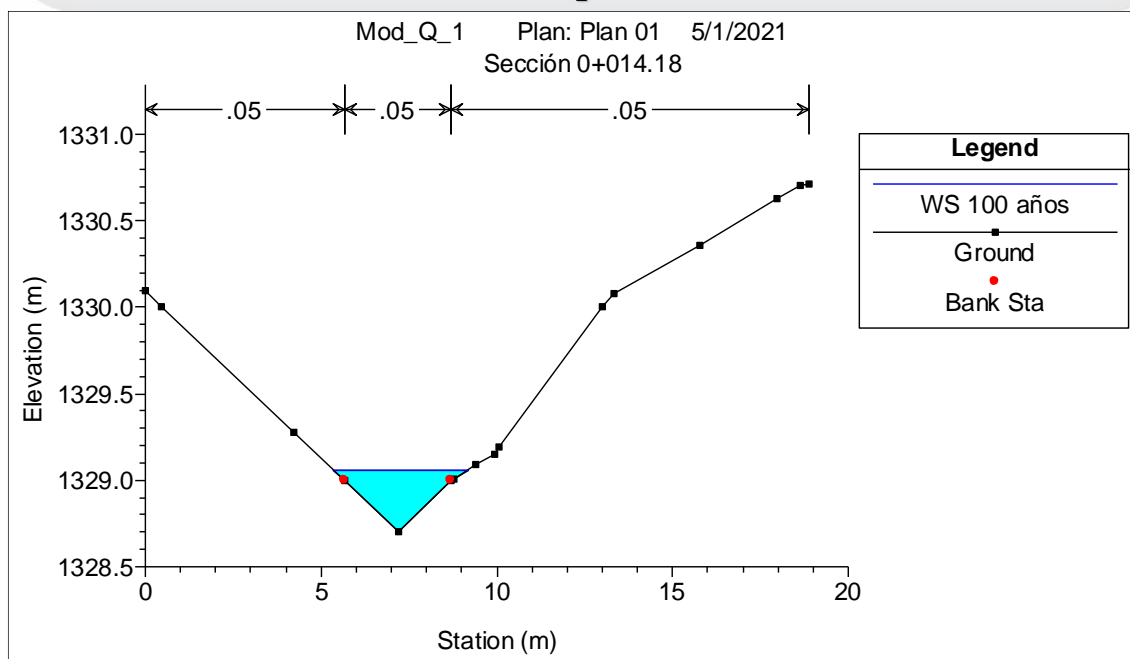


Figura 25. Sección 0+014.18, obtenida del programa HEC-RAS

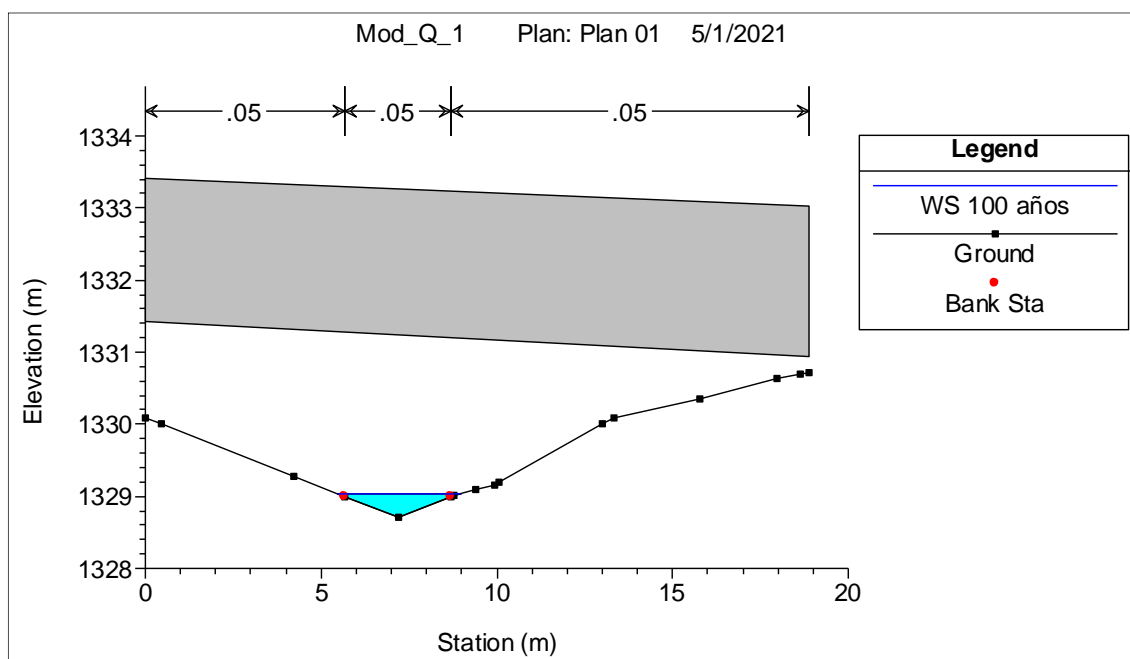


Figura 26. Sección 0+014.30 aguas arriba, obtenida del programa HEC-RAS

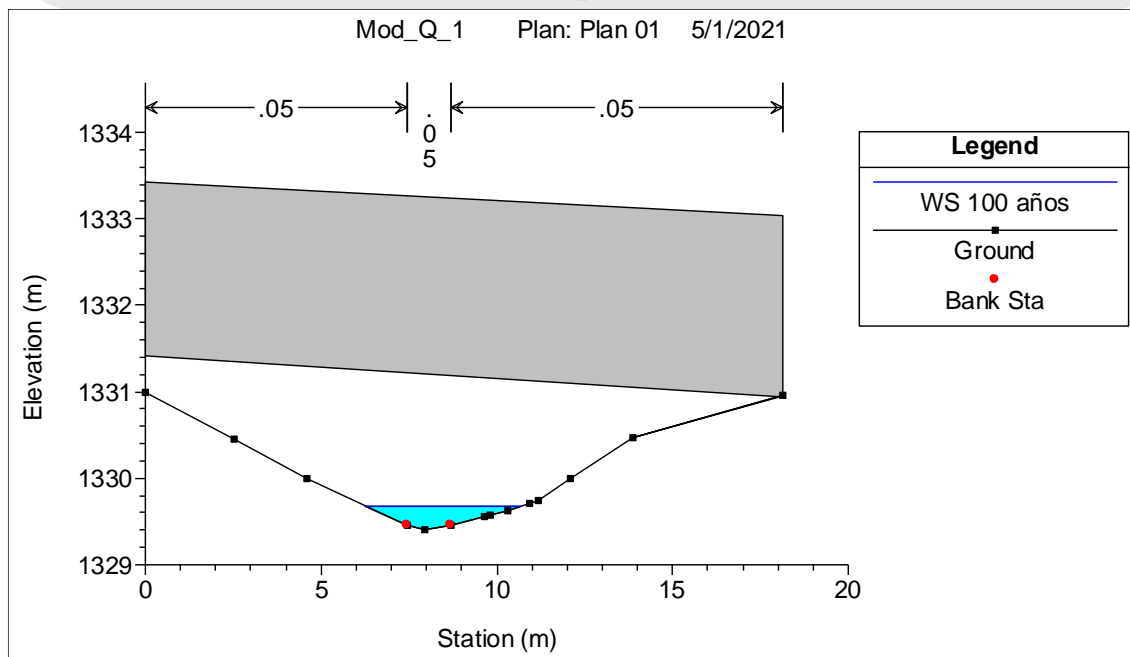


Figura 27. Sección 0+014.30 aguas abajo, obtenida del programa HEC-RAS

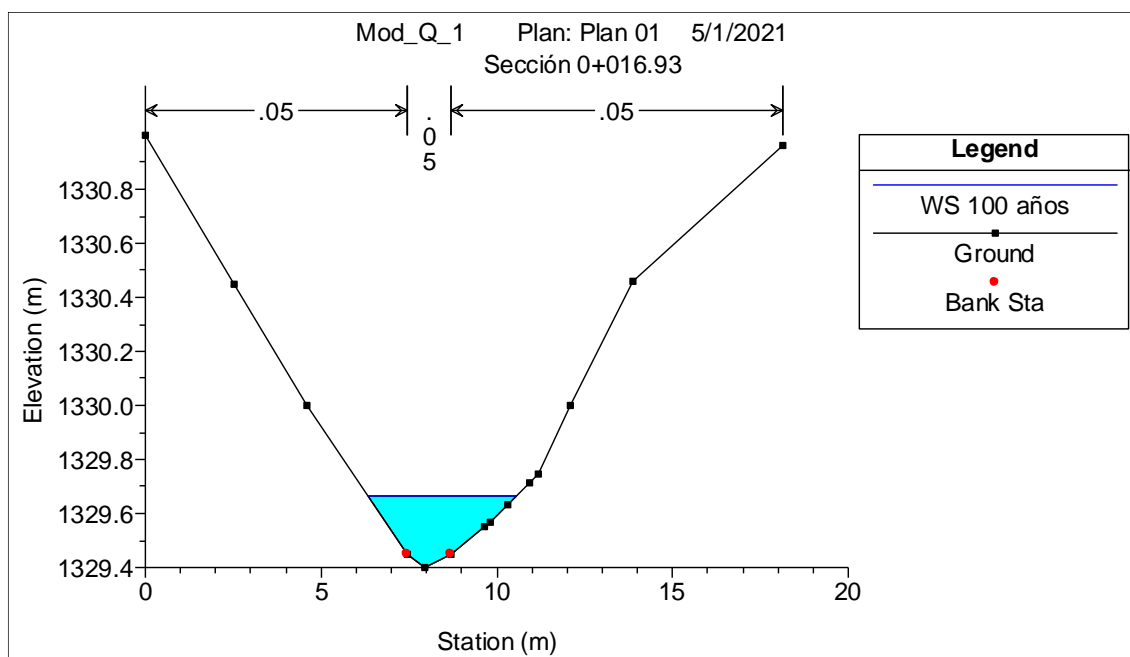


Figura 28. Sección 0+016.93, obtenida del programa HEC-RAS

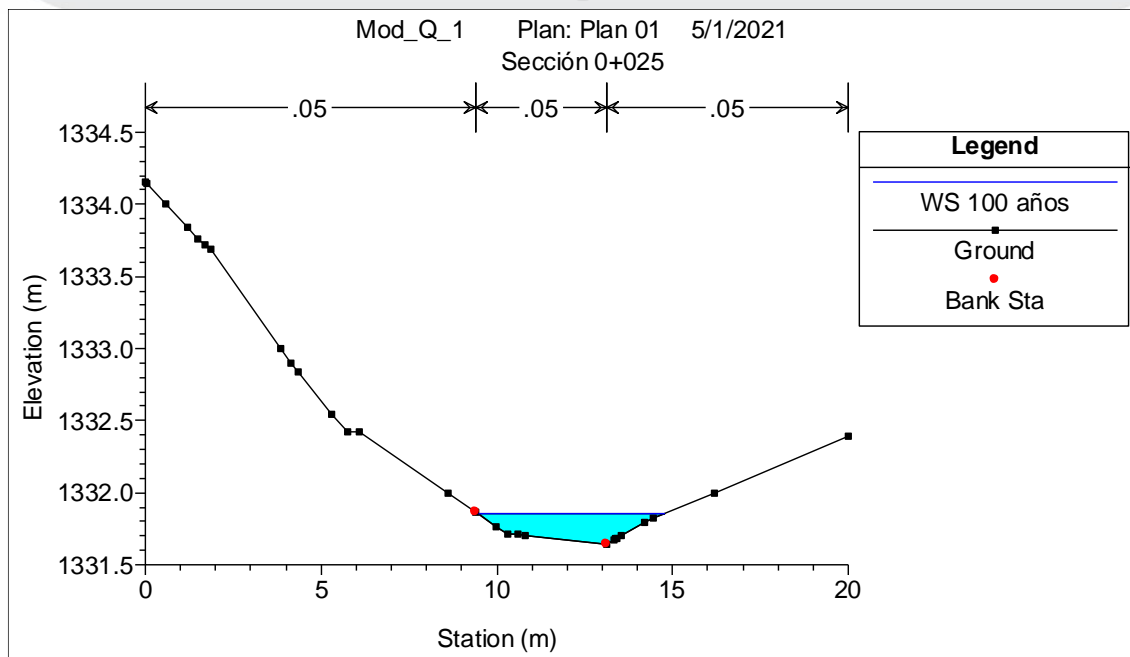


Figura 29. Sección 0+025.00, obtenida del programa HEC-RAS

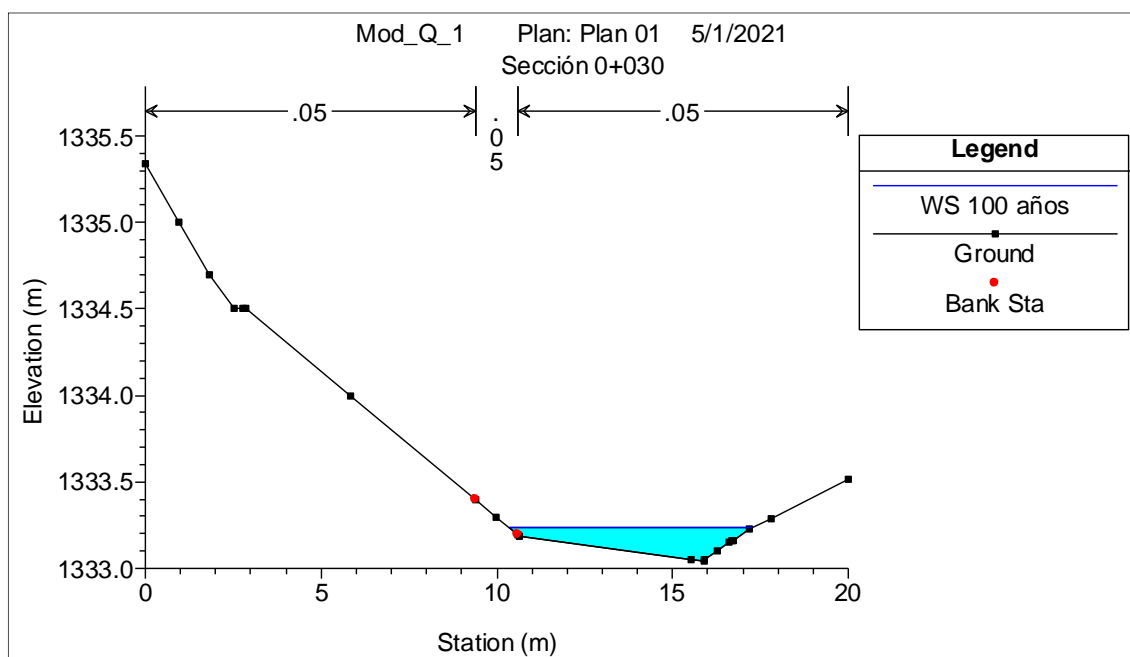


Figura 30. Sección 0+030.00, obtenida del programa HEC-RAS

SECCIONES TRANSVERSALES DEL Q. SIN NOMBRE 1.1, CONDICIÓN ACTUAL

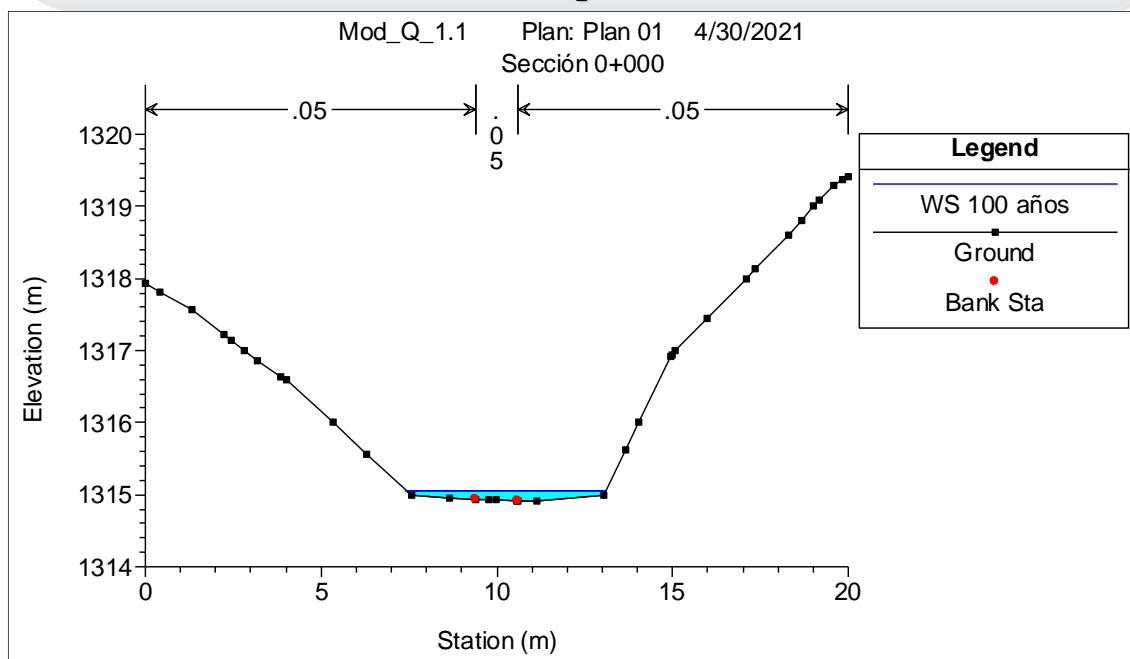


Figura 31. Sección 0+000.00, obtenida del programa HEC-RAS

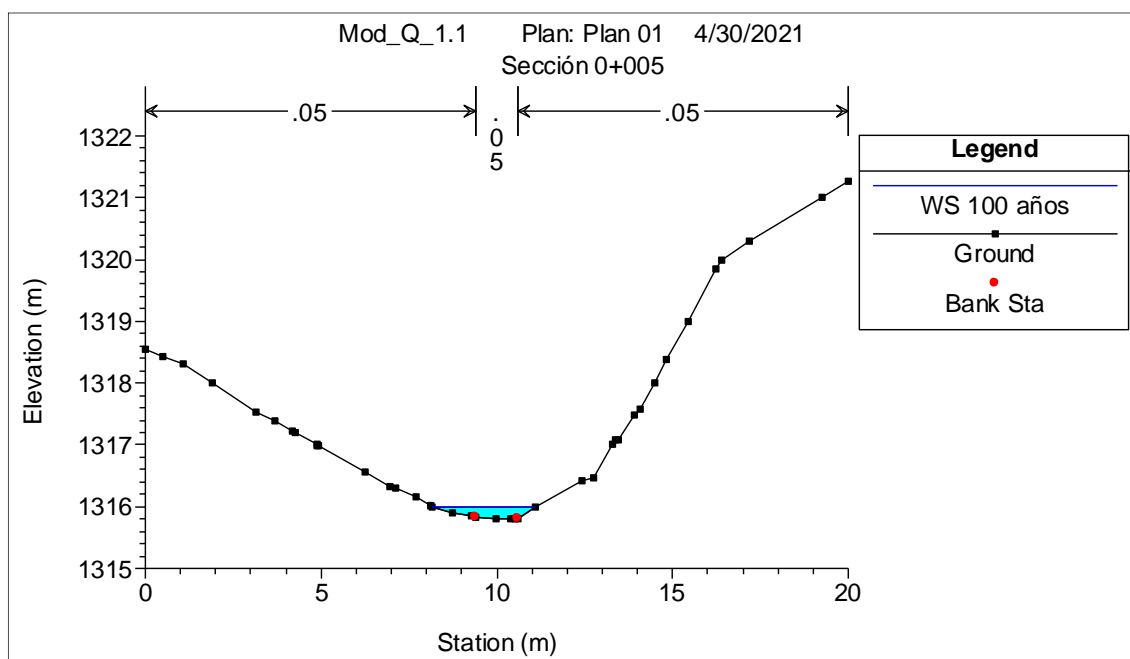


Figura 32. Sección 0+005.00, obtenida del programa HEC-RAS

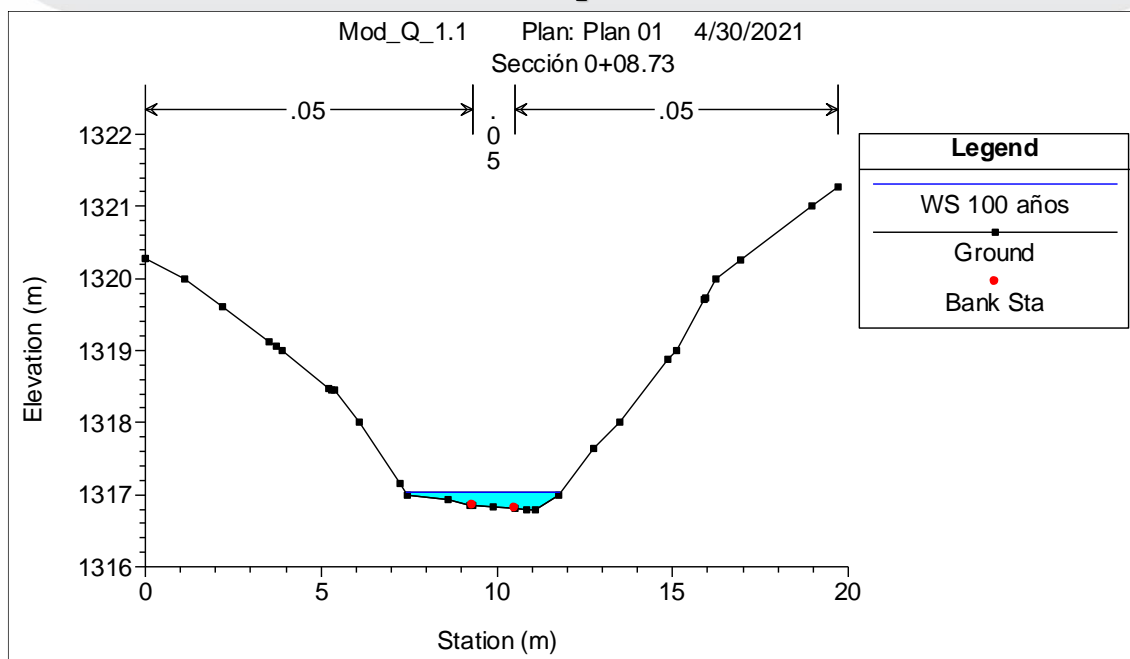


Figura 33. Sección 0+008.73, obtenida del programa HEC-RAS

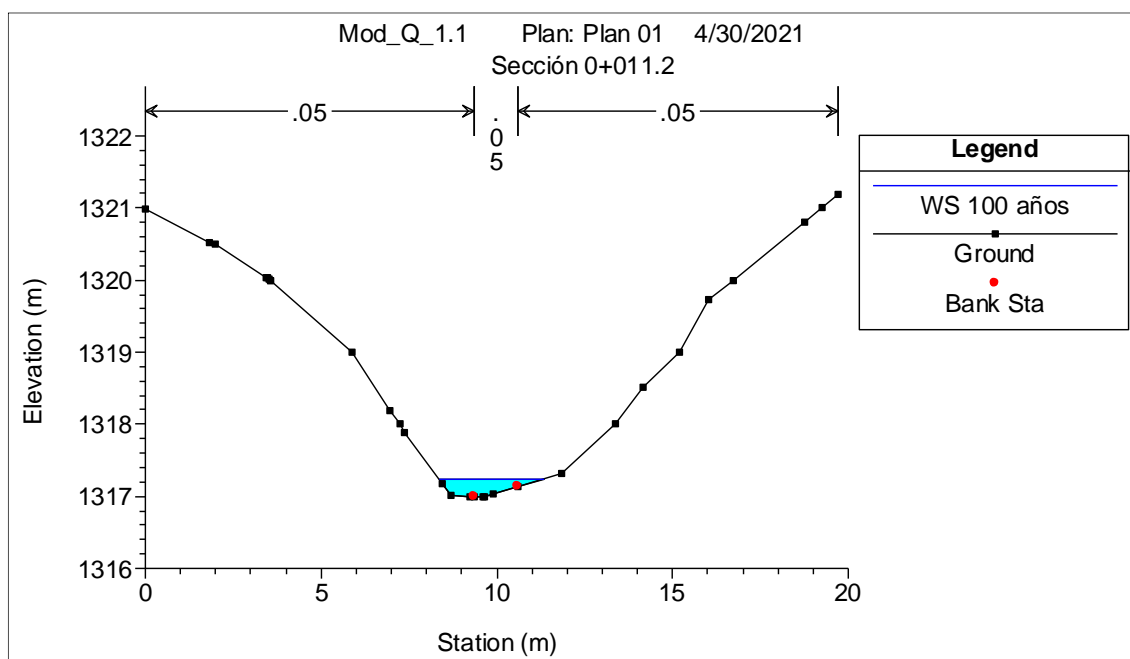


Figura 34. Sección 0+011.20, obtenida del programa HEC-RAS

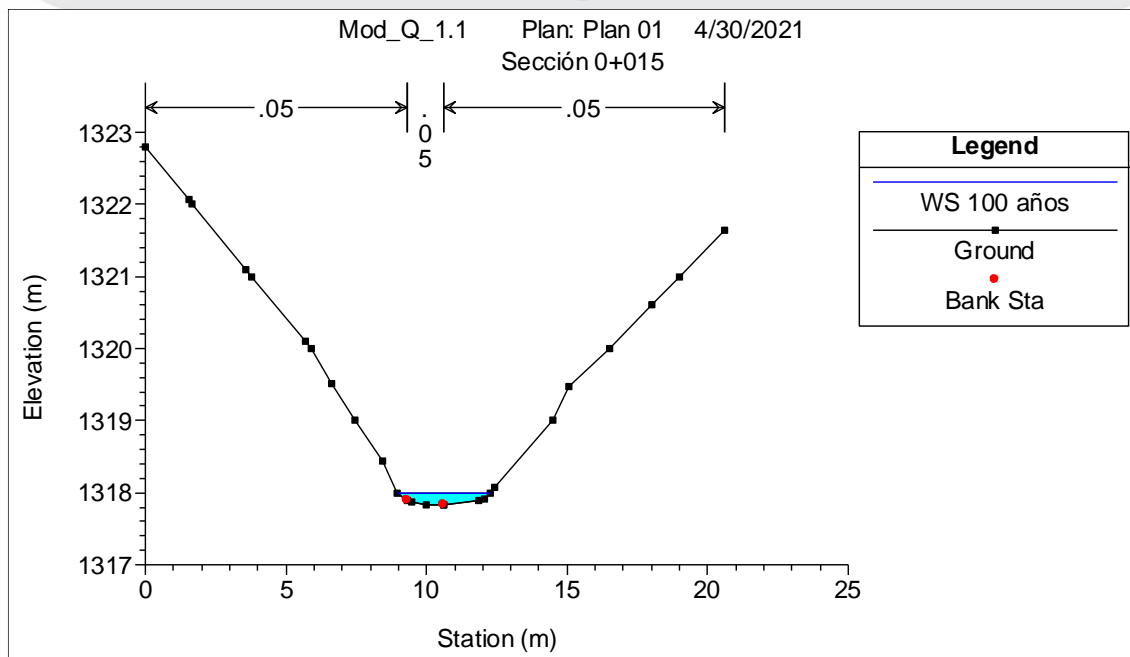


Figura 35. Sección 0+015, obtenida del programa HEC-RAS

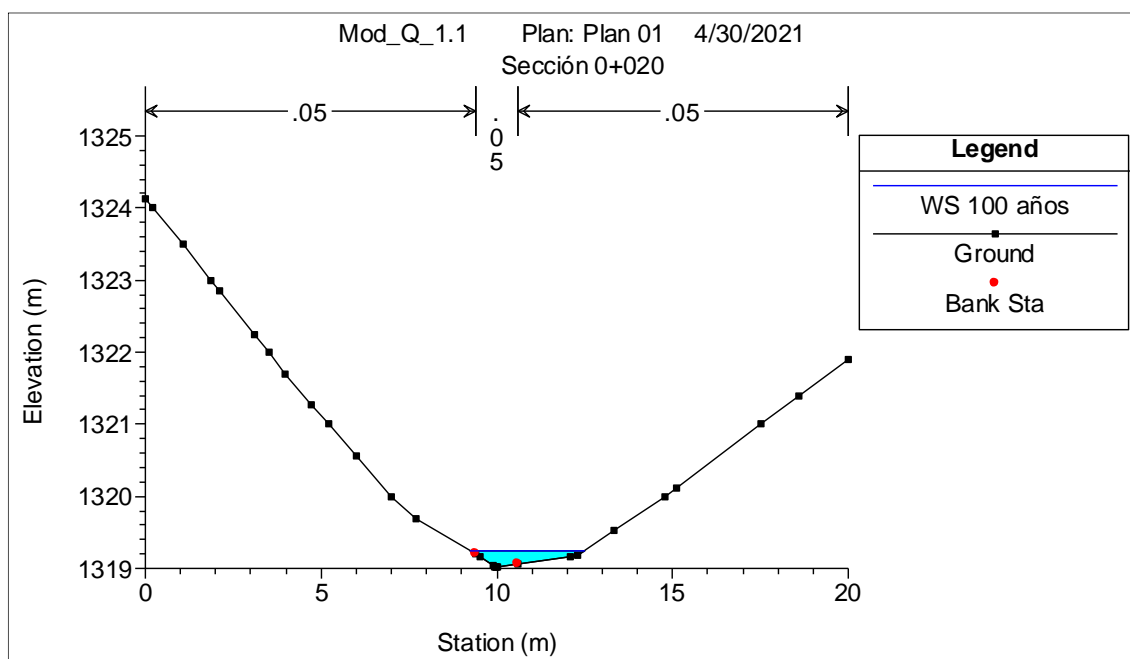


Figura 36. Sección 0+020, obtenida del programa HEC-RAS

SECCIONES TRANSVERSALES DEL Q. SIN NOMBRE 1.1, CONDICIÓN A IMPLEMENTAR

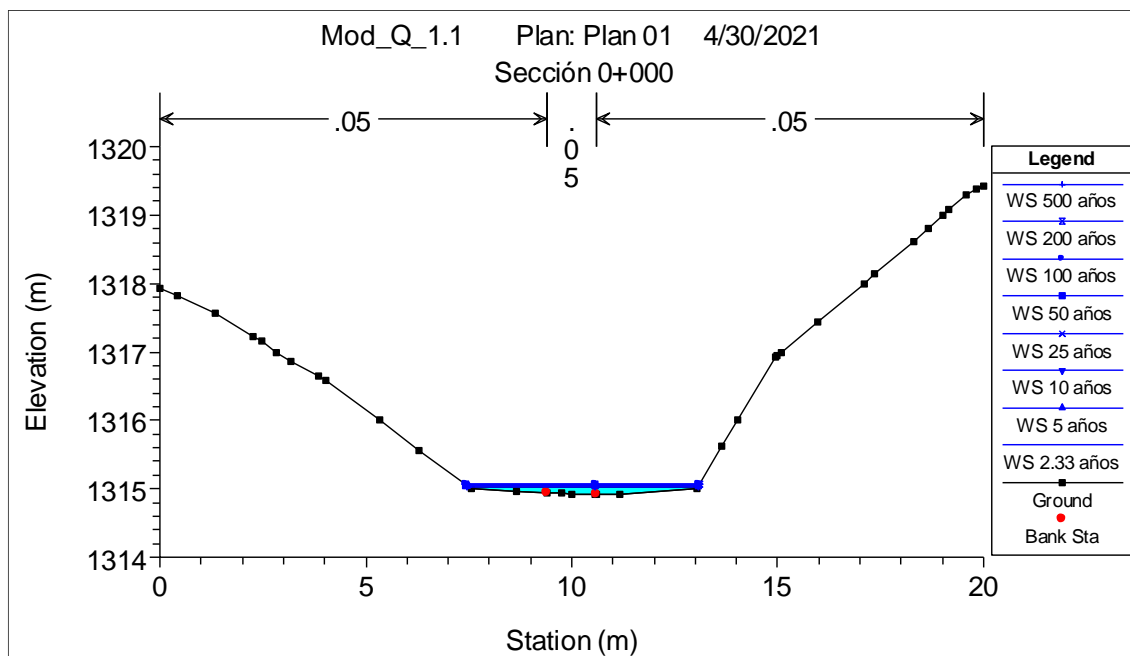


Figura 37. Sección 0+000.00, obtenida del programa HEC-RAS

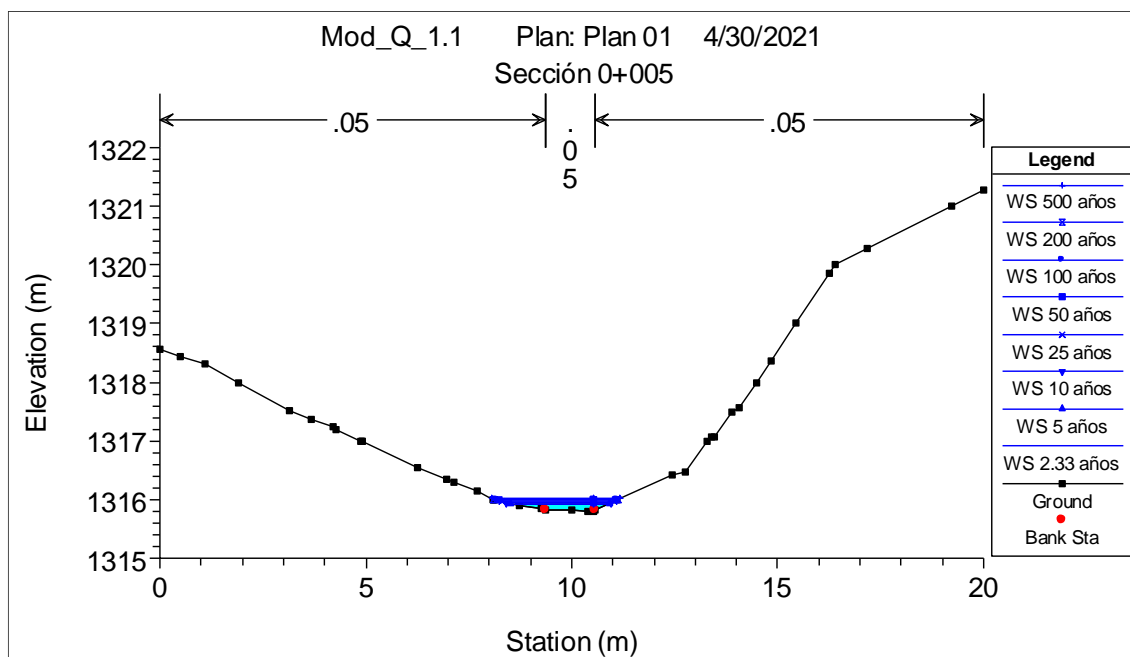


Figura 38. Sección 0+005.00, obtenida del programa HEC-RAS

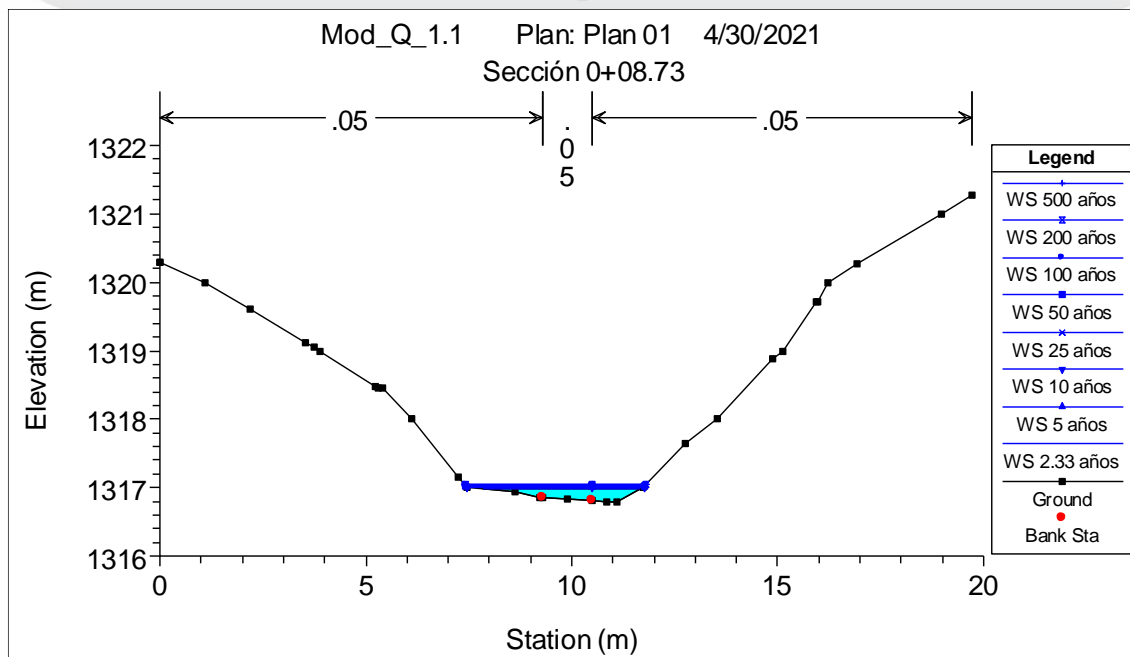


Figura 39. Sección 0+008.73, obtenida del programa HEC-RAS

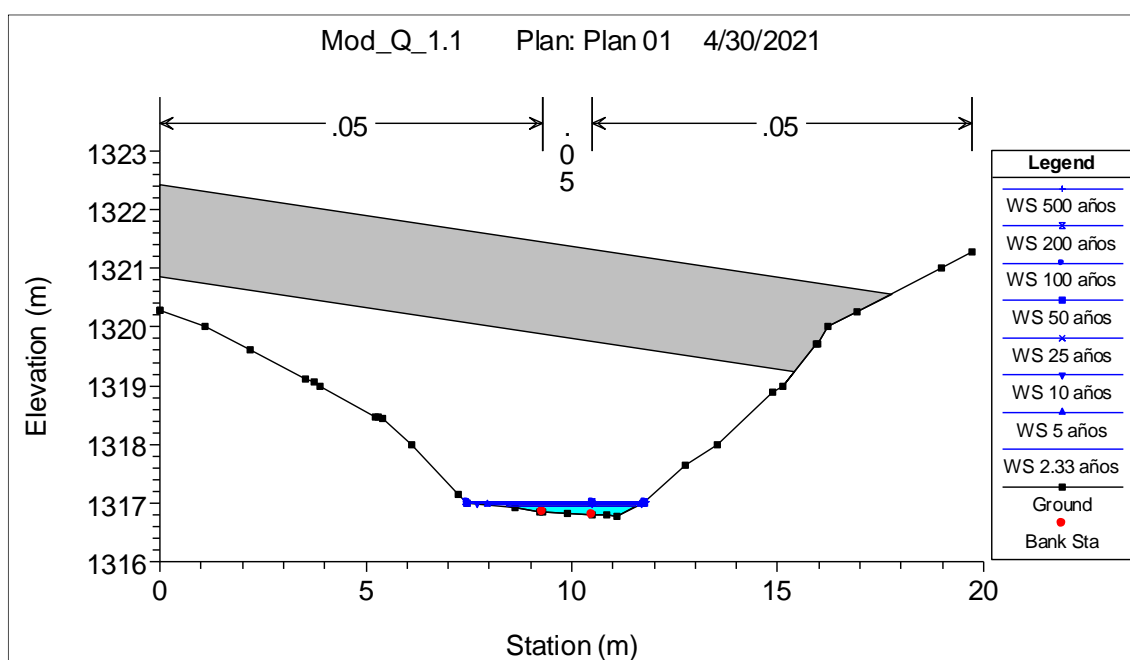


Figura 40. Sección 0+008.90 aguas abajo, obtenida del programa HEC-RAS

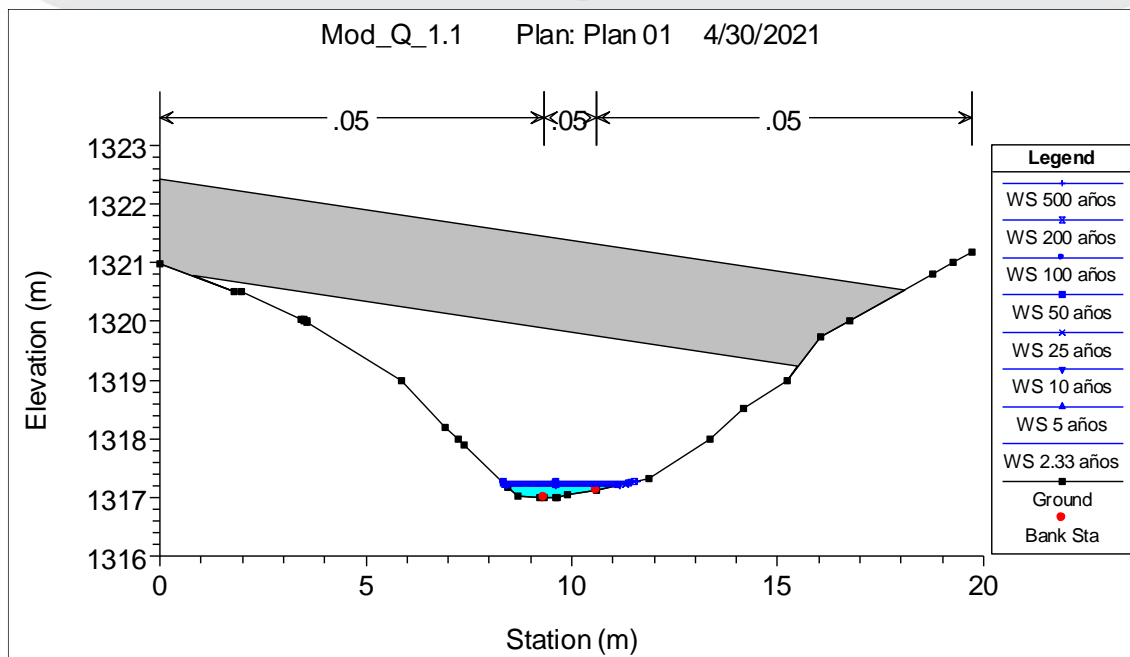


Figura 41. Sección 0+008.90 aguas arriba, obtenida del programa HEC-RAS

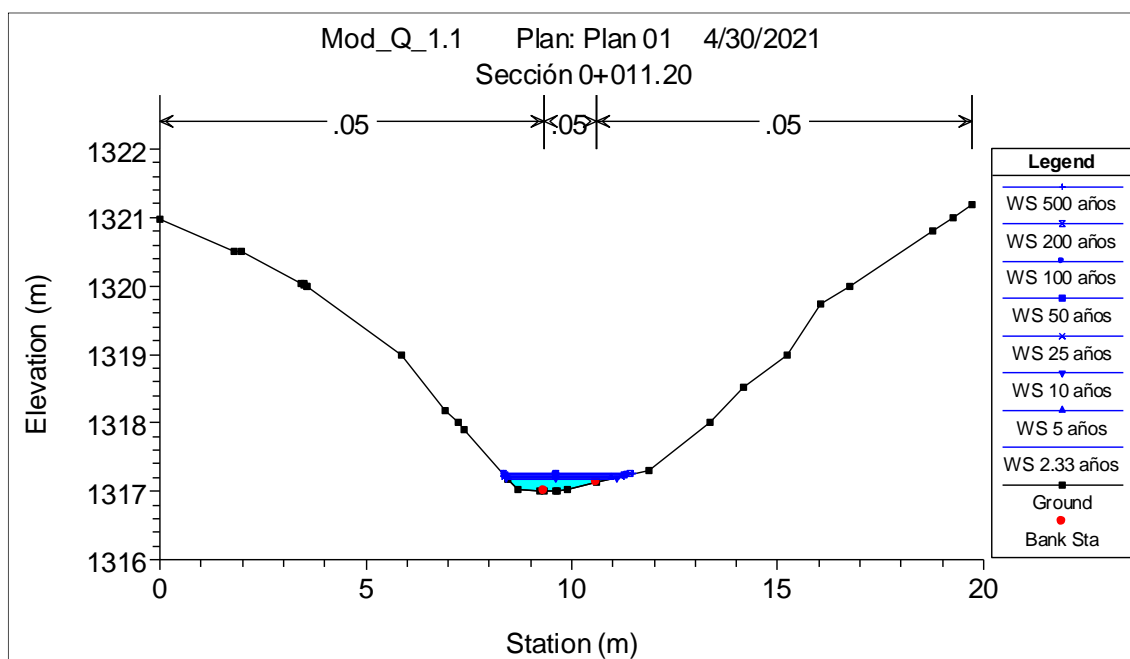


Figura 42. Sección 0+011.20, obtenida del programa HEC-RAS

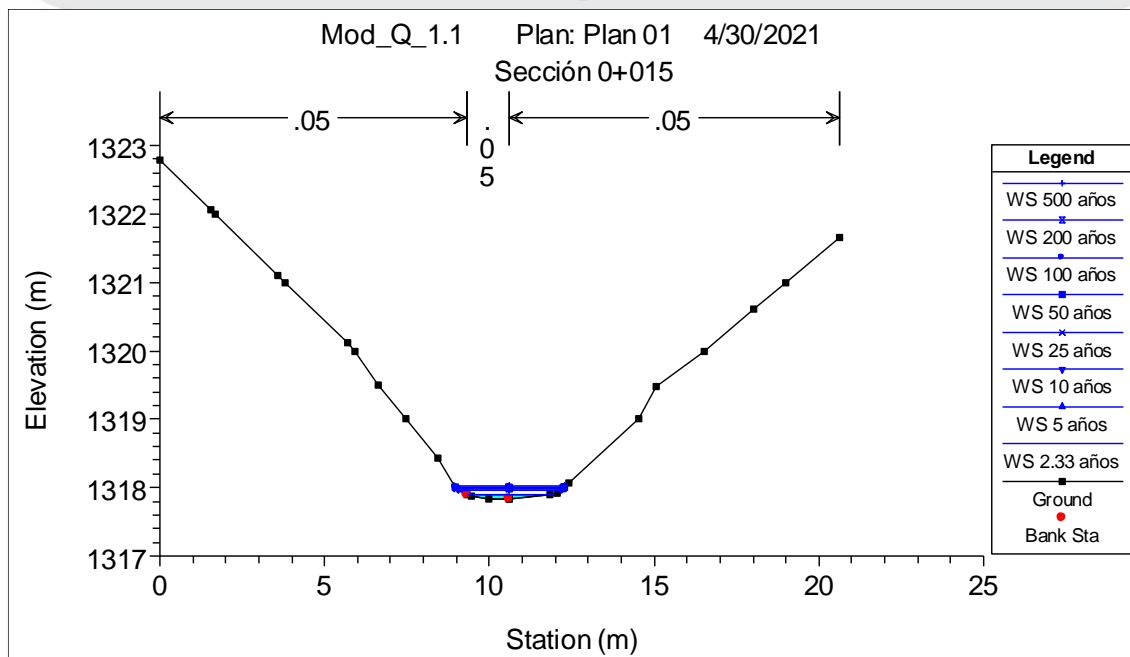


Figura 43. Sección 0+015.00, obtenida del programa HEC-RAS

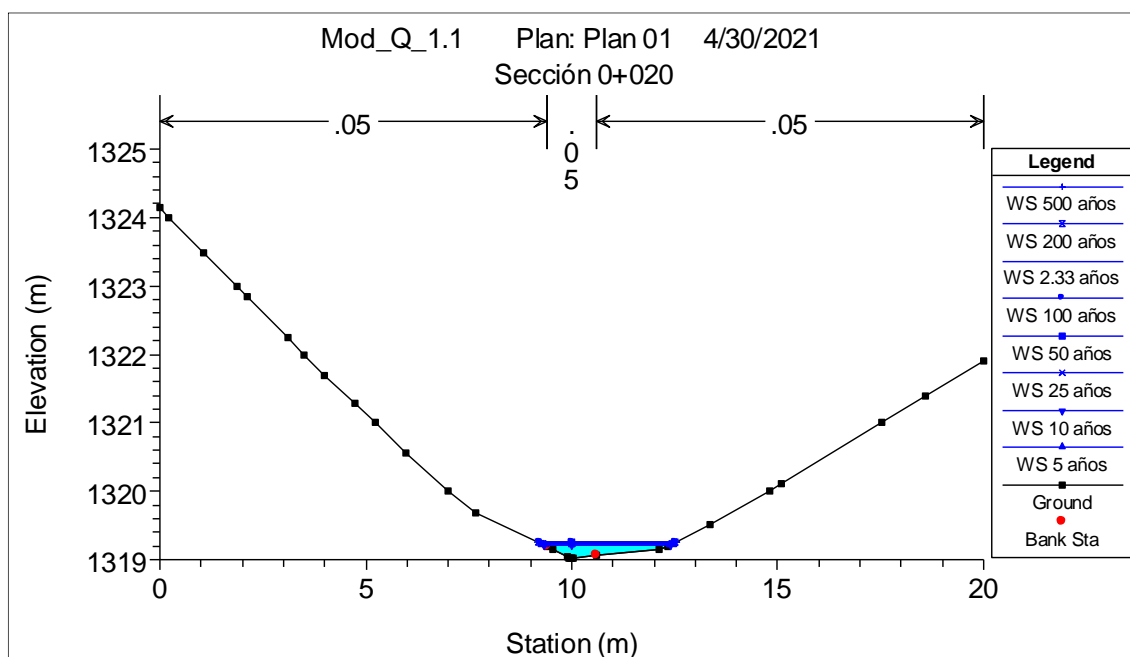


Figura 44. Sección 0+020.00, obtenida del programa HEC-RAS

SECCIONES TRANSVERSALES DEL Q. SIN NOMBRE 2, CONDICIÓN ACTUAL

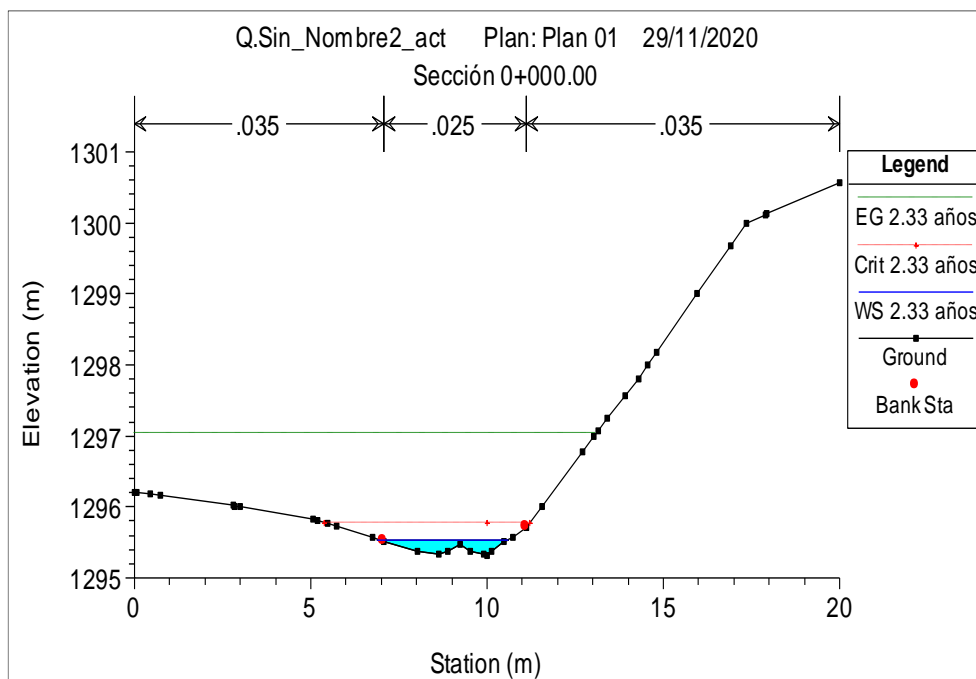


Figura 45. Sección 0+000.00, obtenida del programa HEC-RAS

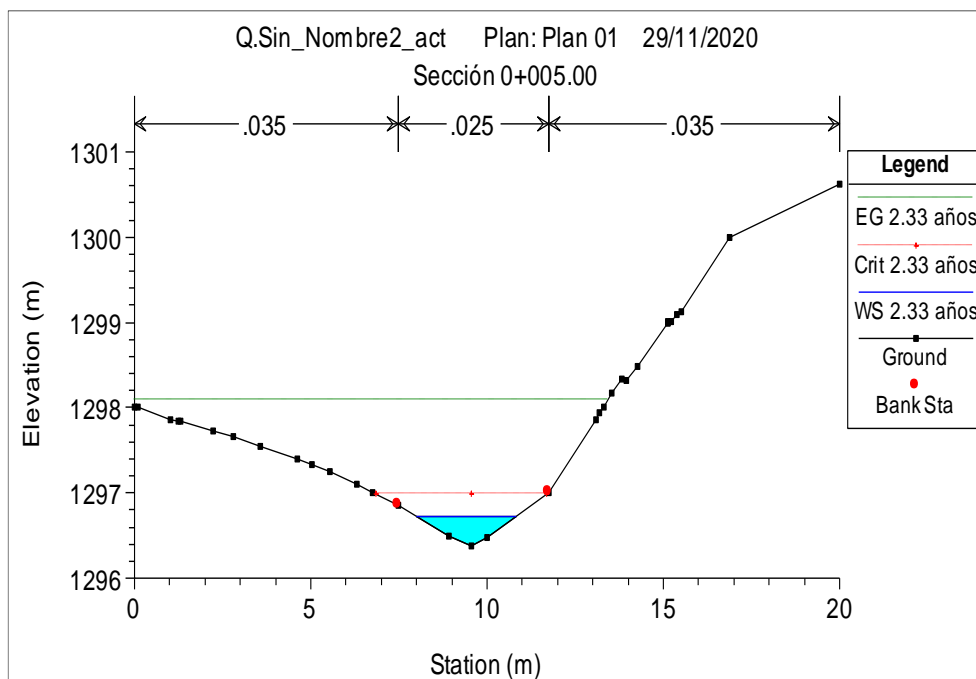


Figura 46. Sección 0+005.00, obtenida del programa HEC-RAS

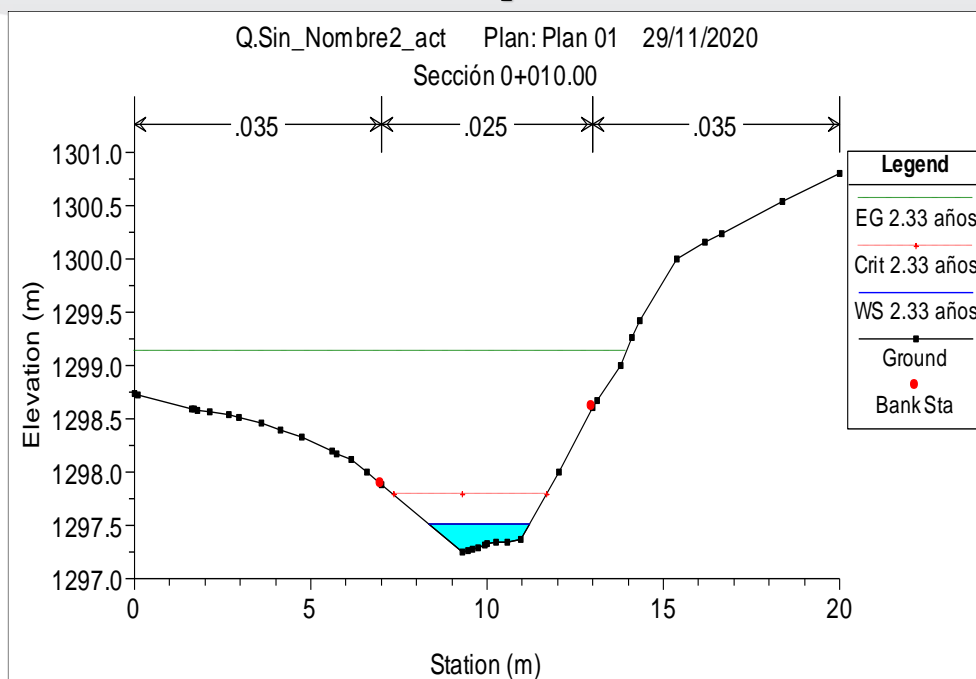


Figura 47. Sección 0+010.00, obtenida del programa HEC-RAS

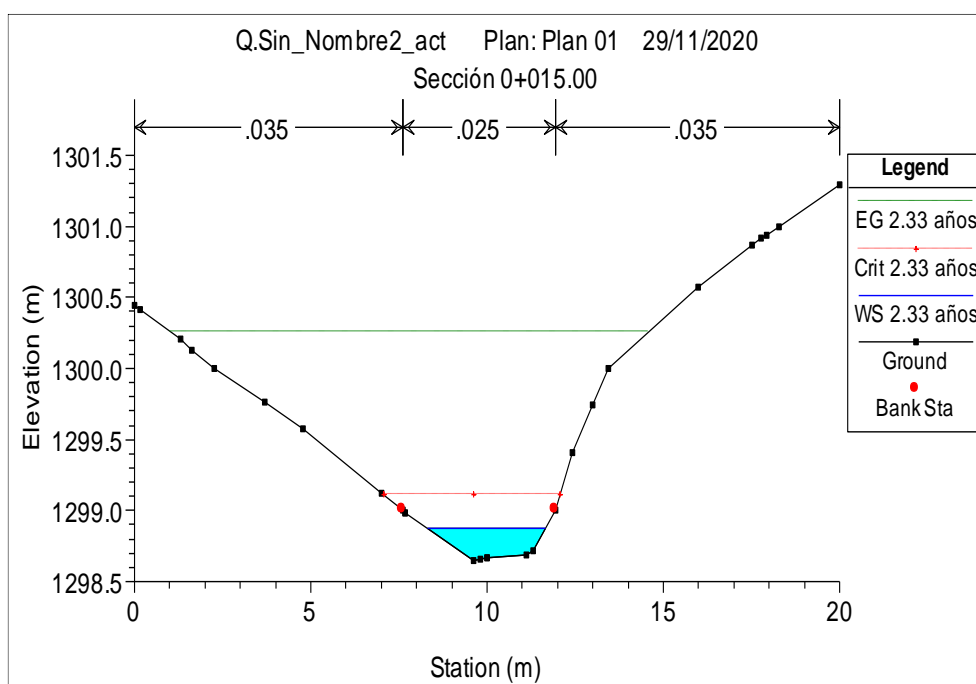


Figura 48. Sección 0+015.00, obtenida del programa HEC-RAS

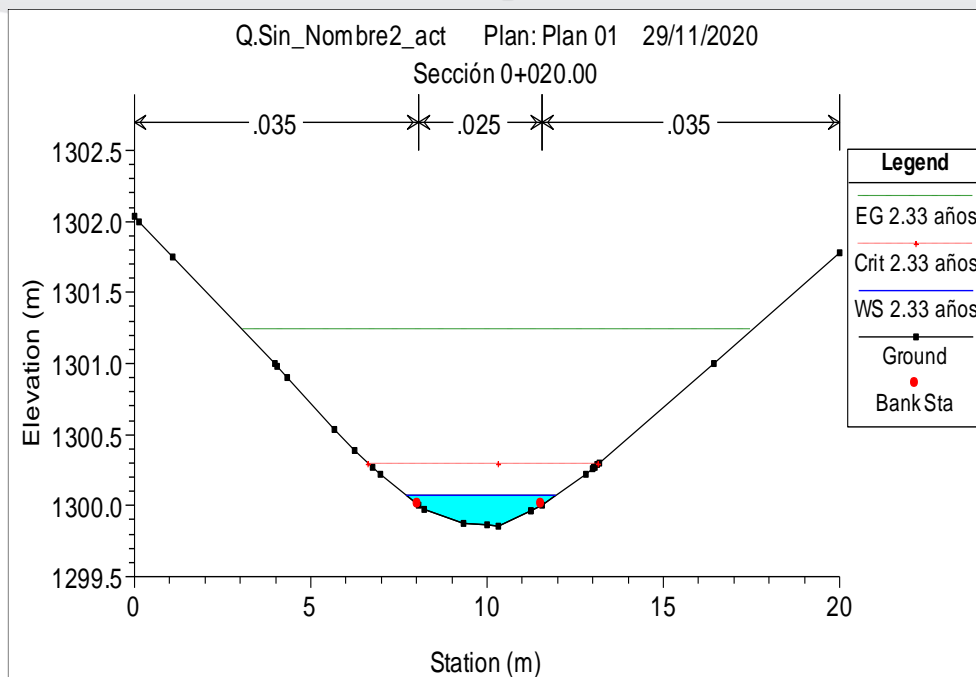


Figura 49. Sección 0+020.00, obtenida del programa HEC-RAS

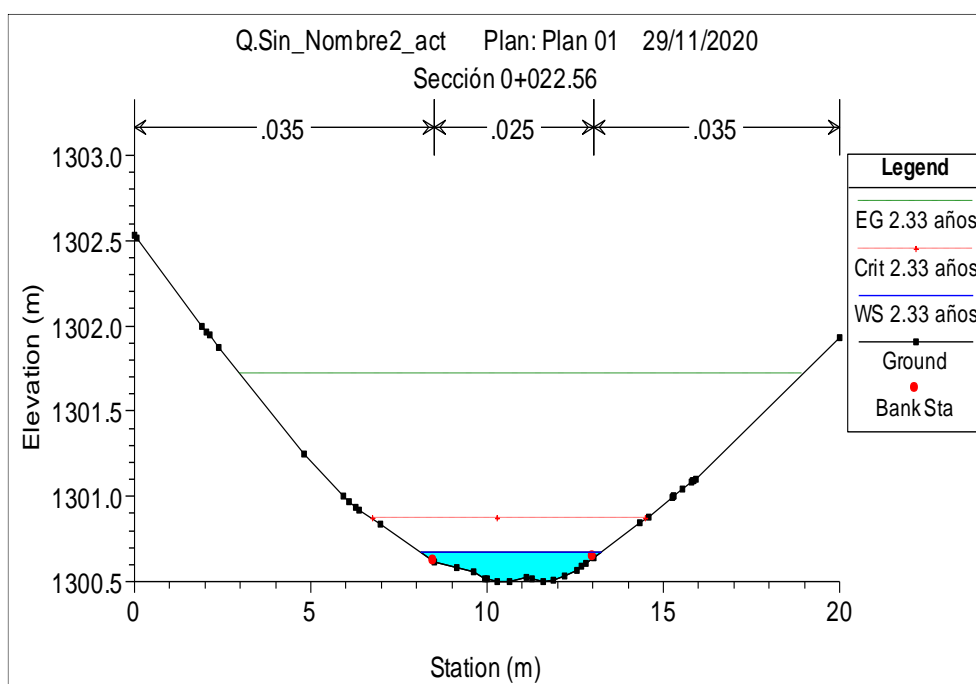


Figura 50. Sección 0+022.56, obtenida del programa HEC-RAS

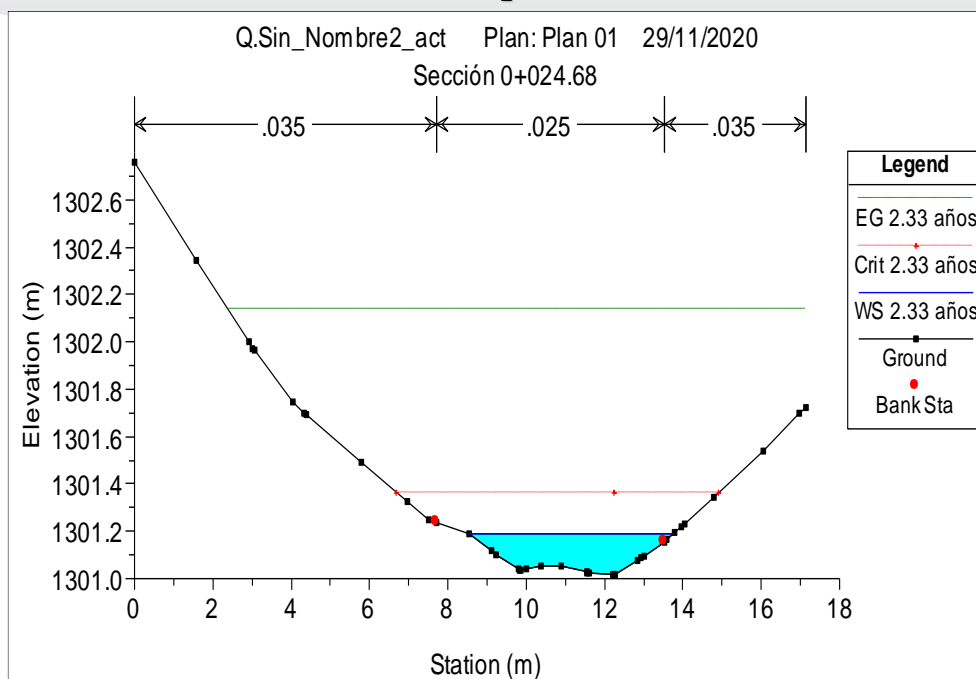


Figura 51. Sección 0+024.68, obtenida del programa HEC-RAS

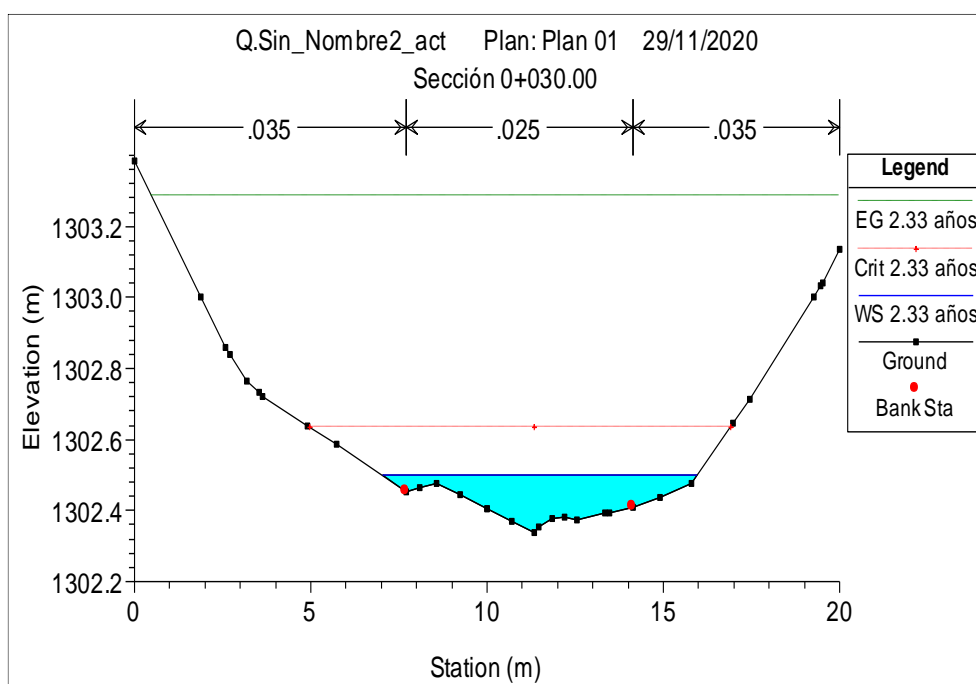


Figura 52. Sección 0+030, obtenida del programa HEC-RAS

SECCIONES TRANSVERSALES DE LA Q. SIN NOMBRE 2, CONDICIÓN A IMPLEMENTAR

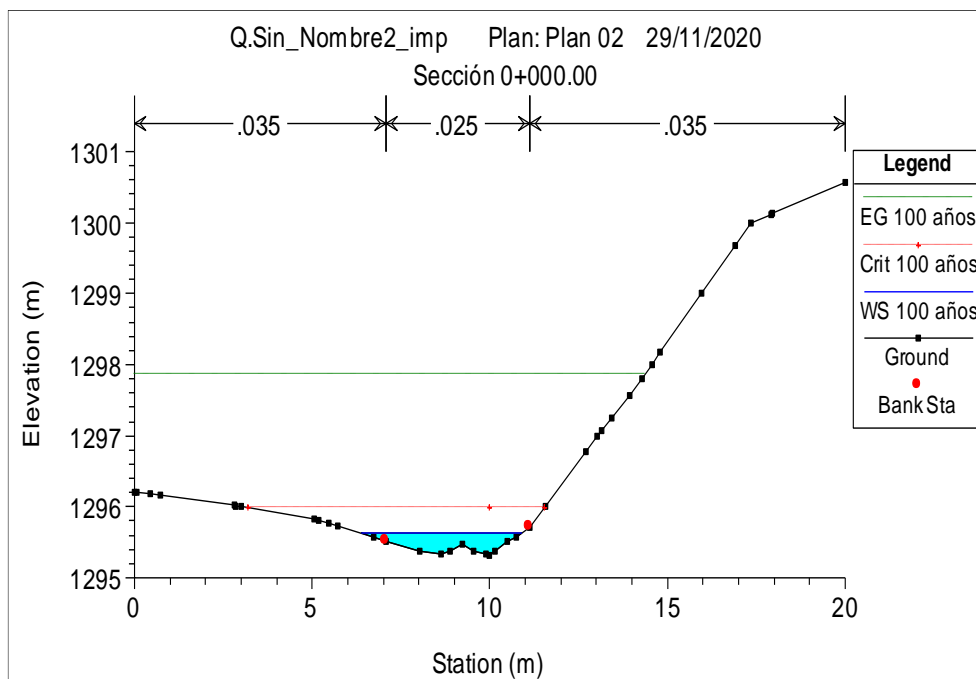


Figura 53. Sección 0+000.00, obtenida del programa HEC-RAS

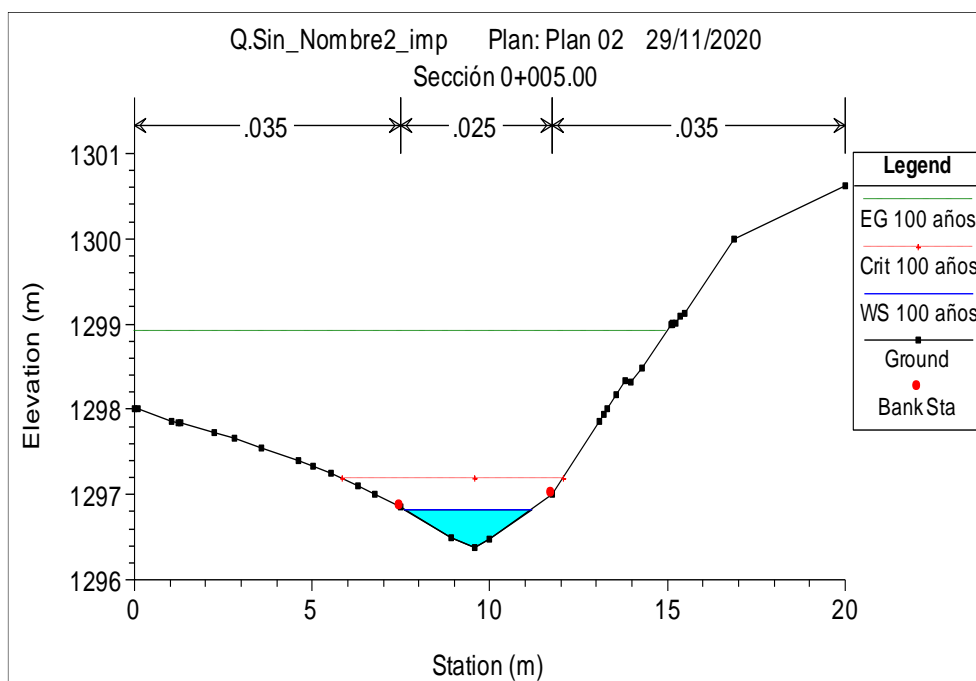


Figura 54. Sección 0+005.00, obtenida del programa HEC-RAS

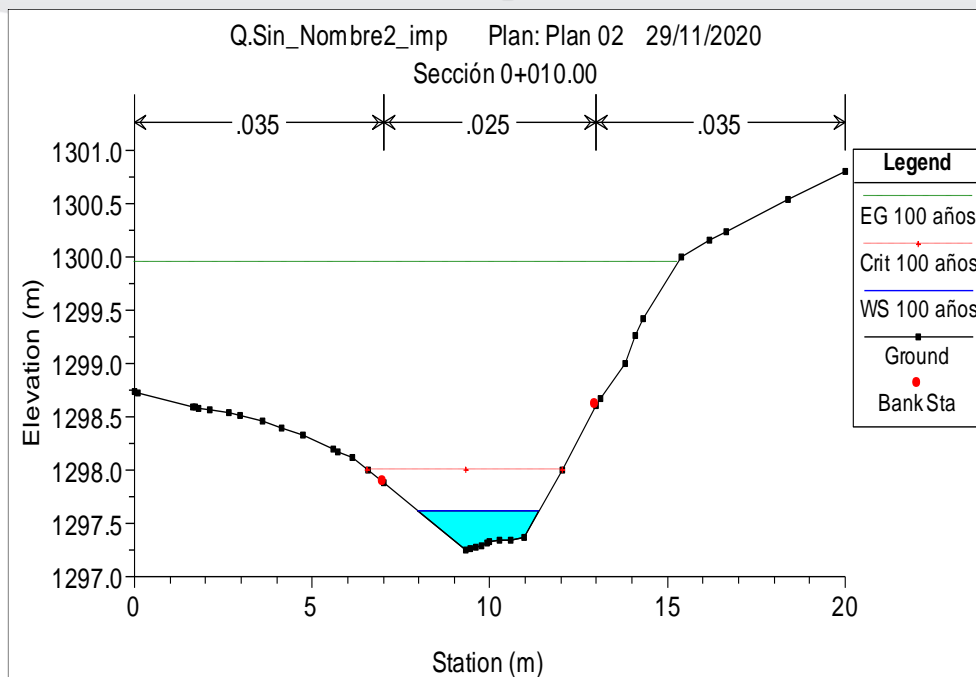


Figura 55. Sección 0+010.00, obtenida del programa HEC-RAS

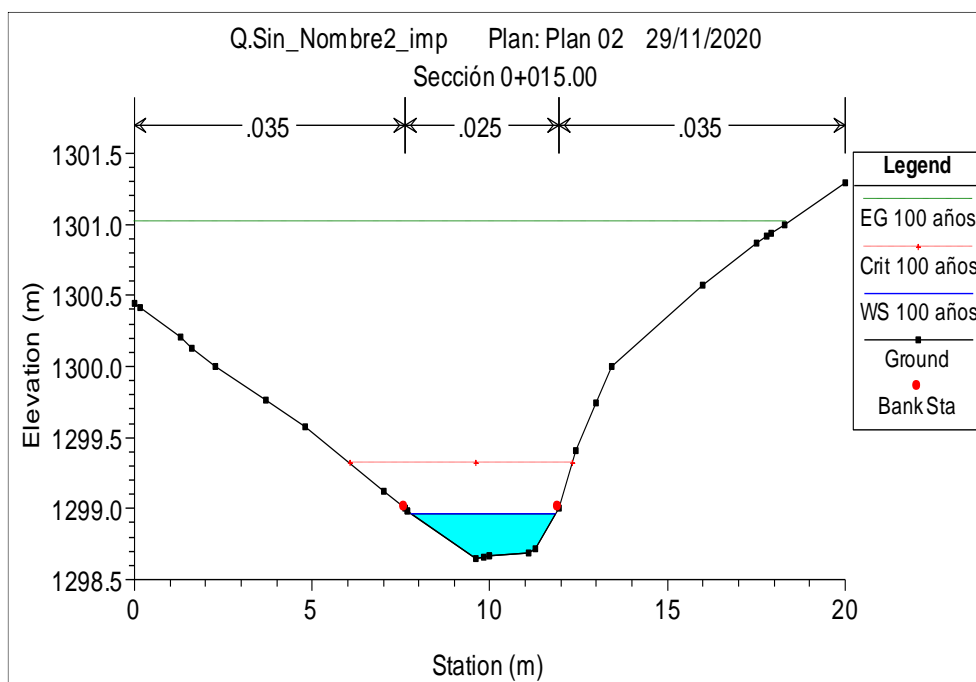


Figura 56. Sección 0+015.00, obtenida del programa HEC-RAS

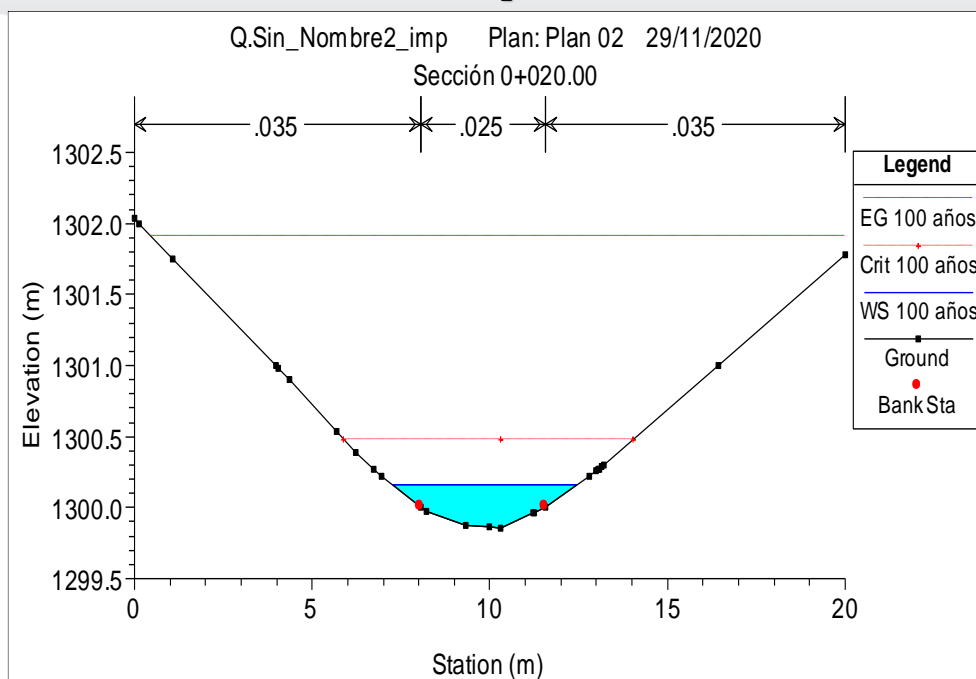


Figura 57. Sección 0+020.00, obtenida del programa HEC-RAS

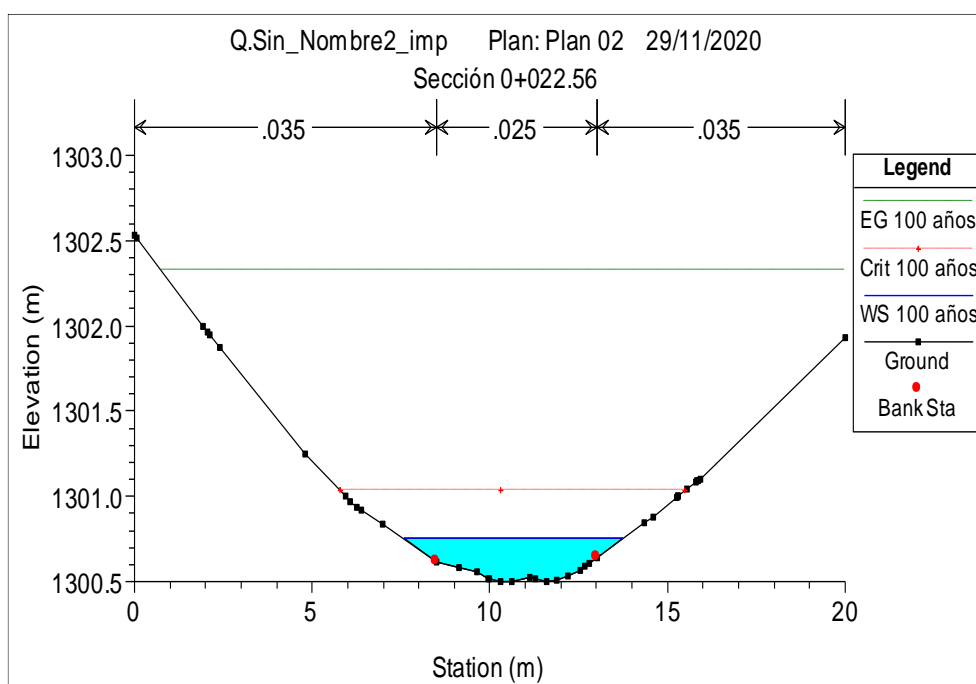


Figura 58. Sección 0+022.56, obtenida del programa HEC-RAS

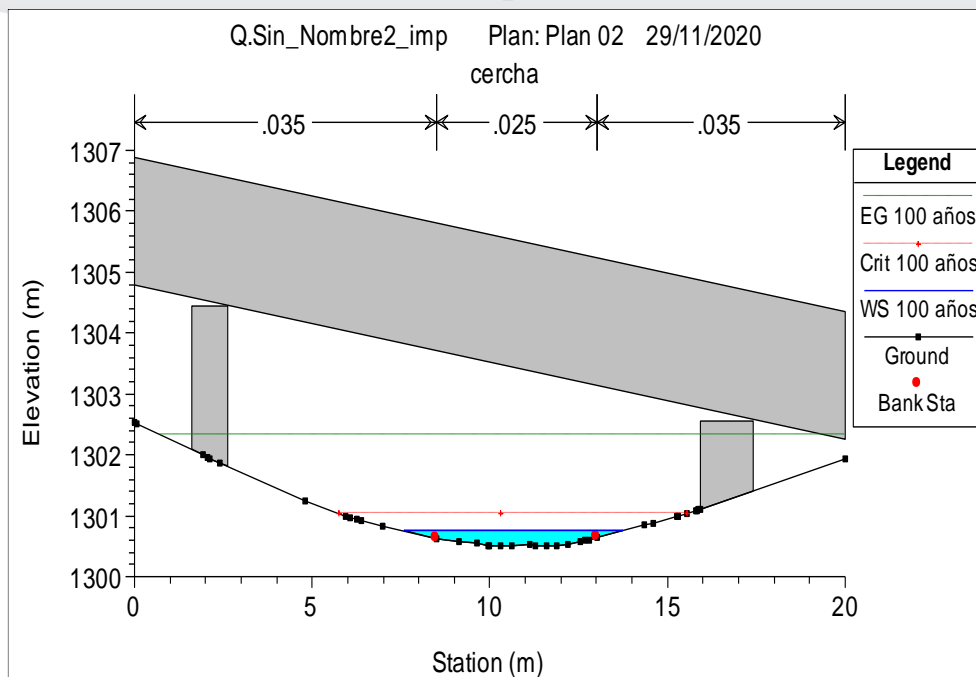


Figura 59. Sección 0+022.57 aguas debajo de la tubería, obtenida del programa HEC-RAS

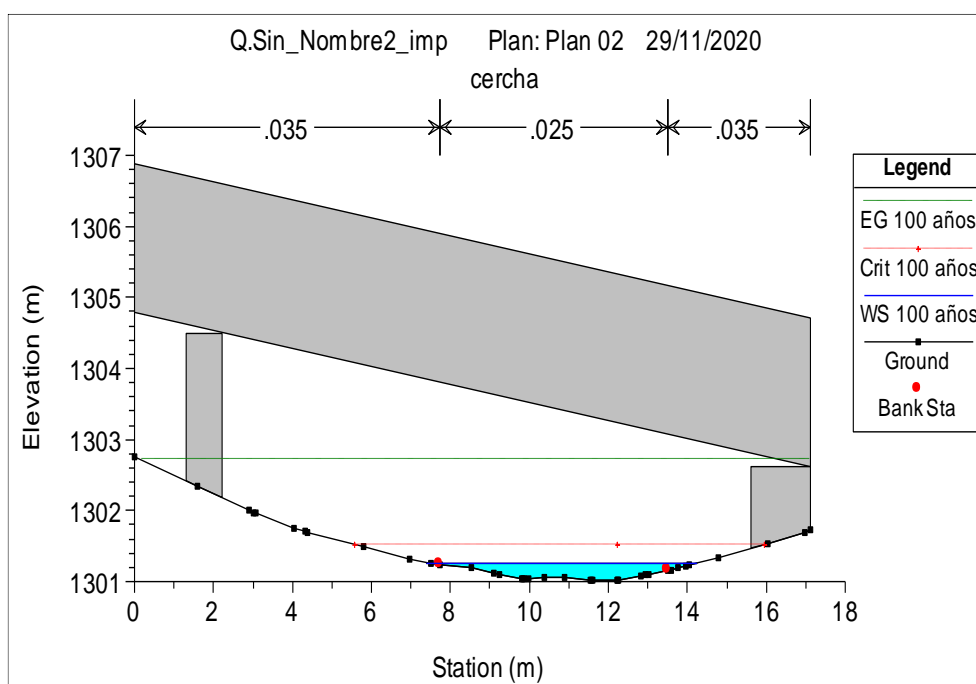


Figura 60. Sección 0+22.57 aguas arriba de la tubería, obtenida del programa HEC-RAS

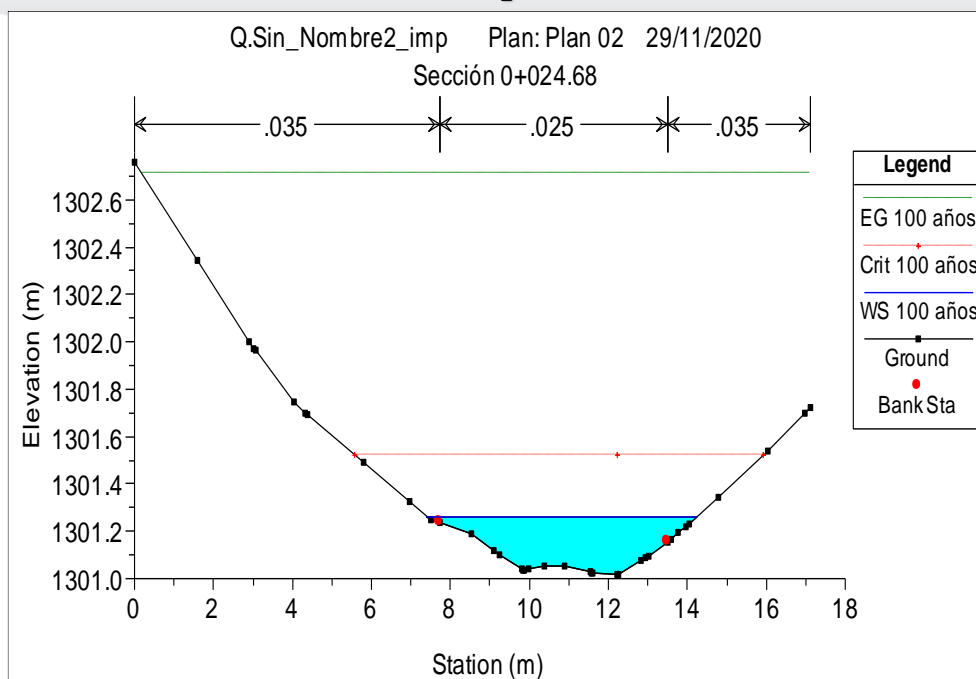


Figura 61. Sección 0+024.68, obtenida del programa HEC-RAS

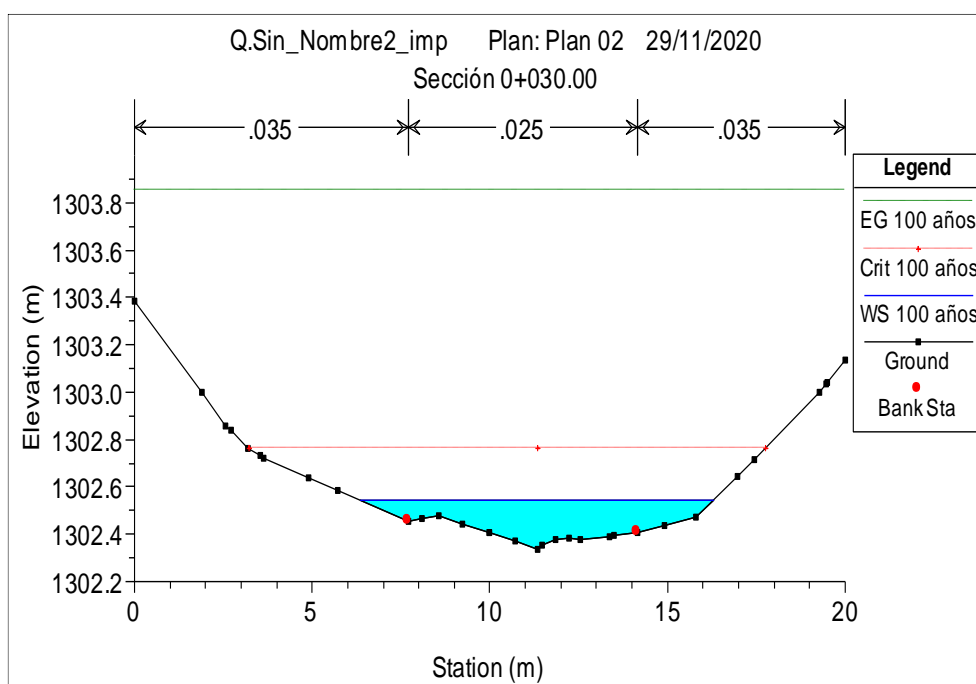


Figura 62. Sección 0+030.00, obtenida del programa HEC-RAS

SECCIONES TRANSVERSALES DE LA Q. SIN NOMBRE 2.1, CONDICIÓN ACTUAL

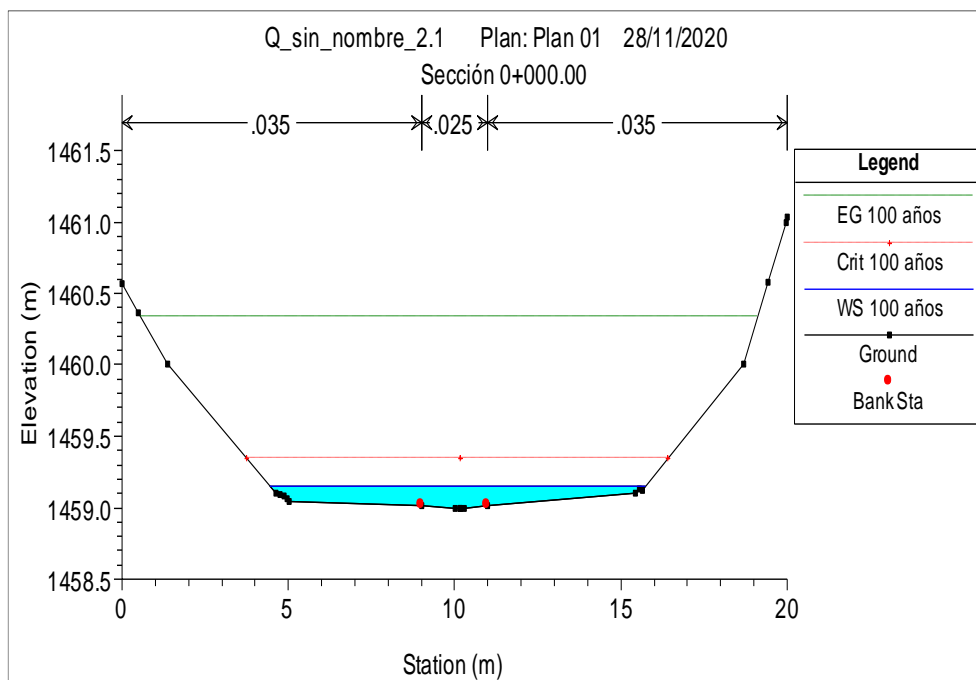


Figura 63. Sección 0+000.00, obtenida del programa HEC-RAS

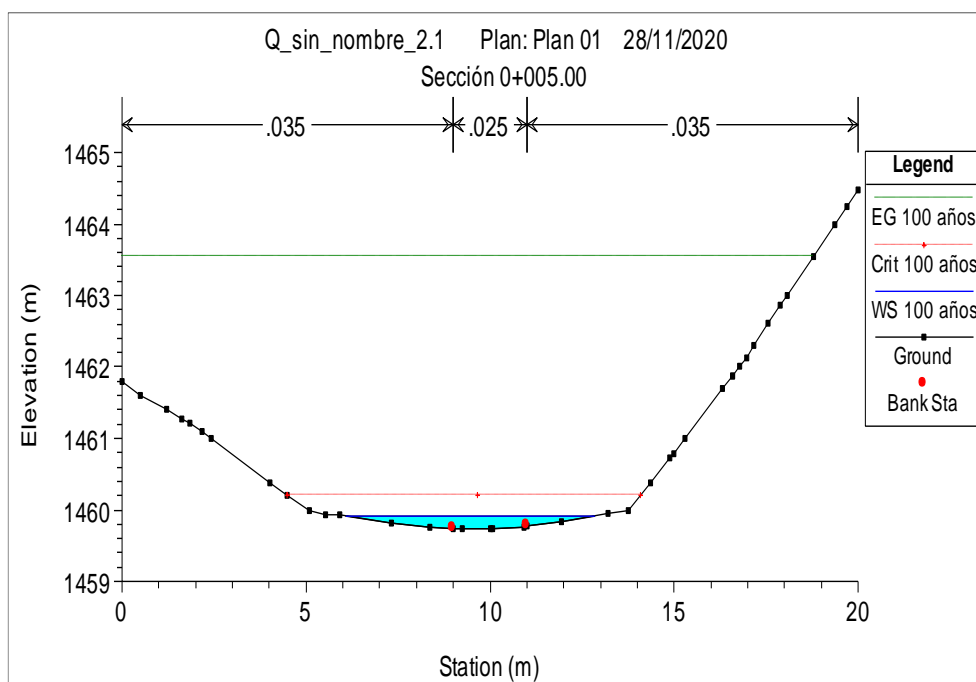


Figura 64. Sección 0+005.00, obtenida del programa HEC-RAS

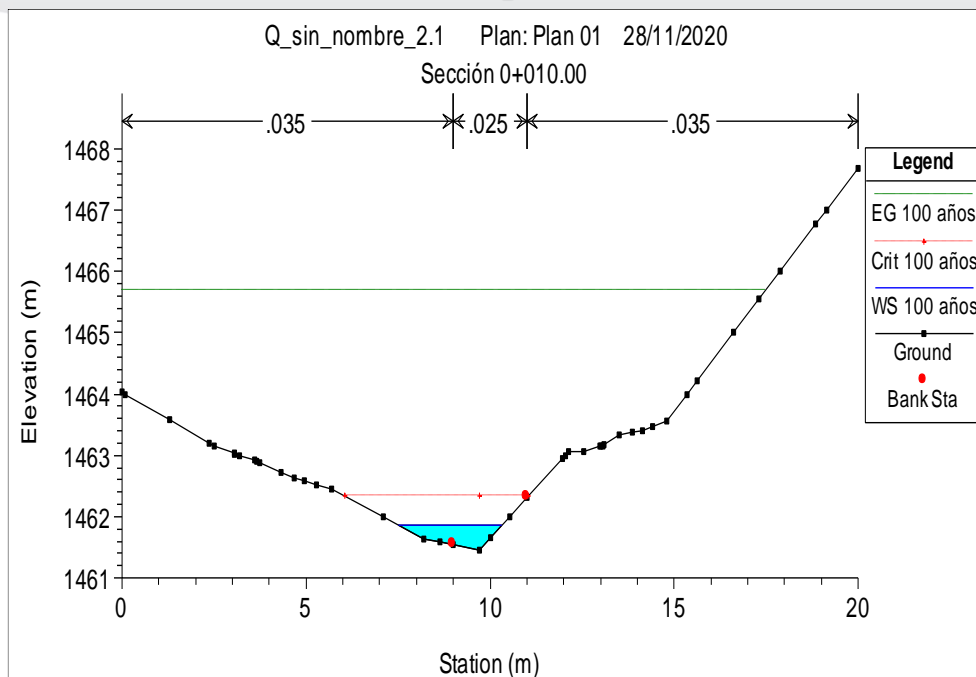


Figura 65. Sección 0+010.00, obtenida del programa HEC-RAS

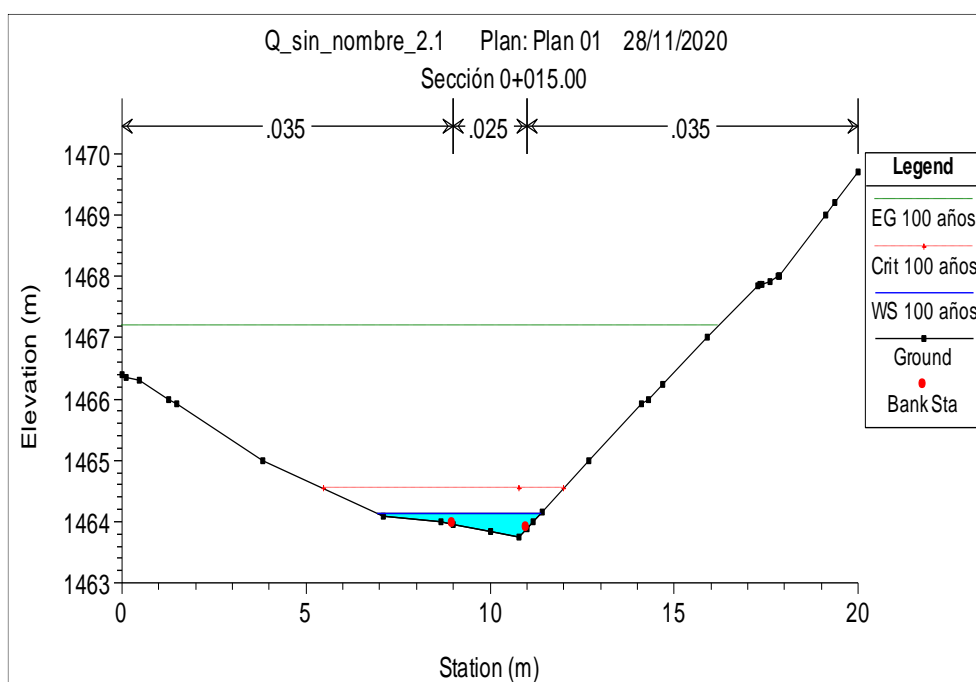


Figura 66. Sección 0+015.00, obtenida del programa HEC-RAS

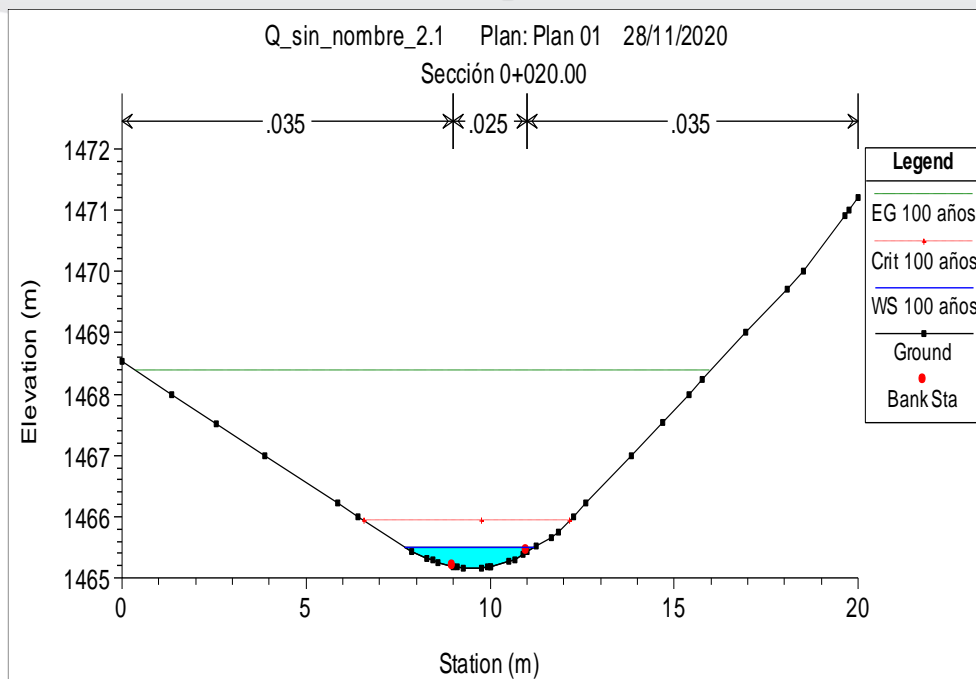


Figura 67. Sección 0+020.00, obtenida del programa HEC-RAS

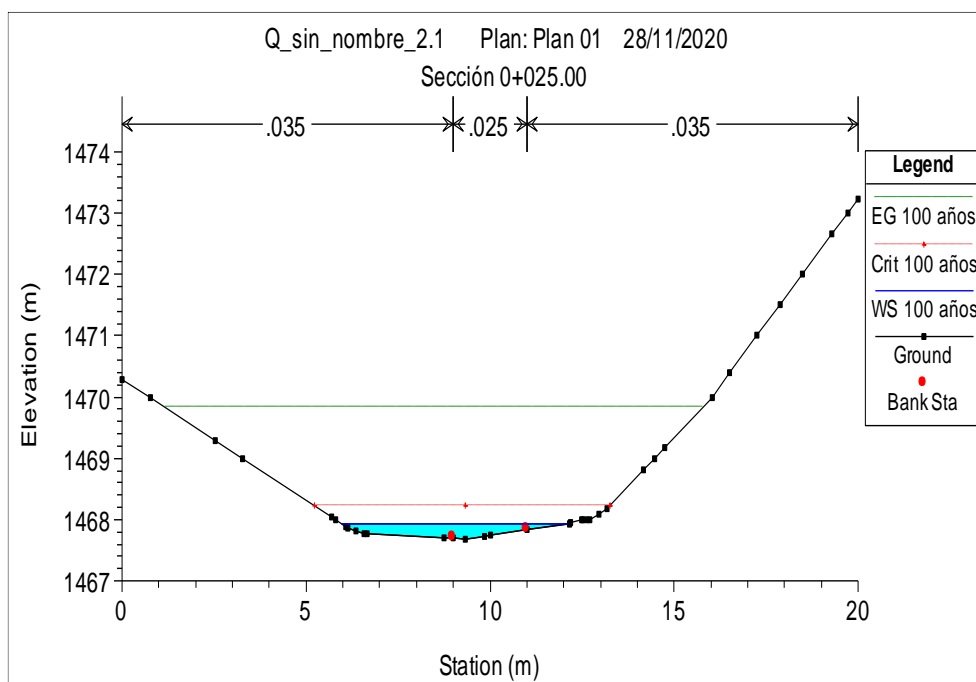


Figura 68. Sección 0+025.00, obtenida del programa HEC-RAS

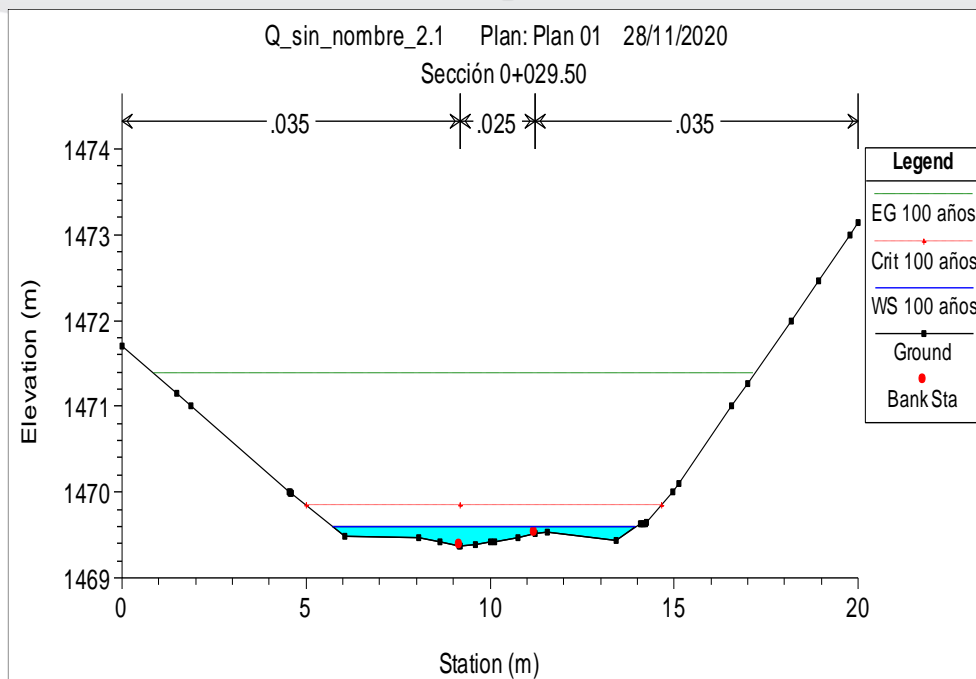


Figura 69. Sección 0+029.50, obtenida del programa HEC-RAS

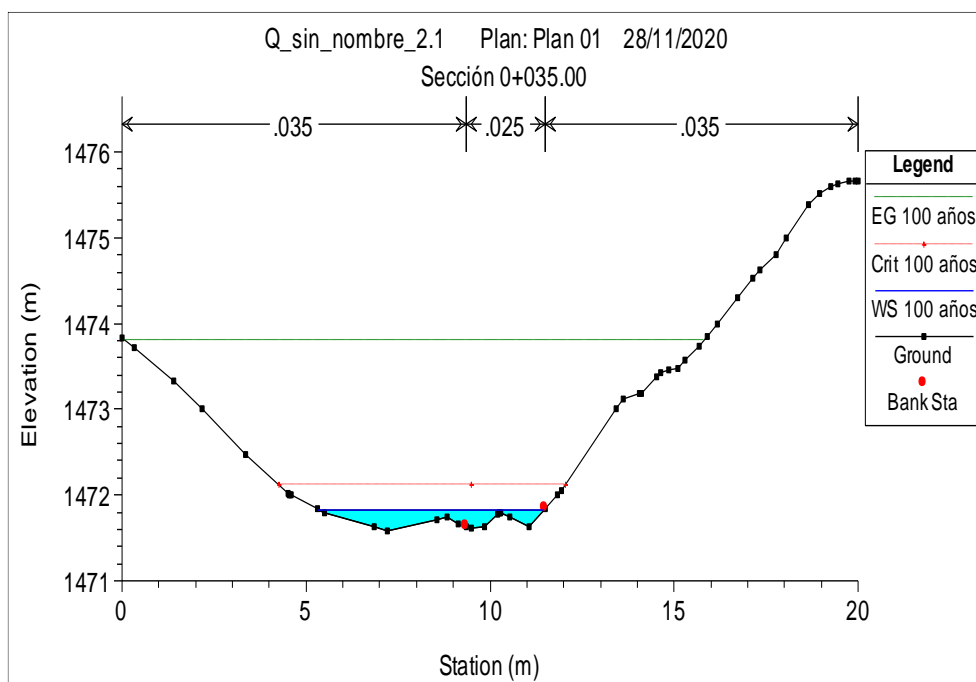


Figura 70. Sección 0+035.00, obtenida del programa HEC-RAS

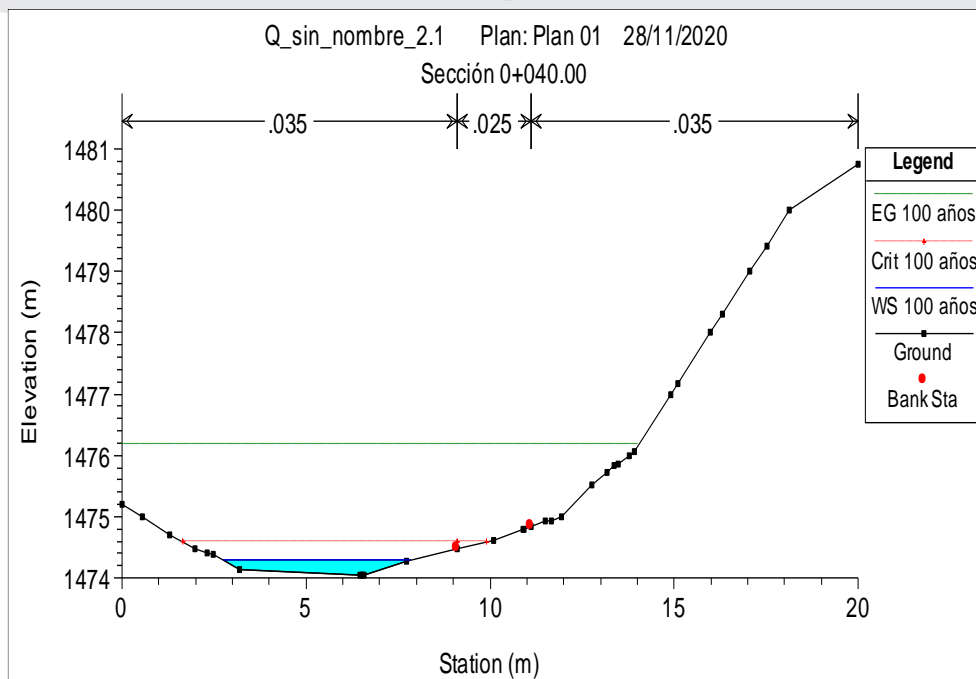


Figura 71. Sección 0+040.00, obtenida del programa HEC-RAS

SECCIONES TRANSVERSALES DE LA Q. SIN NOMBRE 2.1, CONDICIÓN A IMPLEMENTAR

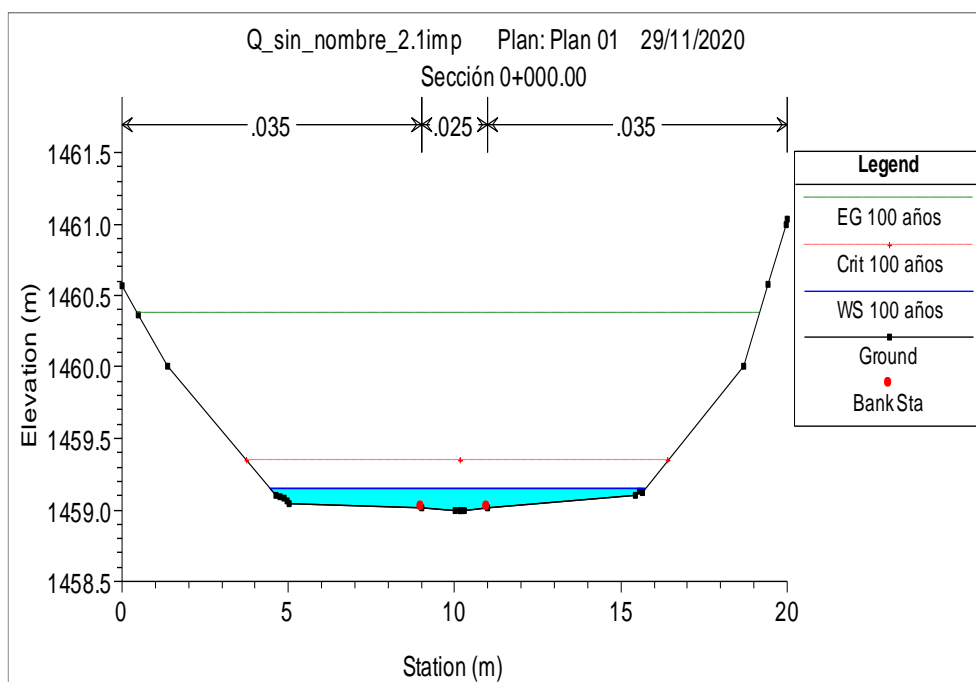


Figura 72. Sección 0+000.00, obtenida del programa HEC-RAS

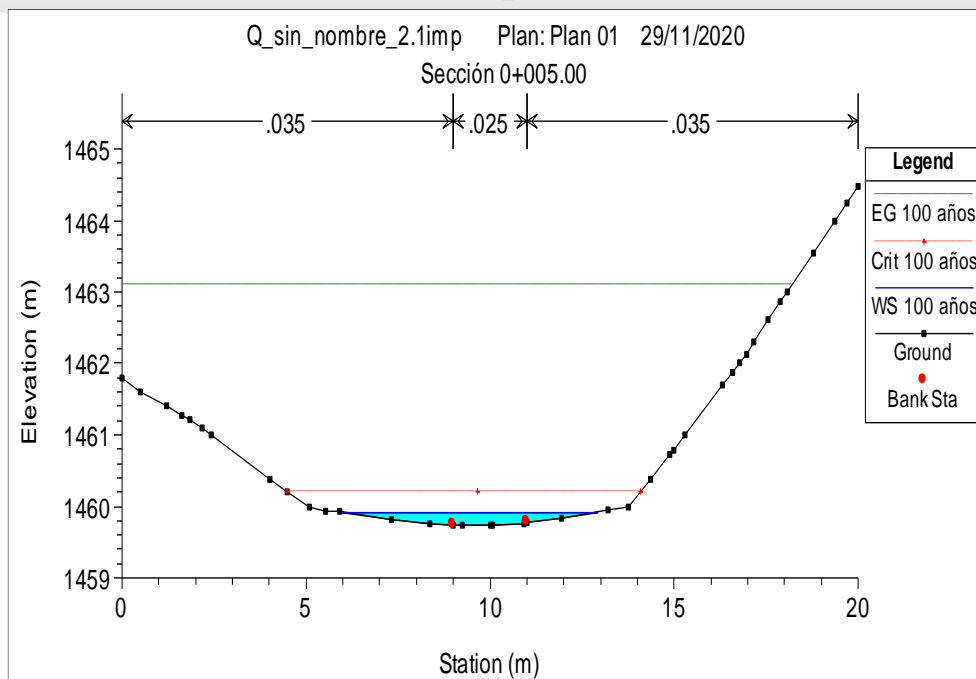


Figura 73. Sección 0+005.00, obtenida del programa HEC-RAS

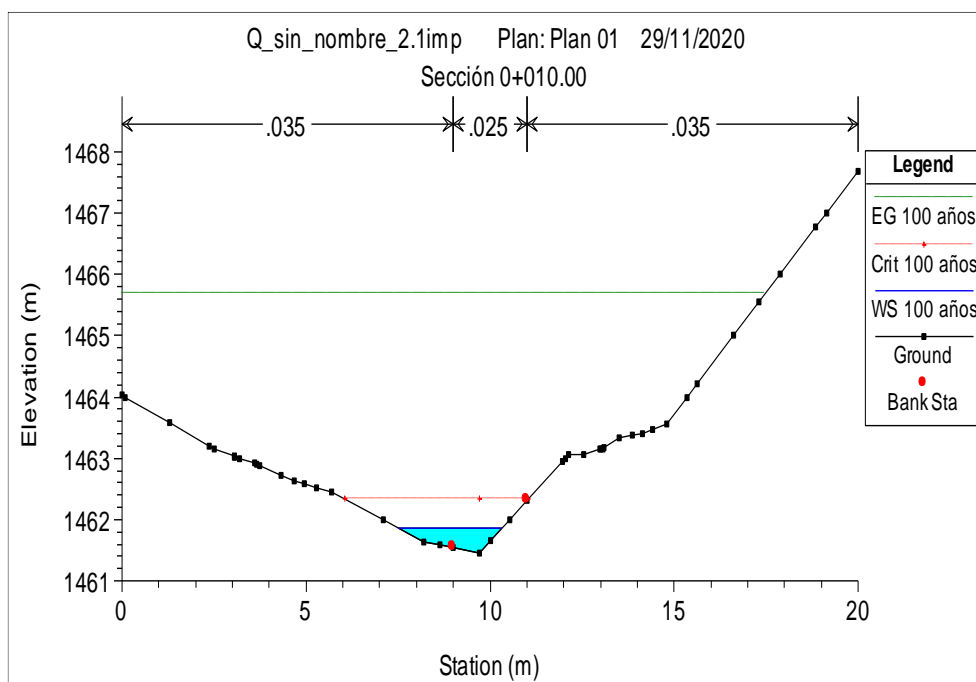


Figura 74. Sección 0+010.00, obtenida del programa HEC-RAS

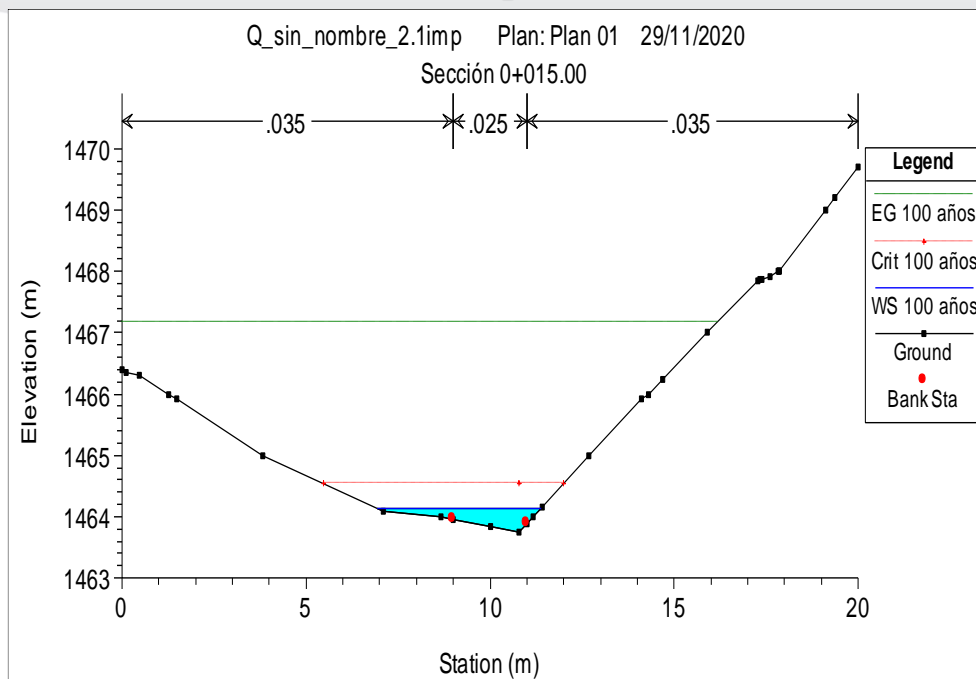


Figura 75. Sección 0+015.00, obtenida del programa HEC-RAS

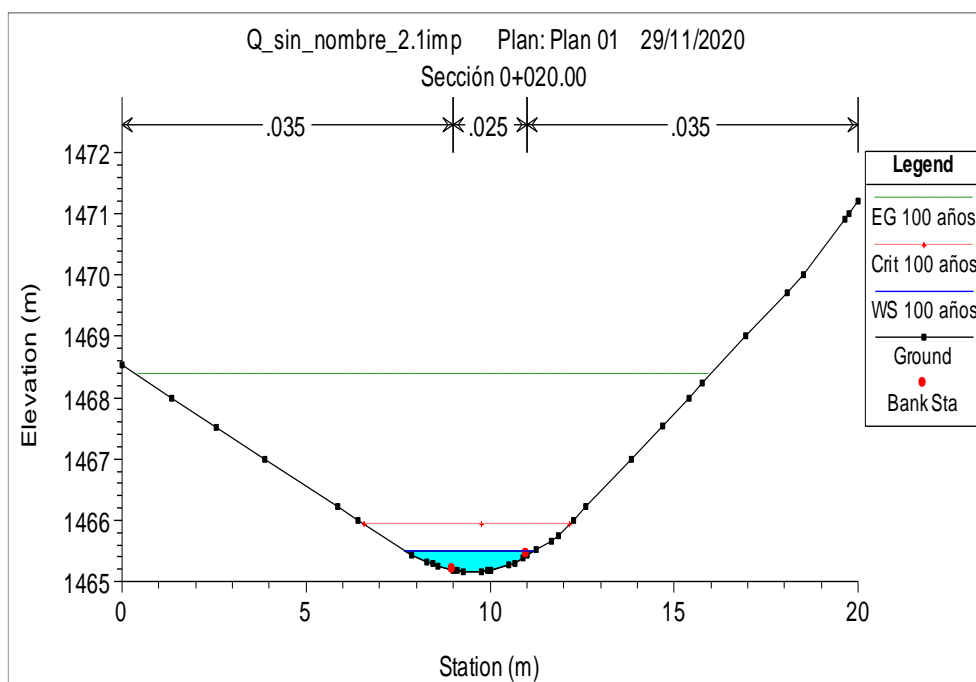


Figura 76. Sección 0+020.00, obtenida del programa HEC-RAS

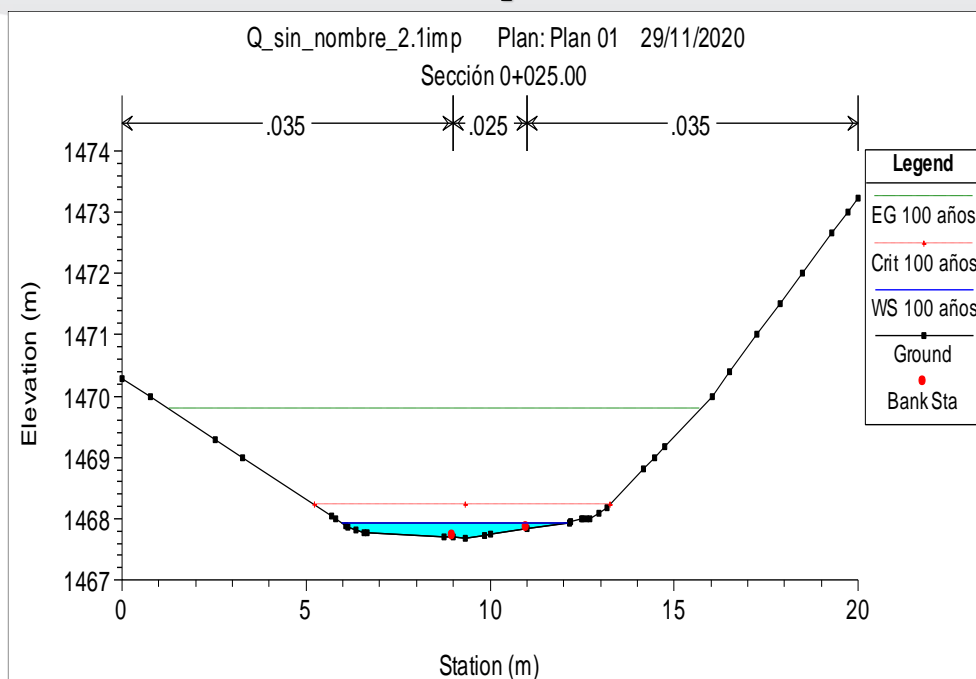


Figura 77. Sección 0+025.00, obtenida del programa HEC-RAS

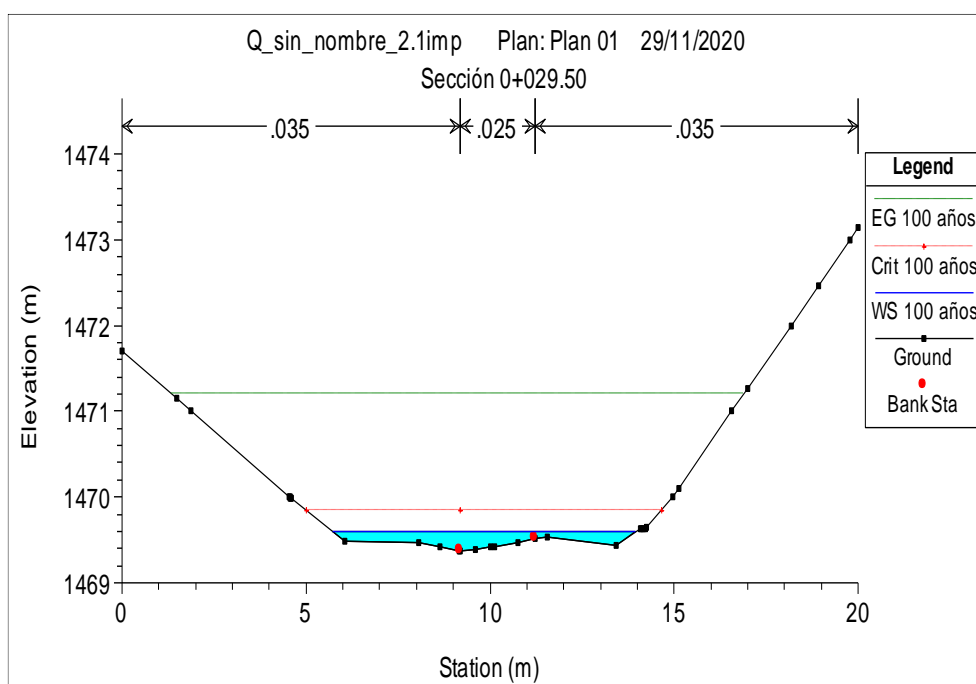


Figura 78. Sección 0+029.50, obtenida del programa HEC-RAS

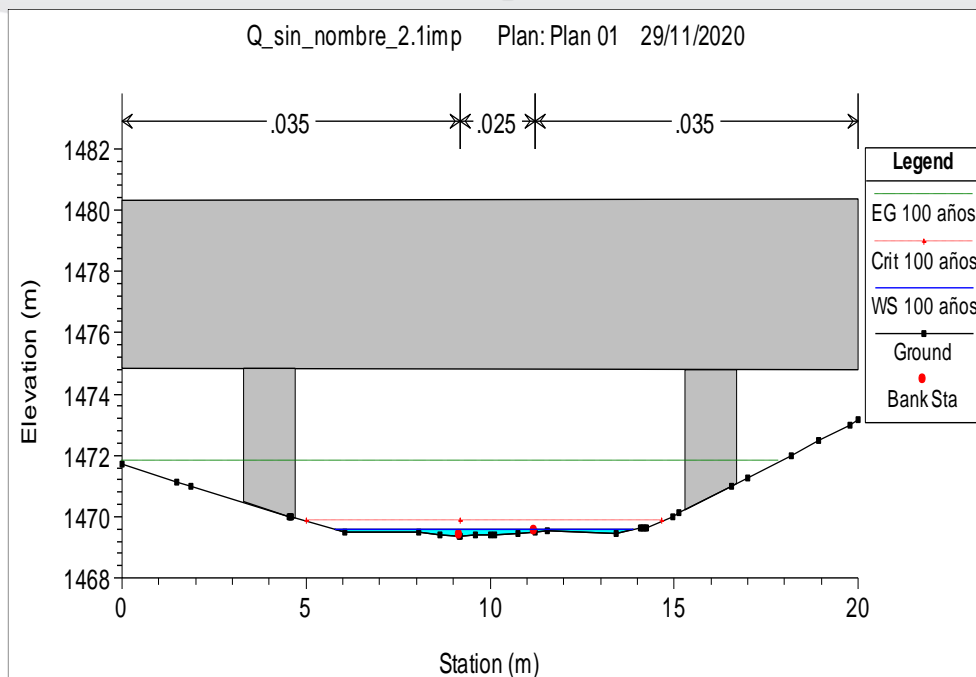


Figura 79. Sección 0+029.51 aguas abajo del puente vehicular, obtenida del programa HEC-RAS

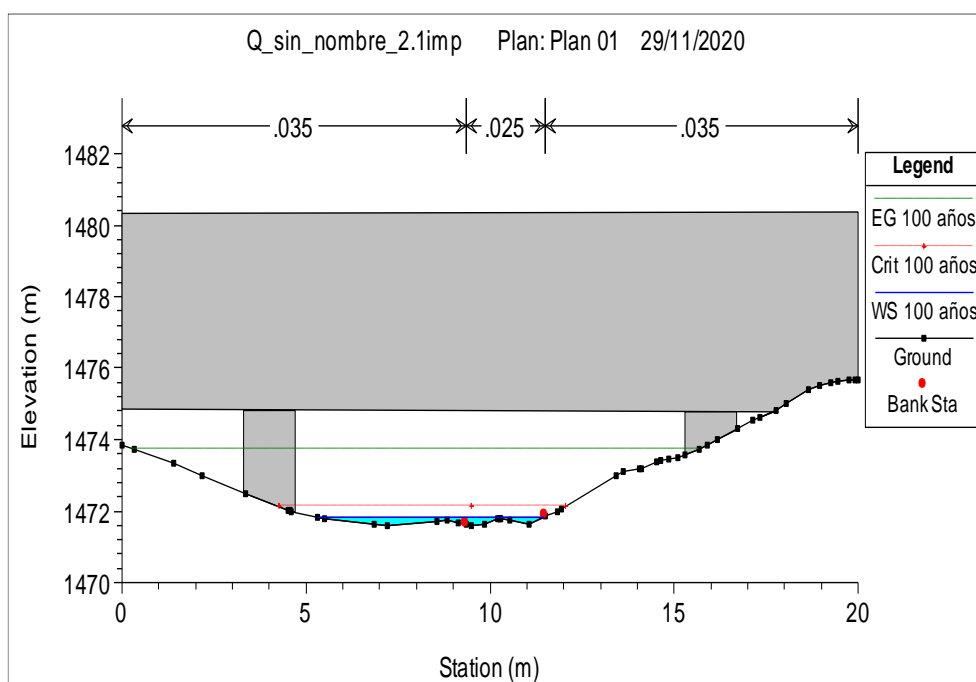


Figura 80. Sección 0+029.51 aguas arriba del puente vehicular, obtenida del programa HEC-RAS

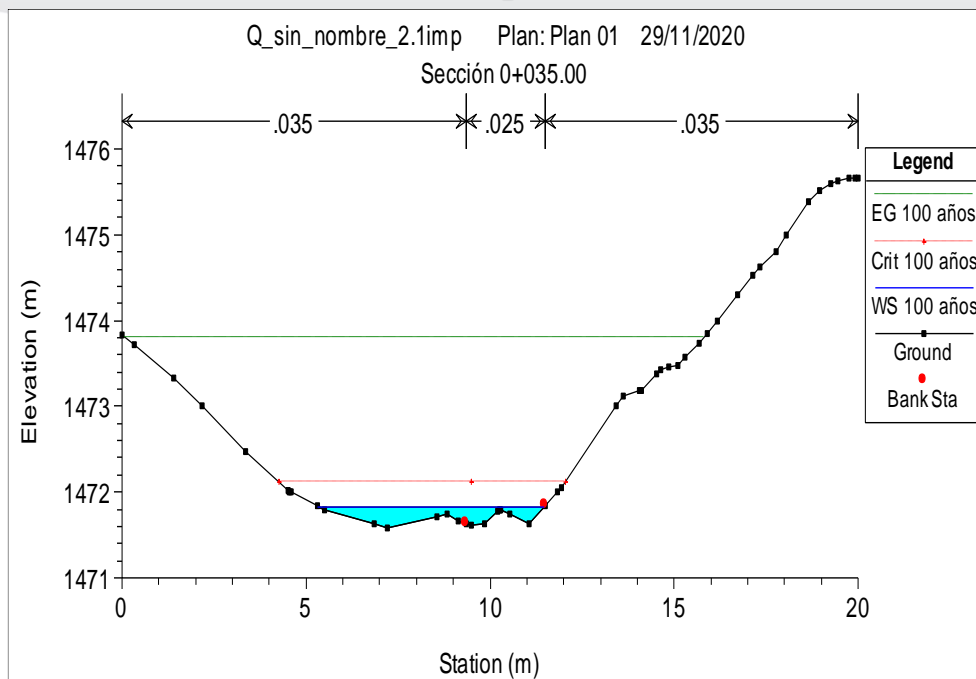


Figura 81. Sección 0+035.00, obtenida del programa HEC-RAS

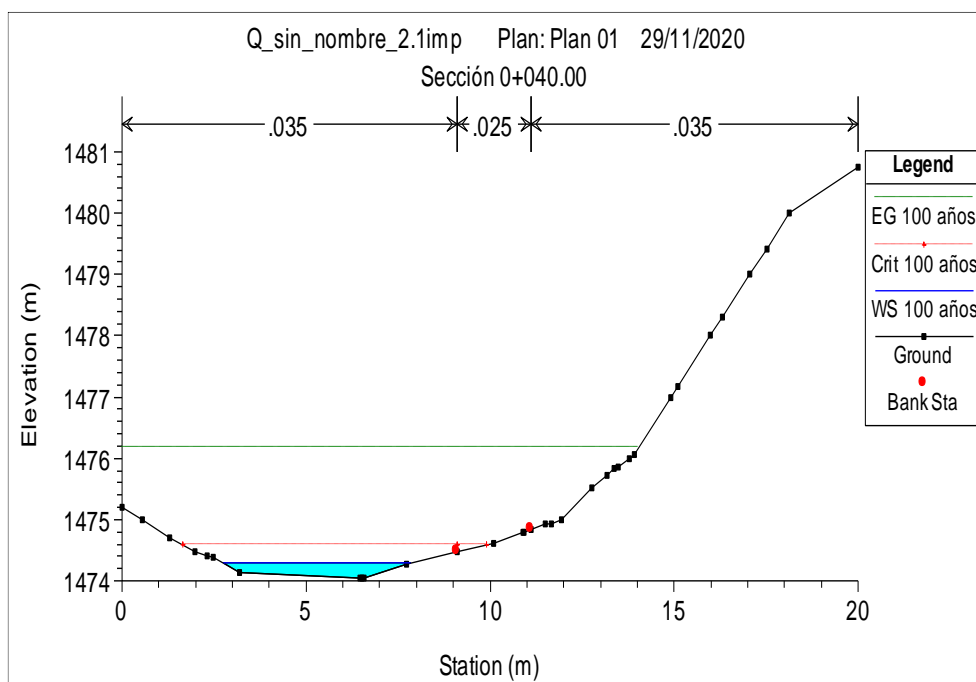


Figura 82. Sección 0+040.00, obtenida del programa HEC-RAS

SECCIONES TRANSVERSALES DE LA Q. SIN NOMBRE 3, CONDICIÓN ACTUAL

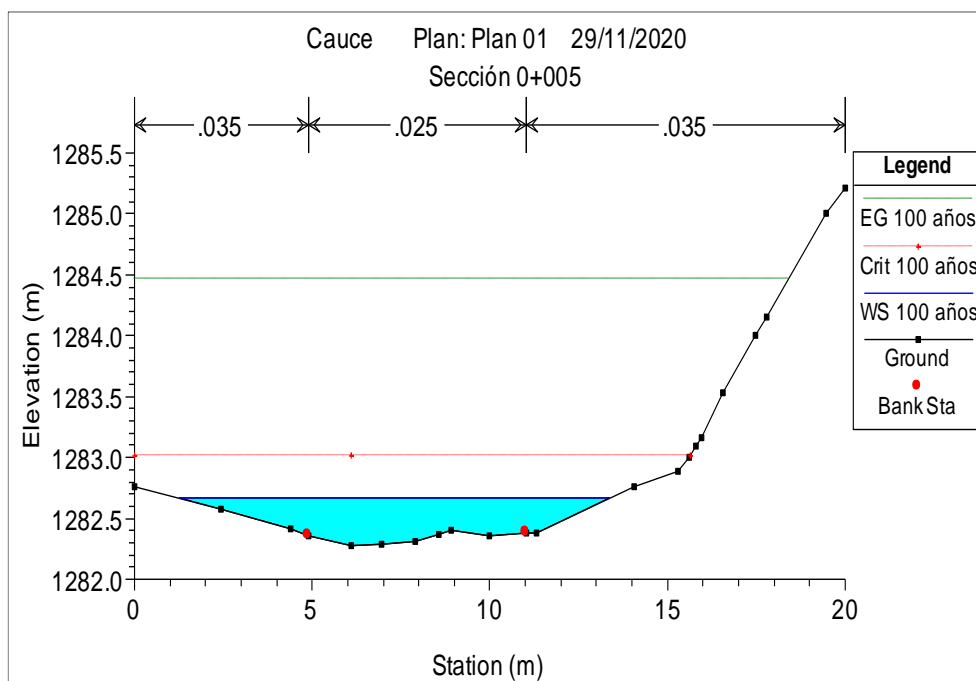


Figura 83. Sección 0+005.00, obtenida del programa HEC-RAS

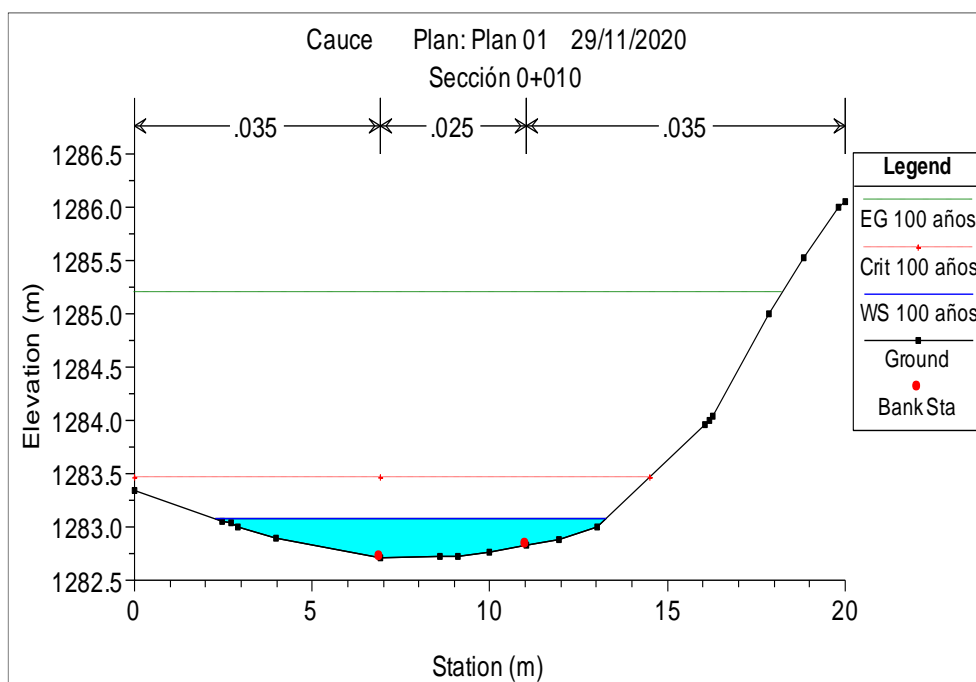


Figura 84. Sección 0+010.00, obtenida del programa HEC-RAS

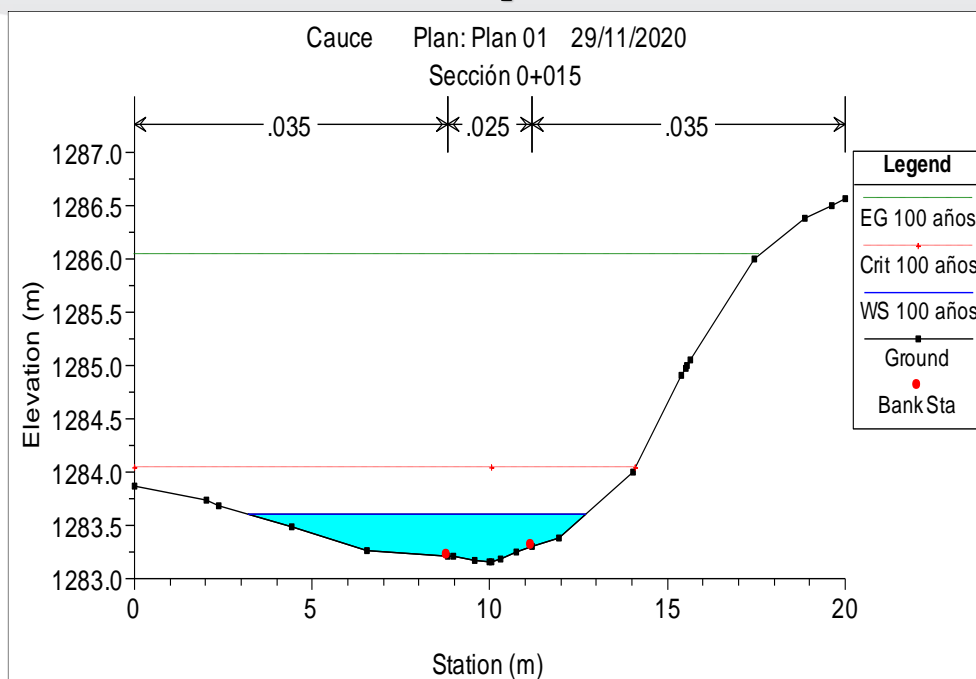


Figura 85. Sección 0+015.00, obtenida del programa HEC-RAS

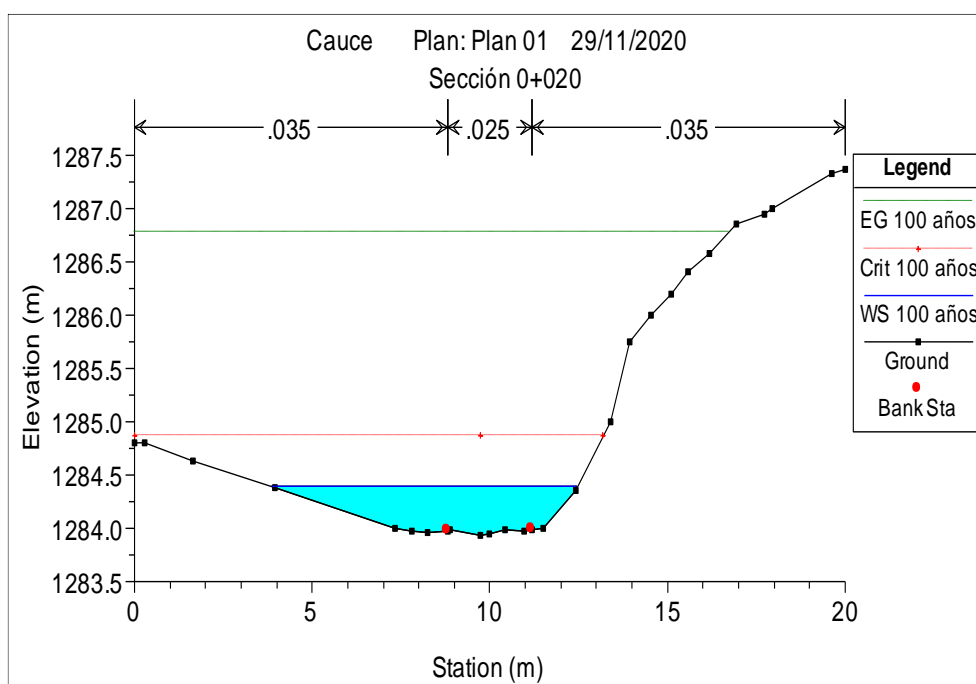


Figura 86. Sección 0+020.00, obtenida del programa HEC-RAS

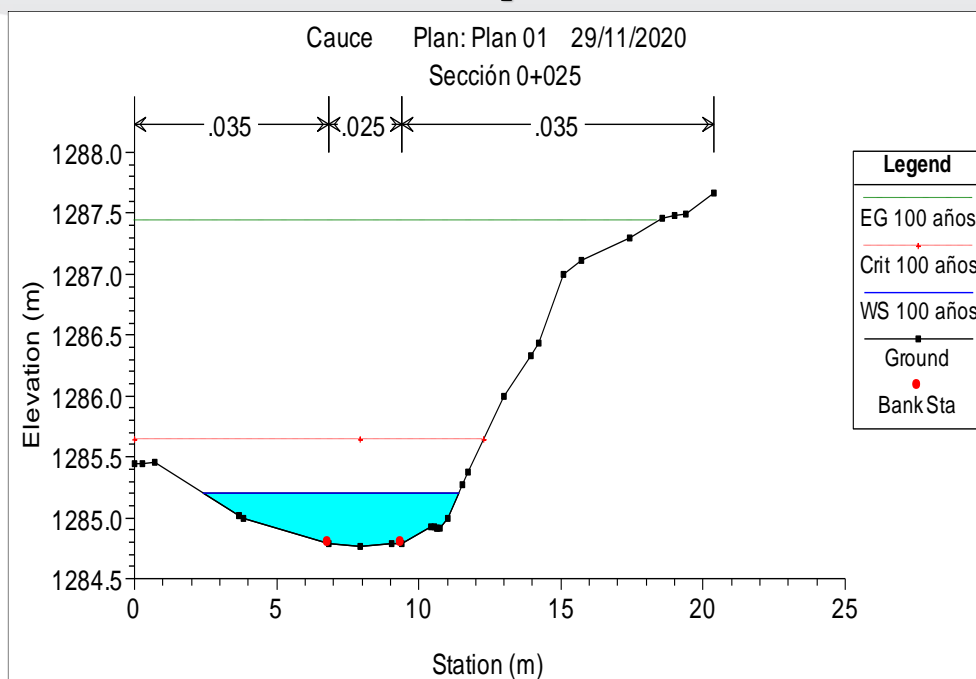


Figura 87. Sección 0+025.00, obtenida del programa HEC-RAS

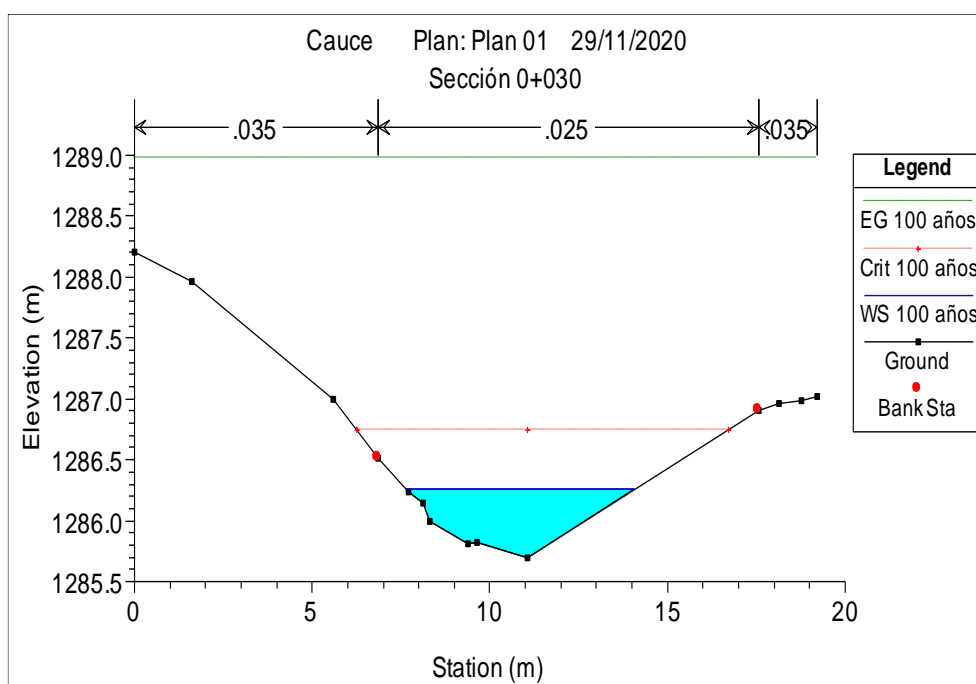


Figura 88. Sección 0+030.00, obtenida del programa HEC-RAS

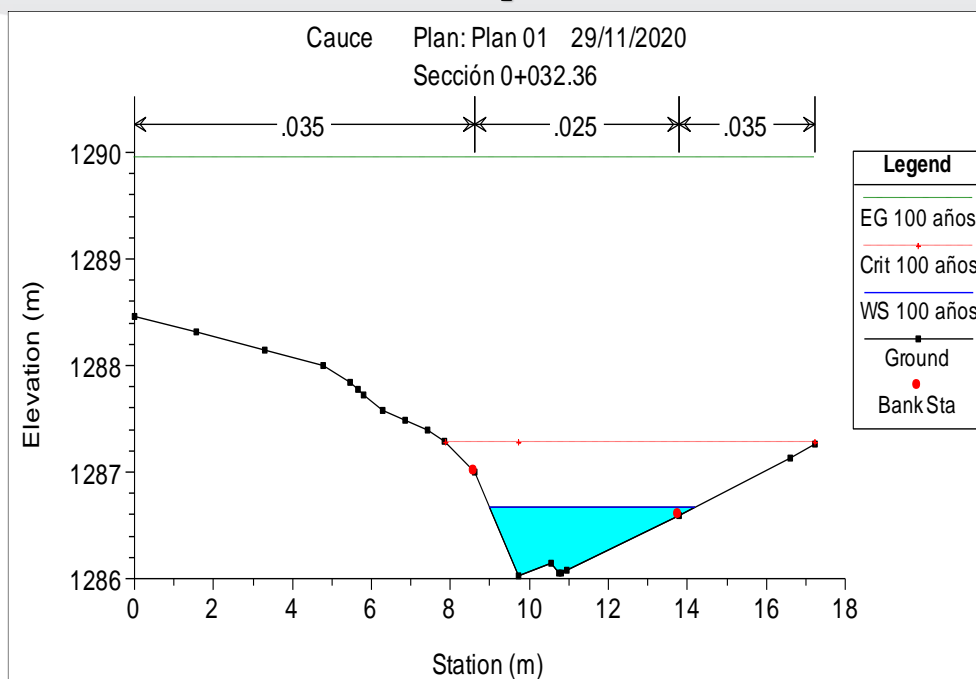


Figura 89. Sección 0+032.36, obtenida del programa HEC-RAS

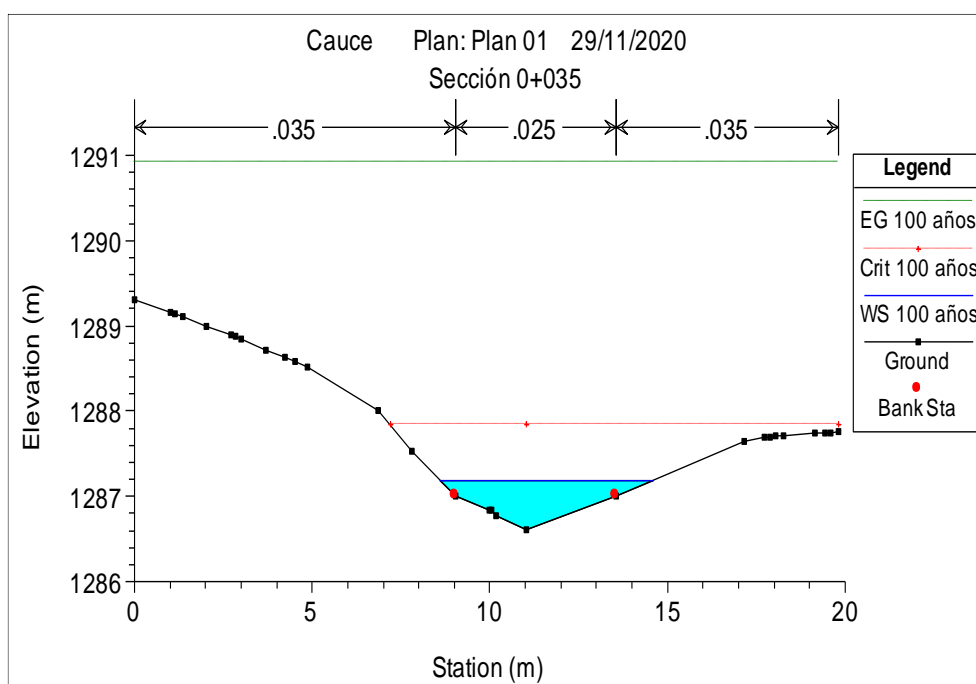


Figura 90. Sección 0+035.00, obtenida del programa HEC-RAS

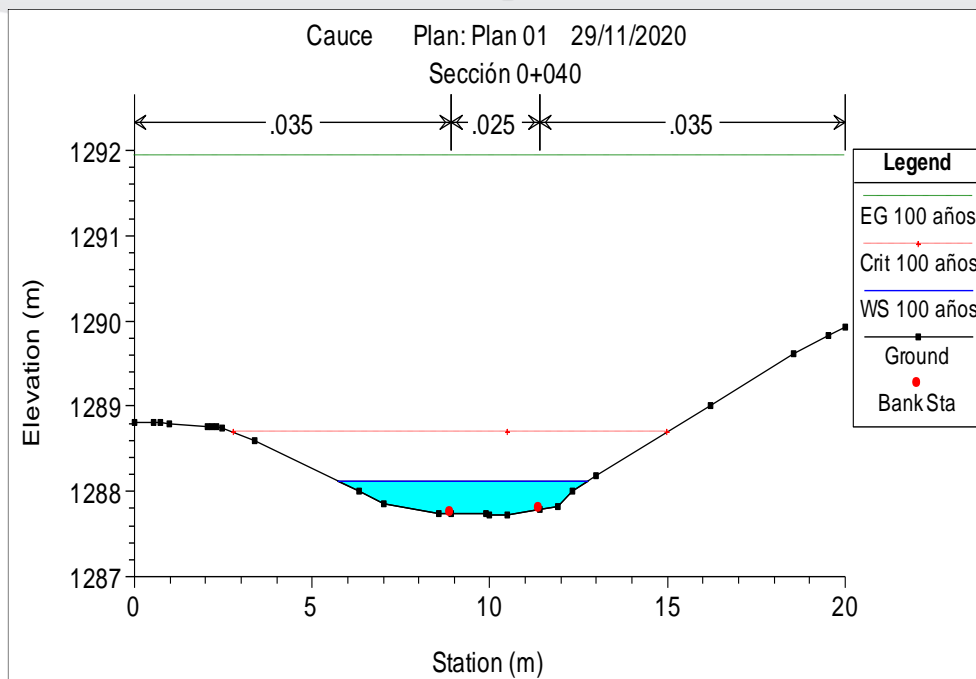


Figura 91. Sección 0+040.00, obtenida del programa HEC-RAS

SECCIONES TRANSVERSALES DE LA Q. SIN NOMBRE 3, CONDICIÓN A IMPLEMENTAR

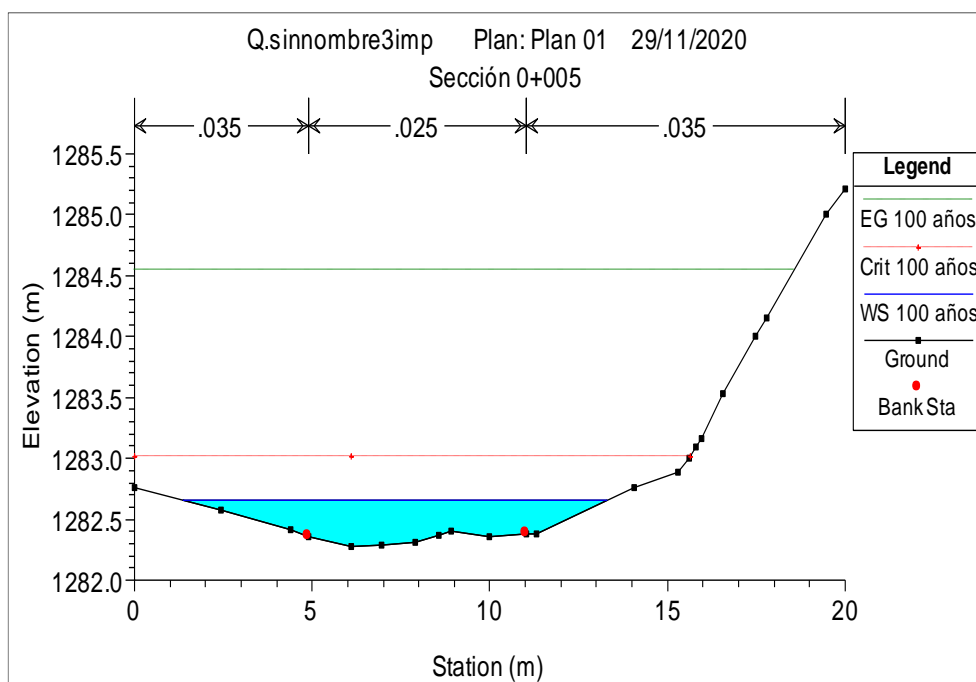


Figura 92. Sección 0+005.00, obtenida del programa HEC-RAS

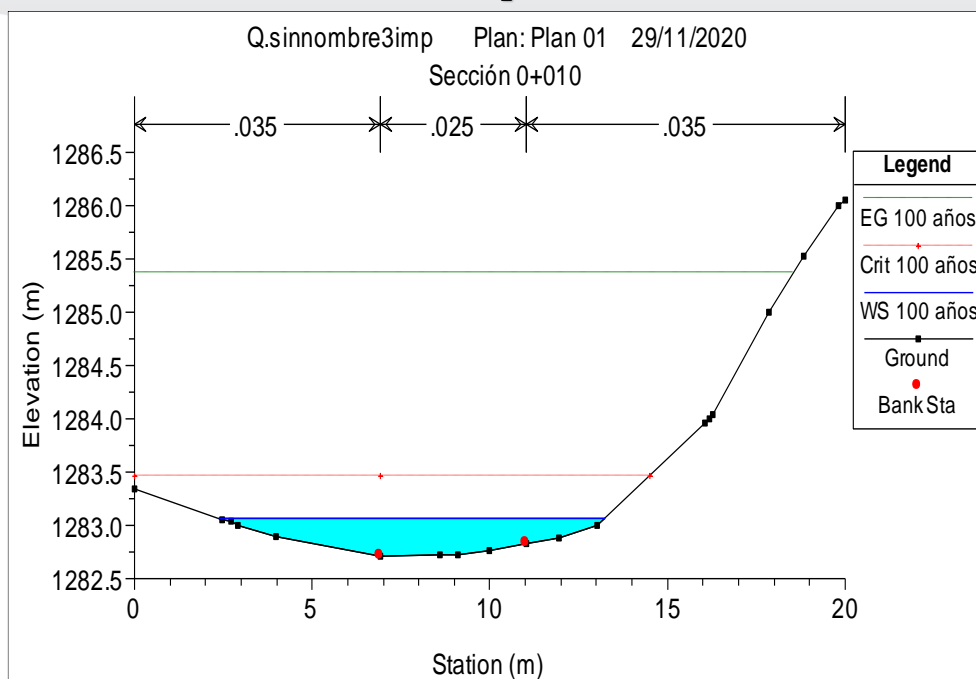


Figura 93. Sección 0+010.00, obtenida del programa HEC-RAS

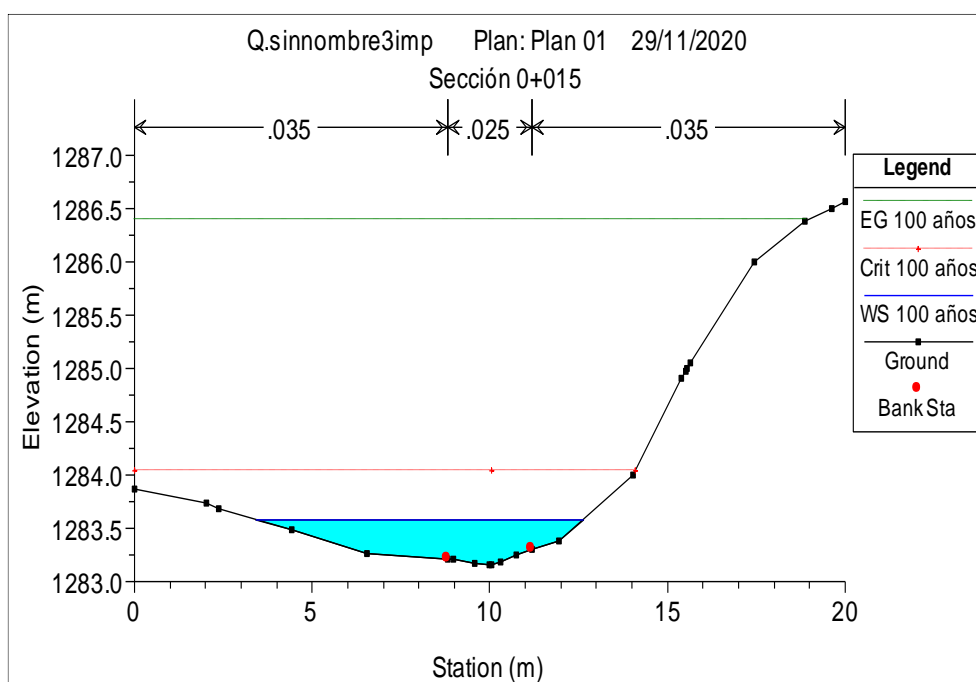


Figura 94. Sección 0+015.00, obtenida del programa HEC-RAS

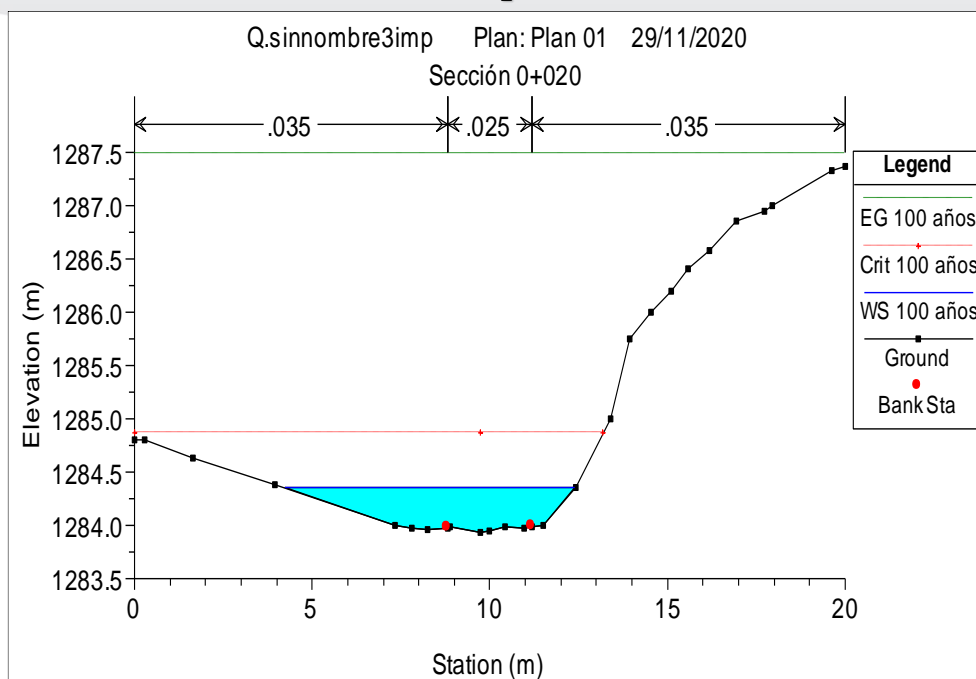


Figura 95. Sección 0+020.00, obtenida del programa HEC-RAS

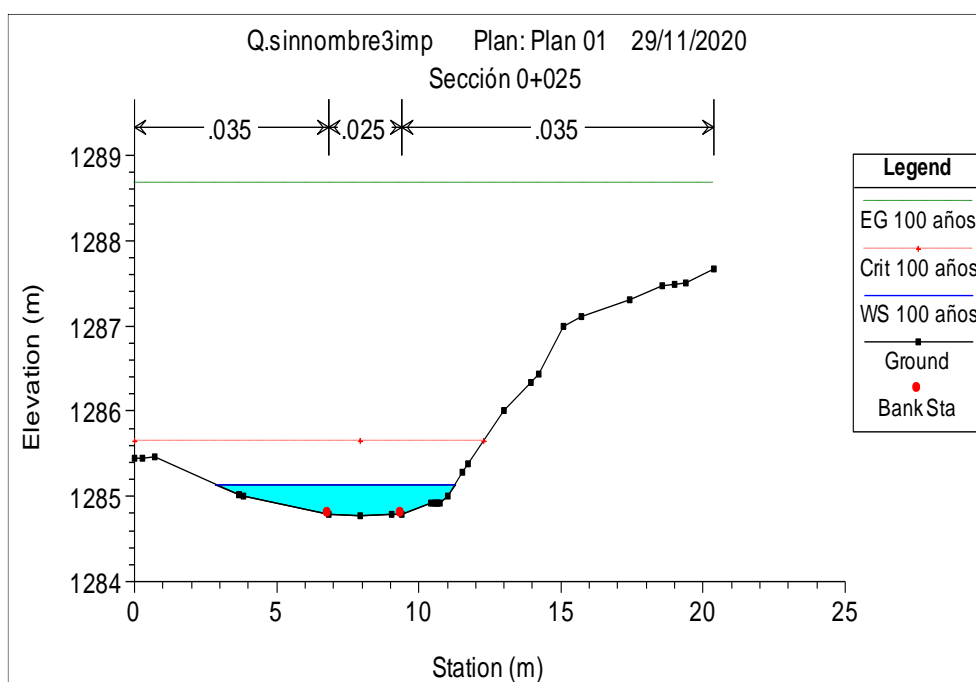


Figura 96. Sección 0+025.00, obtenida del programa HEC-RAS

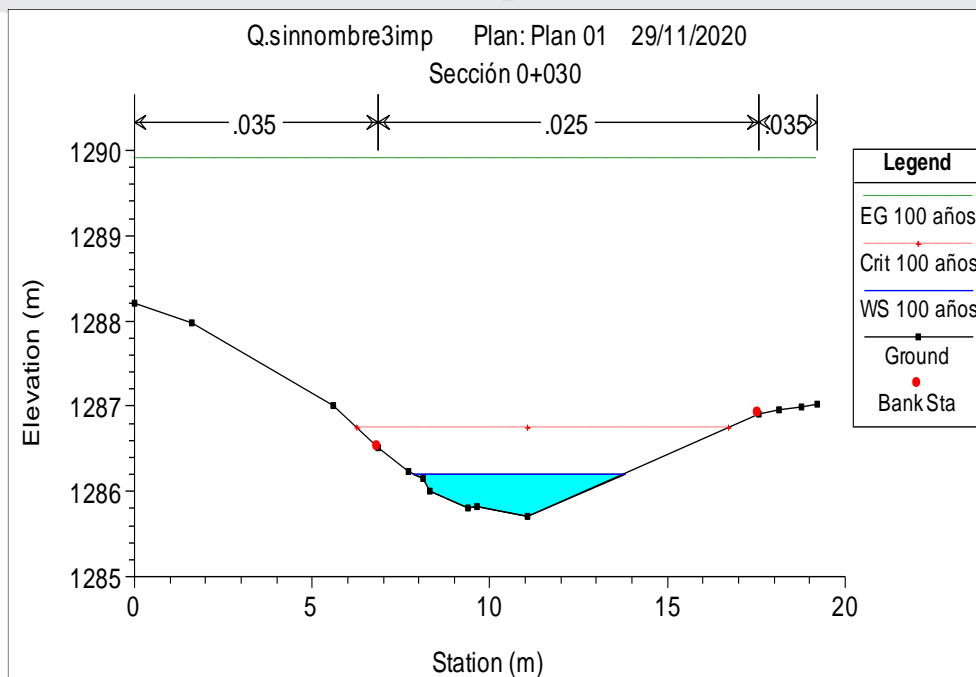


Figura 97. Sección 0+030.00, obtenida del programa HEC-RAS

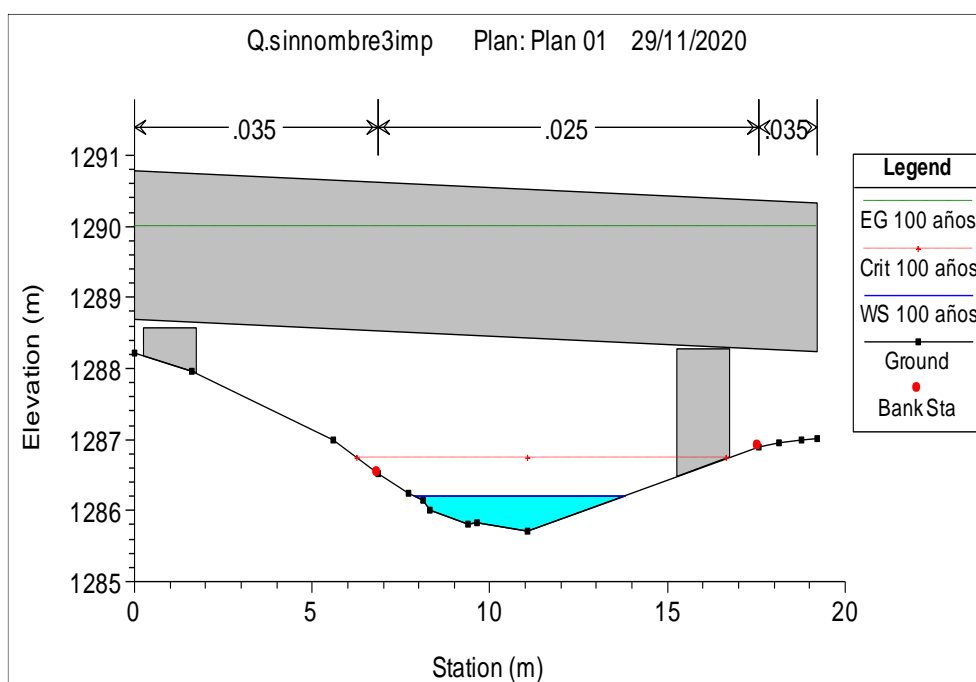


Figura 98. Sección 0+030.06aguas debajo de la tubería, obtenida del programa HEC-RAS

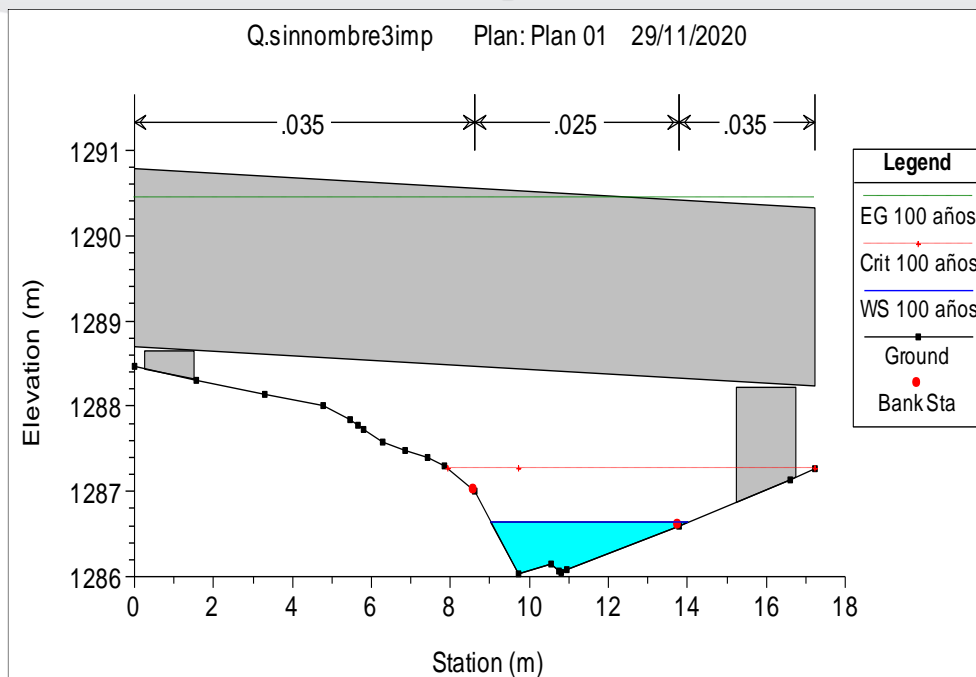


Figura 99. Sección 0+030.06 aguas arriba de la tubería, obtenida del programa HEC-RAS

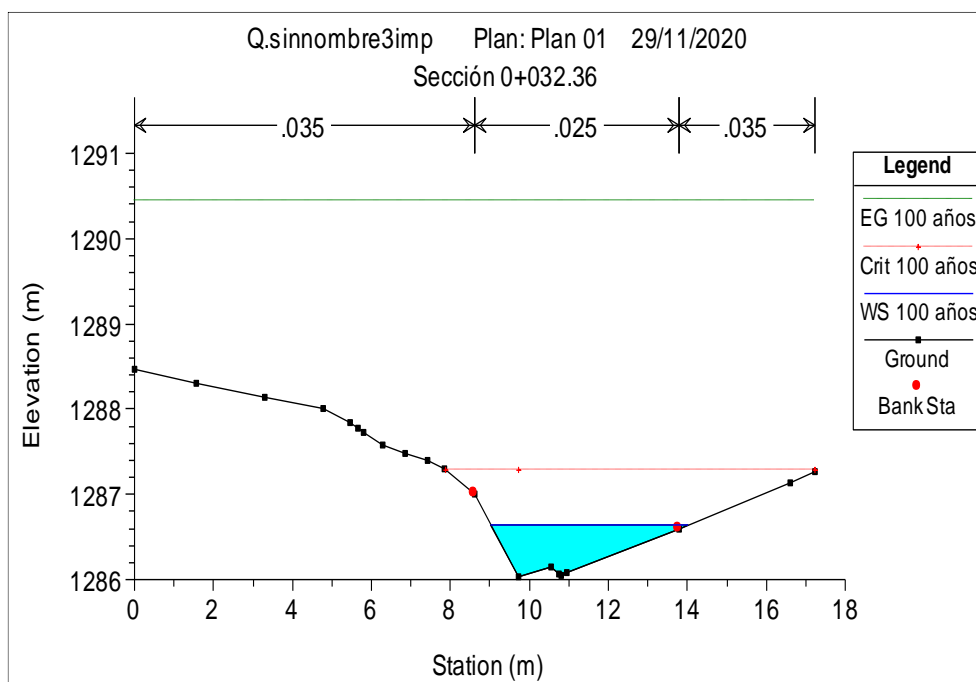


Figura 100. Sección 0+032.36, obtenida del programa HEC-RAS

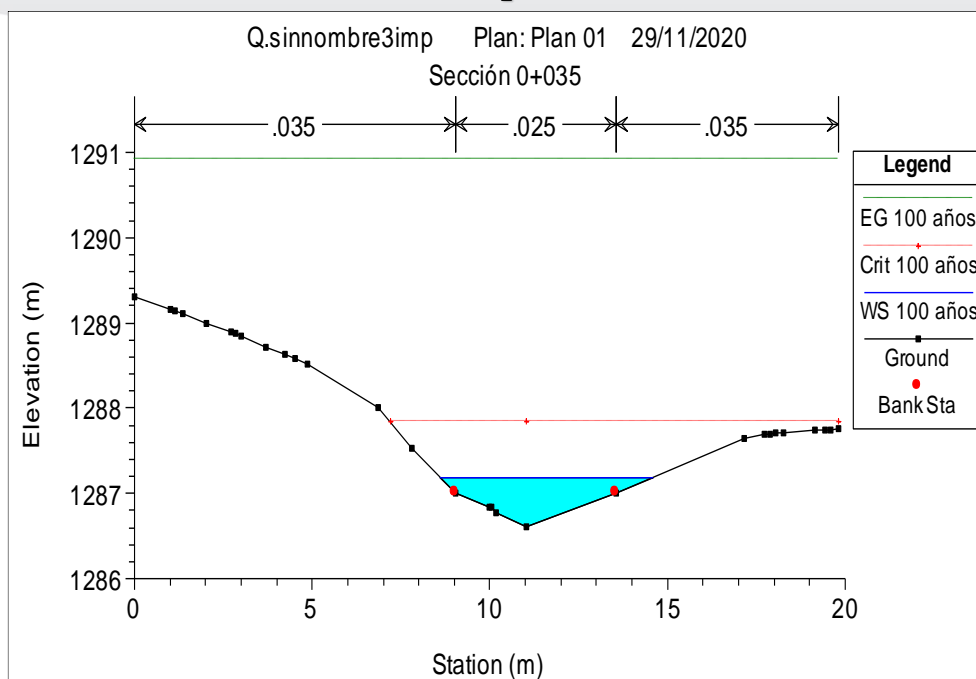


Figura 101. Sección 0+035.00, obtenida del programa HEC-RAS

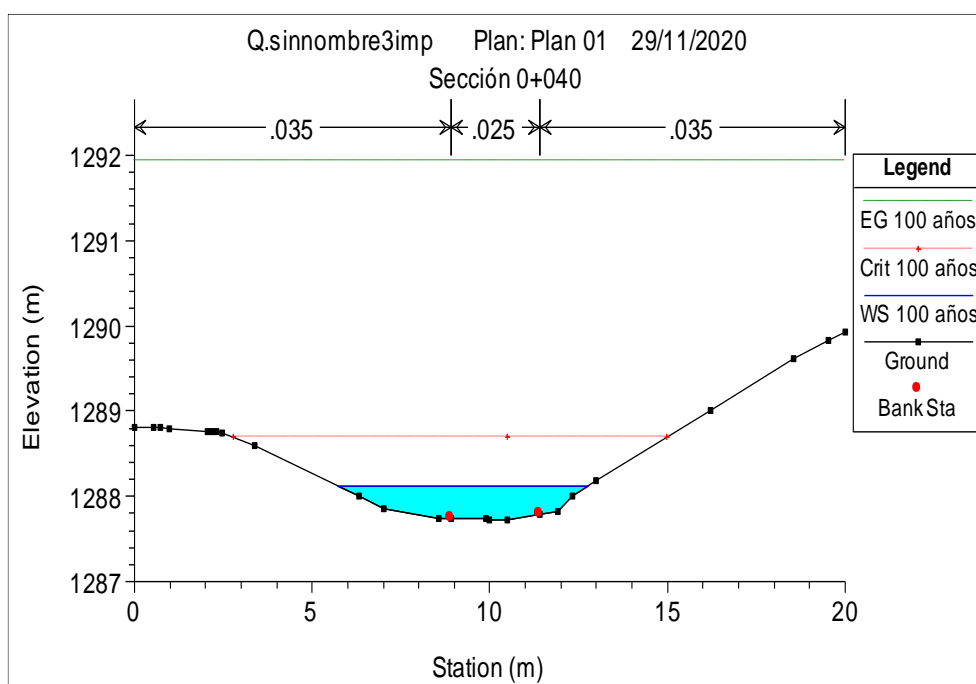


Figura 102. Sección 0+040.00, obtenida del programa HEC-RAS

SECCIONES TRANSVERSALES DE LA Q. SIN NOMBRE 3.1, CONDICIÓN ACTUAL

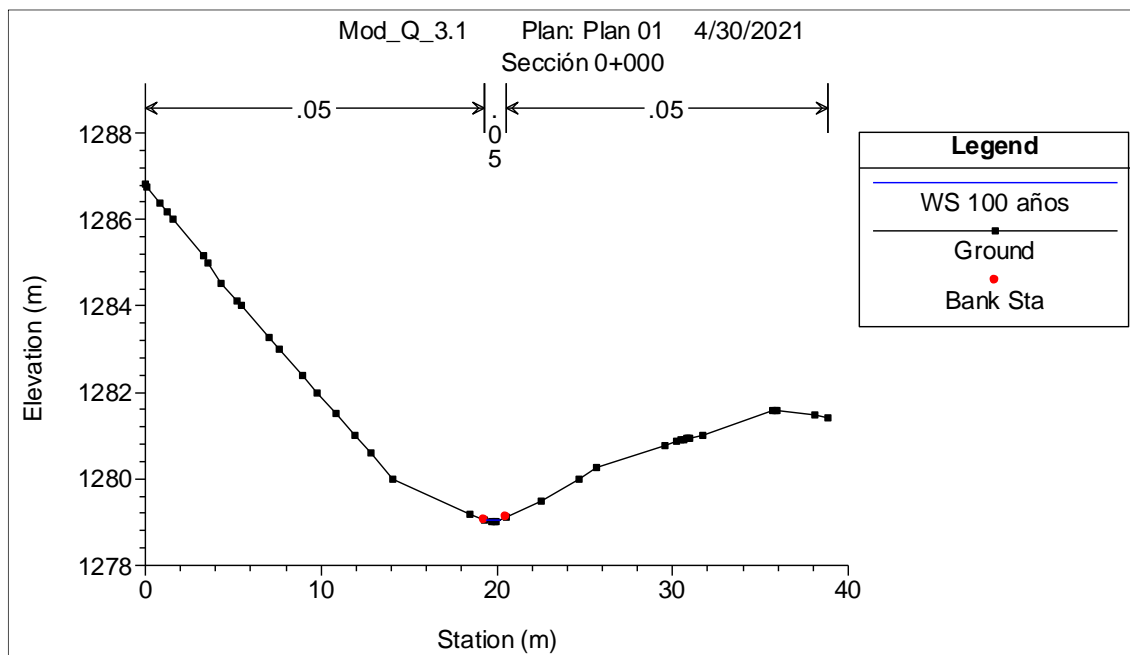


Figura 103. Sección 0+000.00, obtenida del programa HEC-RAS

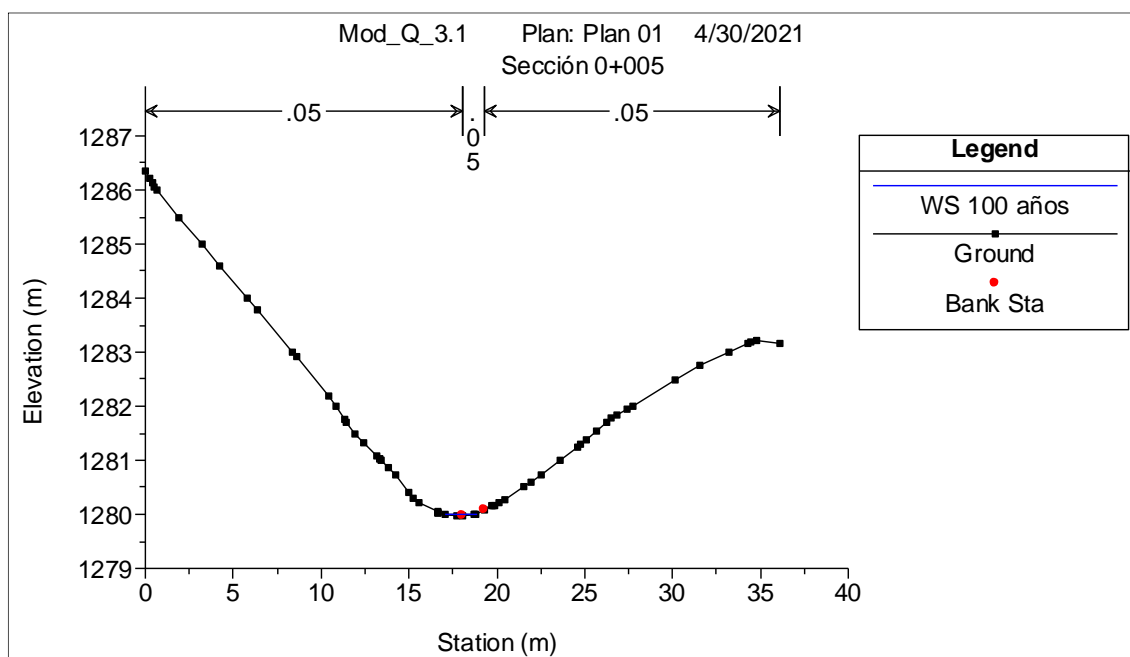


Figura 104. Sección 0+005.00, obtenida del programa HEC-RAS

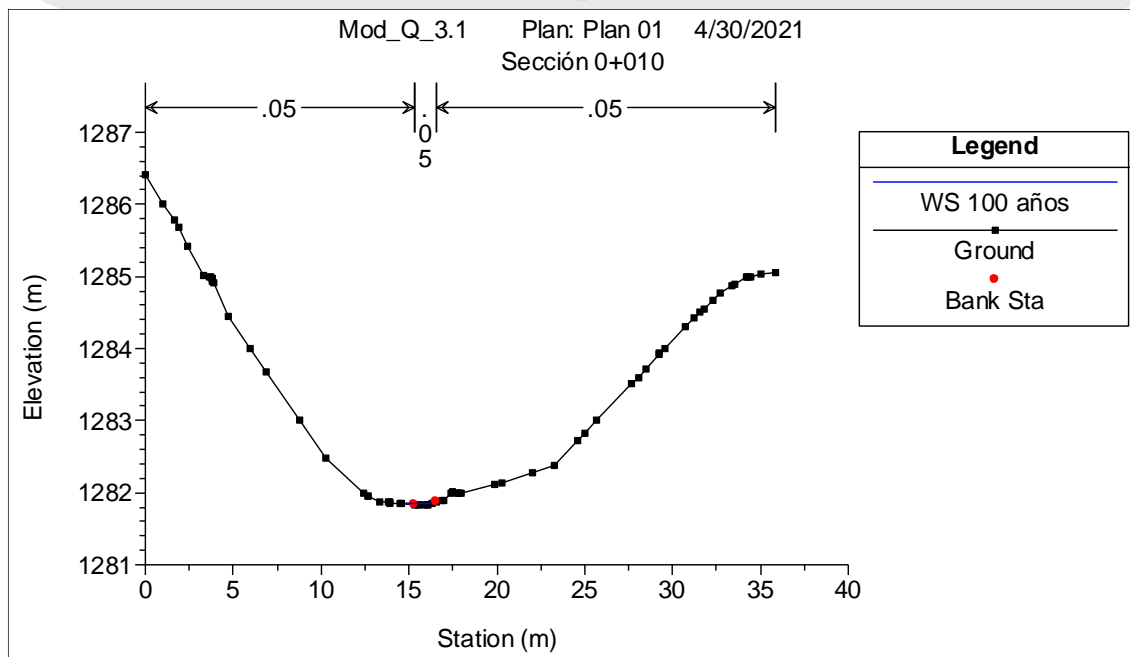


Figura 105. Sección 0+010.00, obtenida del programa HEC-RAS

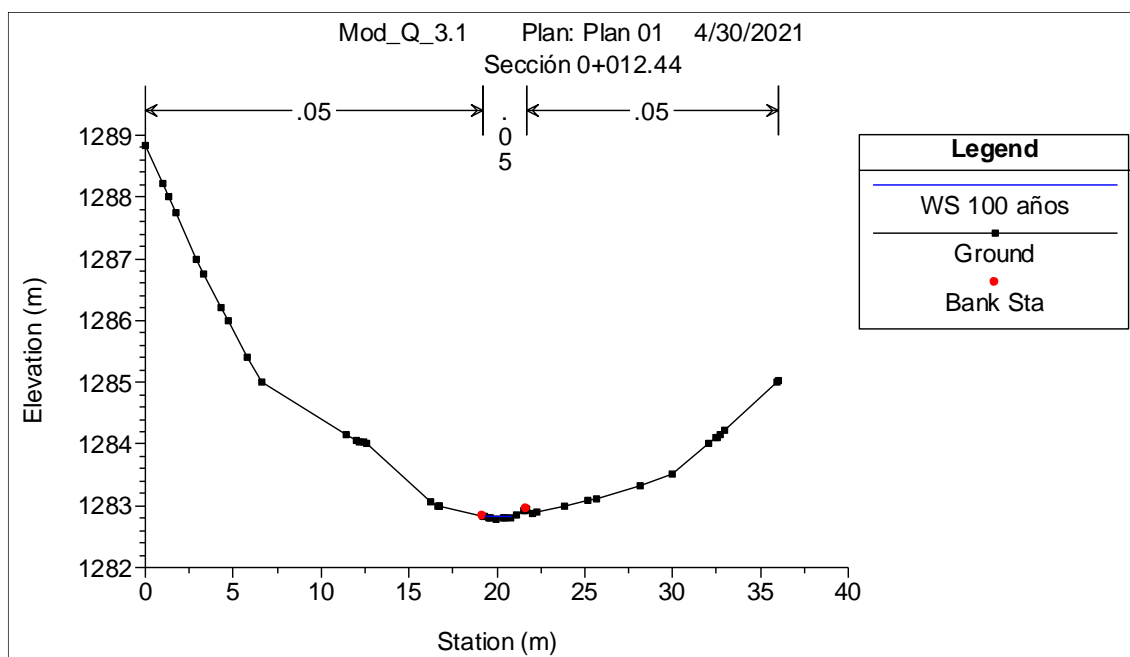


Figura 106. Sección 0+012.44, obtenida del programa HEC-RAS

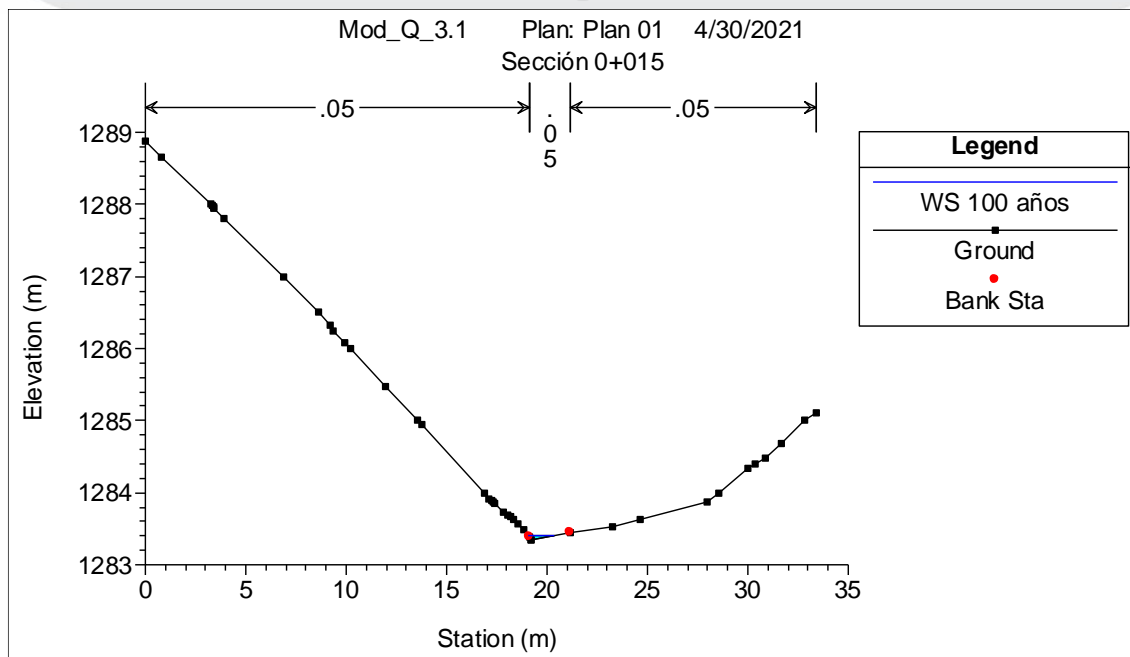


Figura 107. Sección 0+015.00, obtenida del programa HEC-RAS

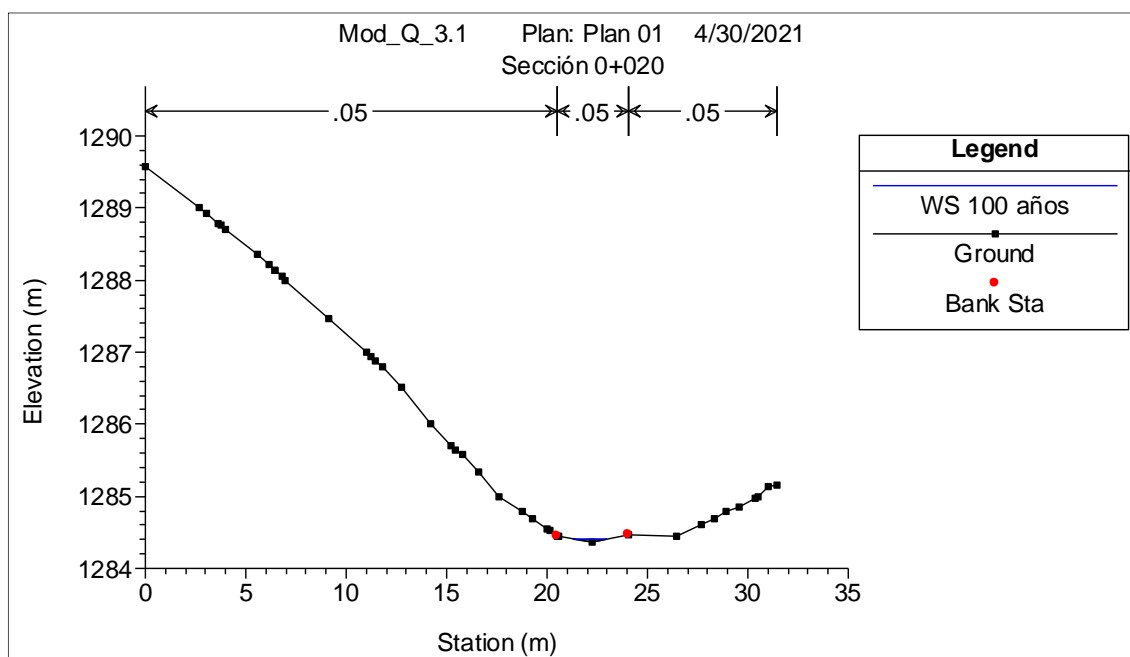


Figura 108. Sección 0+020.00, obtenida del programa HEC-RAS

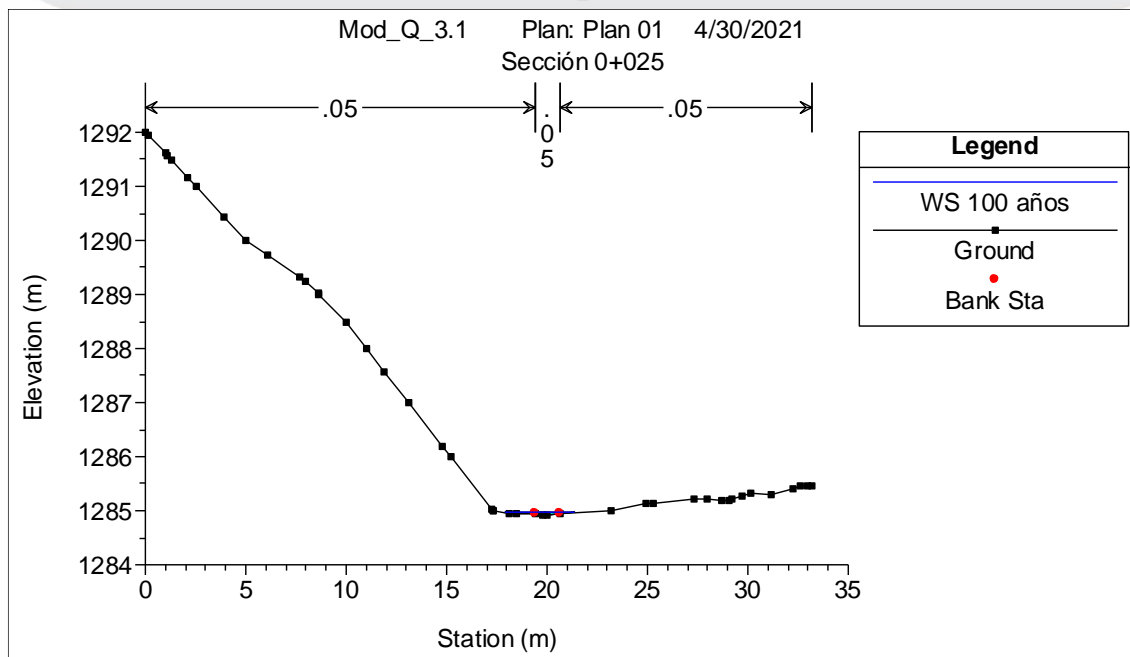


Figura 109. Sección 0+025.00, obtenida del programa HEC-RAS

SECCIONES TRANSVERSALES DE LA Q. SIN NOMBRE 3.1, CONDICIÓN A IMPLEMENTAR

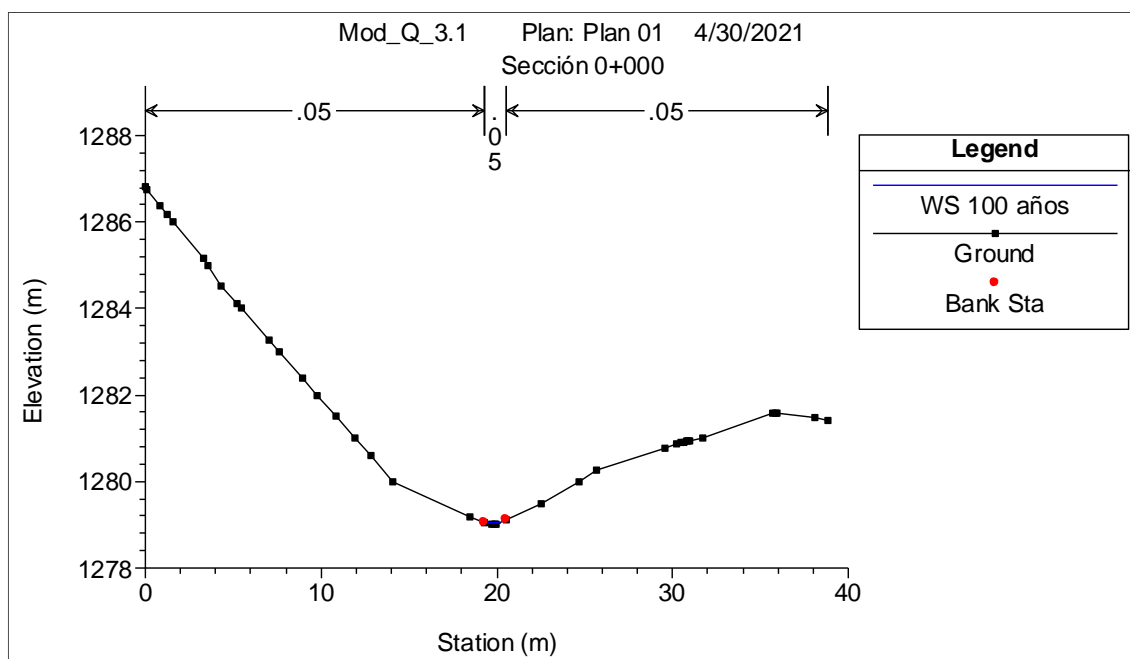


Figura 110. Sección 0+000.00, obtenida del programa HEC-RAS

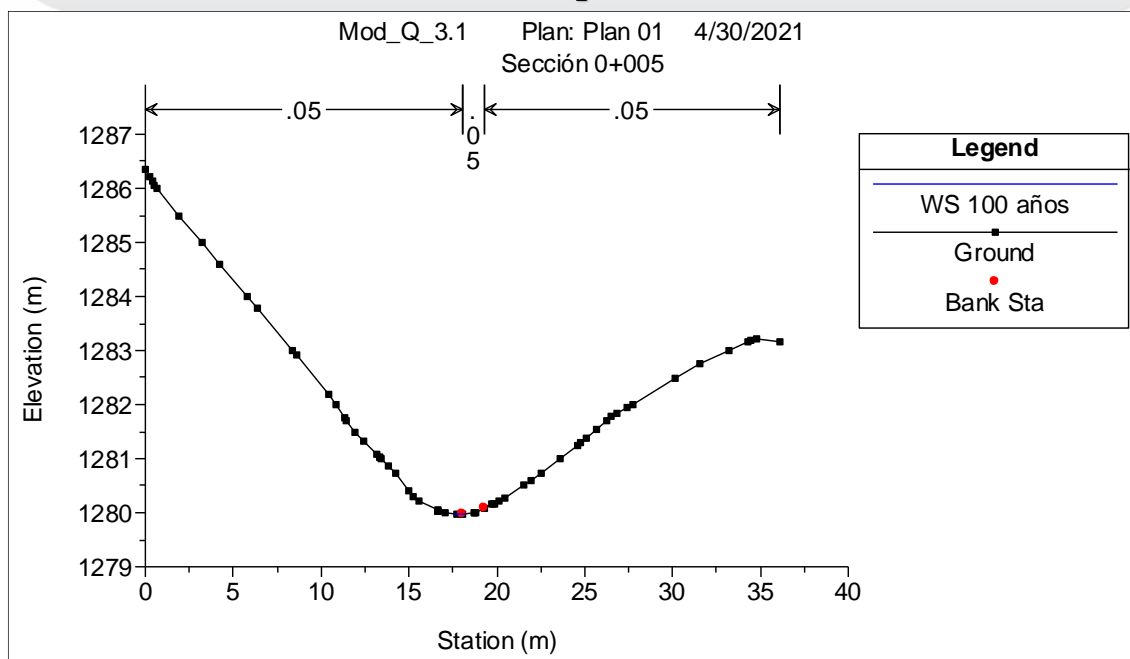


Figura 111. Sección 0+005.00, obtenida del programa HEC-RAS

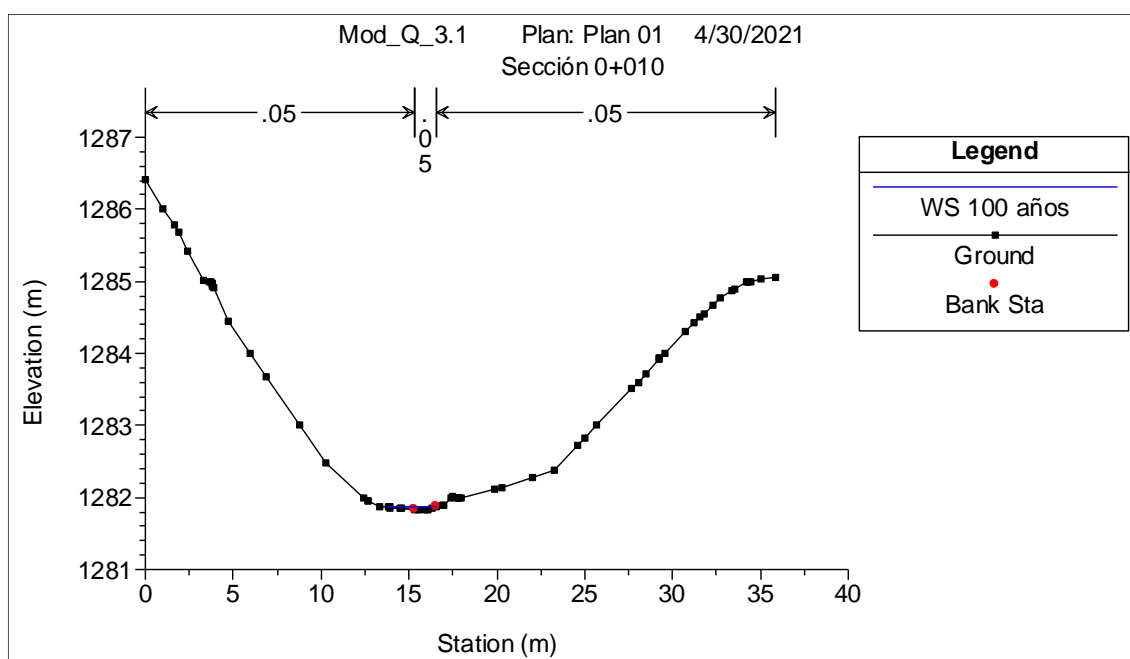


Figura 112. Sección 0+010.00, obtenida del programa HEC-RAS

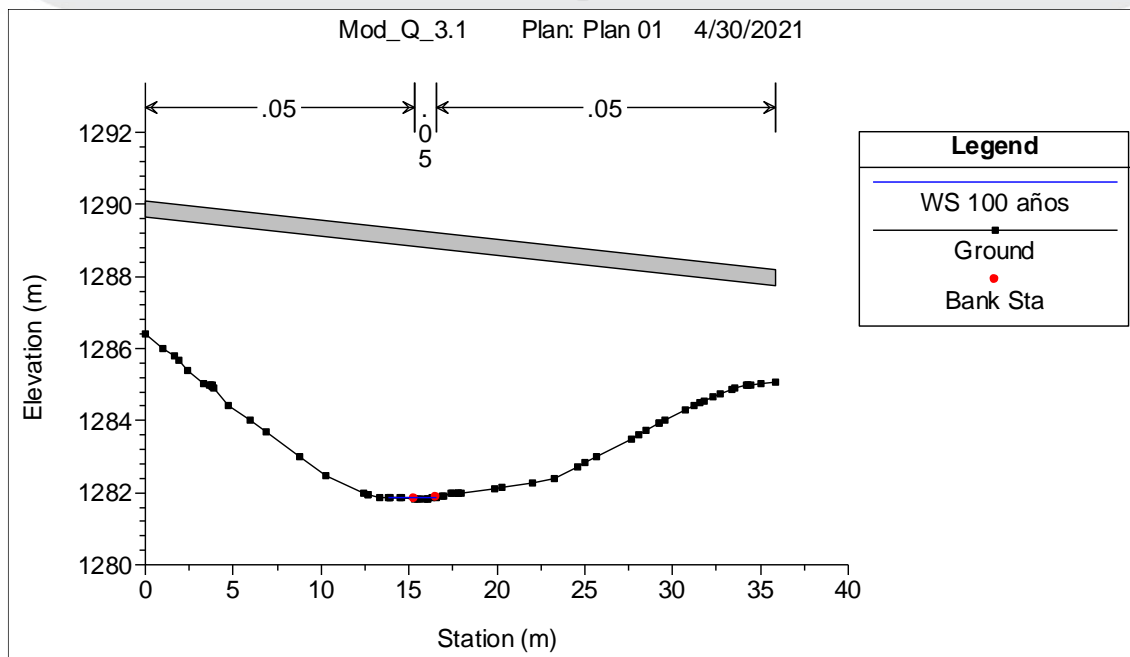


Figura 113. Sección 0+010.15 aguas abajo, obtenida del programa HEC-RAS

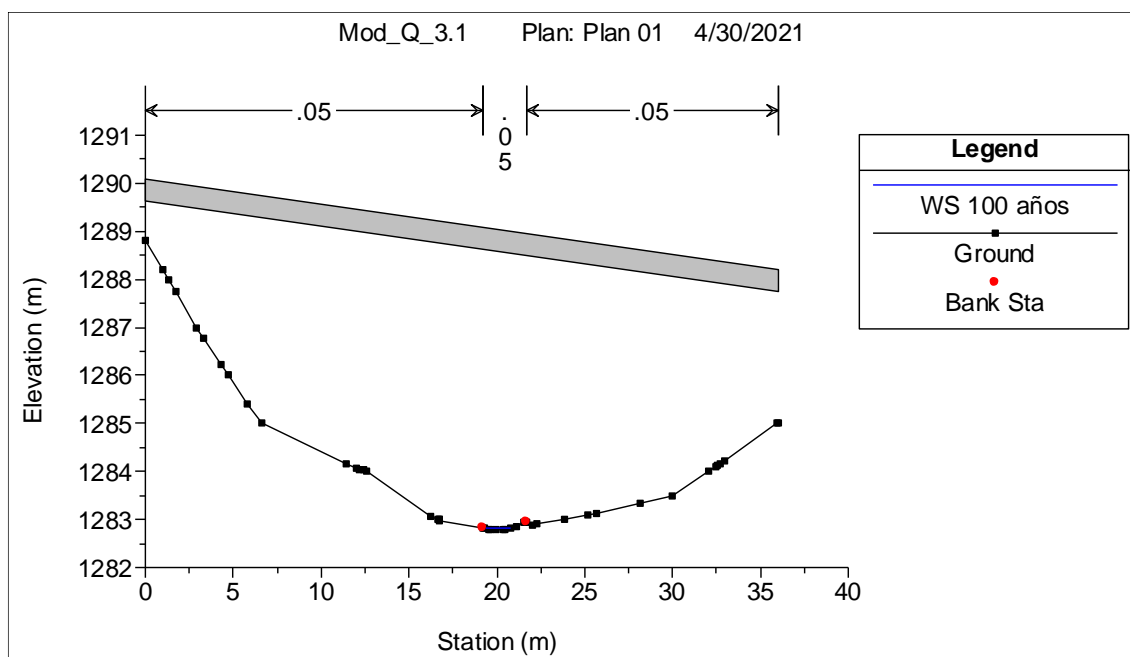


Figura 114. Sección 0+010.15 aguas arriba, obtenida del programa HEC-RAS

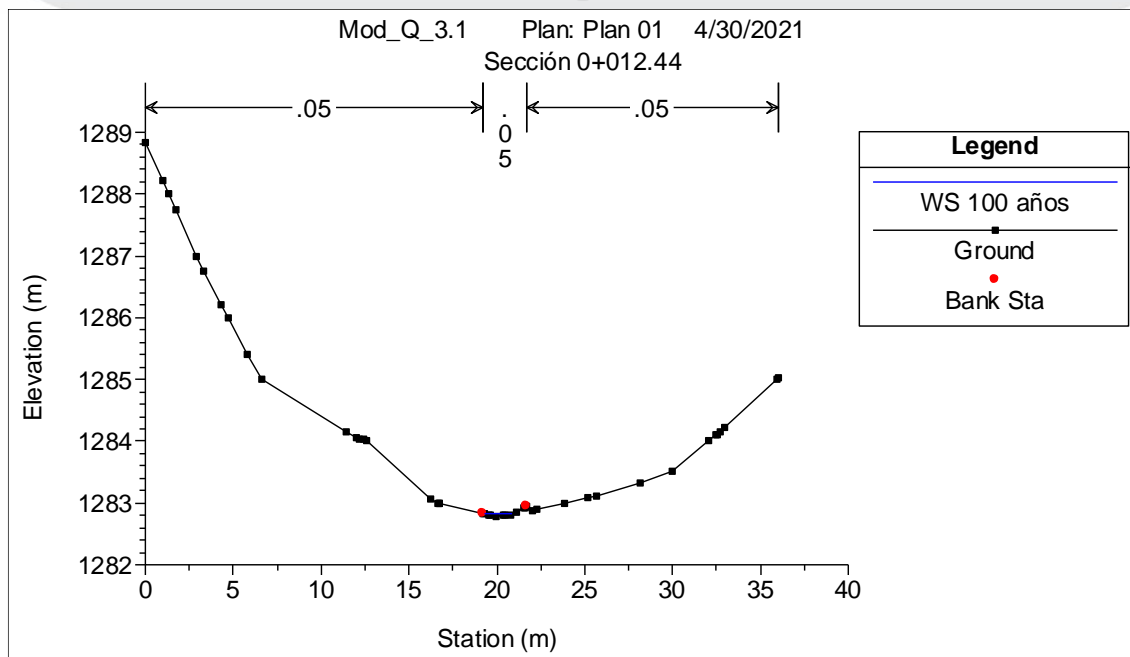


Figura 115. Sección 0+012.44, obtenida del programa HEC-RAS

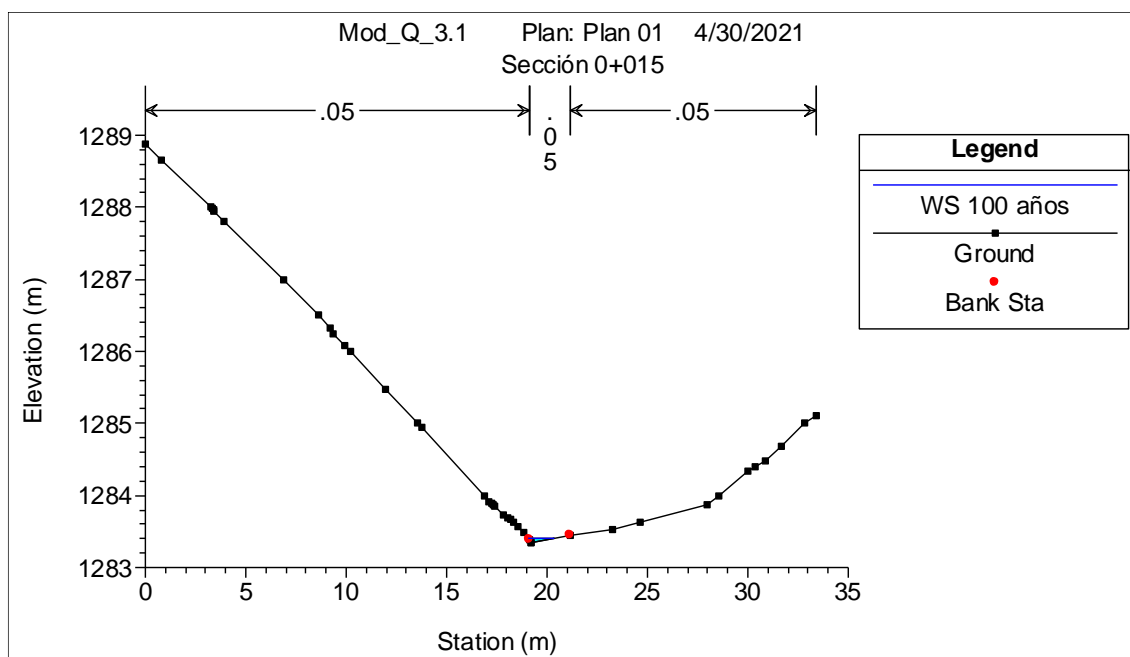


Figura 116. Sección 0+015.00, obtenida del programa HEC-RAS

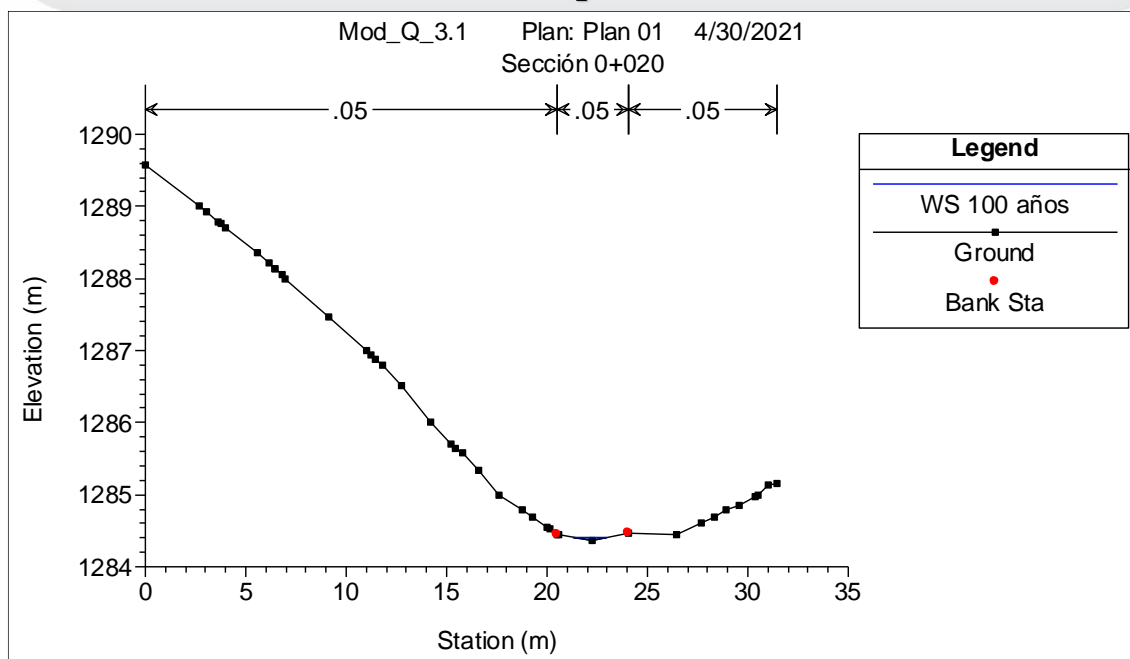


Figura 117. Sección 0+020.00, obtenida del programa HEC-RAS

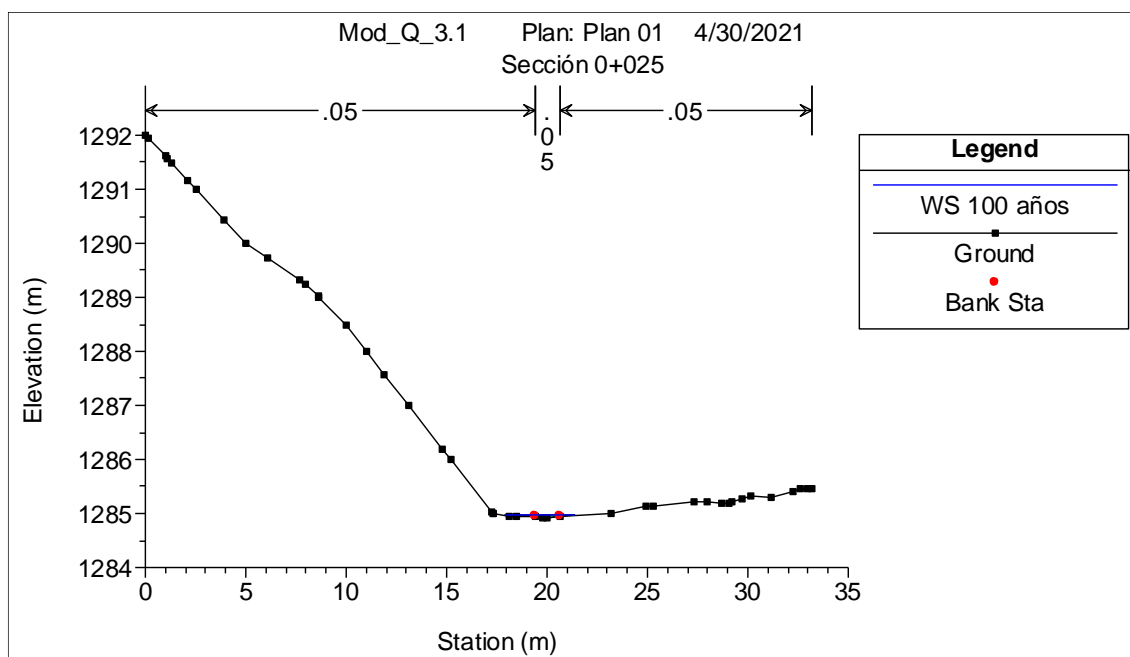


Figura 118. Sección 0+025.00, obtenida del programa HEC-RAS

SECCIONES TRANSVERSALES DE LA Q. SIN NOMBRE 4, CONDICIÓN ACTUAL

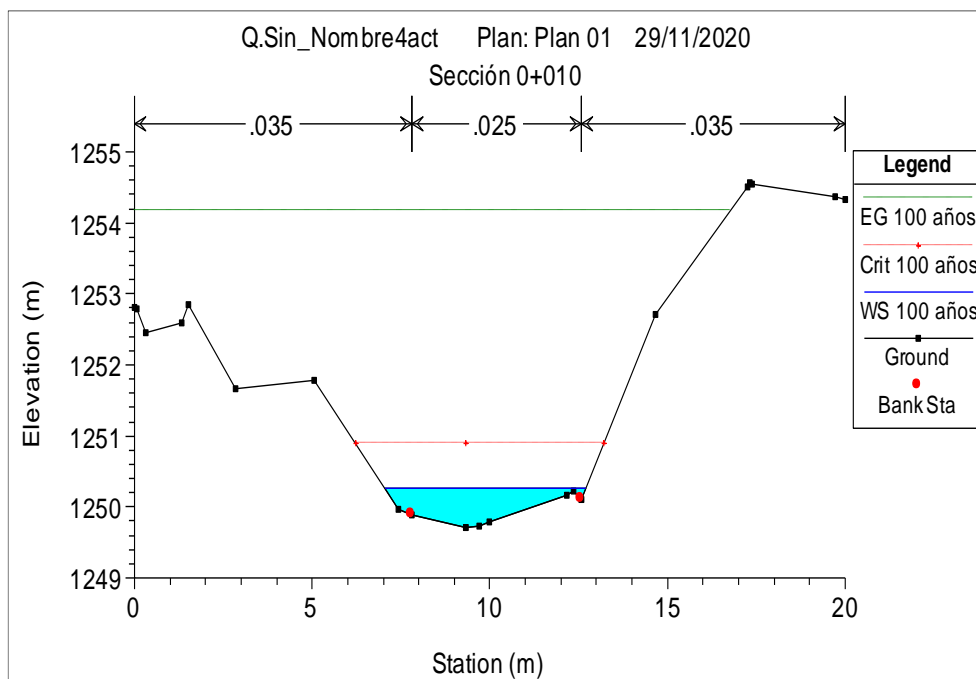


Figura 119. Sección 0+010.00, obtenida del programa HEC-RAS

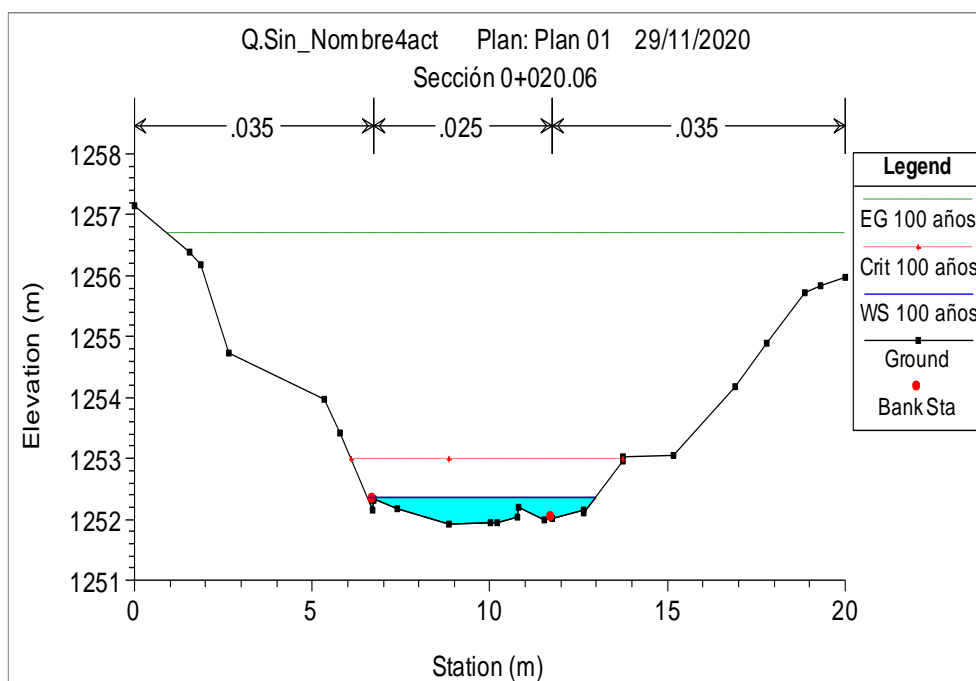


Figura 120. Sección 0+020.06, obtenida del programa HEC-RAS

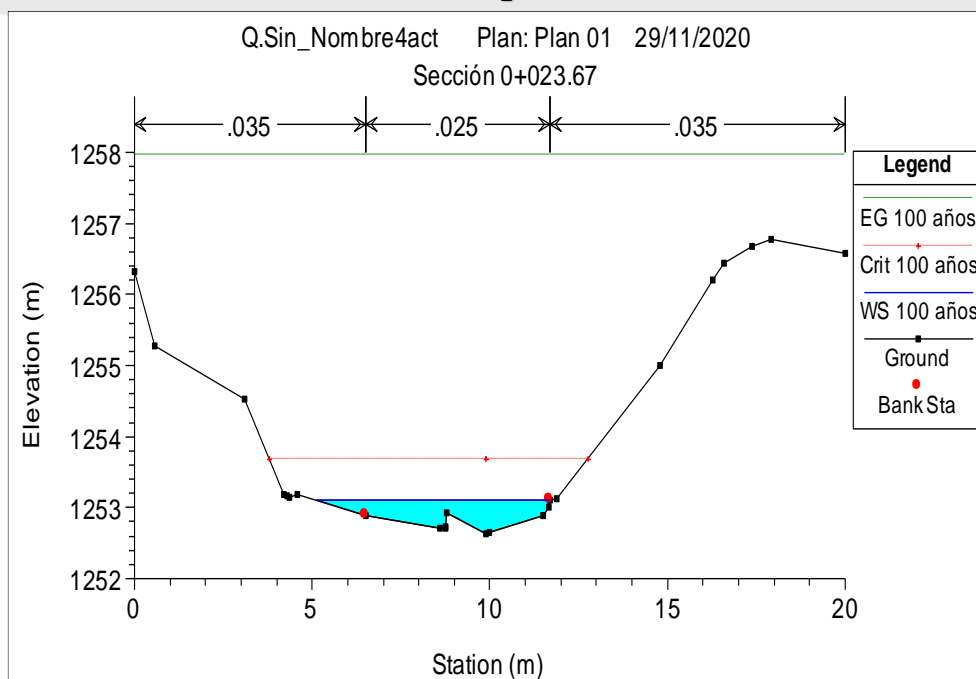


Figura 121. Sección 0+023.67, obtenida del programa HEC-RAS

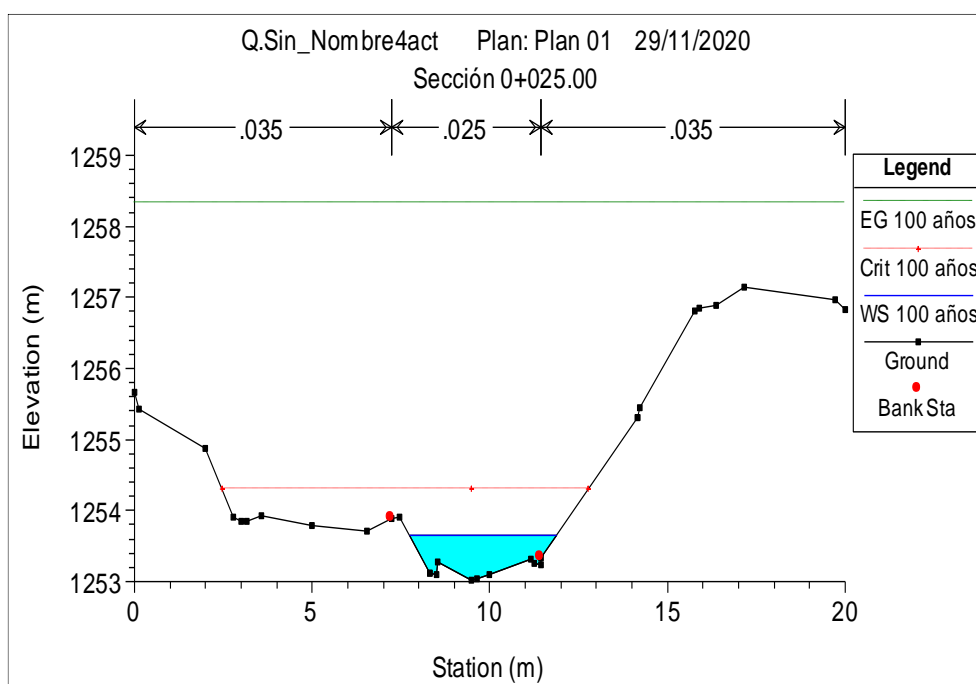


Figura 122. Sección 0+025.00, obtenida del programa HEC-RAS

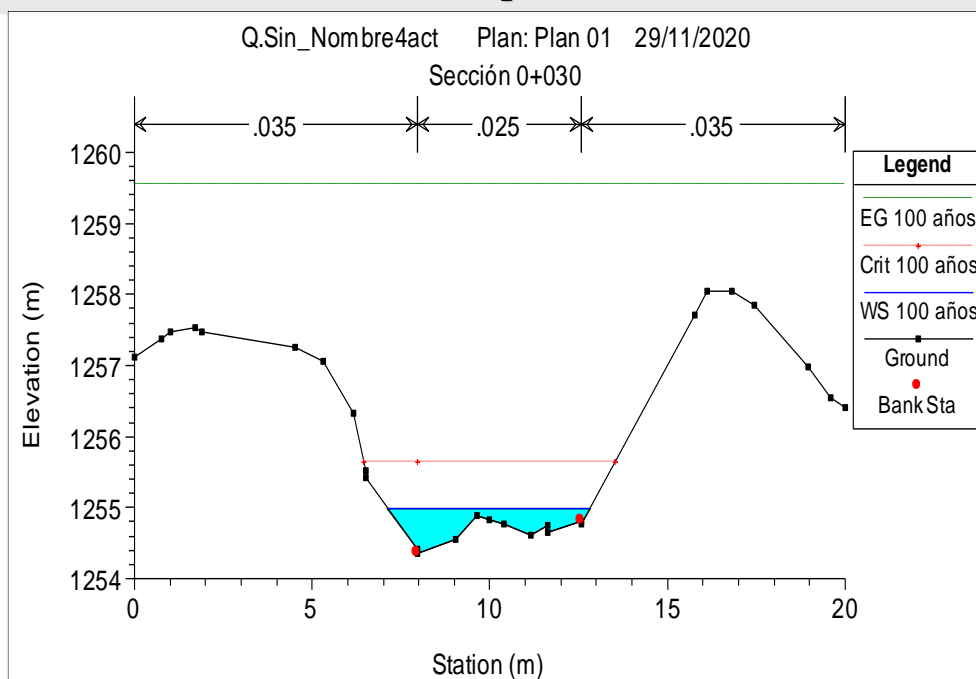


Figura 123. Sección 0+030.00, obtenida del programa HEC-RAS

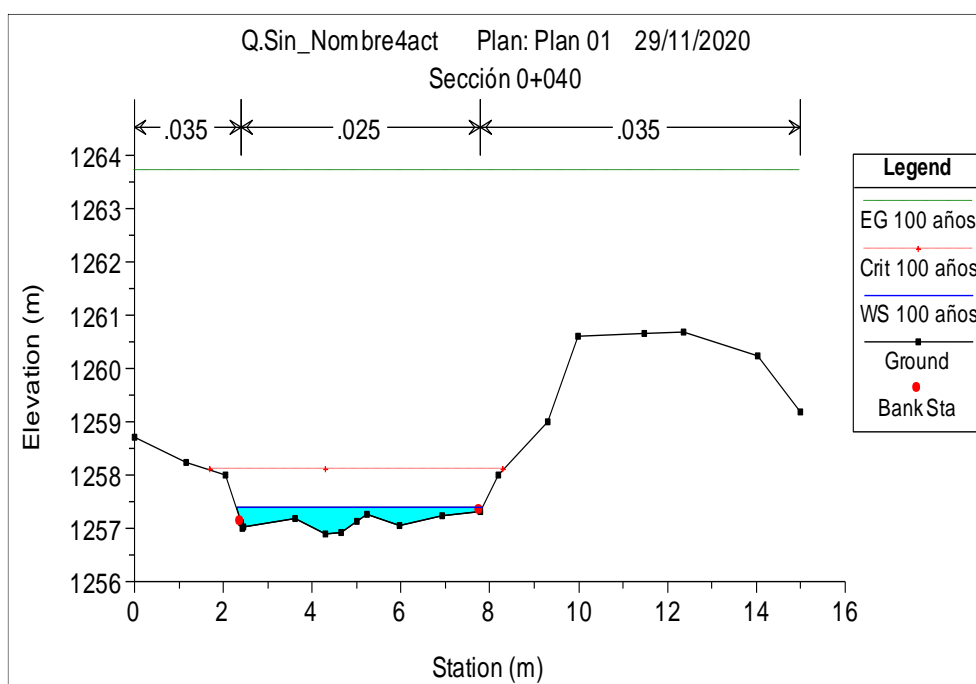


Figura 124. Sección 0+040.00, obtenida del programa HEC-RAS

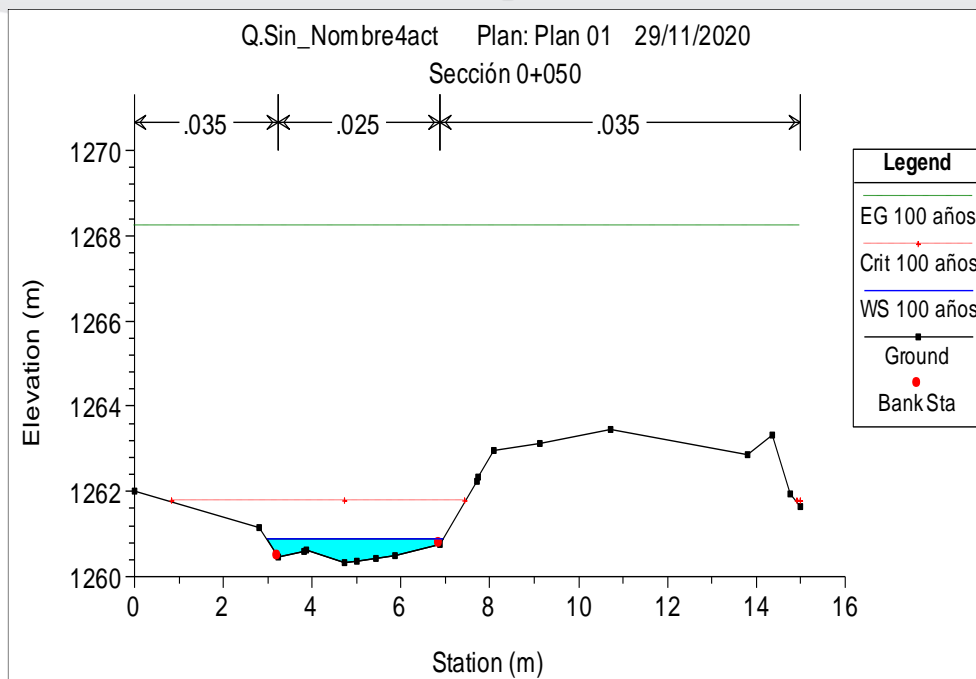


Figura 125. Sección 0+050.00, obtenida del programa HEC-RAS

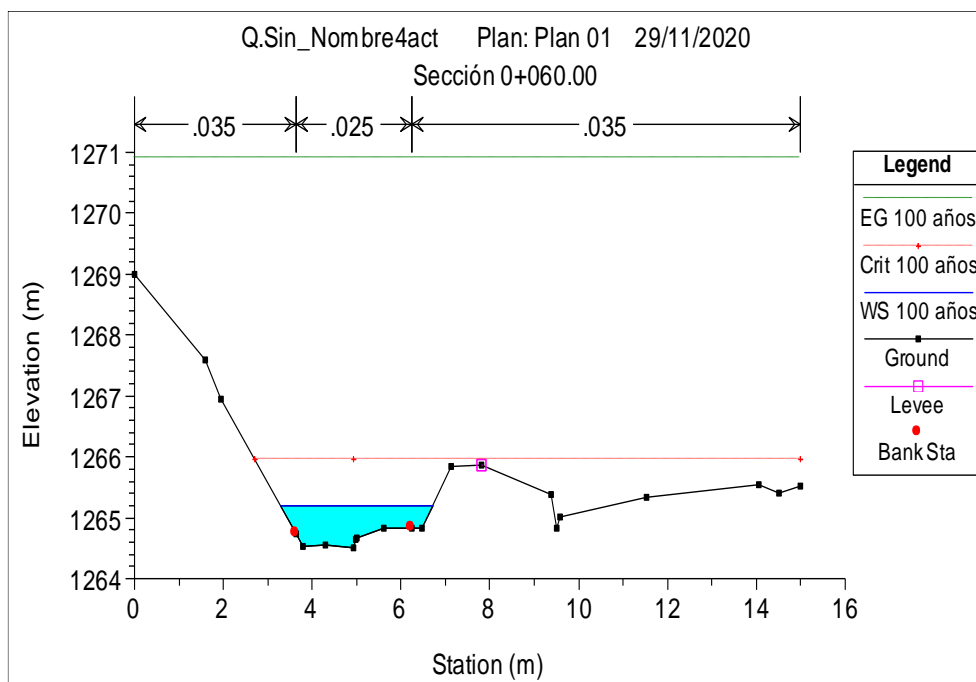


Figura 126. Sección 0+060.00, obtenida del programa HEC-RAS

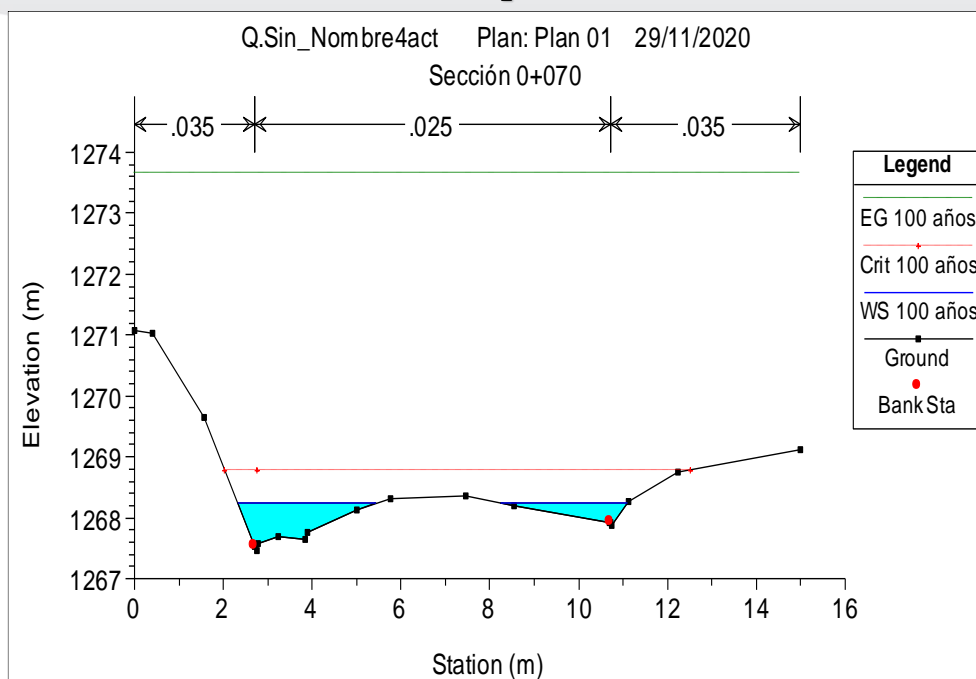


Figura 127. Sección 0+070.00, obtenida del programa HEC-RAS

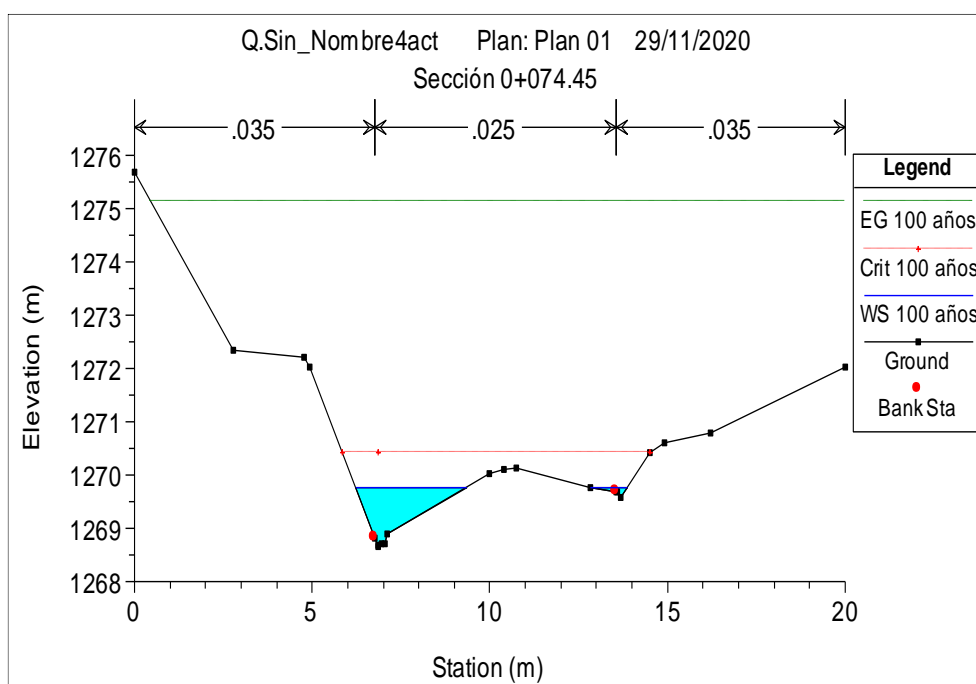


Figura 128. Sección 0+074.45, obtenida del programa HEC-RAS

SECCIONES TRANSVERSALES DE LA Q. SIN NOMBRE 4, CONDICIÓN A IMPLEMENTAR

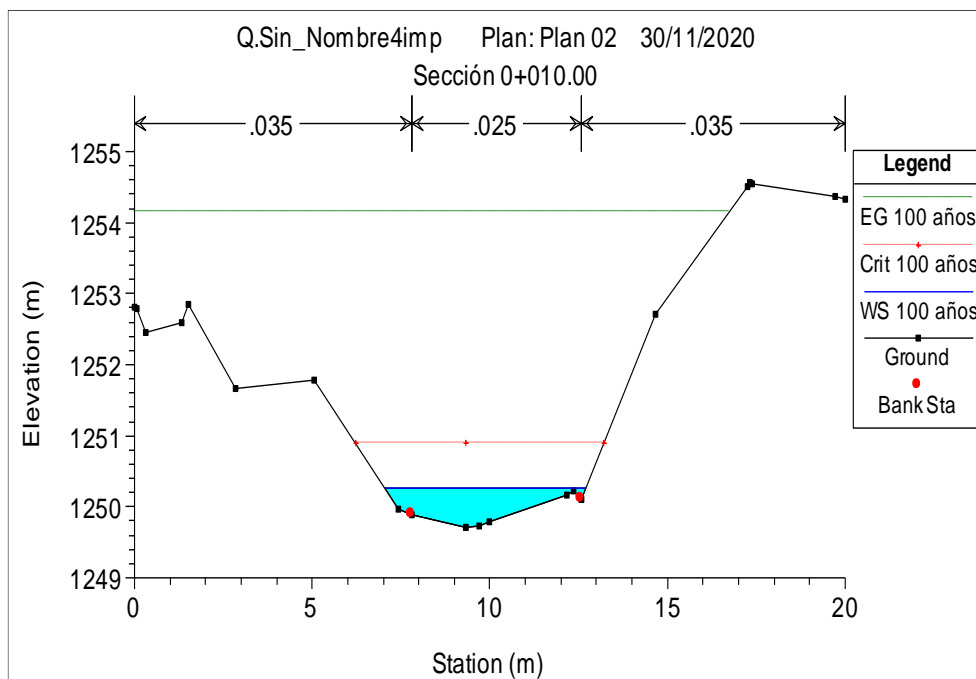


Figura 129. Sección 0+010.00, obtenida del programa HEC-RAS

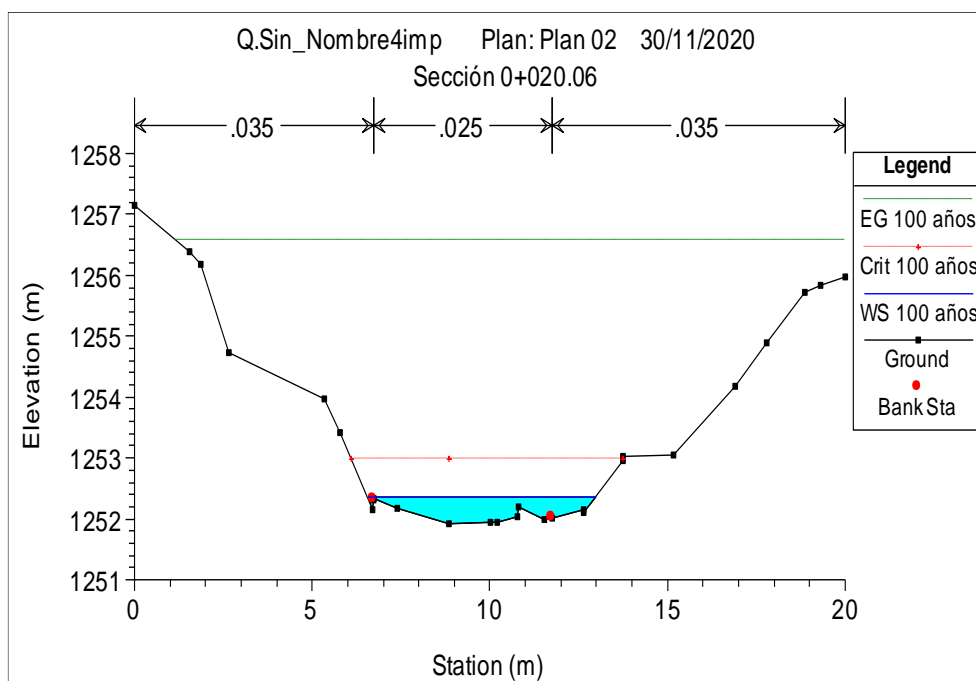


Figura 130. Sección 0+020.06, obtenida del programa HEC-RAS

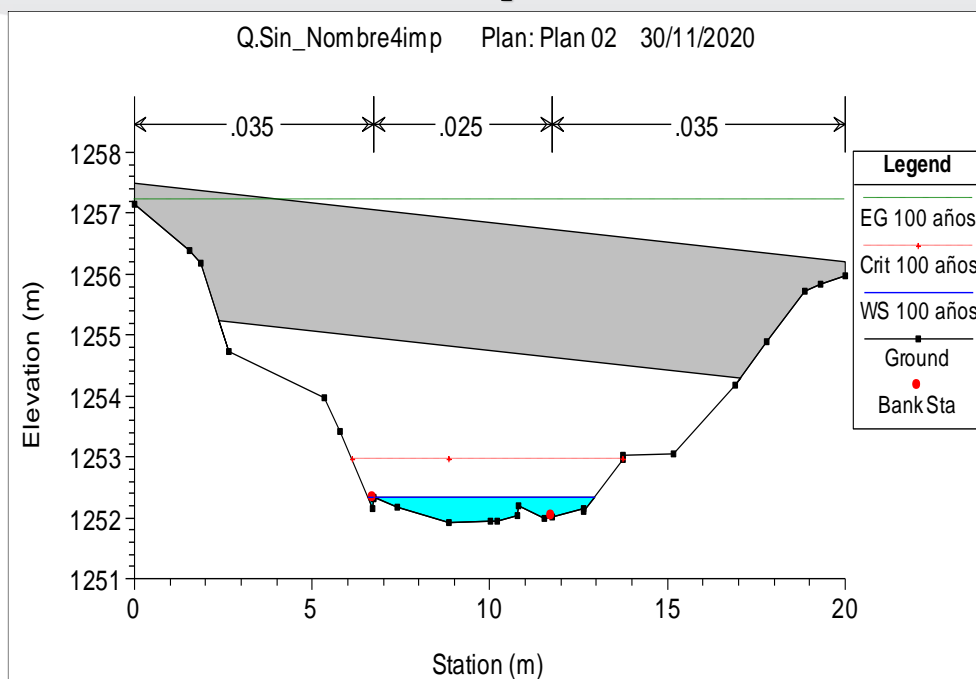


Figura 131. Sección 0+020.10 aguas debajo de la tubería, obtenida del programa HEC-RAS

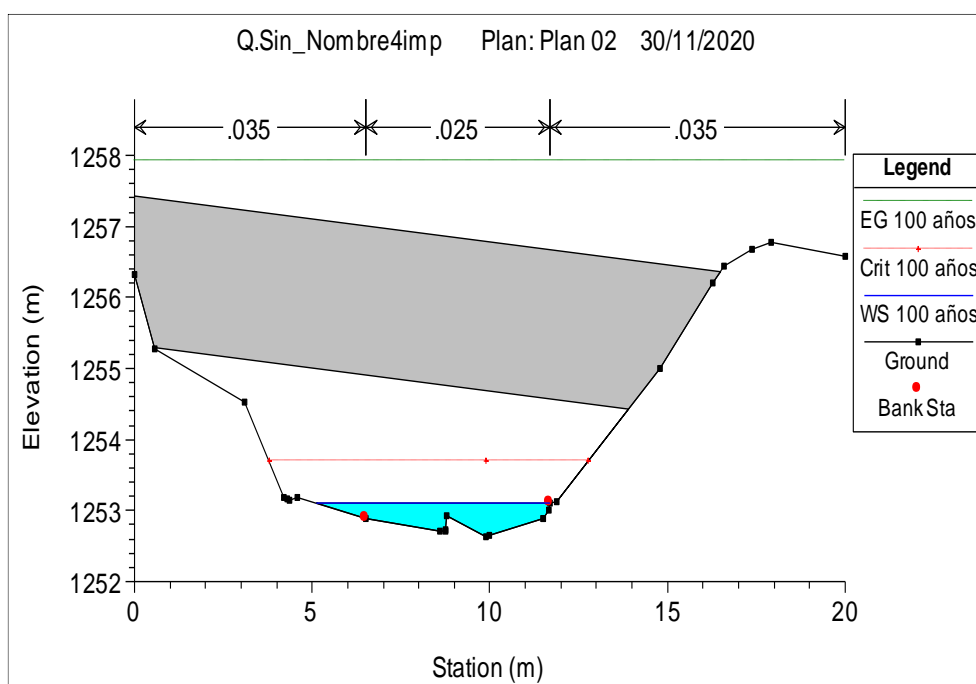


Figura 132. Sección 0+020.10 aguas arriba de la tubería, obtenida del programa HEC-RAS

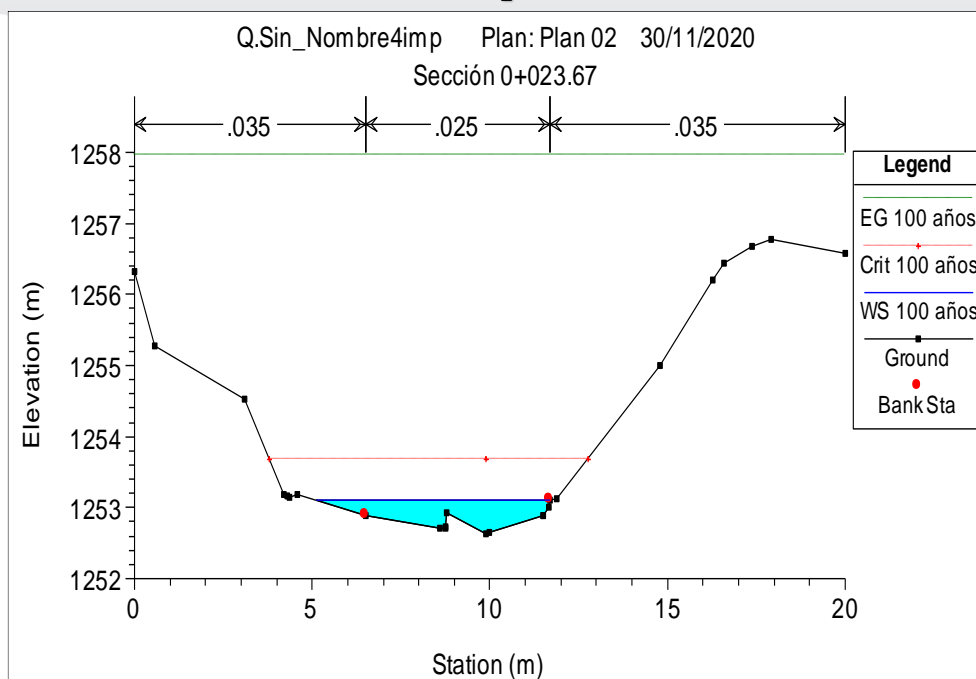


Figura 133. Sección 0+023.67, obtenida del programa HEC-RAS

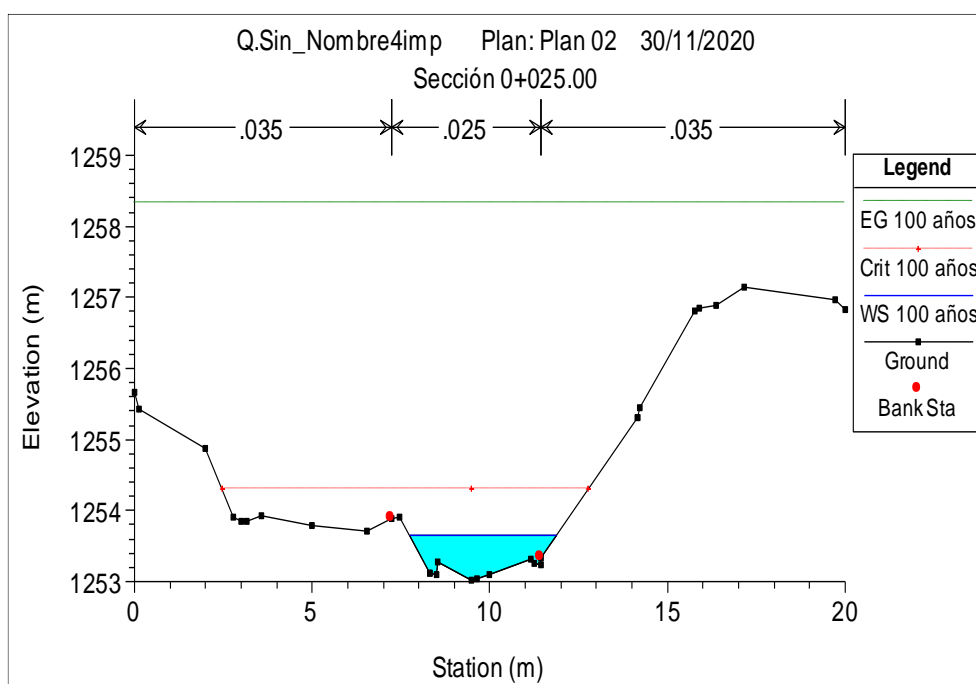


Figura 134. Sección 0+025.00, obtenida del programa HEC-RAS

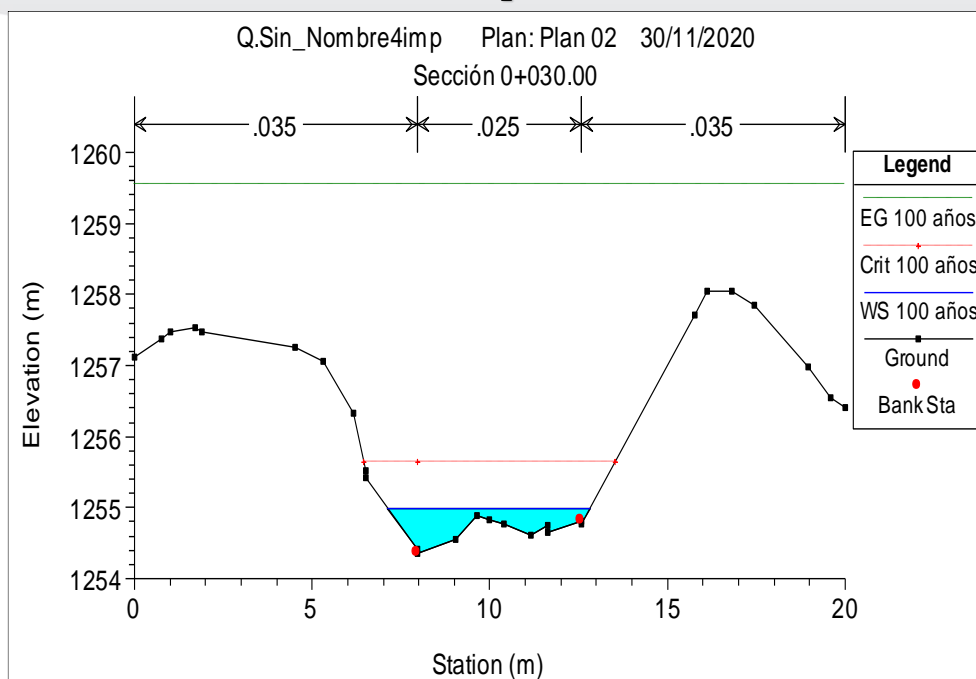


Figura 135. Sección 0+030.00, obtenida del programa HEC-RAS

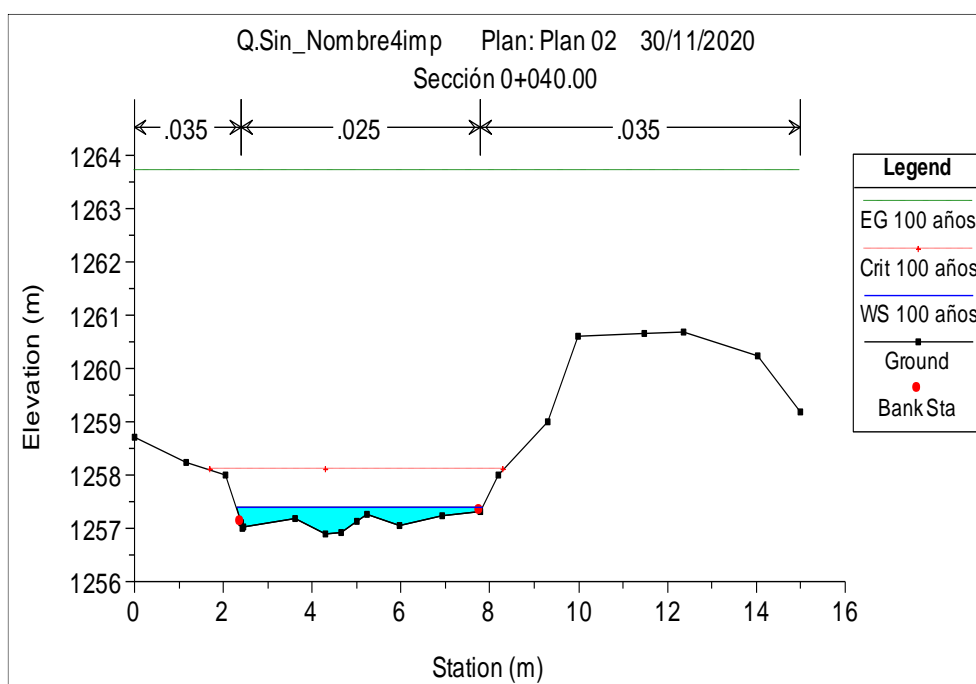


Figura 136. Sección 0+040.00, obtenida del programa HEC-RAS

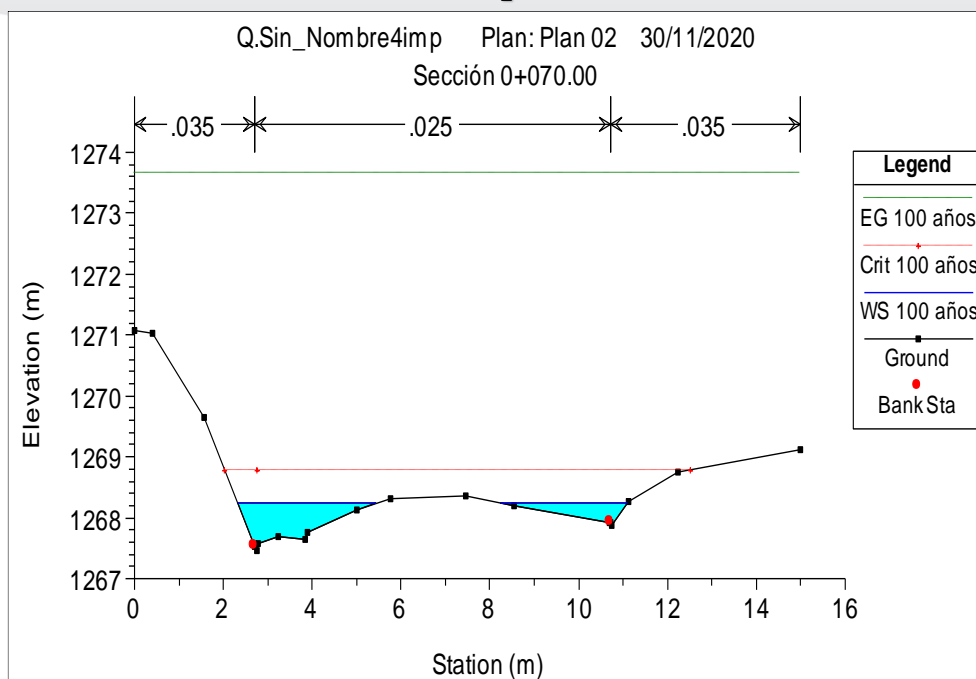


Figura 139. Sección 0+070.00, obtenida del programa HEC-RAS

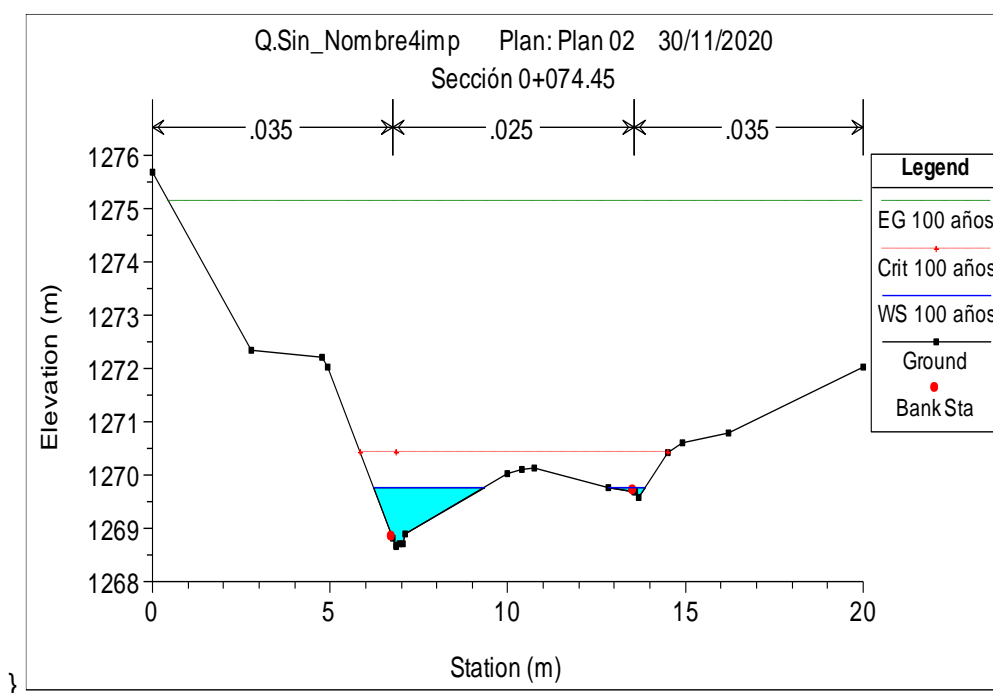


Figura 140. Sección 0+074.45, obtenida del programa HEC-RAS

SECCIONES TRANSVERSALES DE LA Q. SIN NOMBRE 5, CONDICIÓN ACTUAL

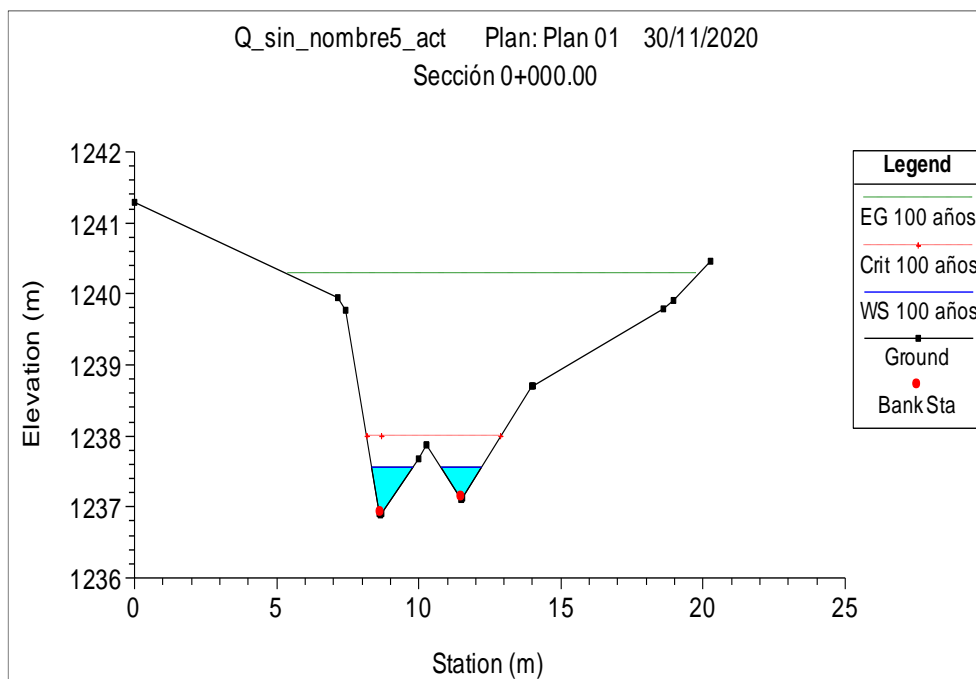


Figura 141. Sección 0+000.00, obtenida del programa HEC-RAS

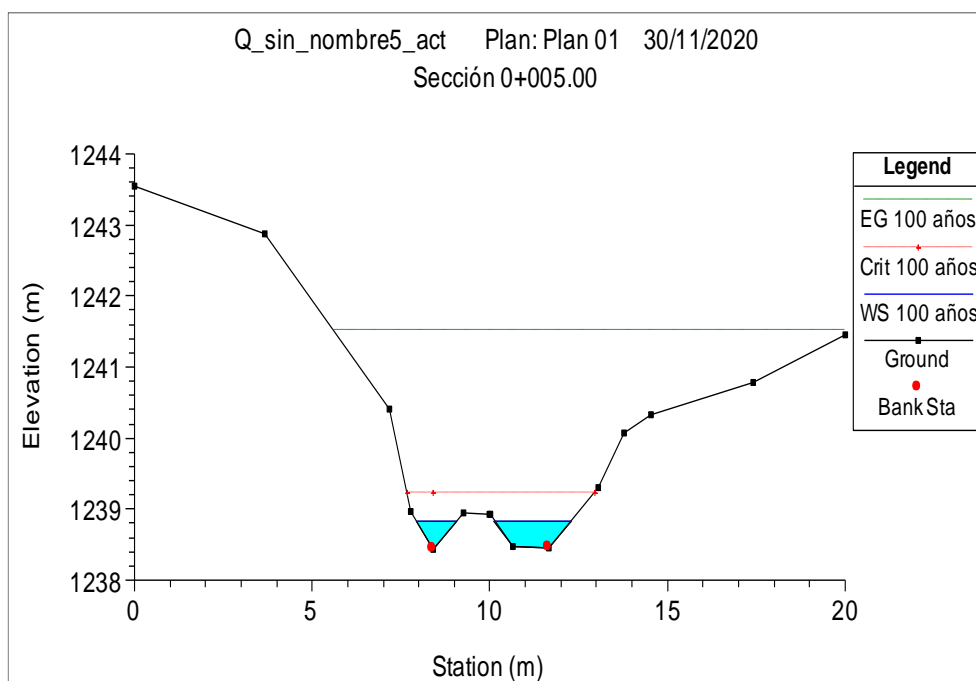


Figura 142. Sección 0+005.00, obtenida del programa HEC-RAS

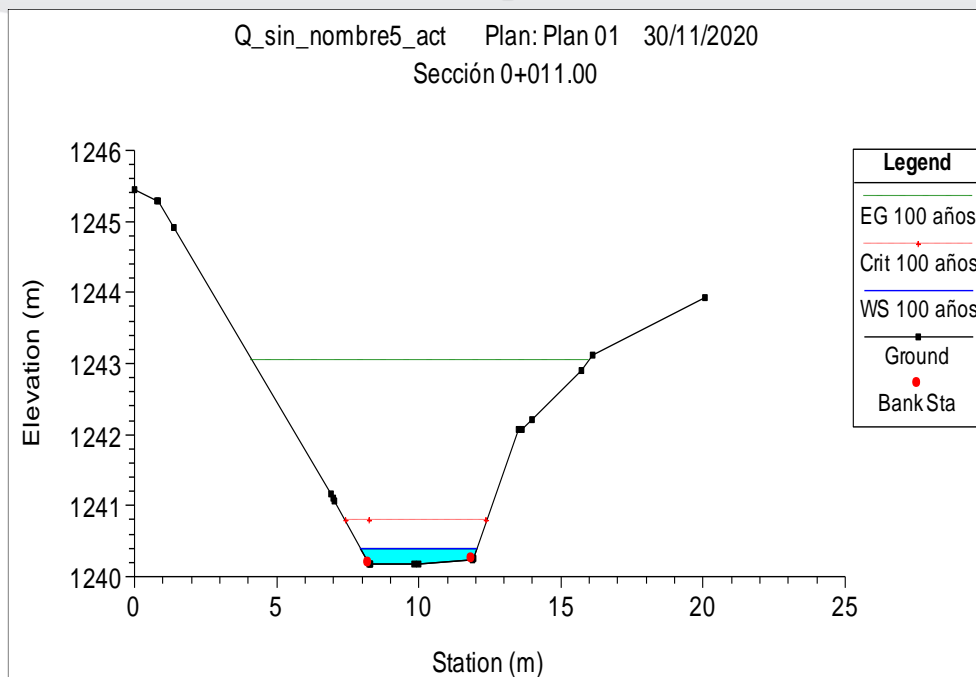


Figura 143. Sección 0+011.00, obtenida del programa HEC-RAS

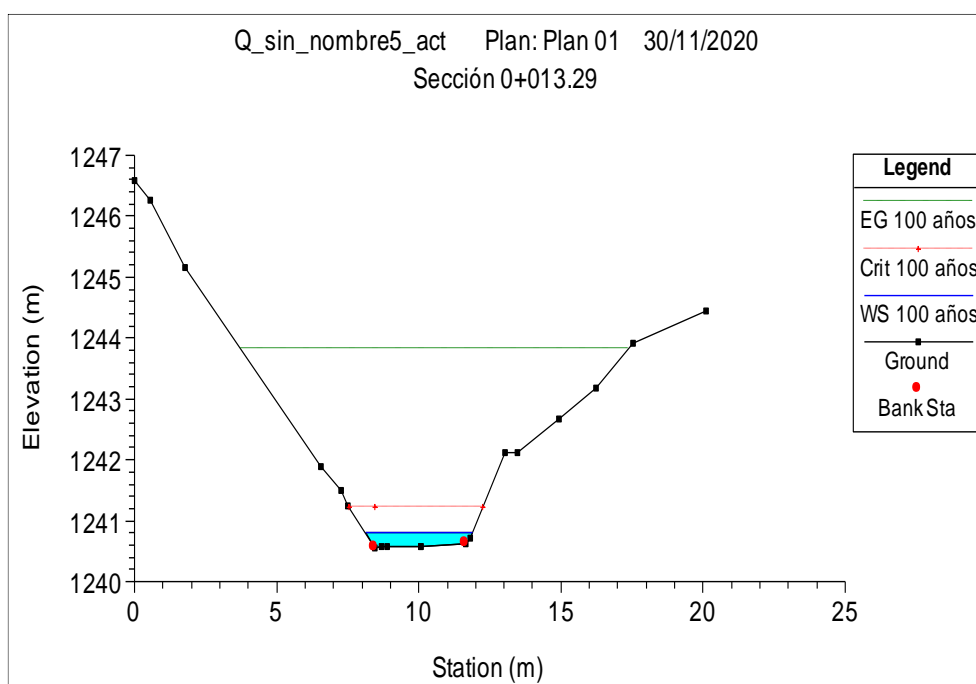


Figura 144. Sección 0+013.29, obtenida del programa HEC-RAS

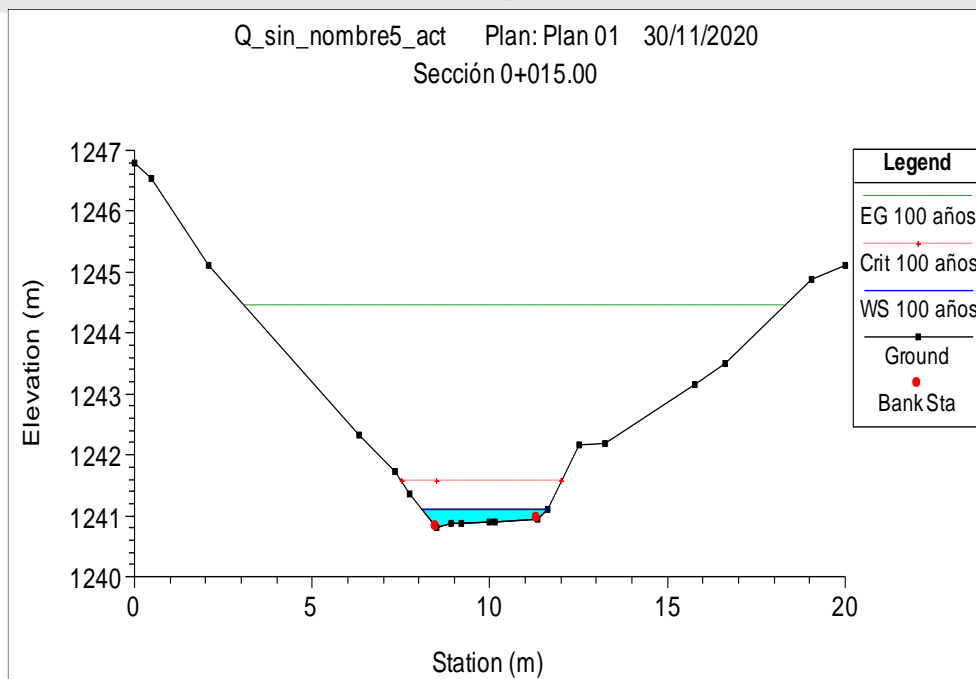


Figura 145. Sección 0+015.00, obtenida del programa HEC-RAS

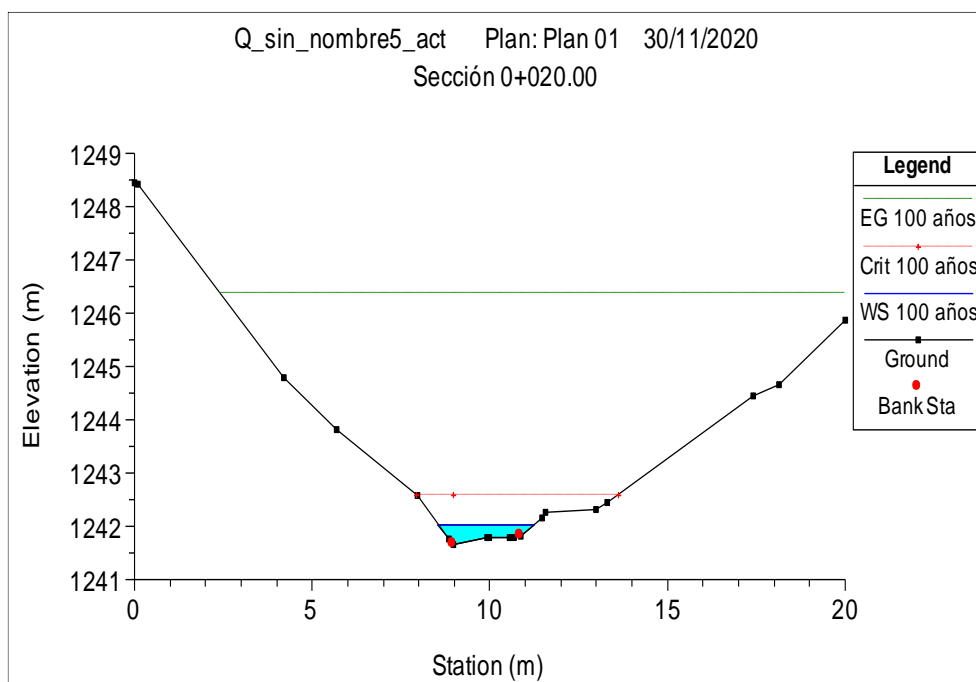


Figura 146. Sección 0+020.00 obtenida del programa HEC-RAS

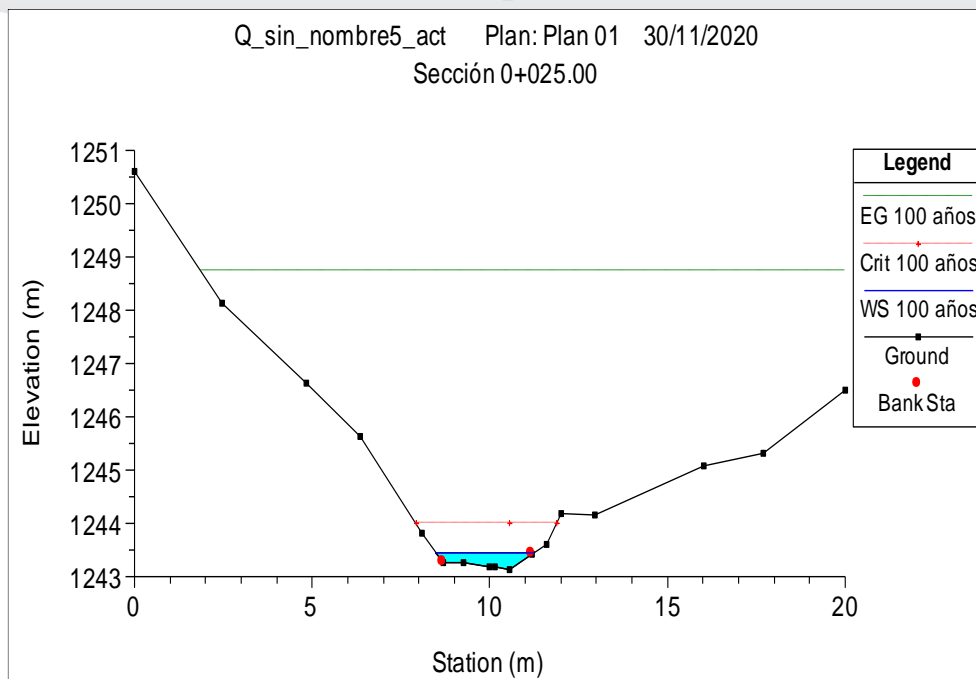


Figura 147. Sección 0+025.00, obtenida del programa HEC-RAS

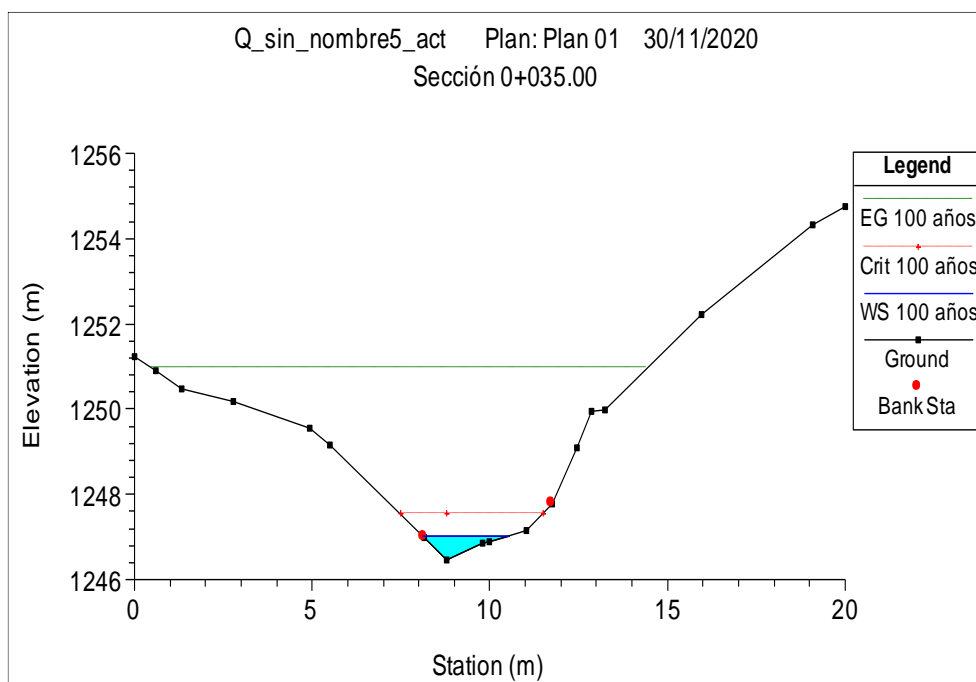


Figura 148. Sección 0+035.00, obtenida del programa HEC-RAS

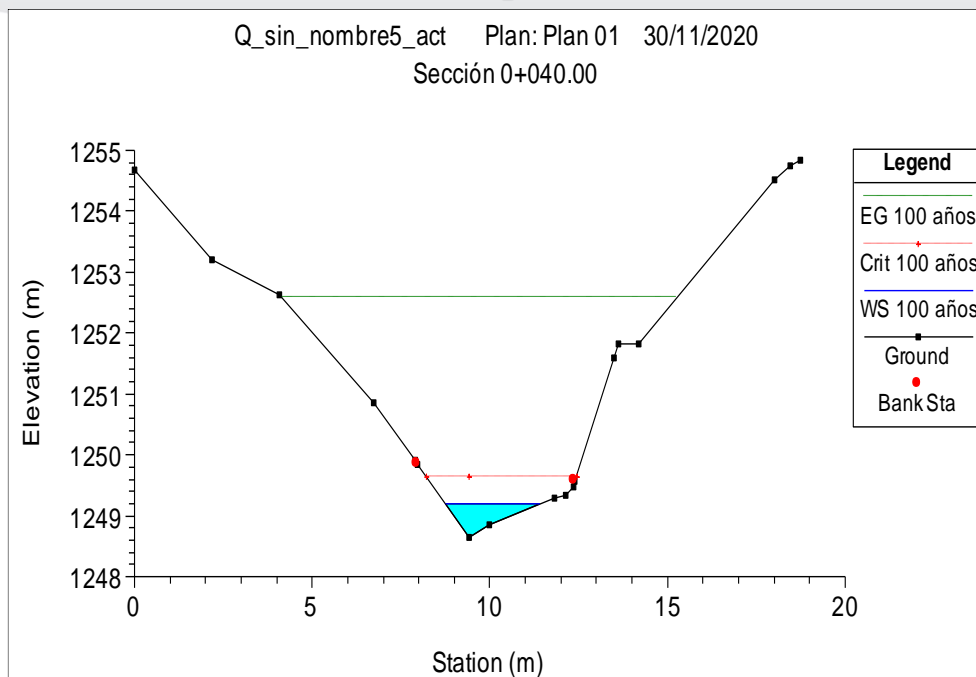


Figura 149. Sección 0+040.00, obtenida del programa HEC-RAS

SECCIONES TRANSVERSALES DE LA Q. SIN NOMBRE 5, CONDICIÓN A IMPLEMENTAR

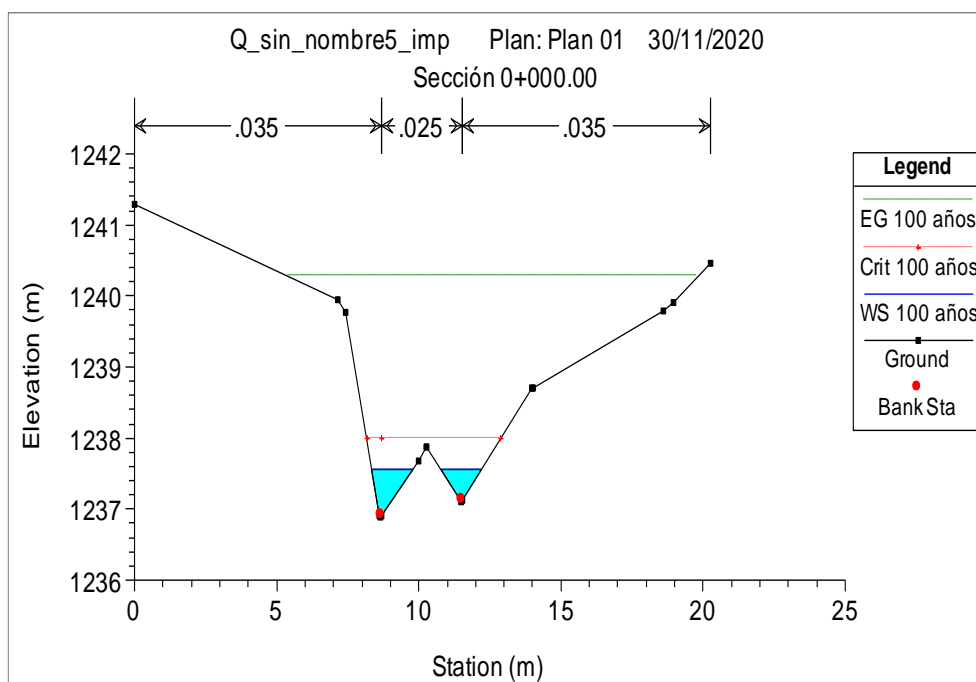


Figura 150. Sección 0+000.00, obtenida del programa HEC-RAS

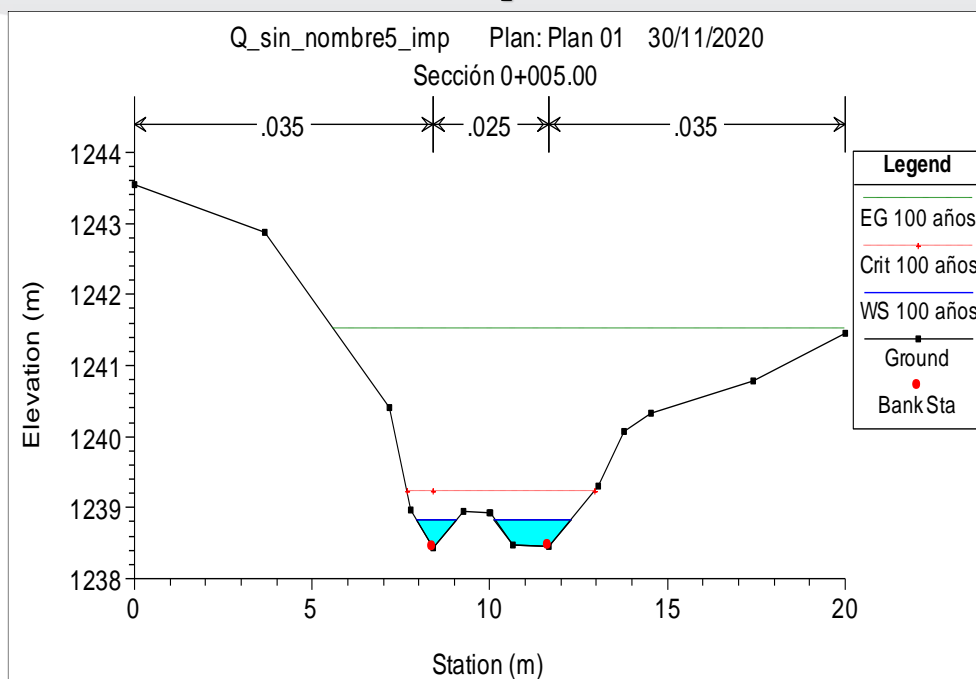


Figura 151. Sección 0+005.00, obtenida del programa HEC-RAS

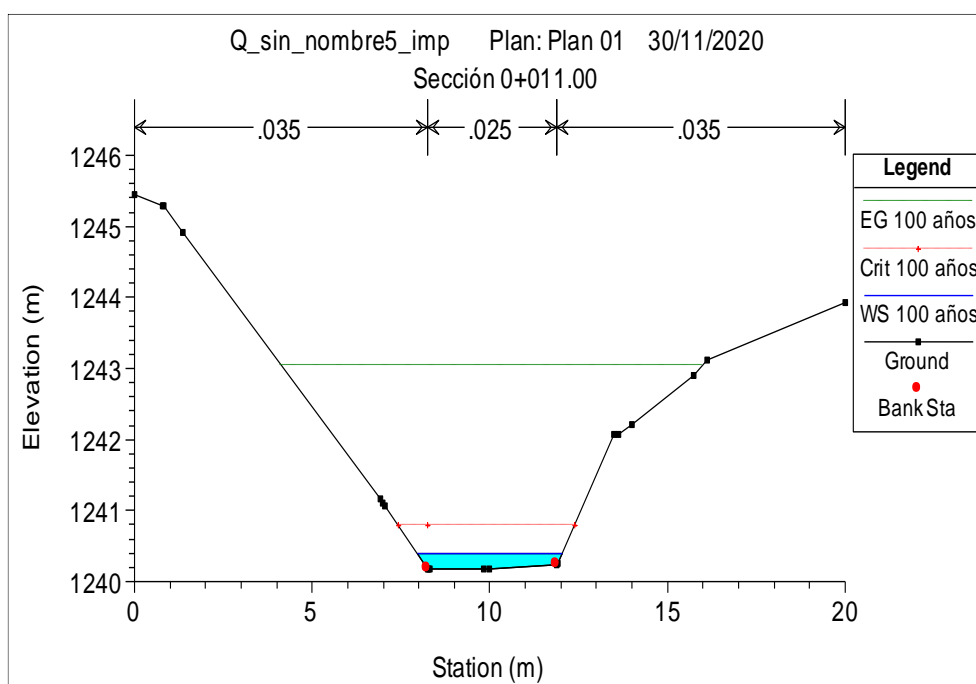


Figura 152. Sección 0+011.00, obtenida del programa HEC-RAS

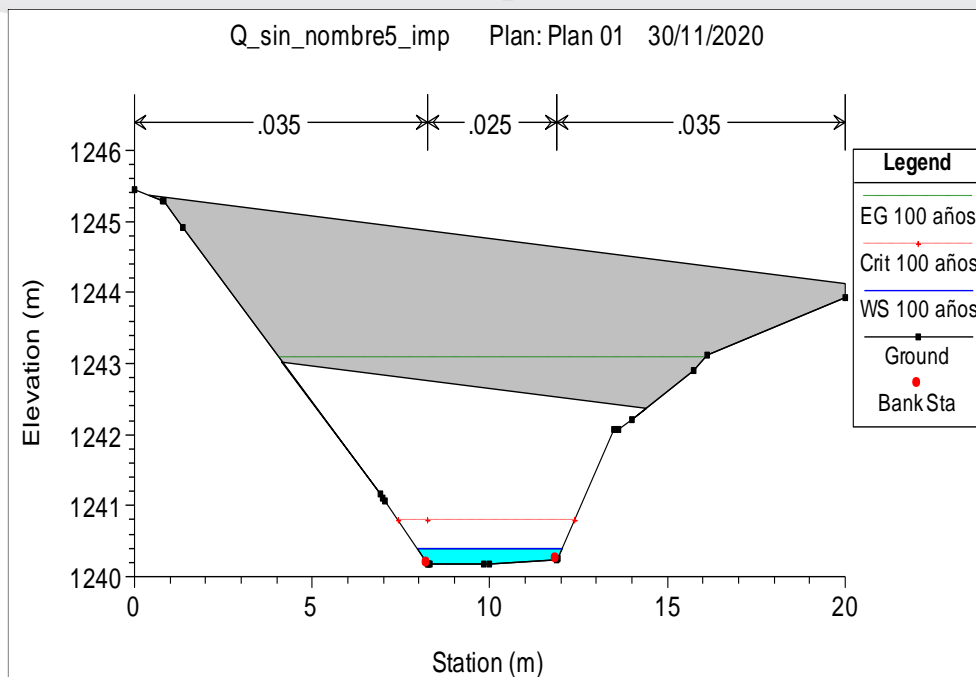


Figura 153. Sección 0+011.10 aguas debajo de la tubería, obtenida del programa HEC-RAS

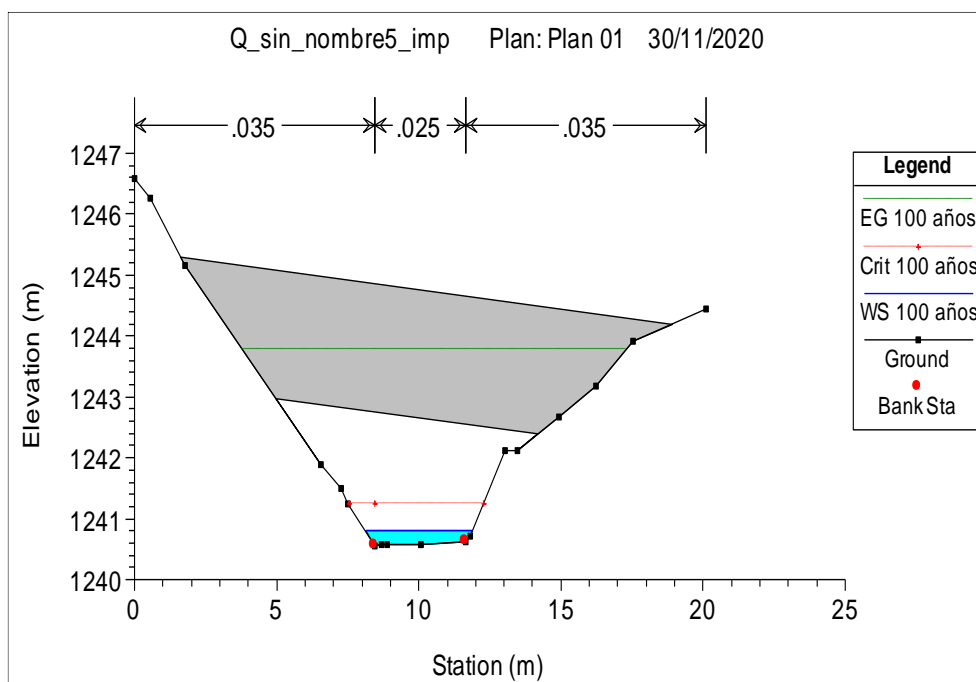


Figura 154. Sección 0+011.10 aguas arriba de la tubería, obtenida del programa HEC-RAS

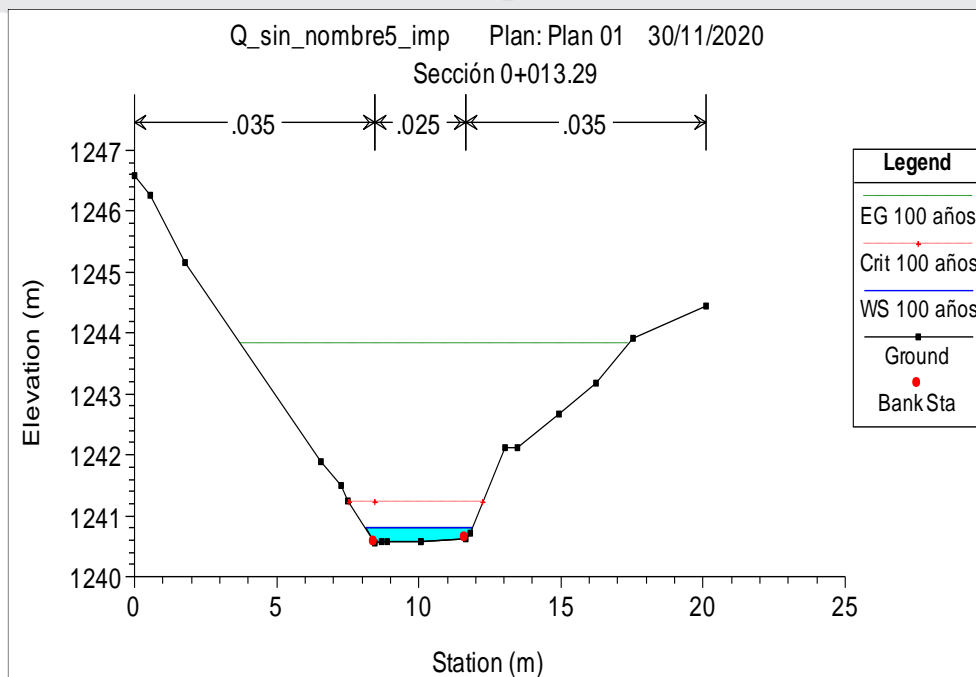


Figura 155. Sección 0+013.29 obtenida del programa HEC-RAS

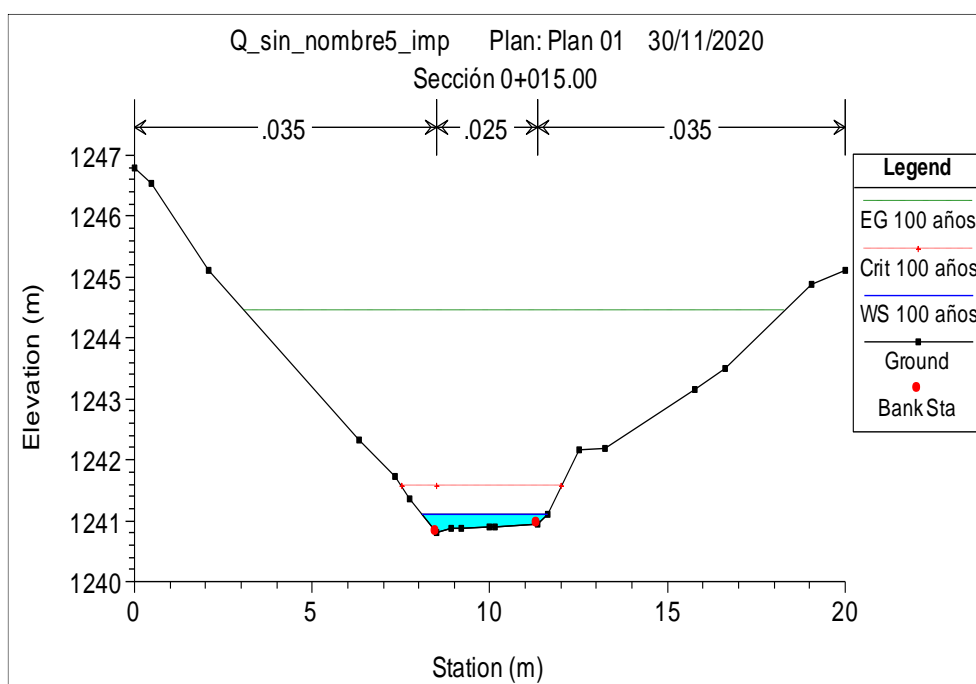


Figura 156. Sección 0+015.00, obtenida del programa HEC-RAS

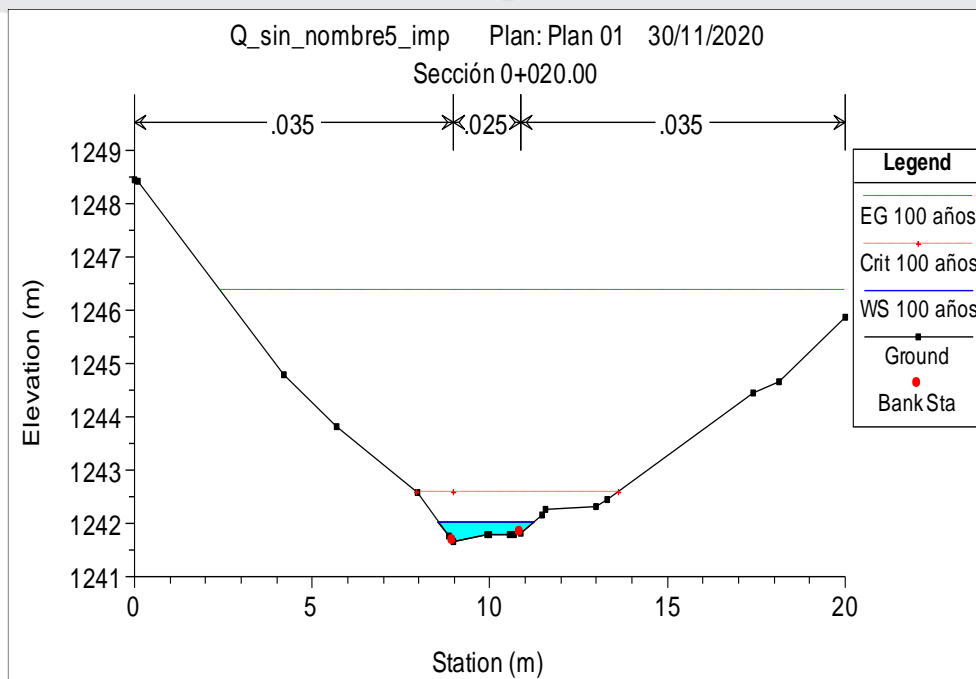


Figura 157. Sección 0+020.00, obtenida del programa HEC-RAS

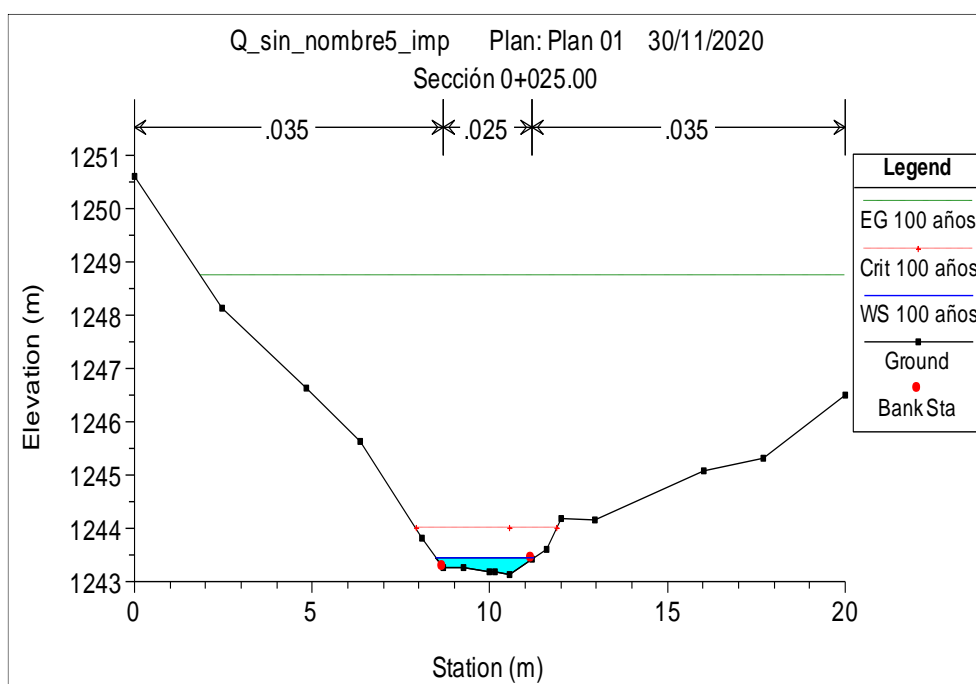


Figura 158. Sección 0+025.00 obtenida del programa HEC-RAS

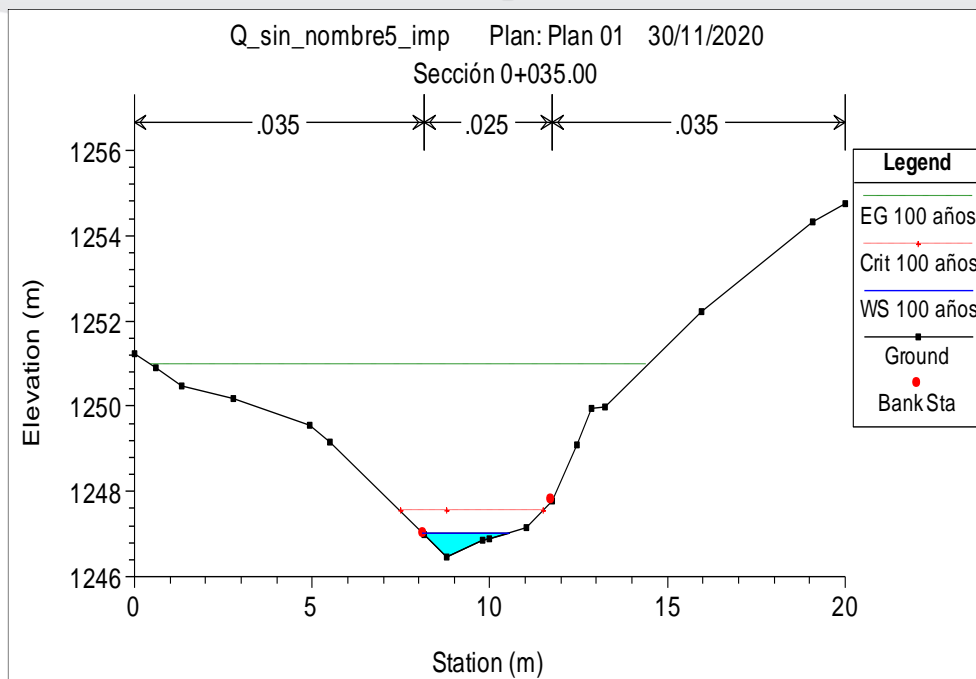


Figura 159. Sección 0+035.00, obtenida del programa HEC-RAS

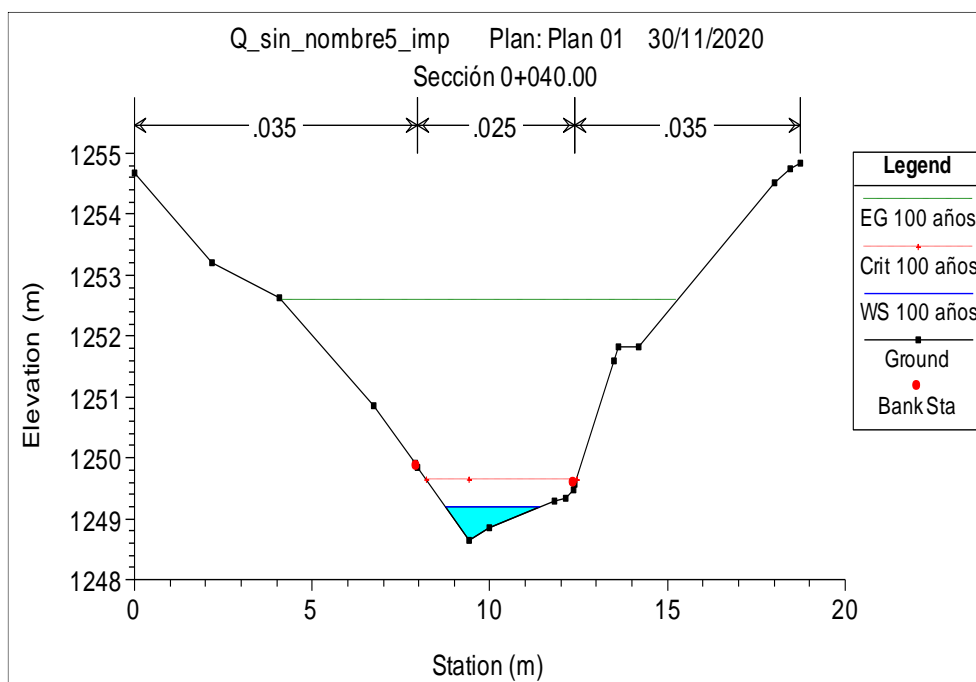


Figura 160. Sección 0+040.00, obtenida del programa HEC-RAS

SECCIONES TRANSVERSALES DE LA Q. SIN NOMBRE 6, CONDICIÓN ACTUAL

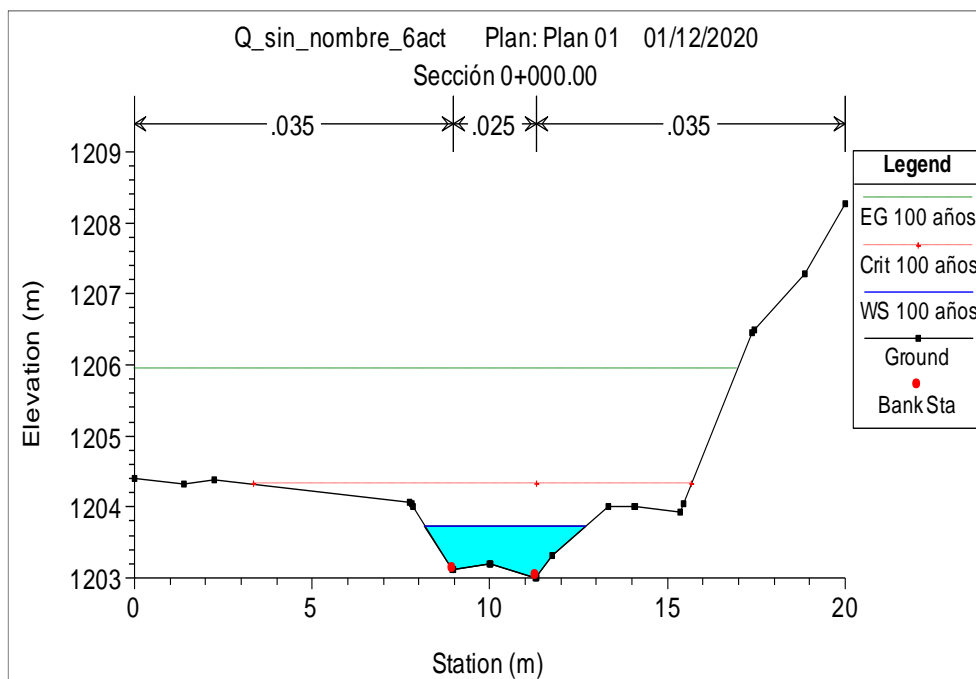


Figura 161. Sección 0+000.00 obtenida del programa HEC-RAS

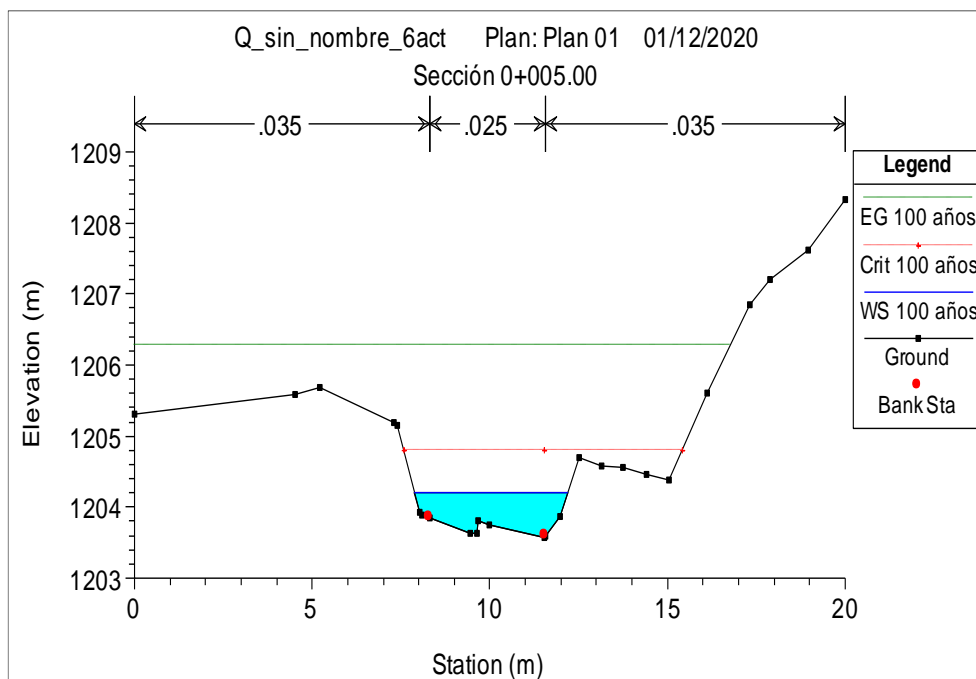


Figura 162. Sección 0+005.00, obtenida del programa HEC-RAS

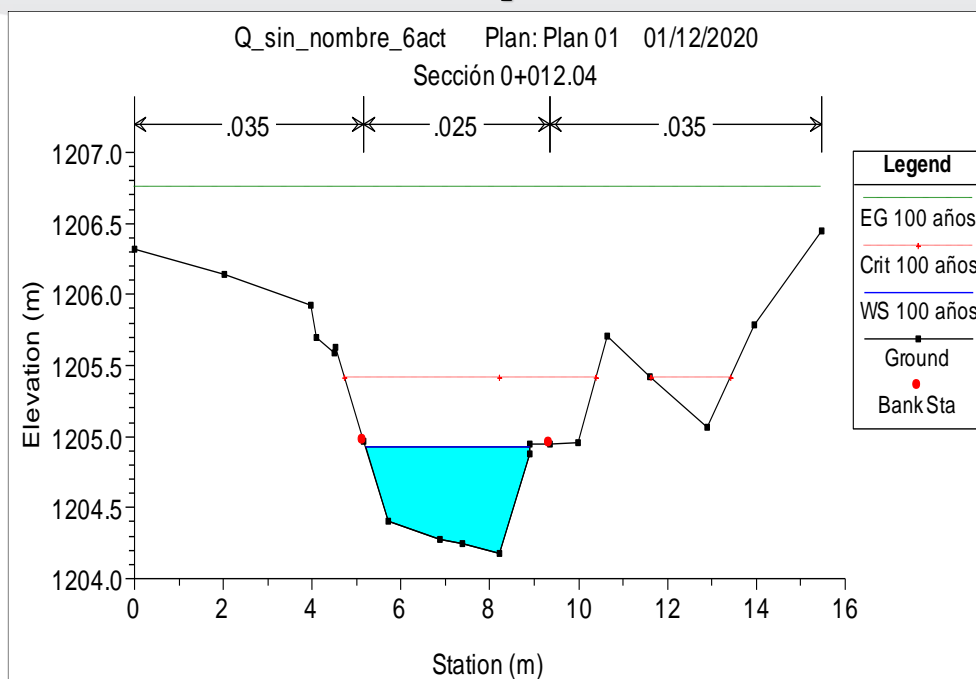


Figura 163. Sección 0+012.04, obtenida del programa HEC-RAS

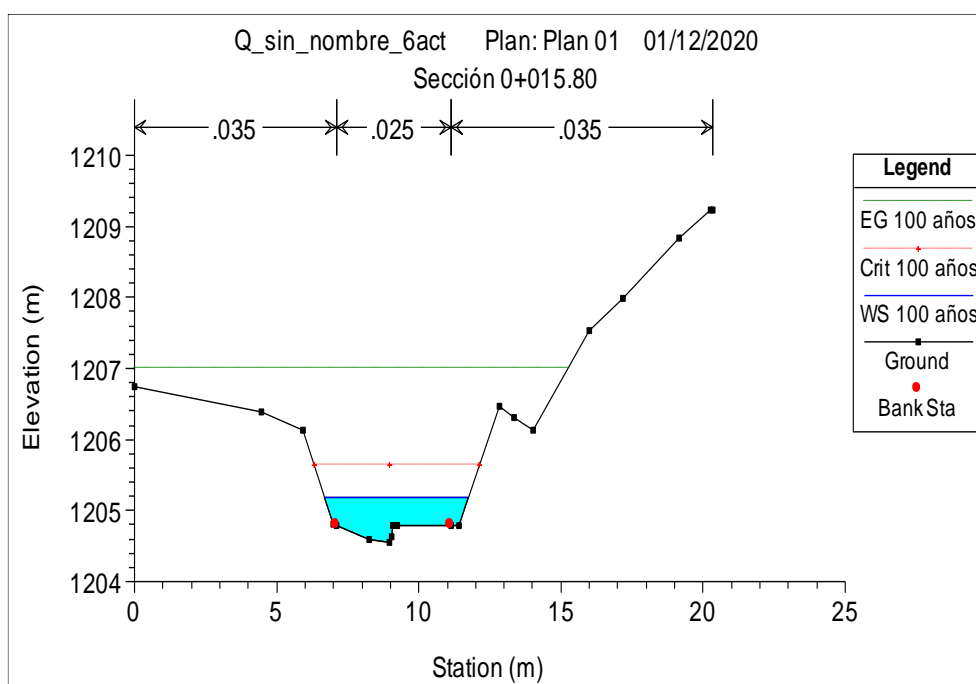


Figura 164. Sección 0+015.80, obtenida del programa HEC-RAS

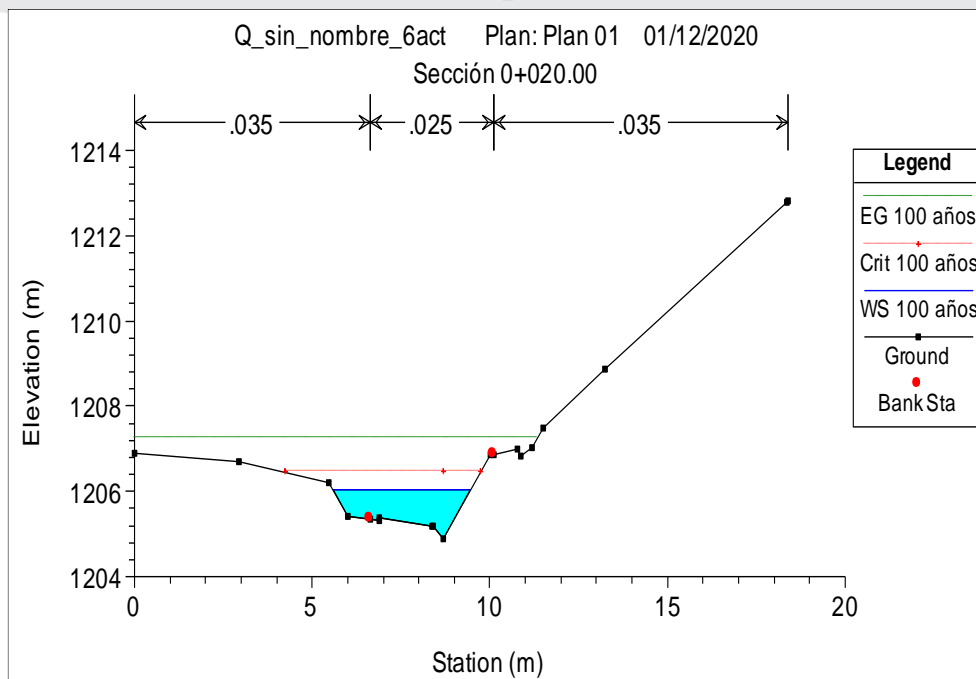


Figura 165. Sección 0+020.00, obtenida del programa HEC-RAS

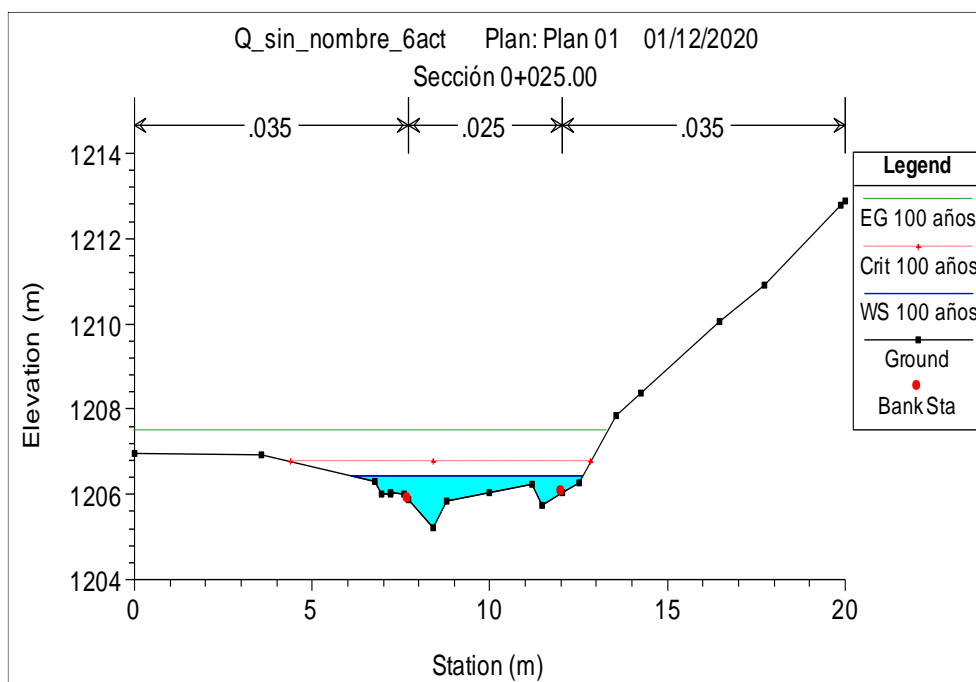


Figura 166. Sección 0+025.00 obtenida del programa HEC-RAS

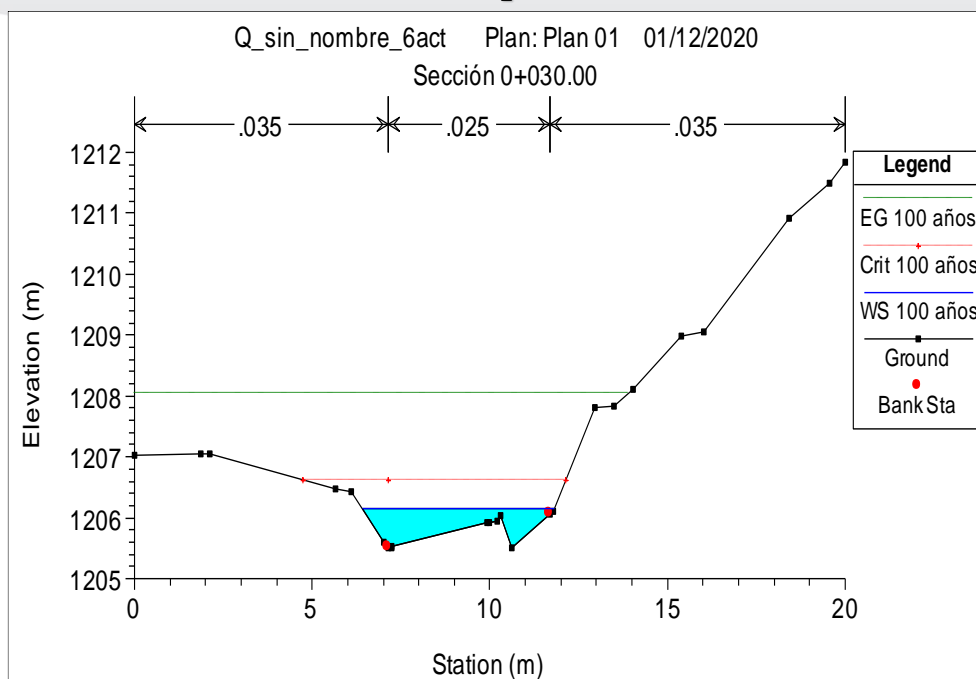


Figura 167. Sección 0+030.00 obtenida del programa HEC-RAS

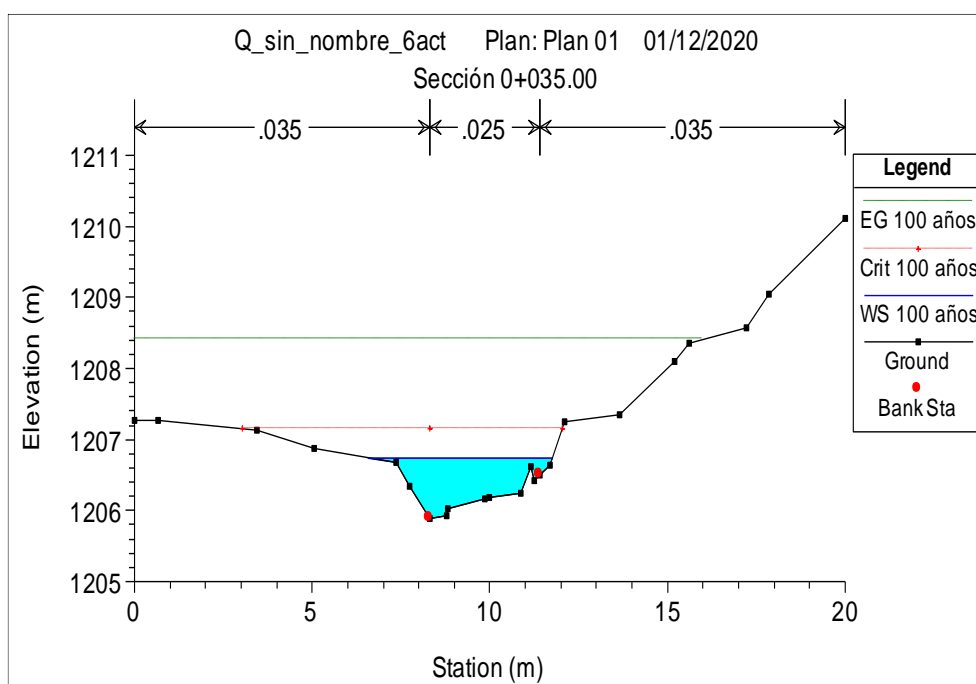


Figura 168. Sección 0+035.00, obtenida del programa HEC-RAS

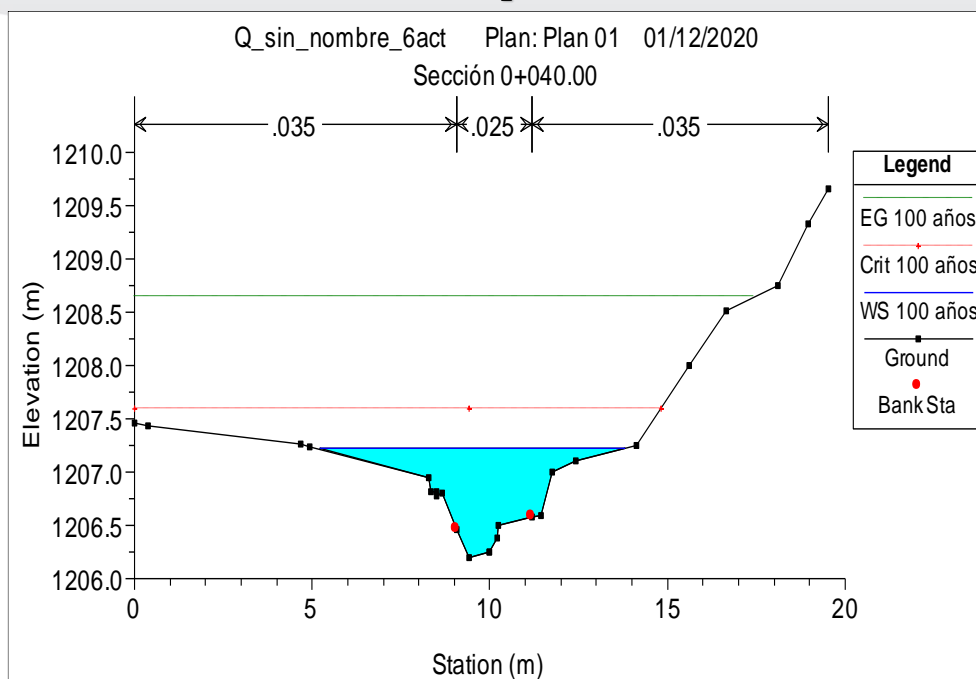


Figura 169. Sección 0+040.00, obtenida del programa HEC-RAS

SECCIONES TRANSVERSALES DE LA Q. SIN NOMBRE 6, CONDICIÓN IMPLEMENTAR

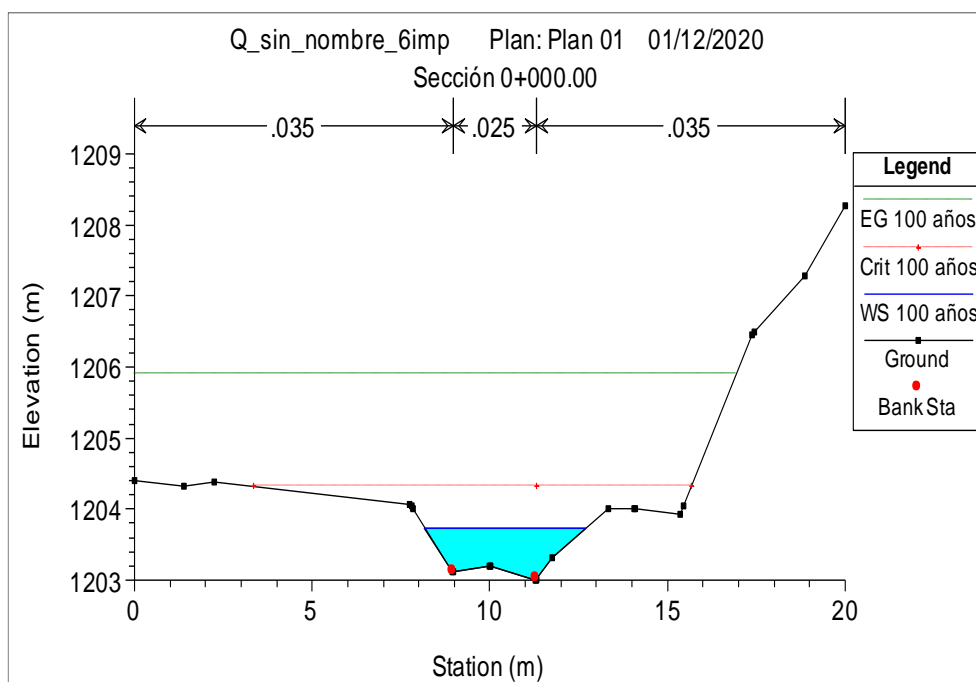


Figura 170. Sección 0+000.00, obtenida del programa HEC-RAS

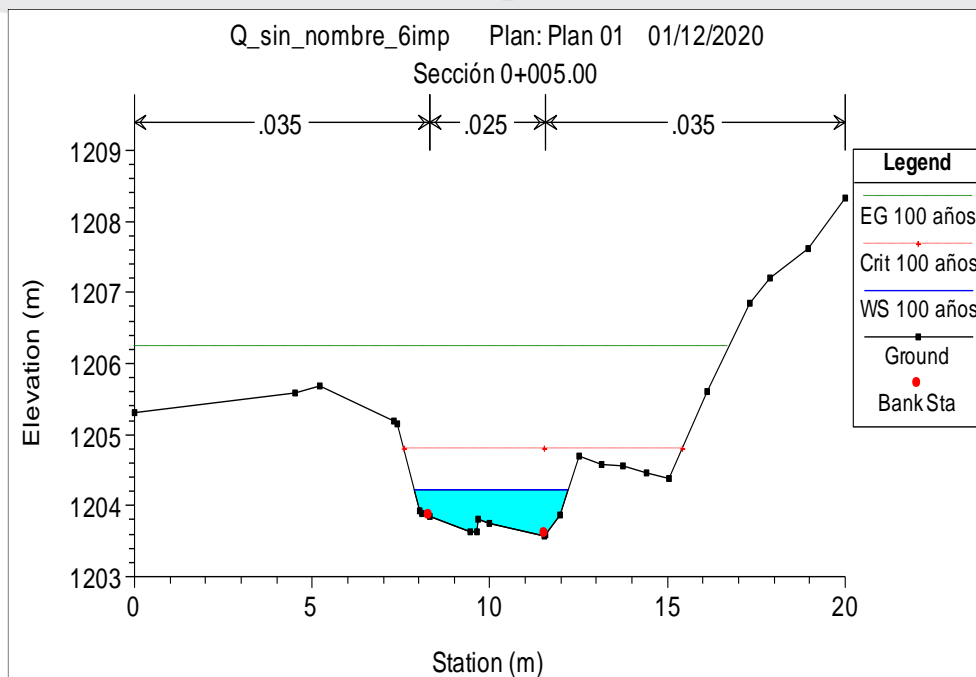


Figura 171. Sección 0+005.00, obtenida del programa HEC-RAS

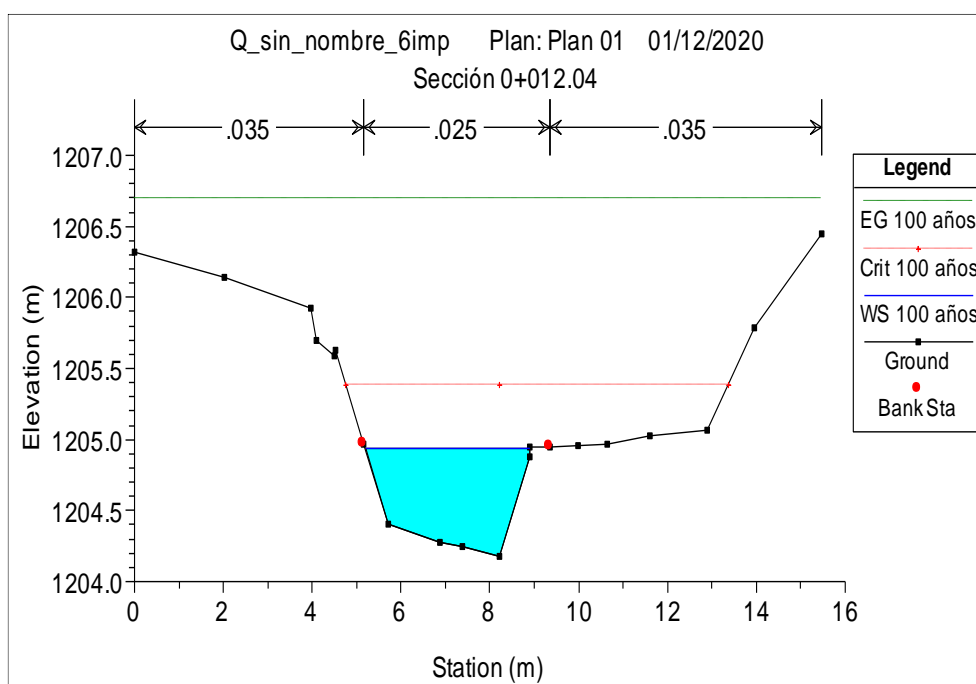


Figura 172. Sección 0+012.04, obtenida del programa HEC-RAS

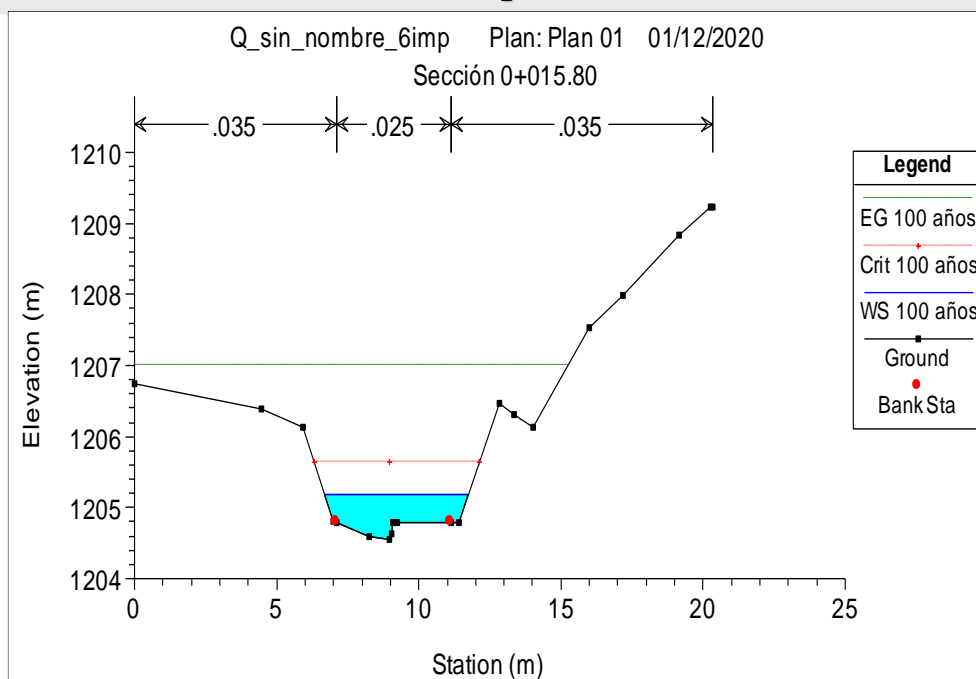


Figura 173. Sección 0+015.80, obtenida del programa HEC-RAS

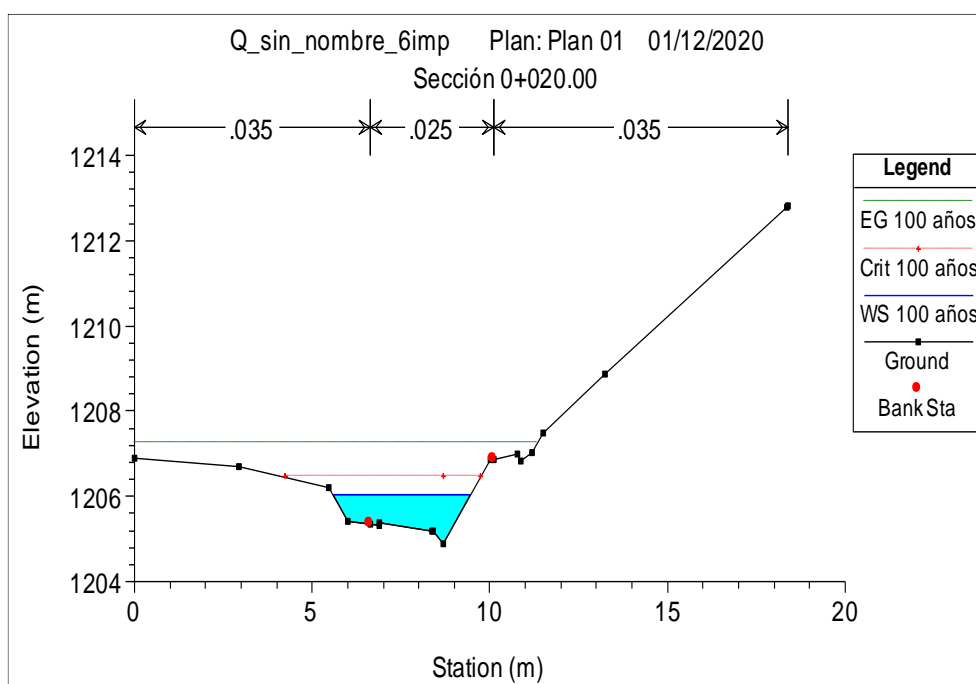


Figura 174. Sección 0+020.00, obtenida del programa HEC-RAS

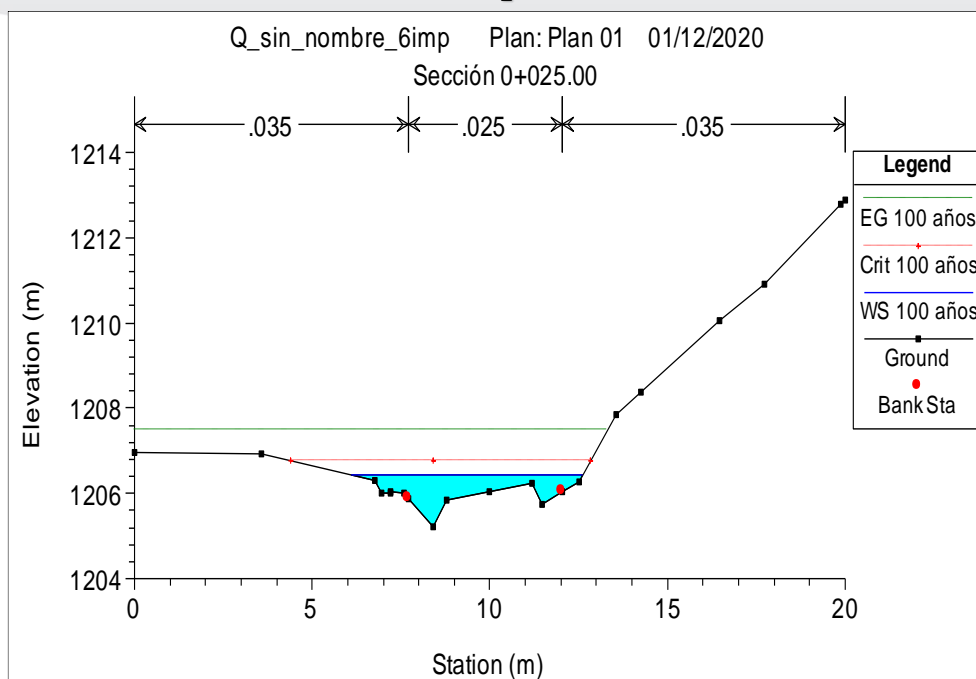


Figura 175. Sección 0+025.00, obtenida del programa HEC-RAS

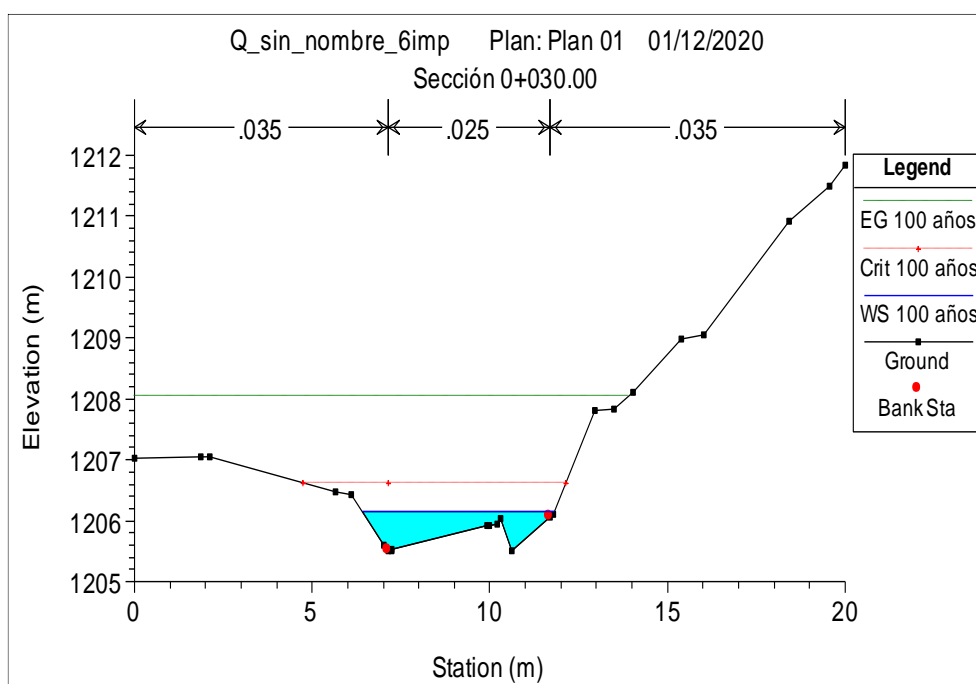


Figura 176. Sección 0+030.00, obtenida del programa HEC-RAS

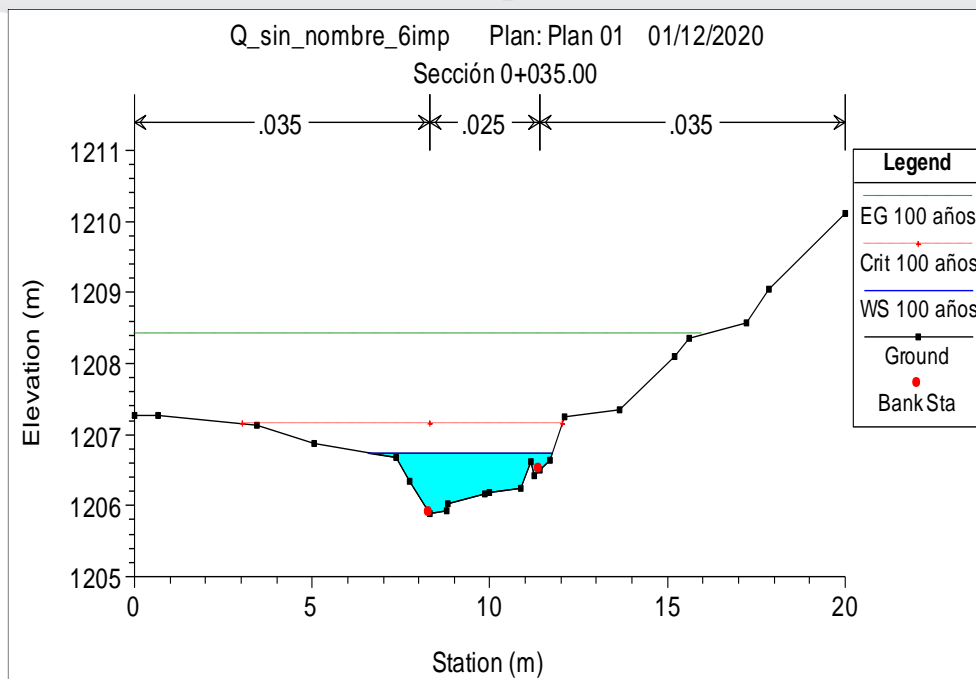


Figura 177. Sección 0+035.00, obtenida del programa HEC-RAS

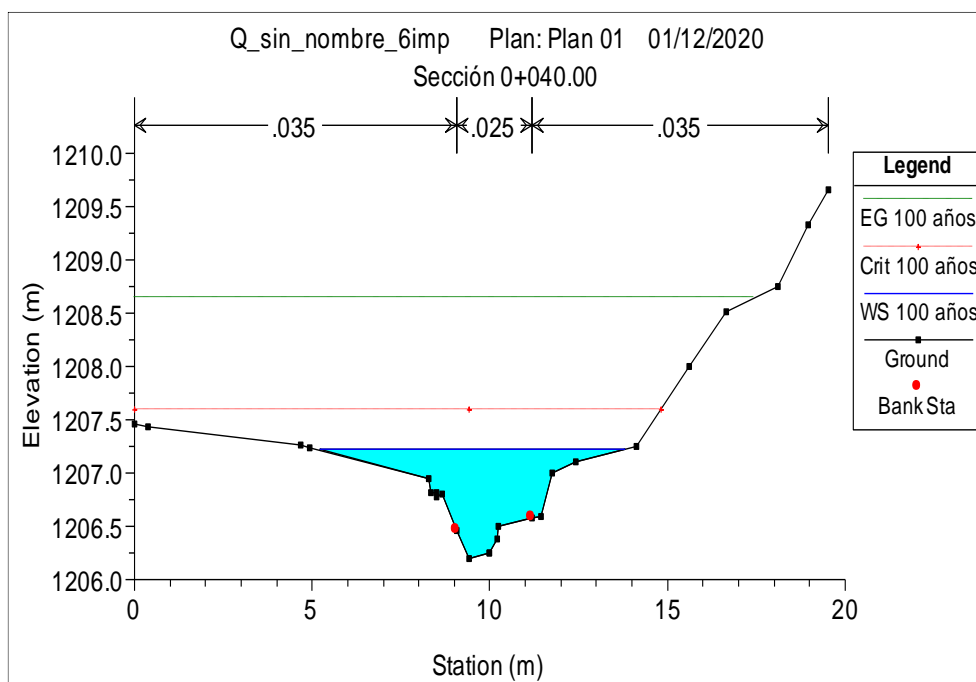


Figura 178. Sección 0+040.00, obtenida del programa HEC-RAS

SECCIONES TRANSVERSALES DE LA Q. SIN NOMBRE 6.1, CONDICIÓN ACTUAL E IMPLEMENTAR

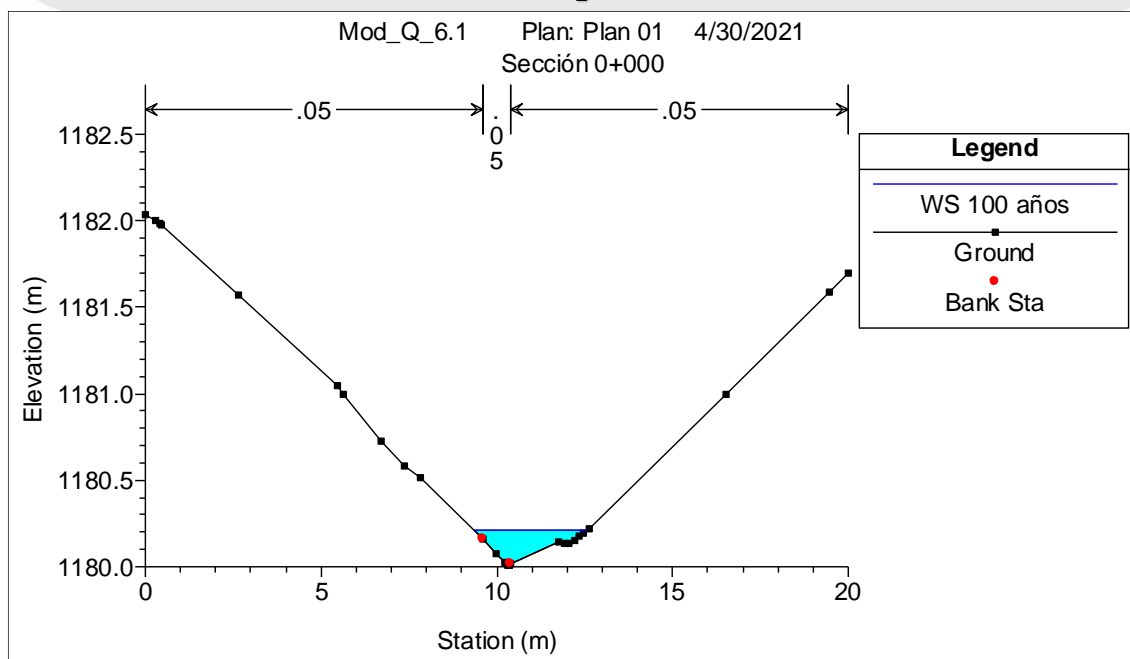


Figura 179. Sección 0+000.00, obtenida del programa HEC-RAS

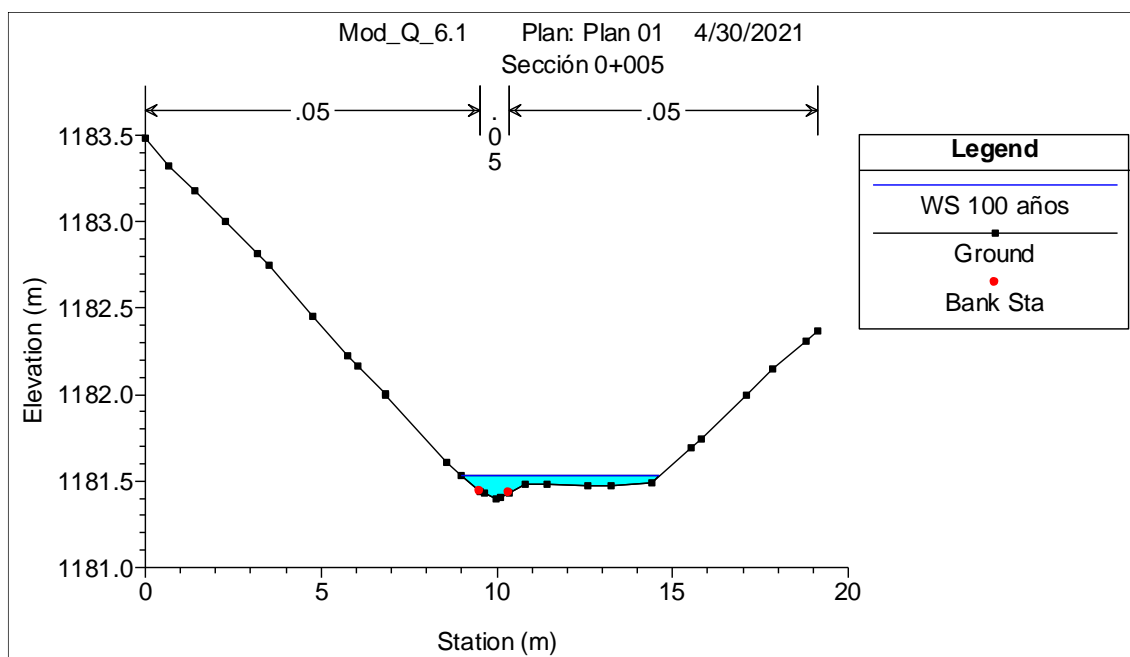


Figura 180. Sección 0+005.00, obtenida del programa HEC-RAS

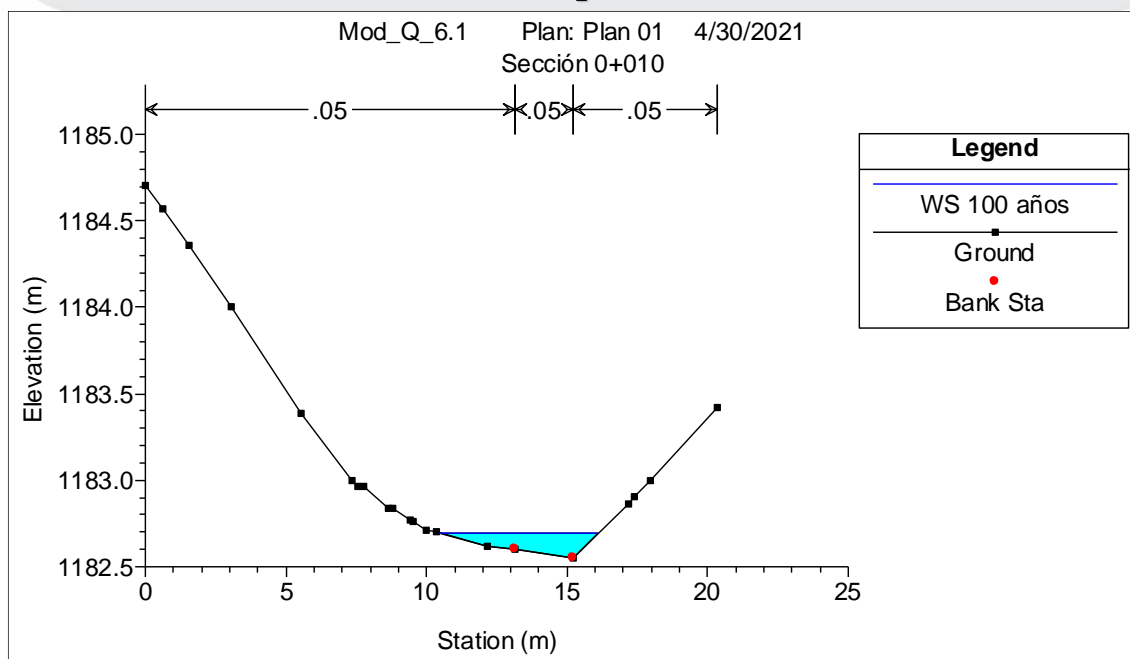


Figura 181. Sección 0+010.00, obtenida del programa HEC-RAS

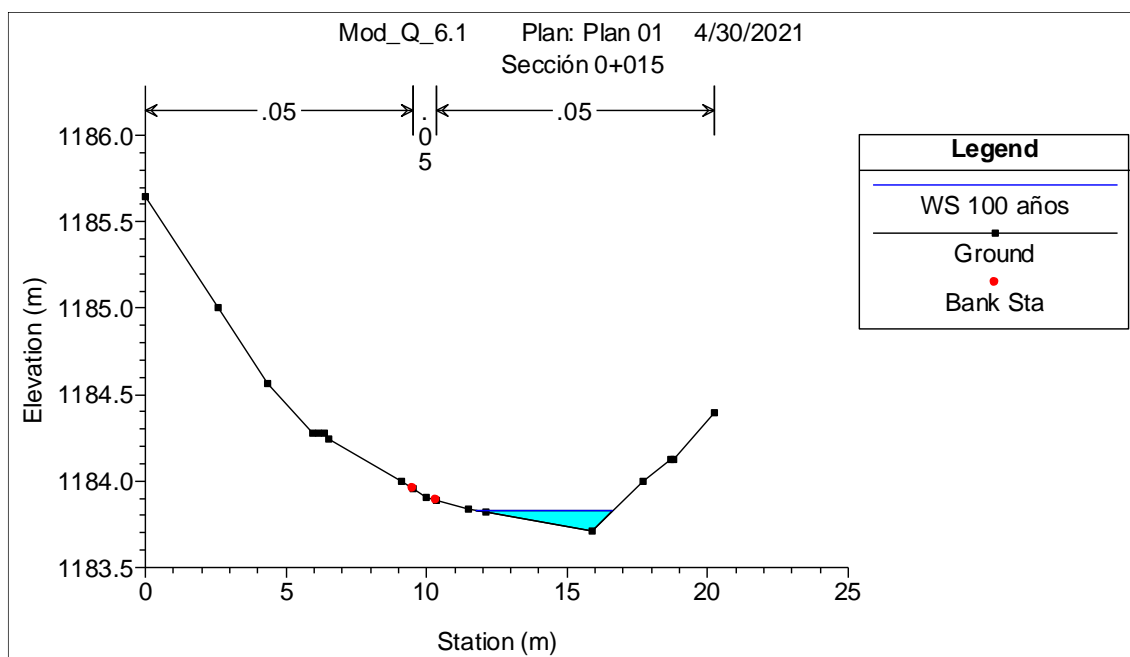


Figura 182. Sección 0+015.00, obtenida del programa HEC-RAS

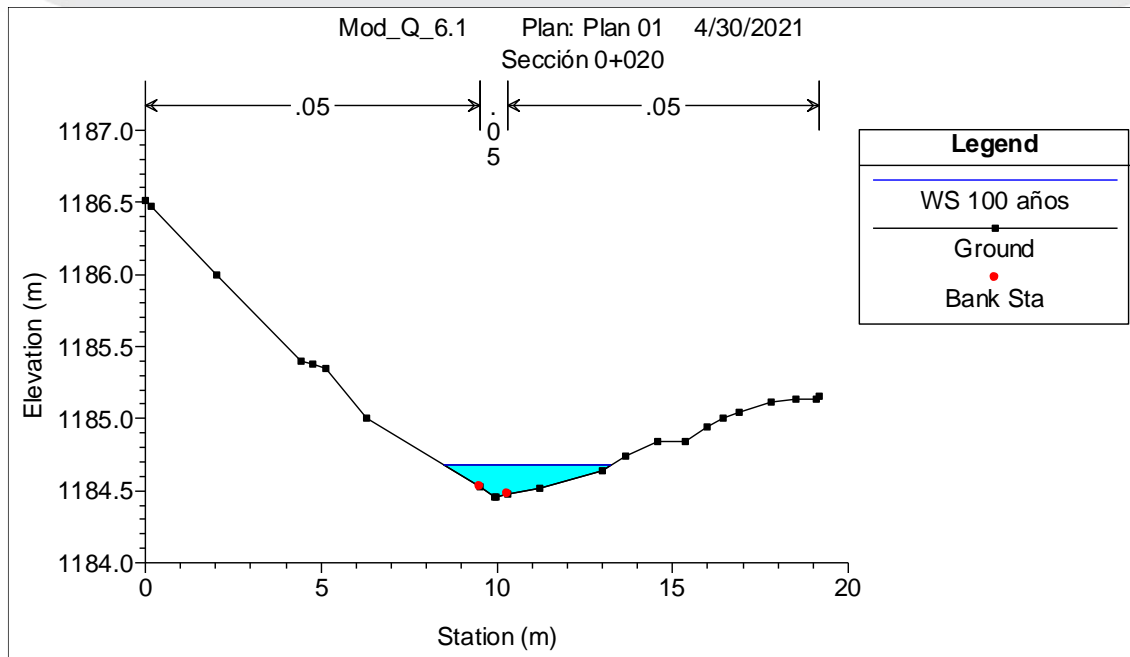


Figura 183. Sección 0+020.00, obtenida del programa HEC-RAS

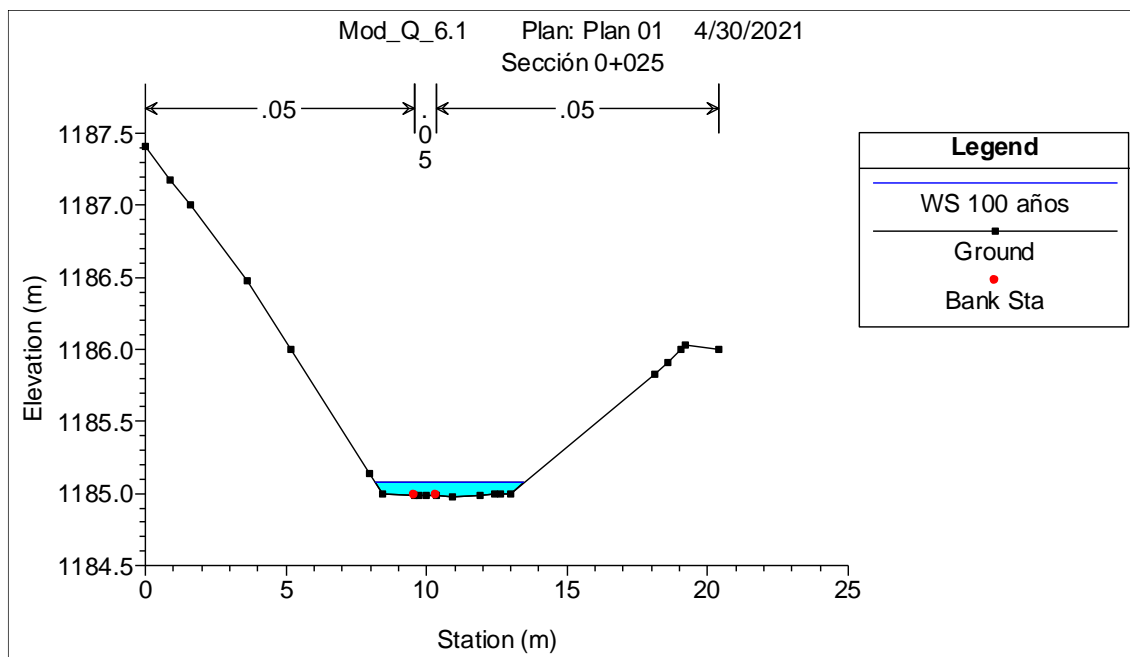


Figura 184. Sección 0+025.00, obtenida del programa HEC-RAS

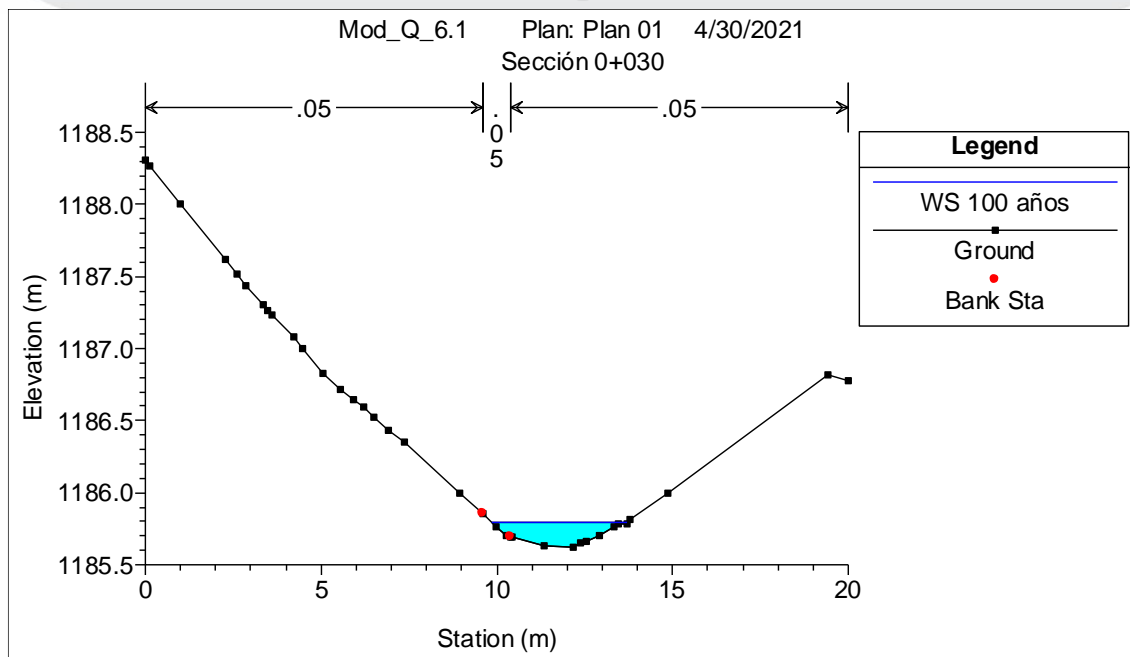


Figura 185. Sección 0+030.00, obtenida del programa HEC-RAS

SECCIONES TRANSVERSALES DE LA Q. SIN NOMBRE 6.2, CONDICIÓN ACTUAL E IMPLEMENTAR

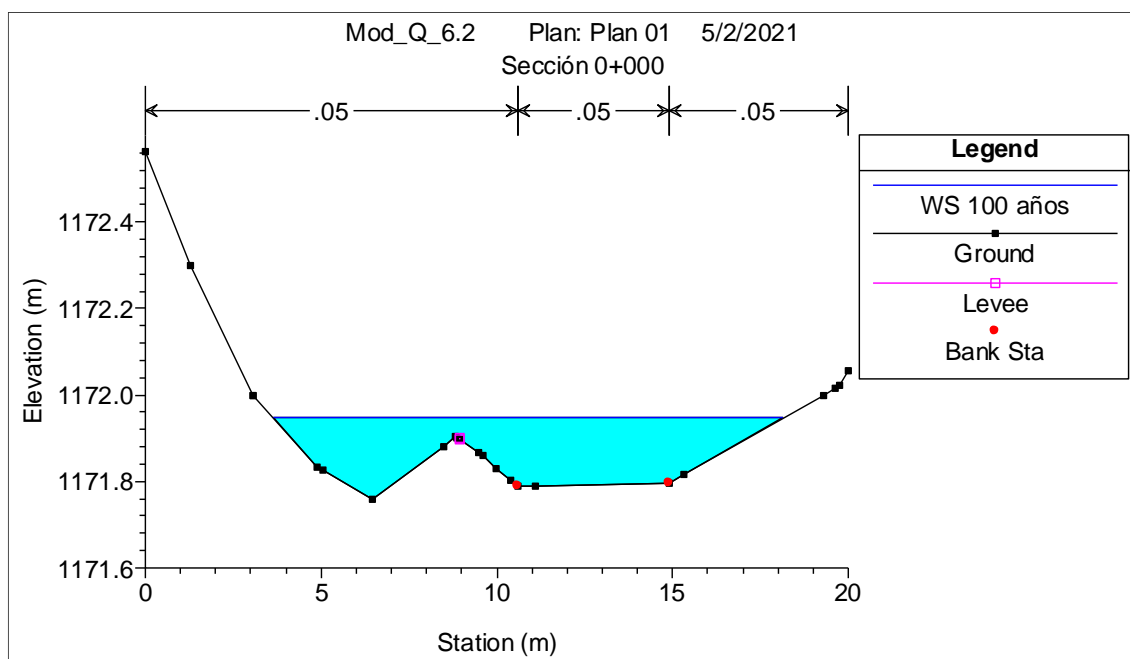


Figura 186. Sección 0+000.00, obtenida del programa HEC-RAS

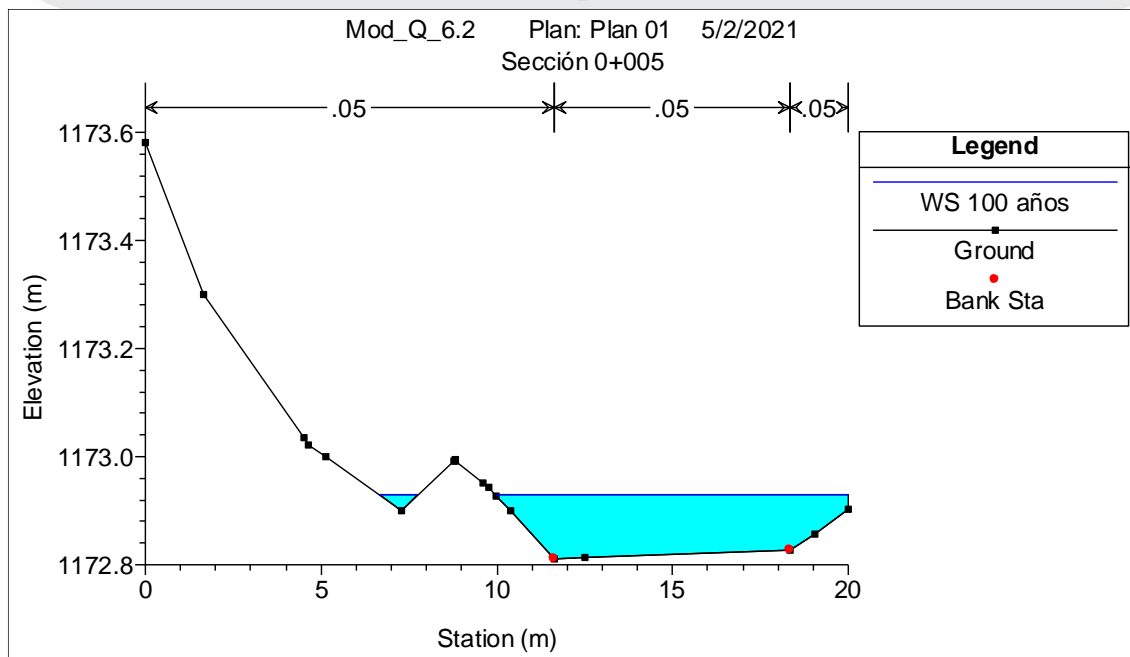


Figura 187. Sección 0+000.00, obtenida del programa HEC-RAS

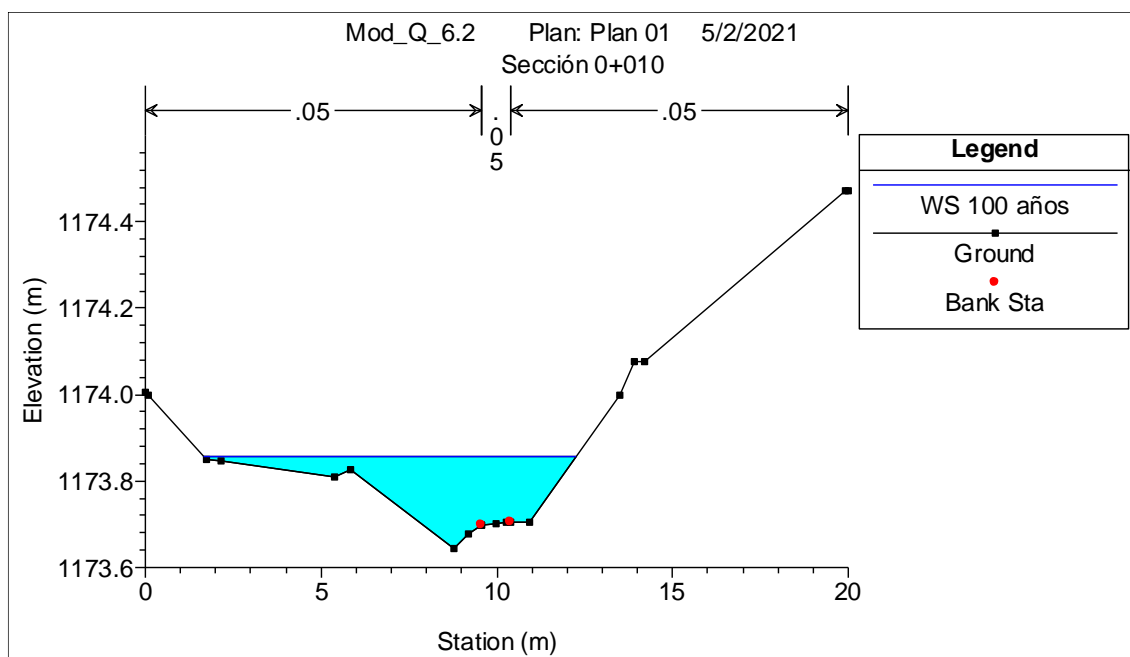


Figura 188. Sección 0+000.00, obtenida del programa HEC-RAS

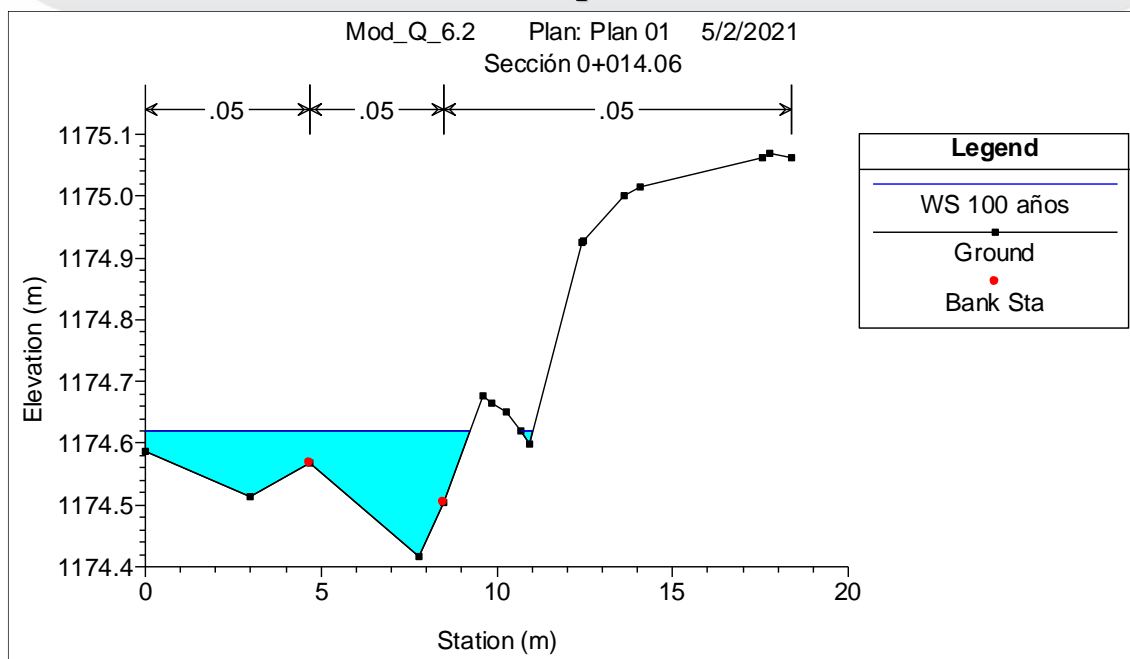


Figura 189. Sección 0+014.06, obtenida del programa HEC-RAS

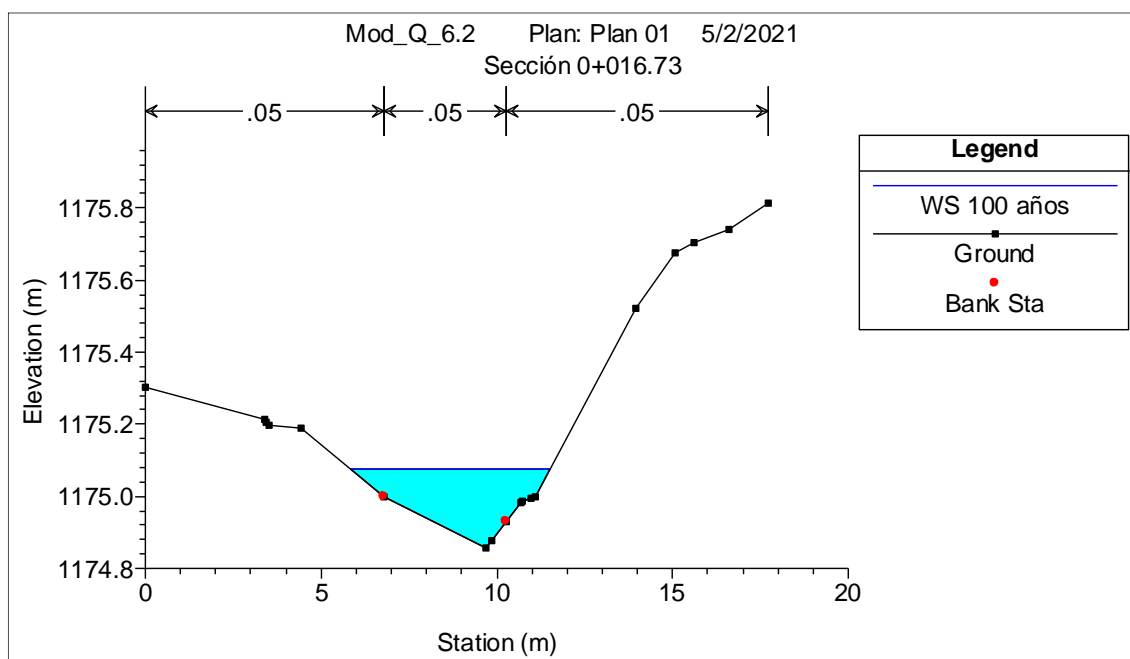


Figura 190. Sección 0+016.73, obtenida del programa HEC-RAS

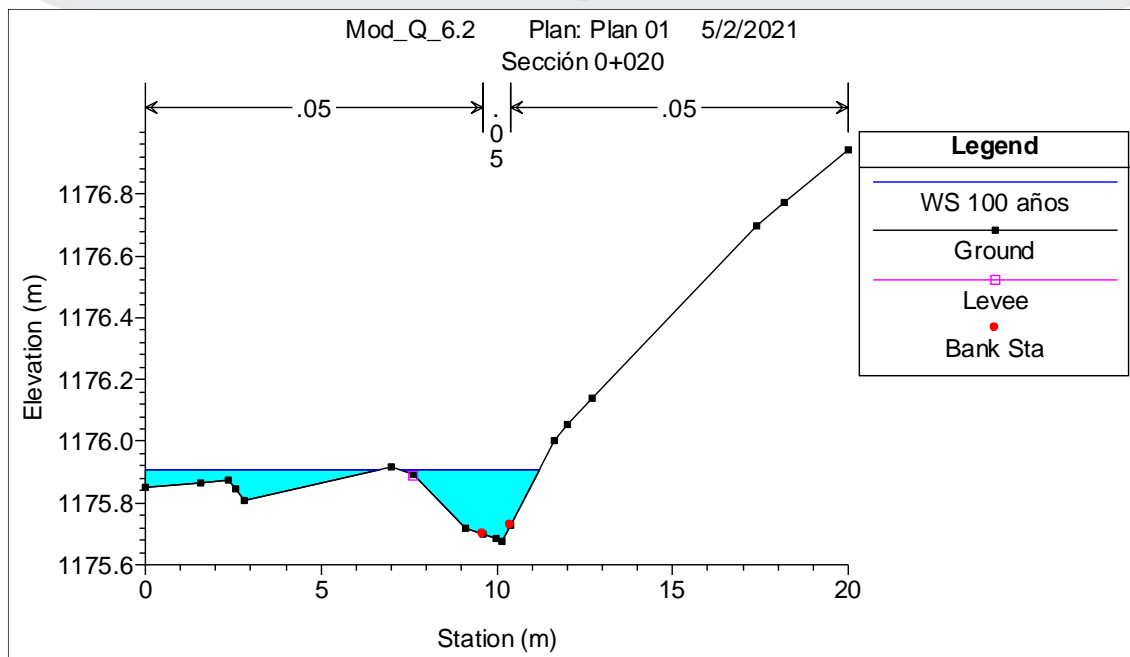


Figura 191. Sección 0+020.00, obtenida del programa HEC-RAS

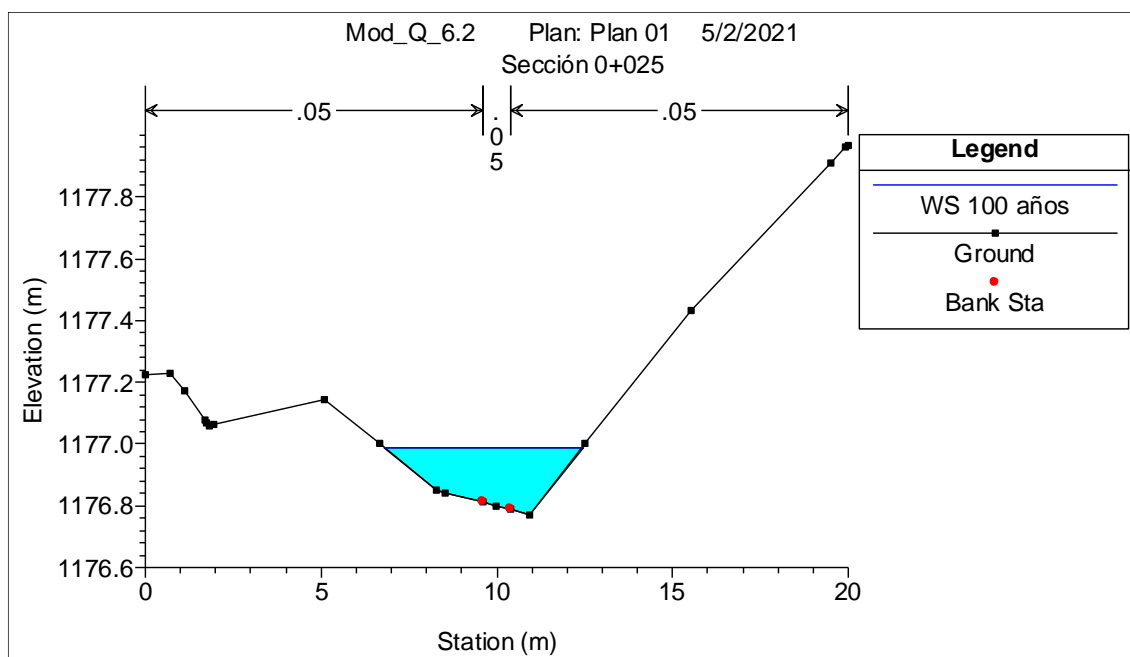


Figura 192. Sección 0+025.00, obtenida del programa HEC-RAS

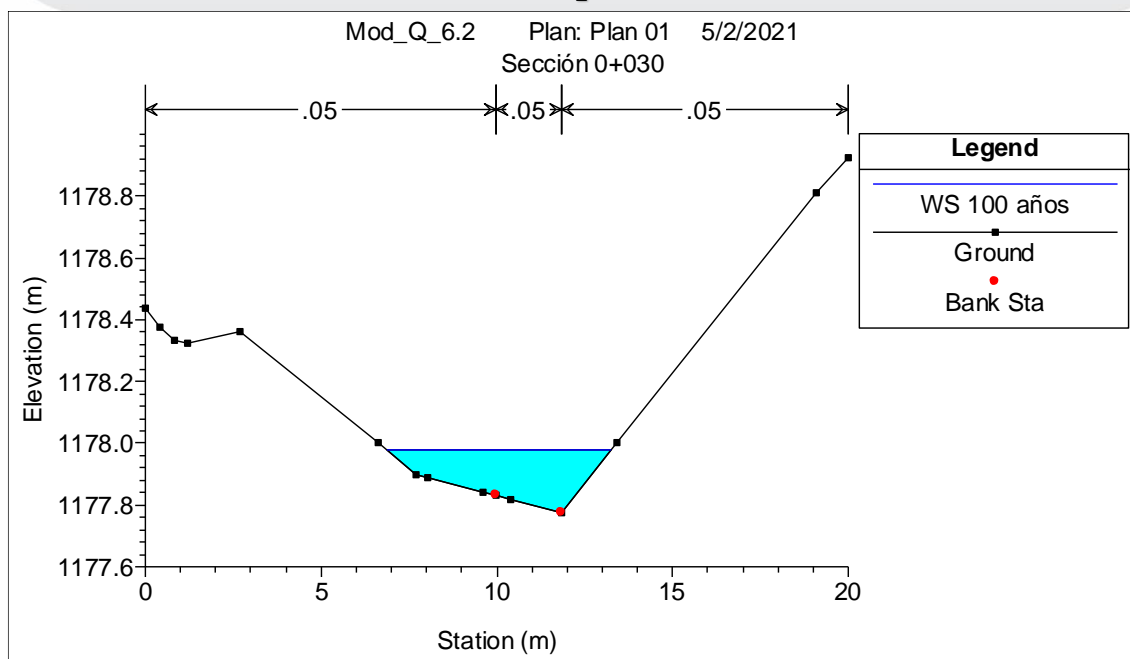


Figura 193. Sección 0+030.00, obtenida del programa HEC-RAS

SECCIONES TRANSVERSALES DE LA Q. SIN NOMBRE 7, CONDICIÓN ACTUAL

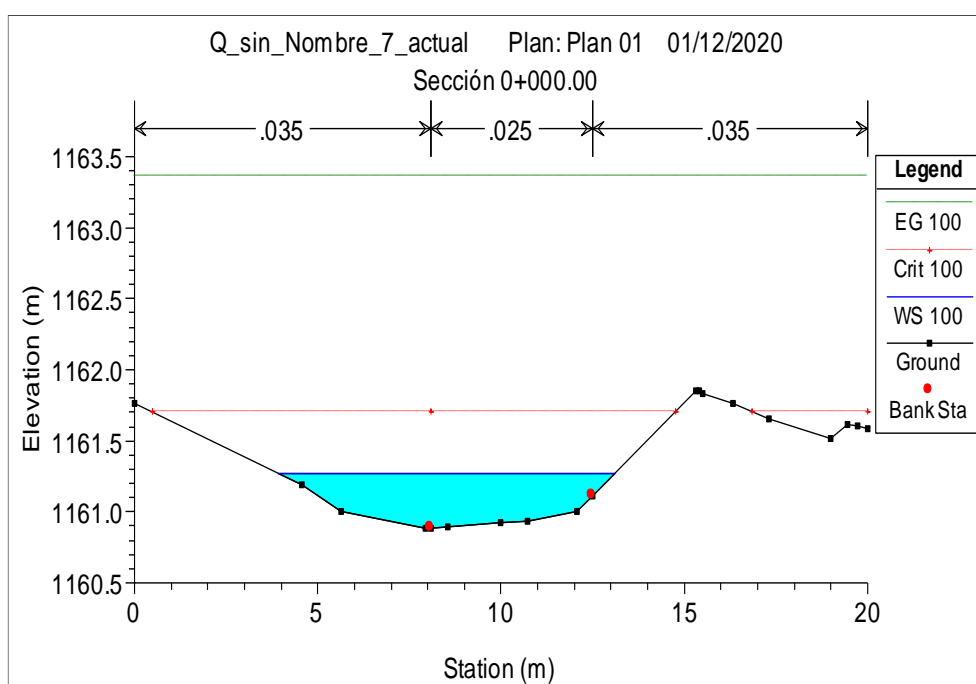


Figura 194. Sección 0+000.00, obtenida del programa HEC-RAS

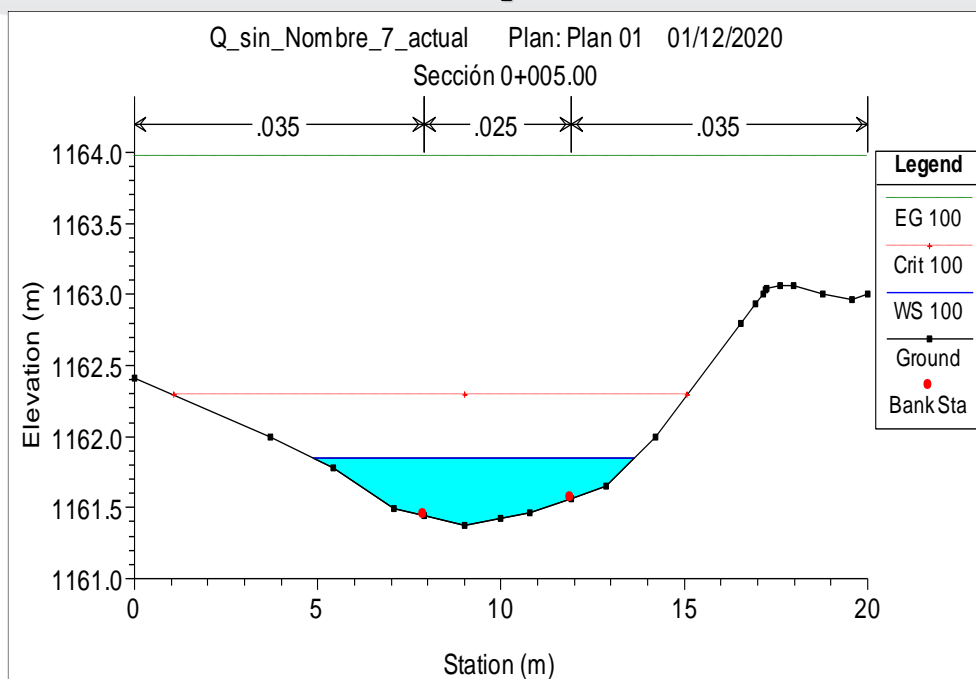


Figura 195. Sección 0+005.00, obtenida del programa HEC-RAS

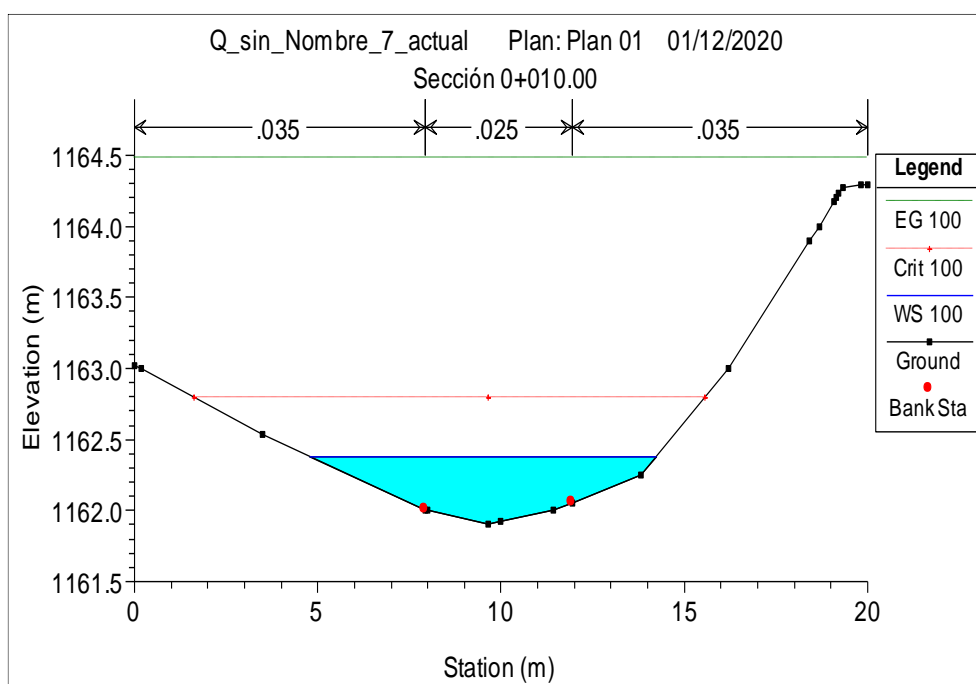


Figura 196. Sección 0+010.00, obtenida del programa HEC-RAS

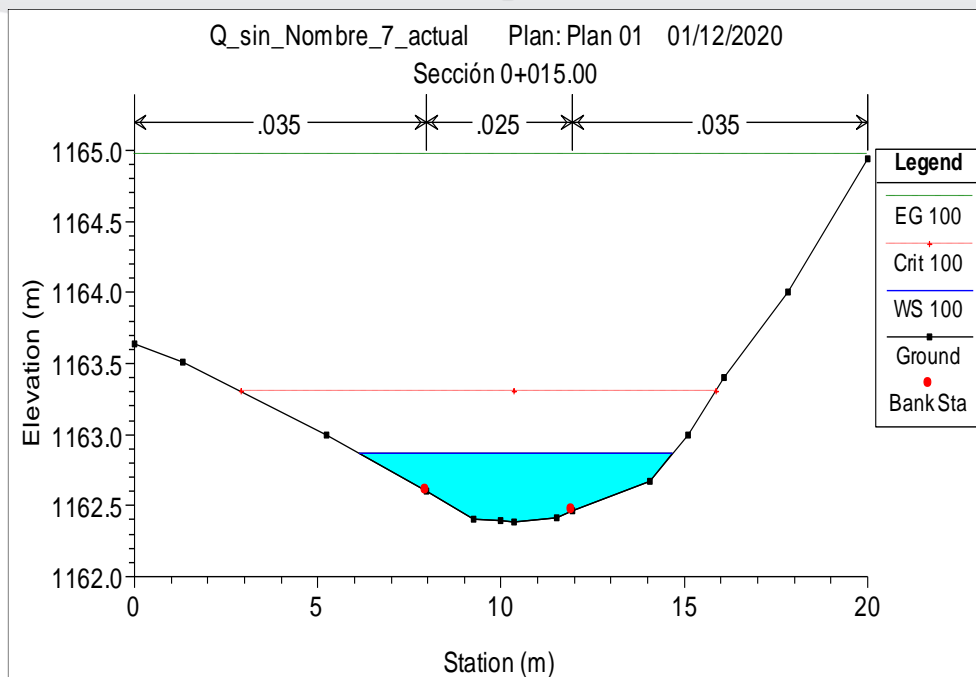


Figura 197. Sección 0+015.00, obtenida del programa HEC-RAS

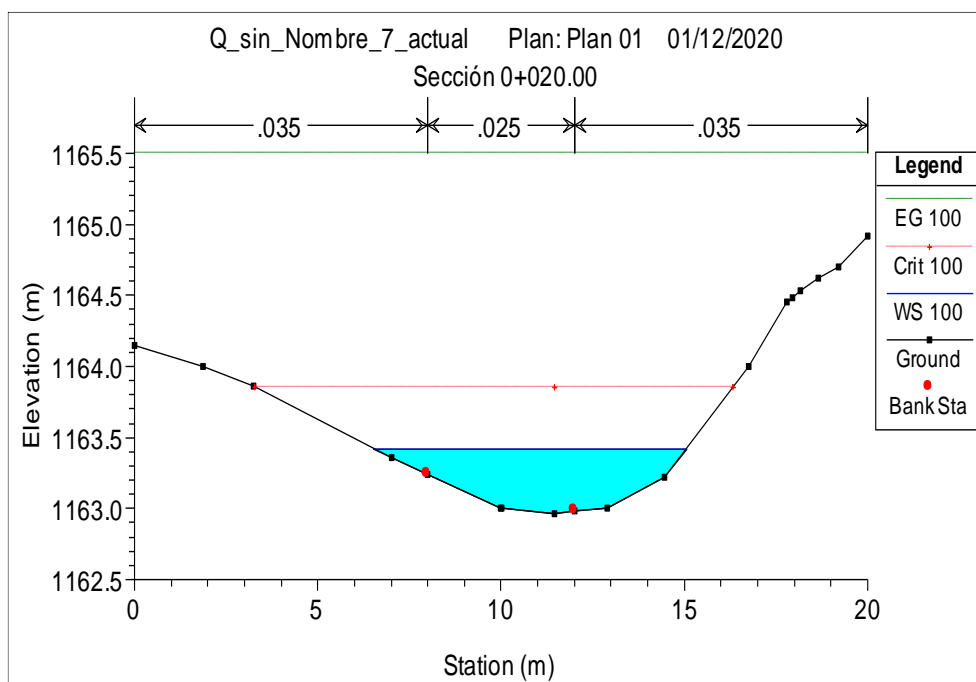


Figura 198. Sección 0+020.00, obtenida del programa HEC-RAS

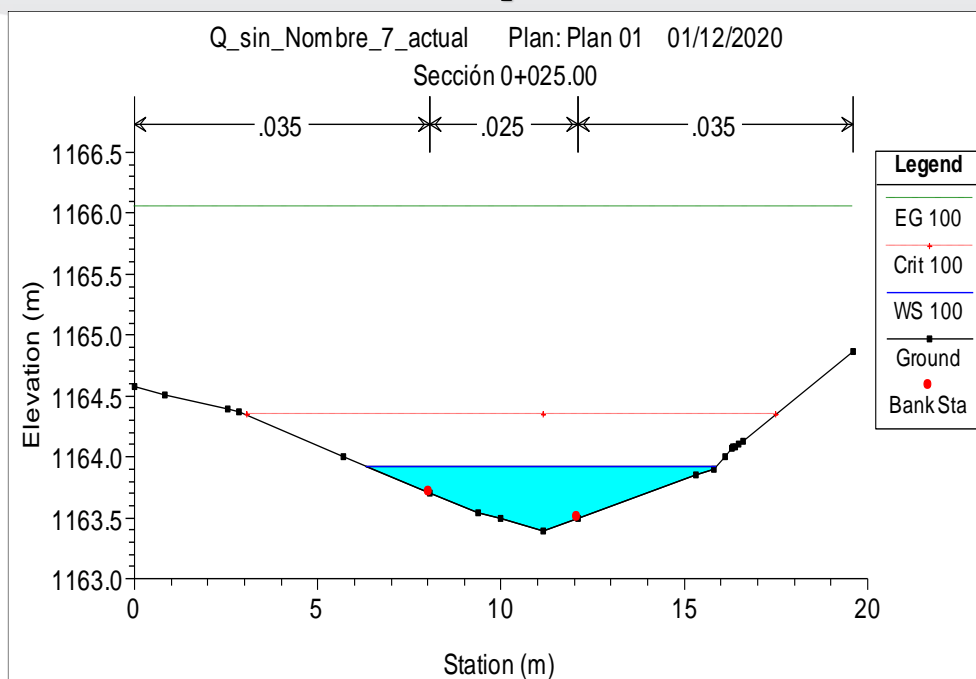


Figura 199. Sección 0+025.00, obtenida del programa HEC-RAS

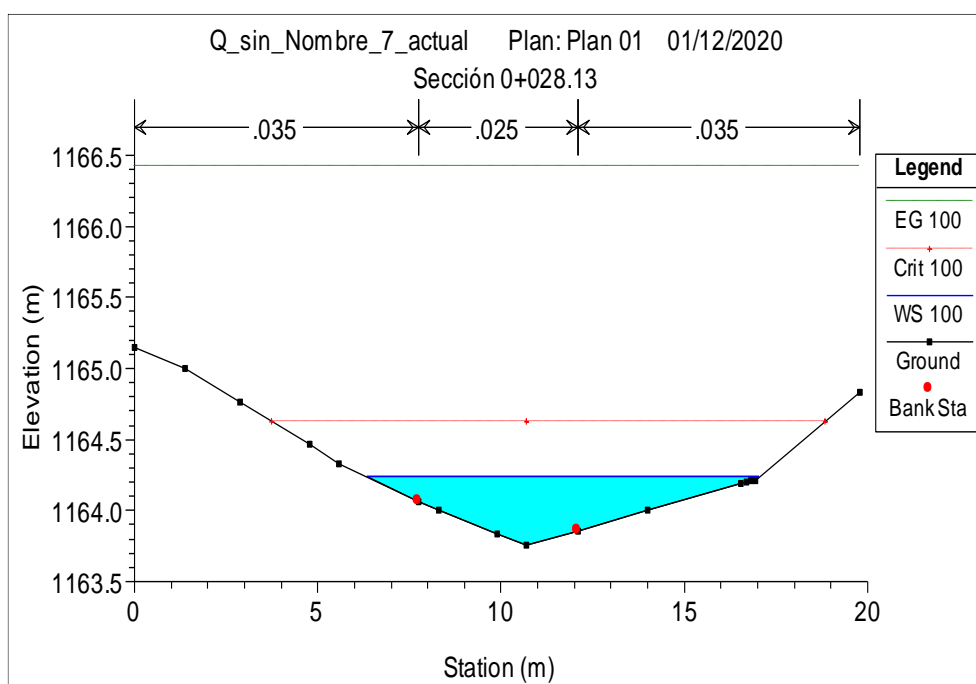


Figura 200. Sección 0+028.13, obtenida del programa HEC-RAS

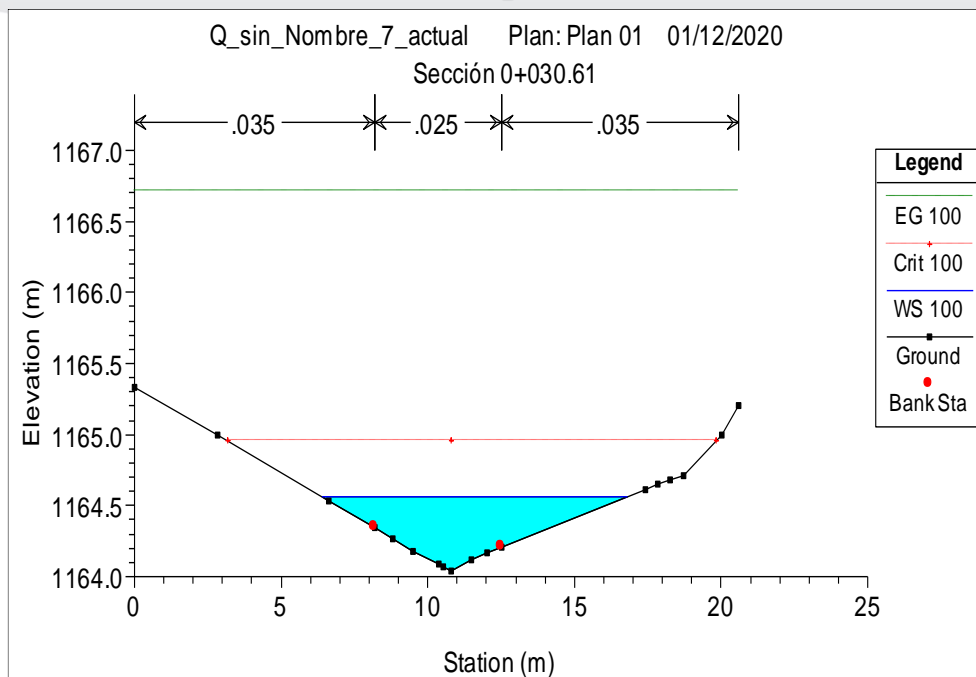


Figura 201. Sección 0+030.61, obtenida del programa HEC-RAS

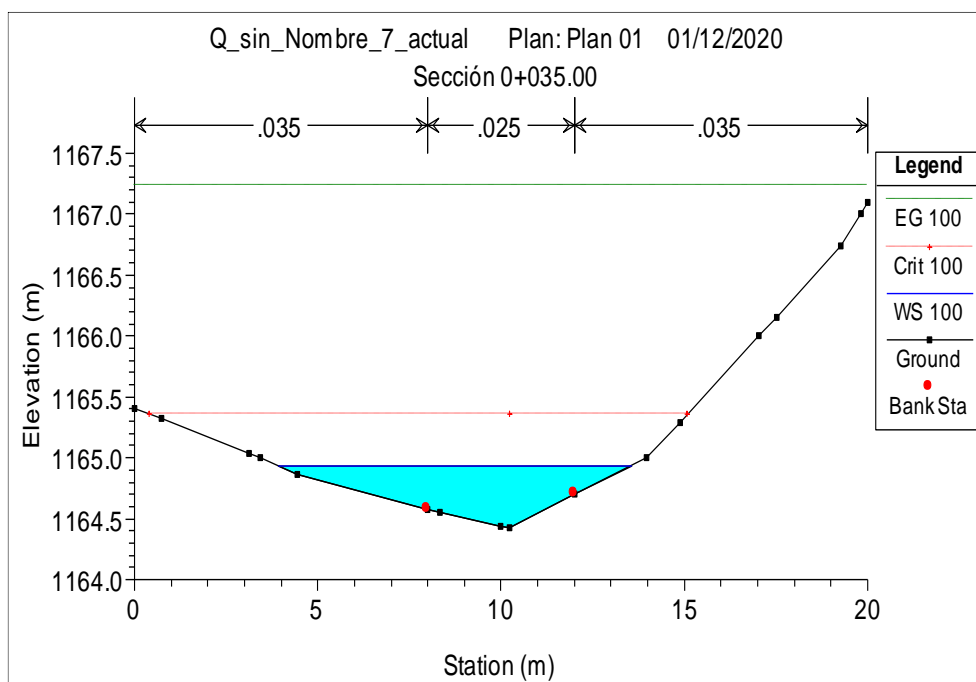


Figura 202. Sección 0+035.00, obtenida del programa HEC-RAS

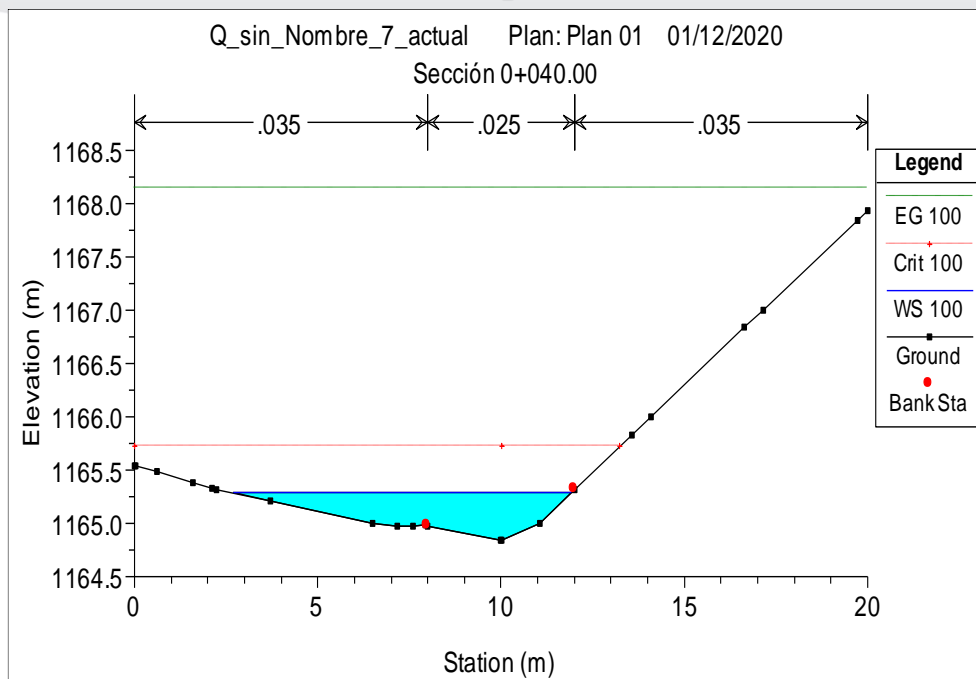


Figura 203. Sección 0+040.00, obtenida del programa HEC-RAS

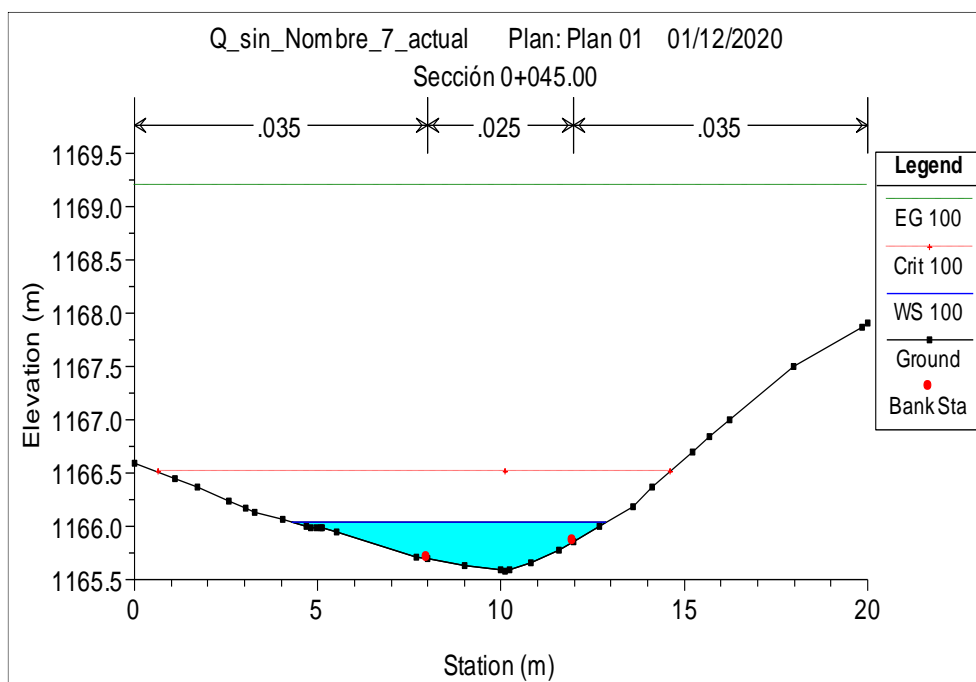


Figura 204. Sección 0+045.00, obtenida del programa HEC-RAS

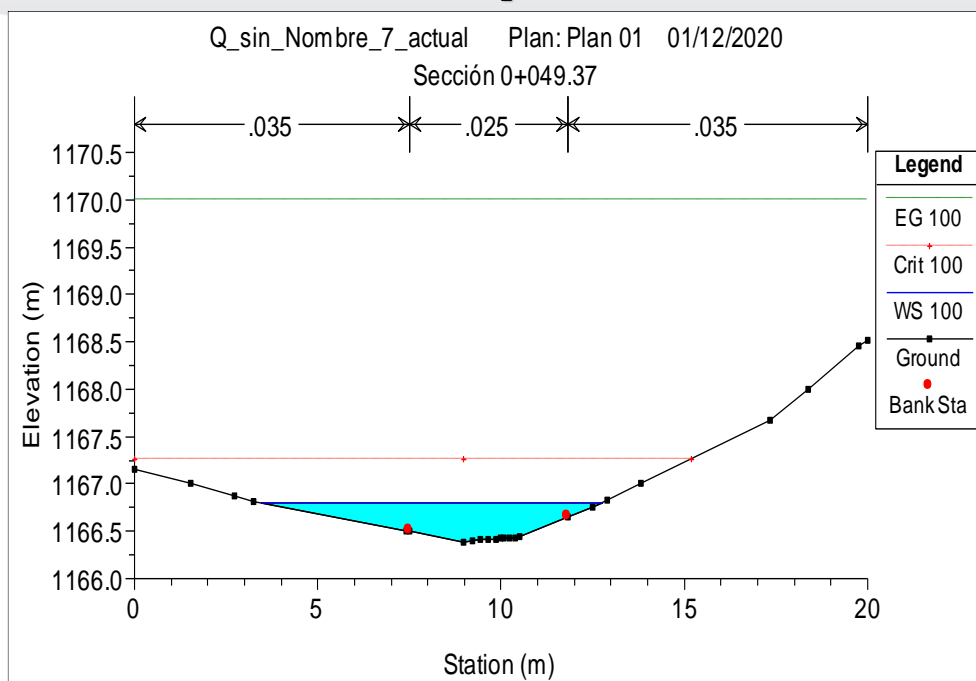


Figura 205. Sección 0+049.37, obtenida del programa HEC-RAS

SECCIONES TRANSVERSALES DE LA Q. SIN NOMBRE 7, CONDICIÓN A IMPLEMENTAR

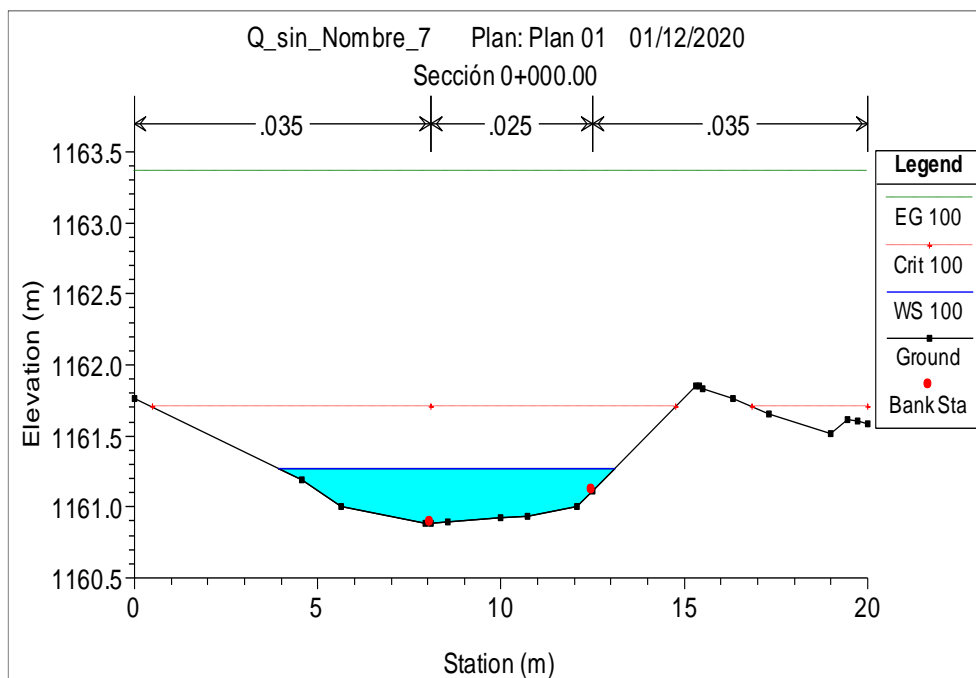


Figura 206. Sección 0+000, obtenida del programa HEC-RAS

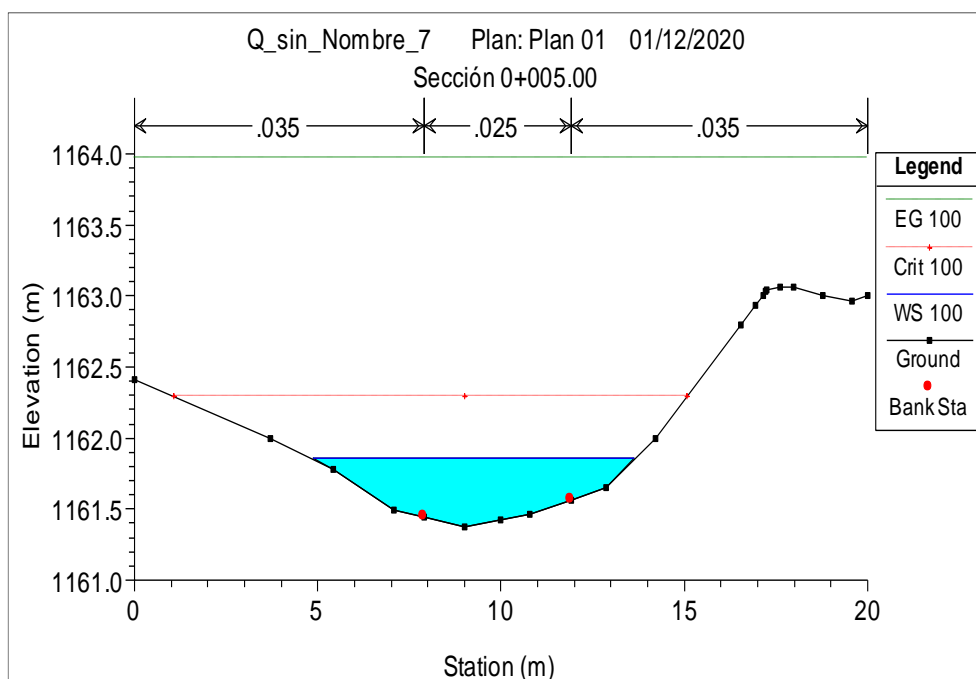


Figura 207. Sección 0+005, obtenida del programa HEC-RAS

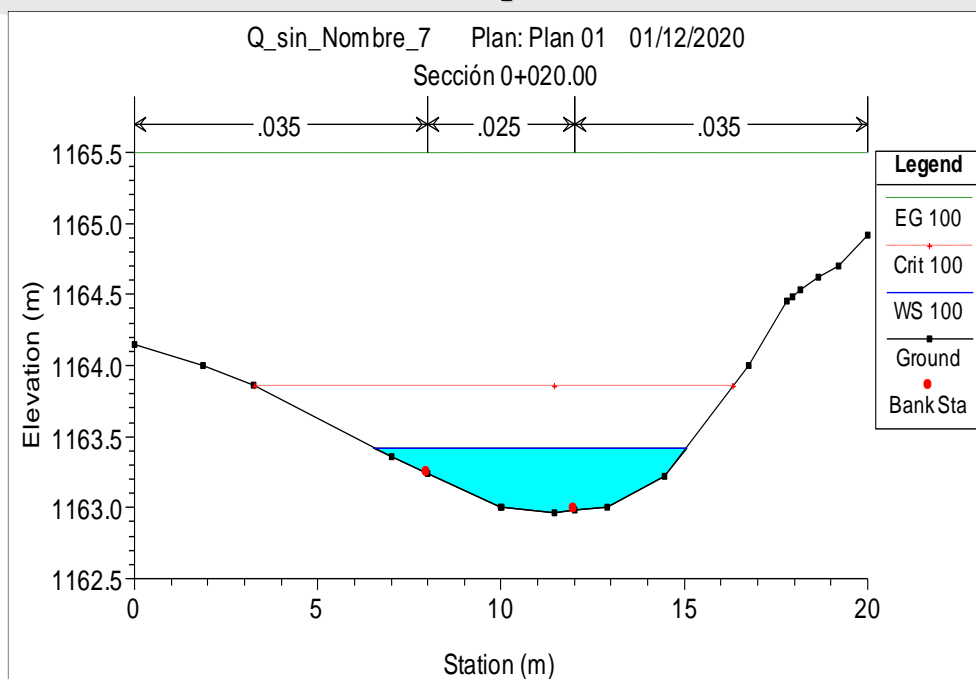


Figura 210. Sección 0+020.00, obtenida del programa HEC-RAS

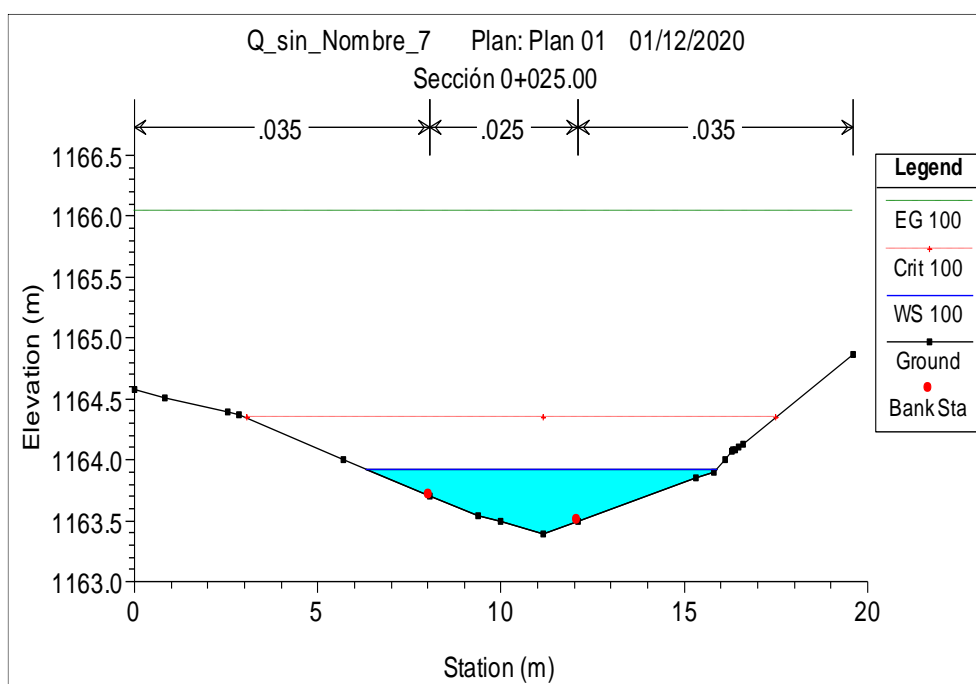


Figura 211. Sección 0+025.00, obtenida del programa HEC-RAS

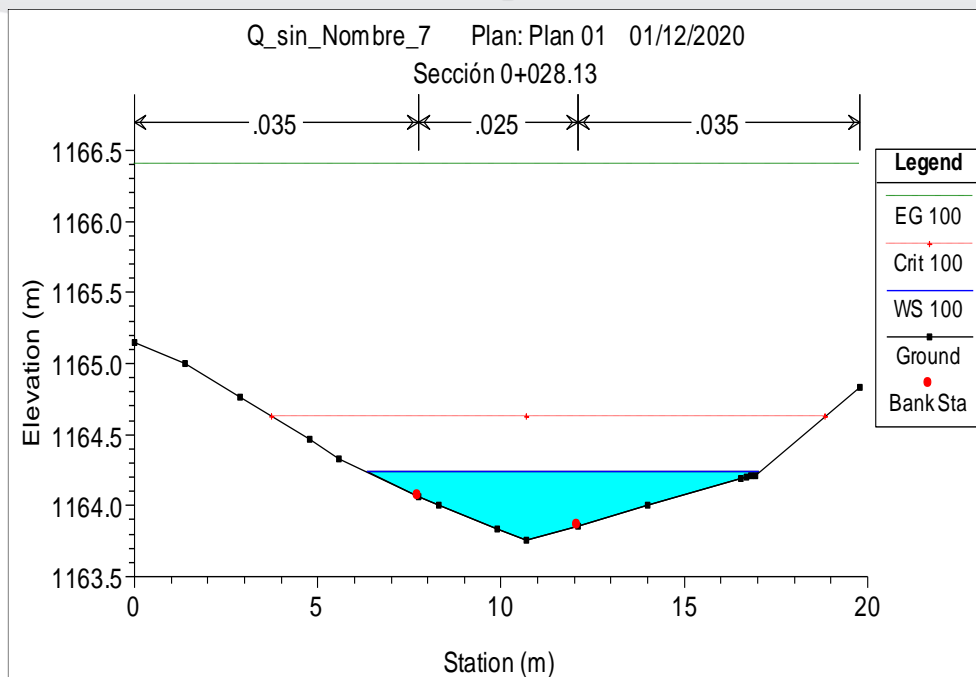


Figura 212. Sección 0+028.13, obtenida del programa HEC-RAS

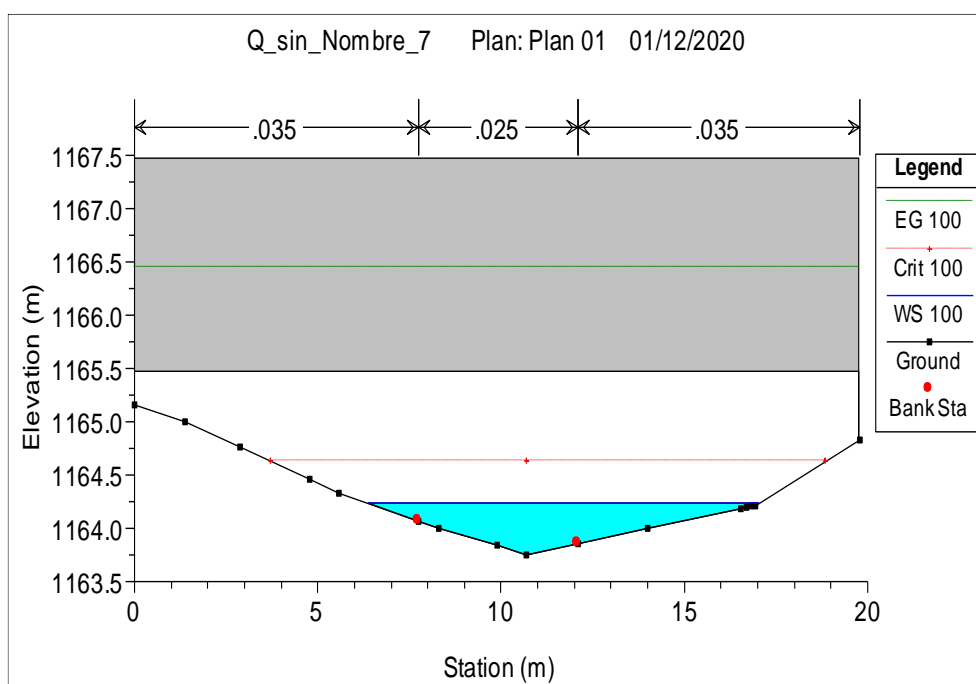


Figura 213. Sección 0+028.50 aguas debajo de la tubería, obtenida del programa HEC-RAS

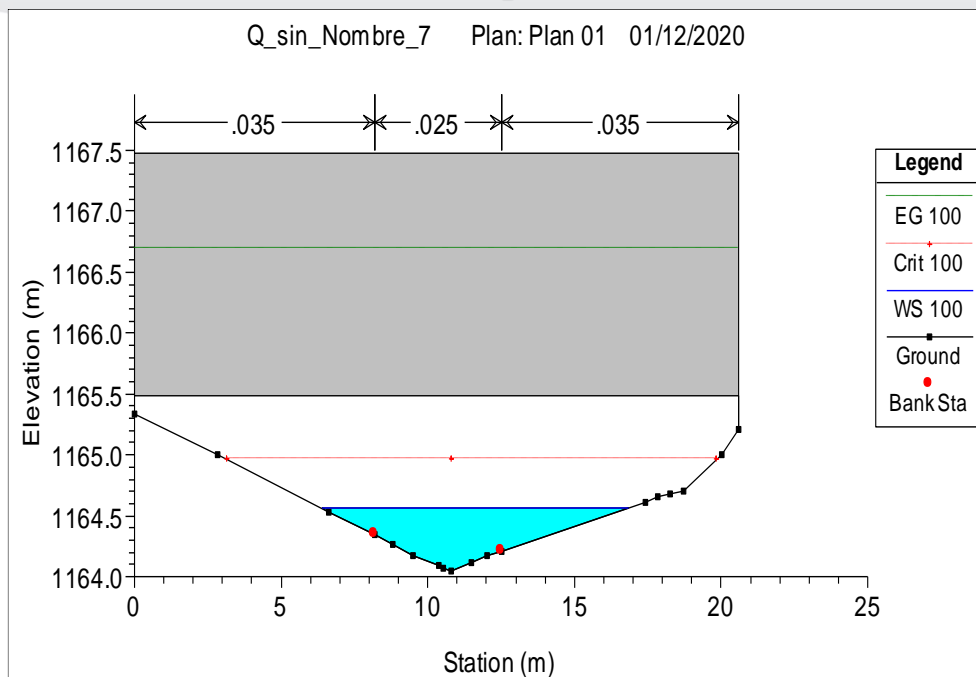


Figura 214. Sección 0+028.50 aguas arriba de la tubería, obtenida del programa HEC-RAS

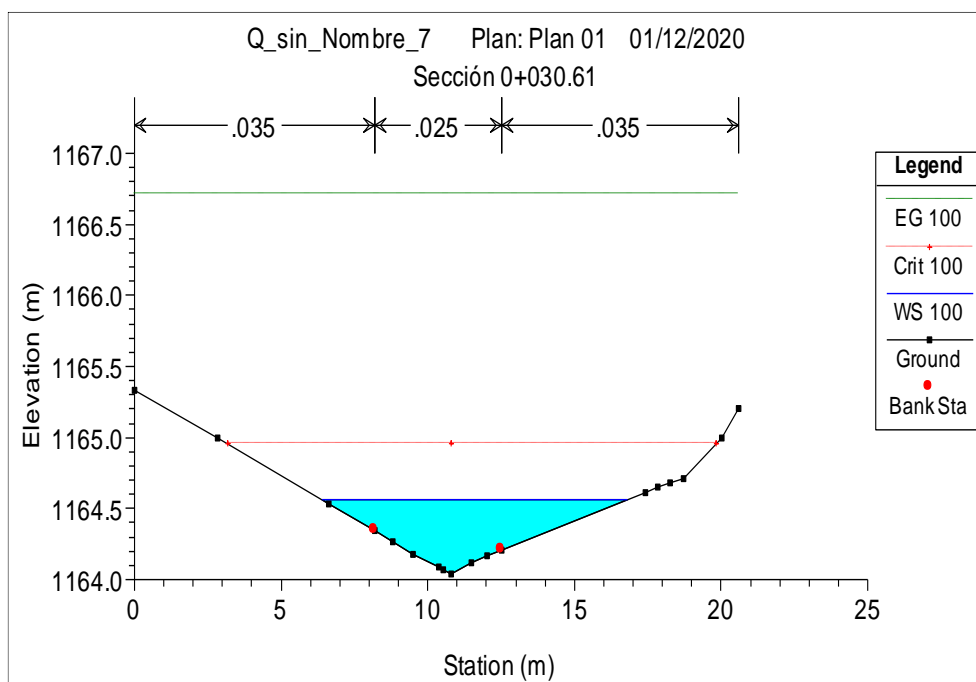


Figura 215. Sección 0+030.61, obtenida del programa HEC-RAS

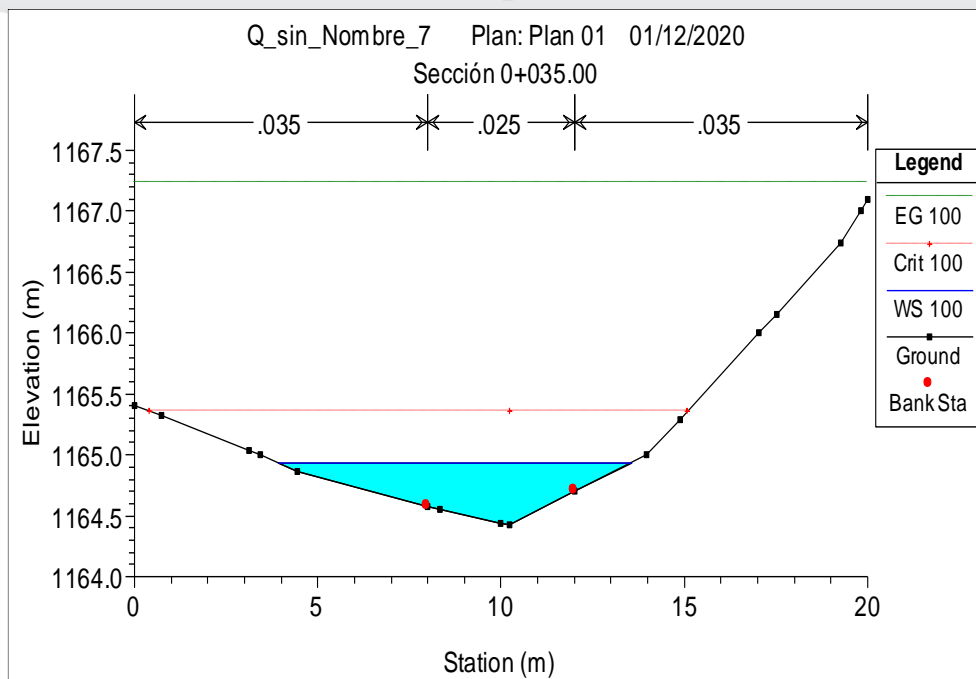


Figura 216. Sección 0+035.00, obtenida del programa HEC-RAS

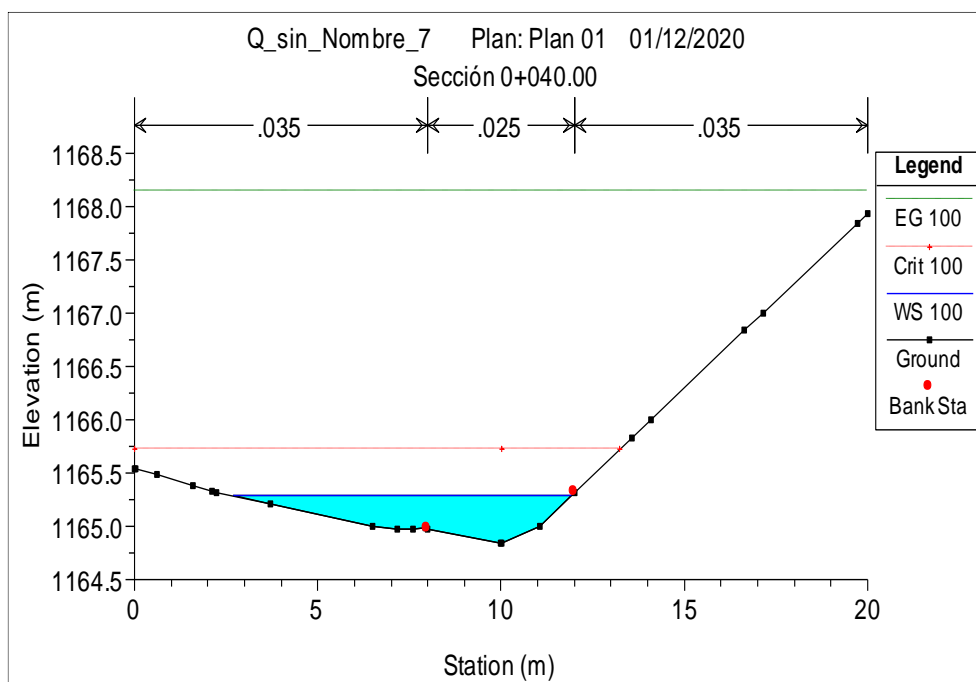


Figura 217. Sección 0+040.00, obtenida del programa HEC-RAS

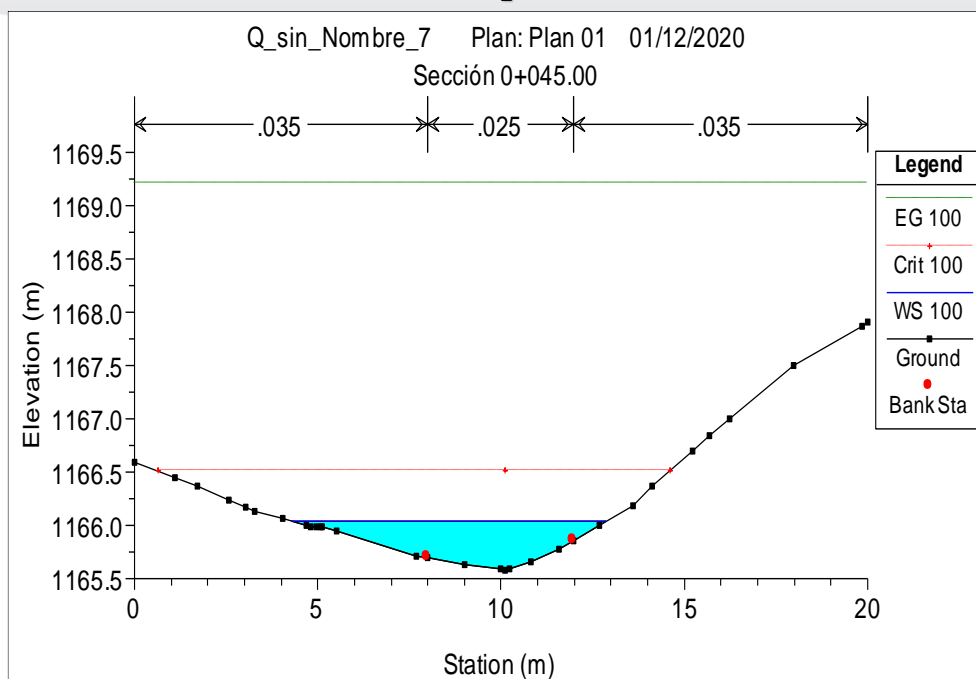


Figura 218. Sección 0+045.00, obtenida del programa HEC-RAS

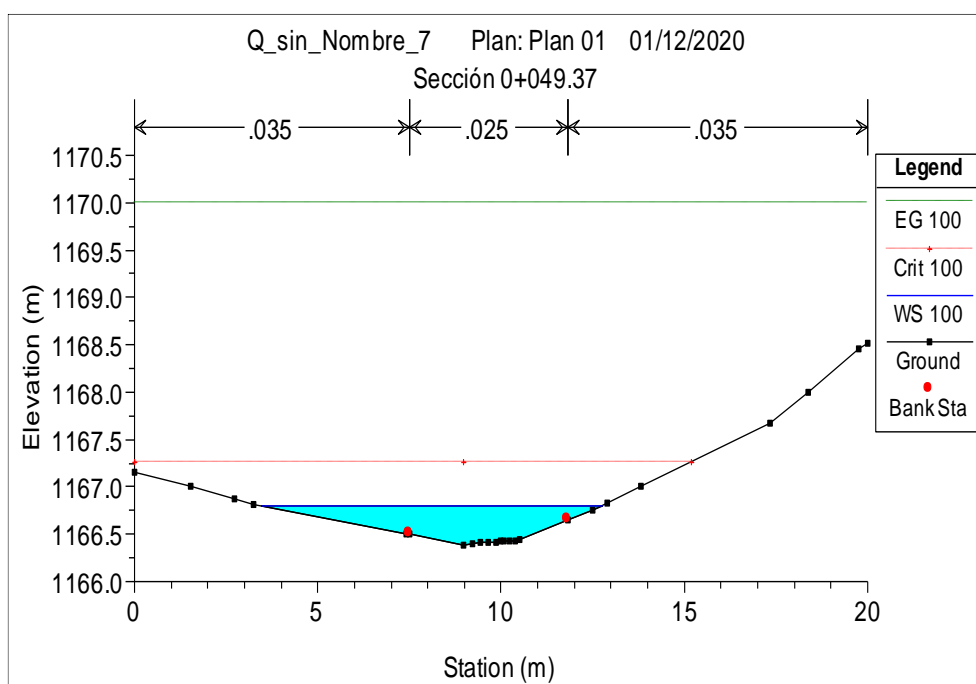


Figura 219. Sección 0+049.37, obtenida del programa HEC-RAS

SECCIONES TRANSVERSALES DE LA Q. SIN NOMBRE 8, CONDICIÓN ACTUAL

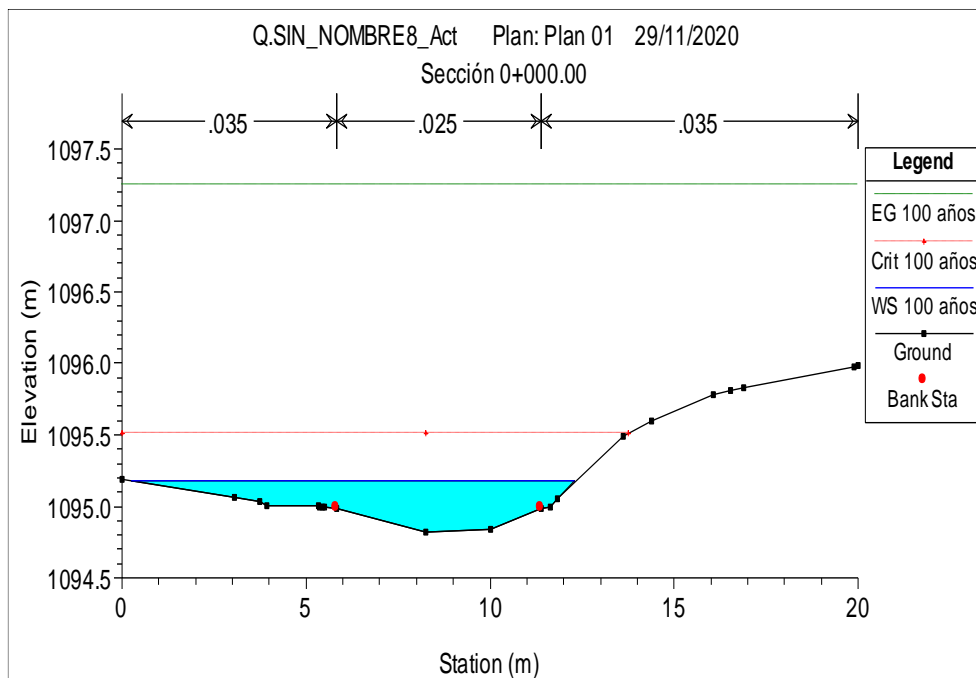


Figura 220. Sección 0+000, obtenida del programa HEC-RAS

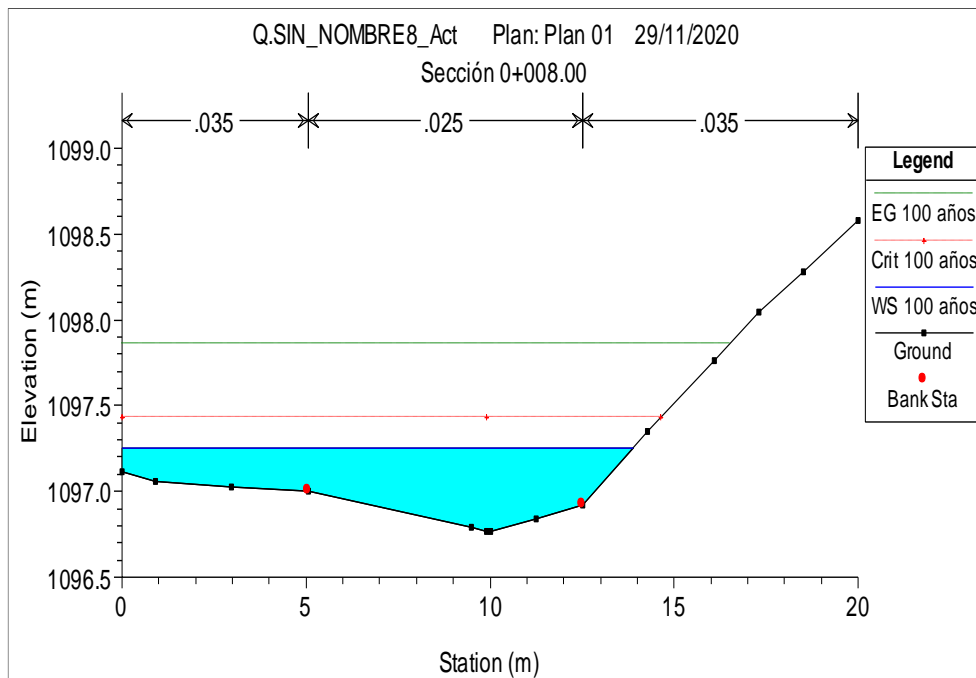


Figura 221. Sección 0+008.00, obtenida del programa HEC-RAS

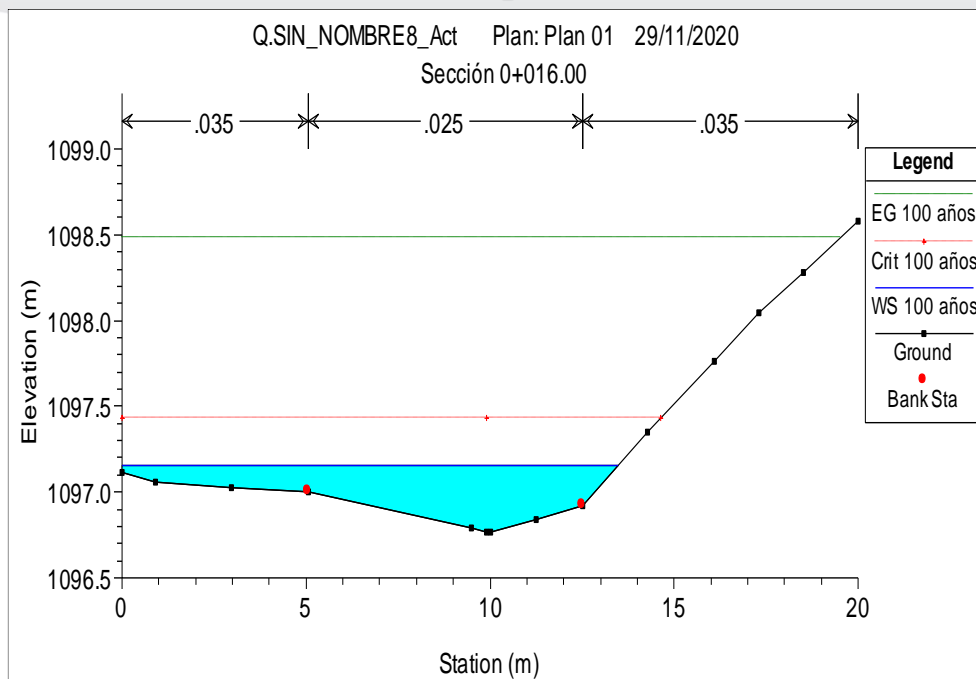


Figura 222. Sección 0+016.00, obtenida del programa HEC-RAS

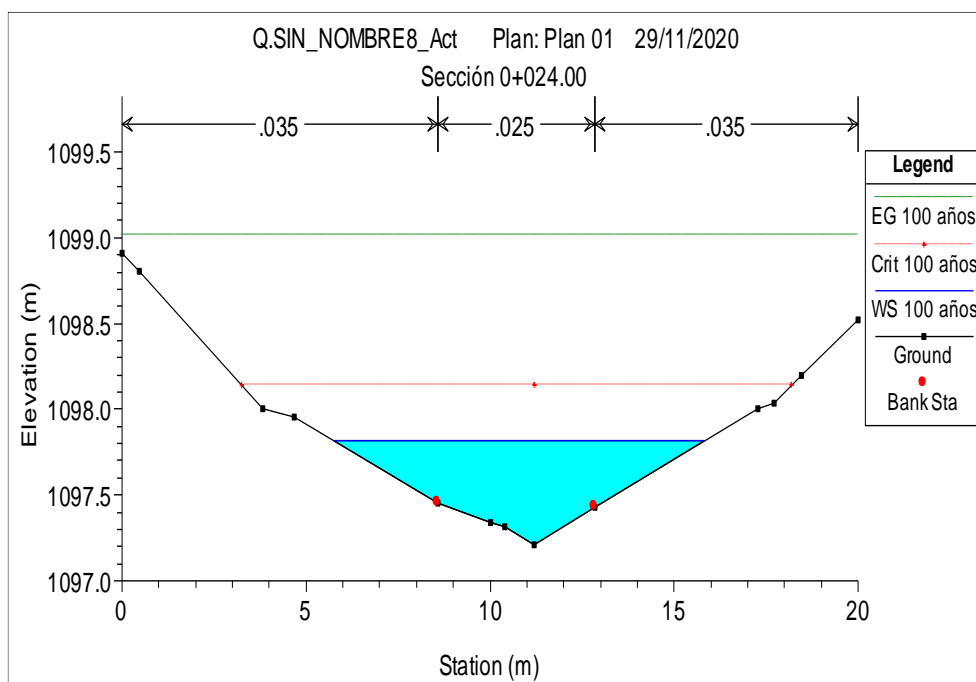


Figura 223. Sección 0+024, obtenida del programa HEC-RAS

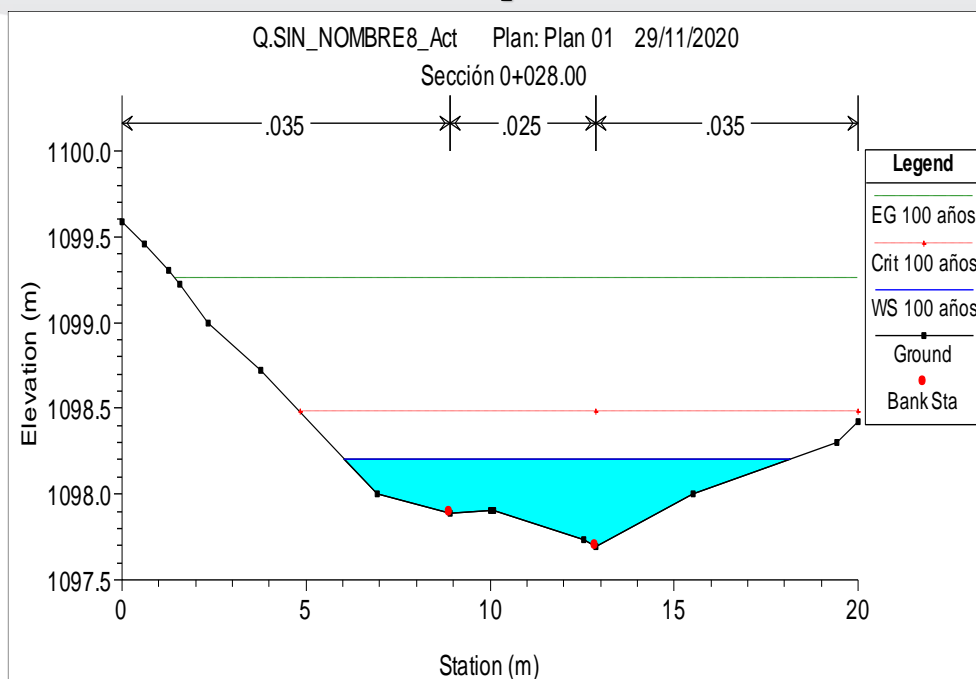


Figura 224. Sección 0+028.00, obtenida del programa HEC-RAS

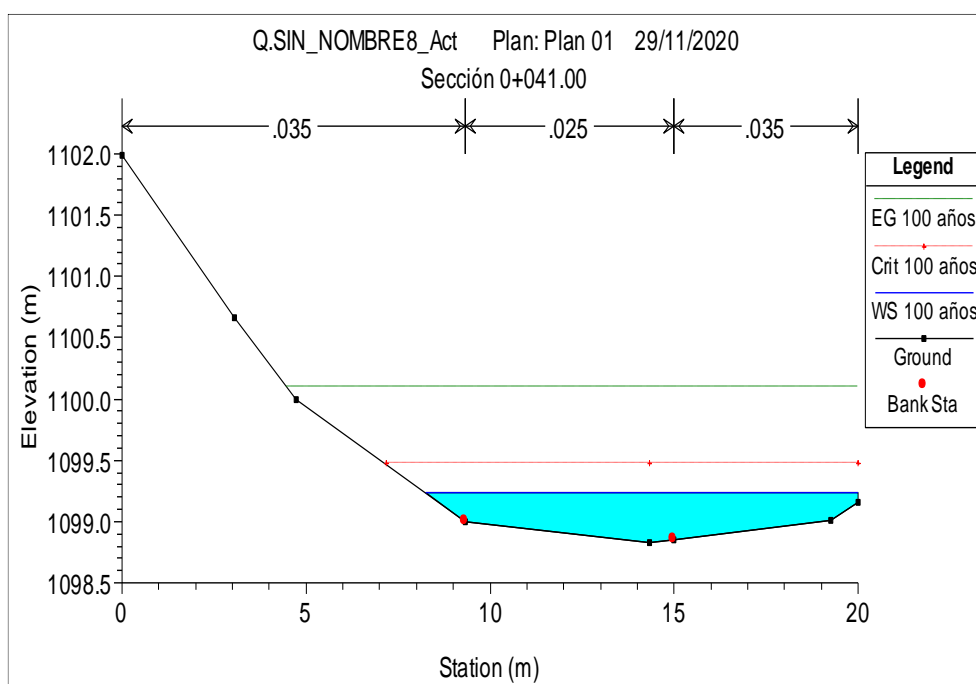


Figura 225. Sección 0+041.00, obtenida del programa HEC-RAS

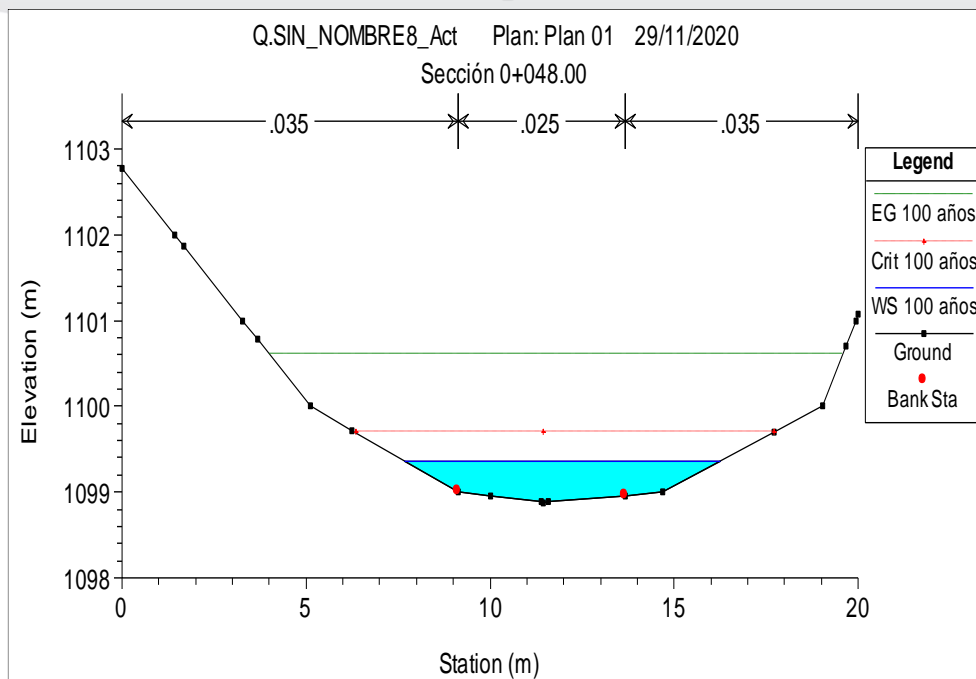


Figura 226. Sección 0+048.00, obtenida del programa HEC-RAS

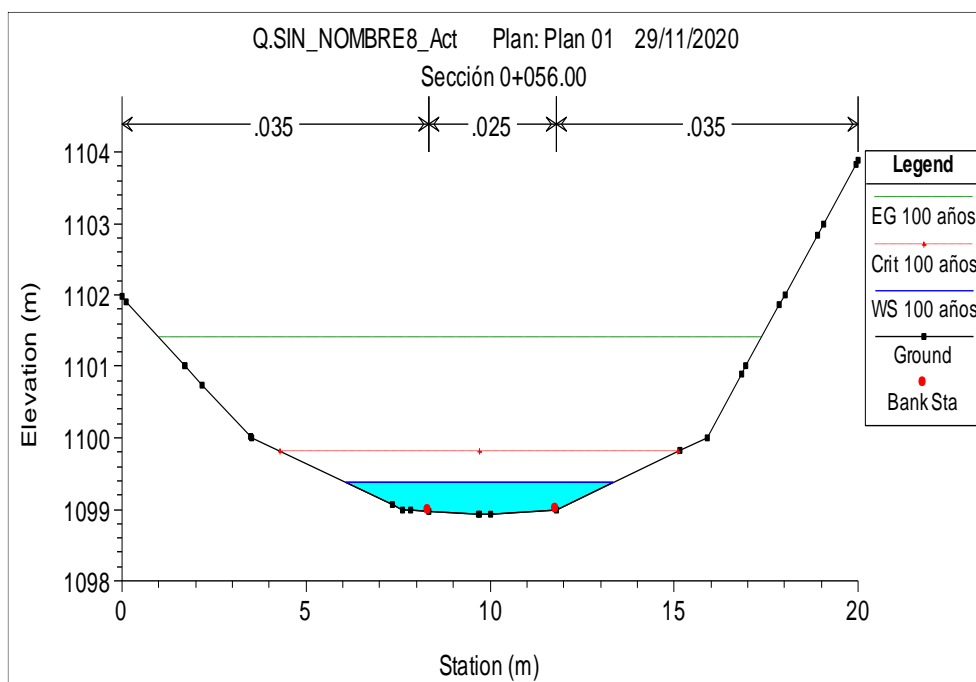


Figura 227. Sección 0+056.00, obtenida del programa HEC-RAS

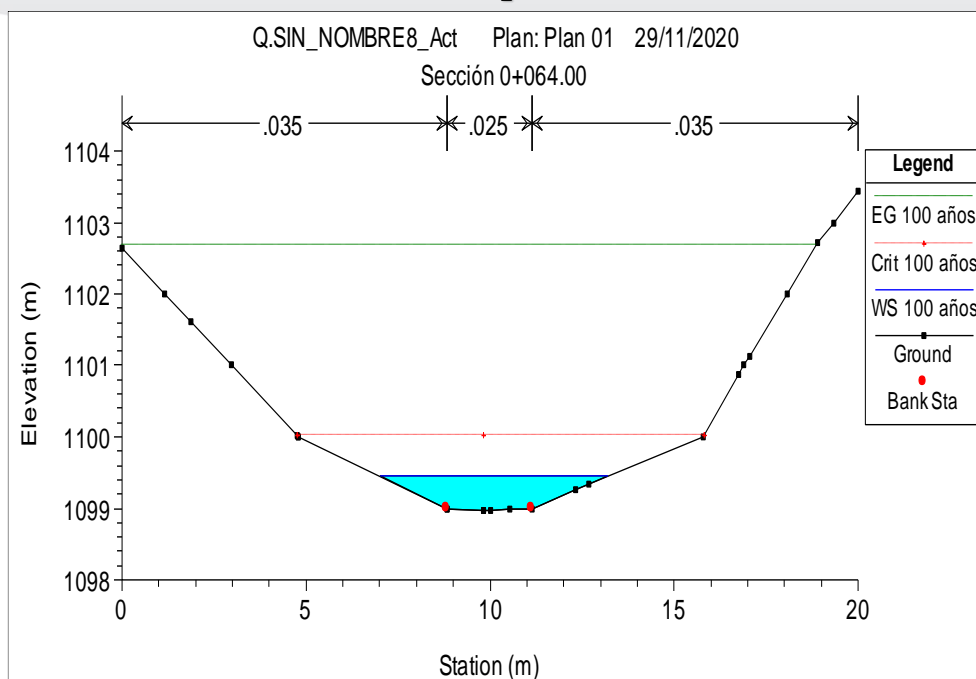


Figura 228. Sección 0+064.00, obtenida del programa HEC-RAS

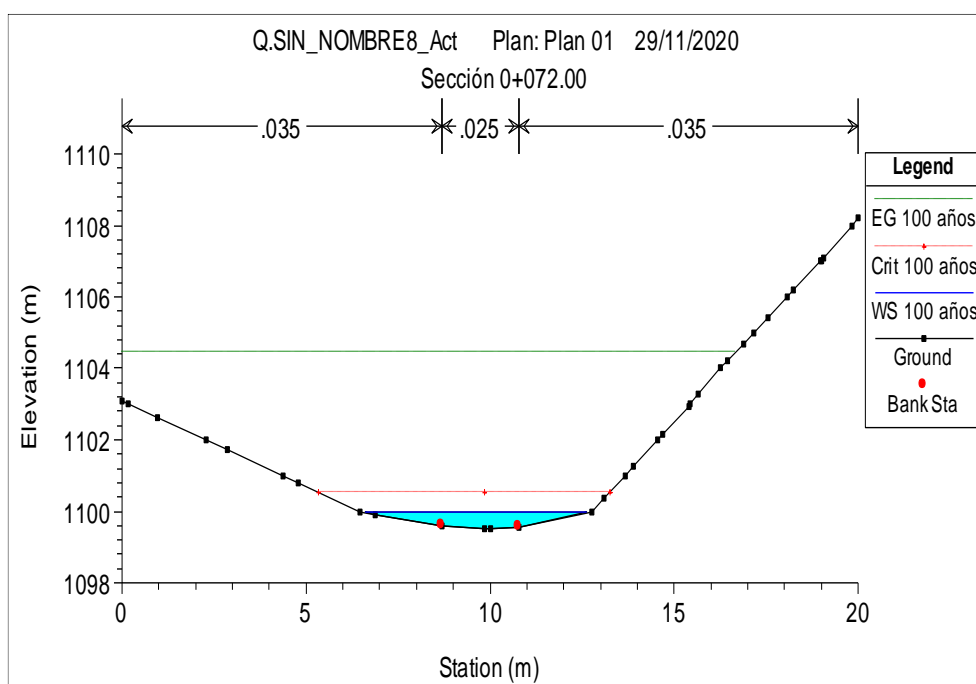


Figura 229. Sección 0+072.00, obtenida del programa HEC-RAS

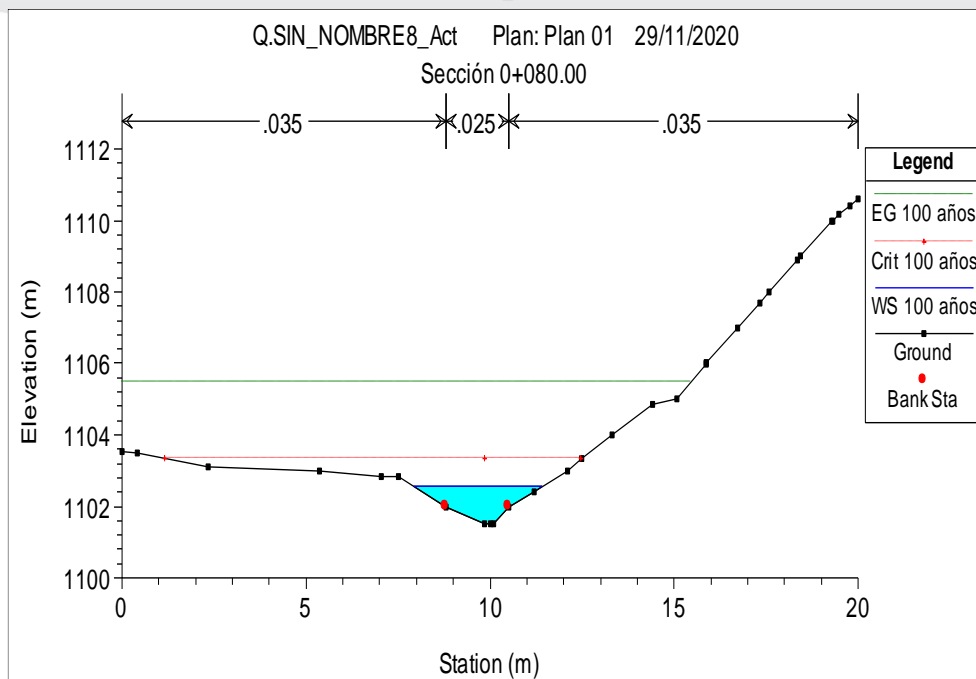


Figura 230. Sección 0+080.00, obtenida del programa HEC-RAS

SECCIONES TRANSVERSALES DE LA Q. SIN NOMBRE 8, CONDICIÓN A IMPLEMENTAR

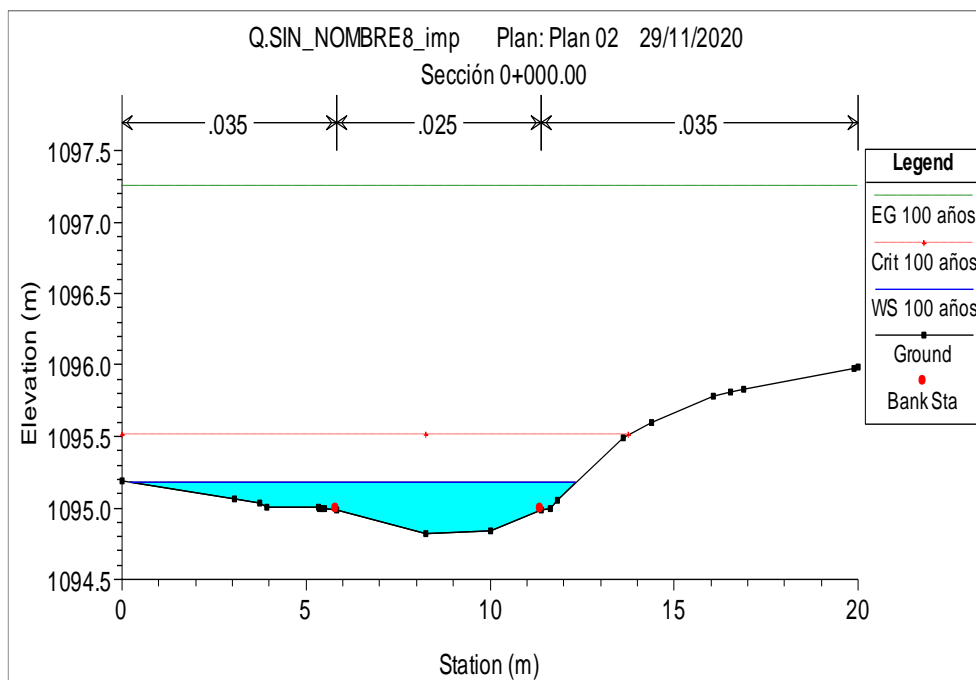


Figura 231. Sección 0+000, obtenida del programa HEC-RAS

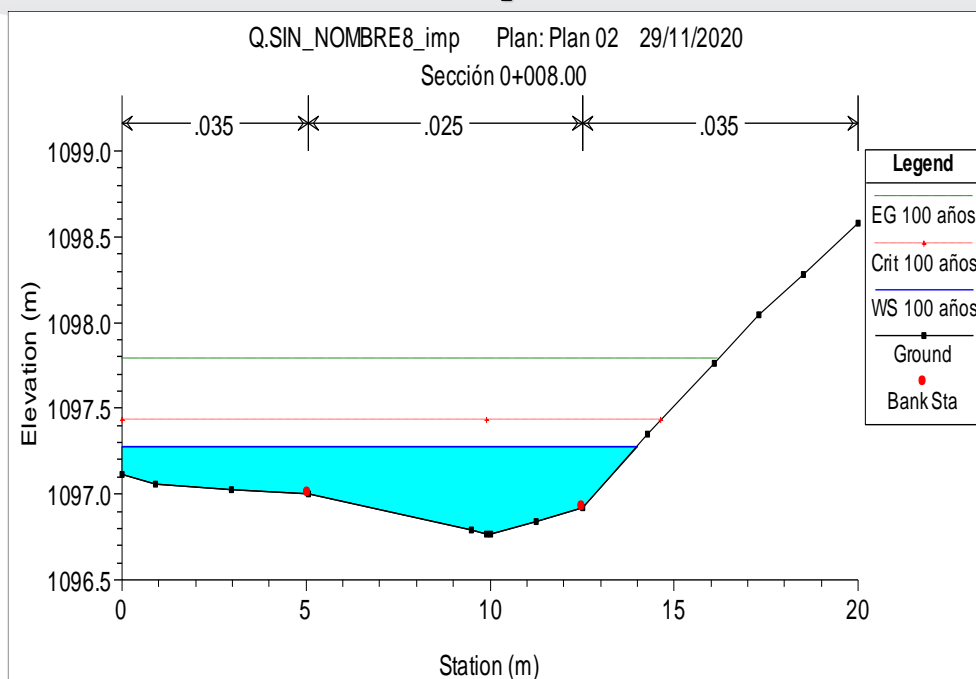


Figura 232. Sección 0+008.00, obtenida del programa HEC-RAS

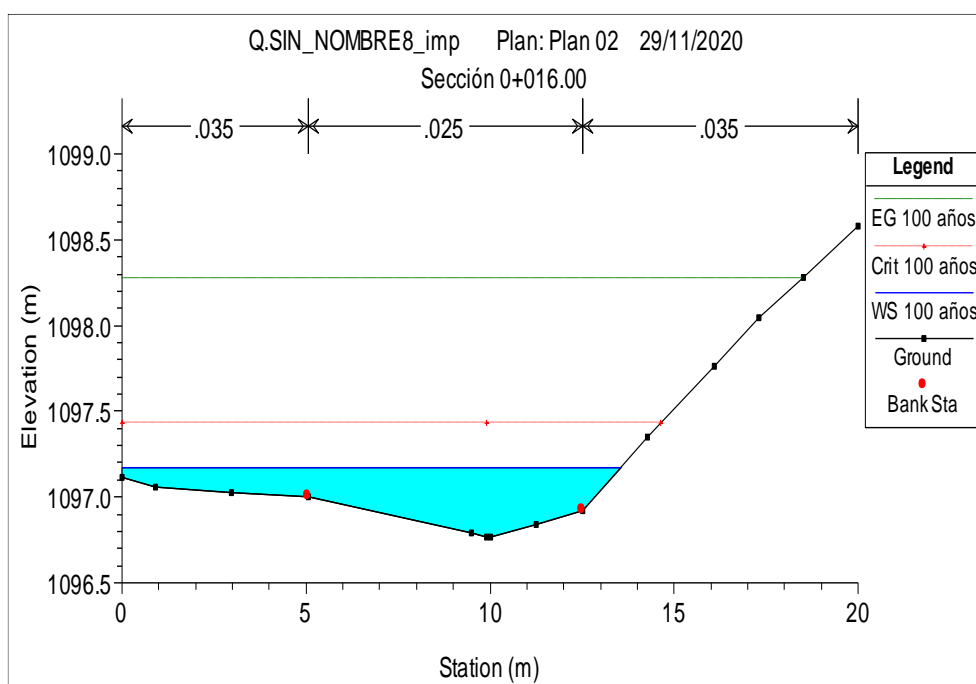


Figura 233. Sección 0+016.00, obtenida del programa HEC-RAS

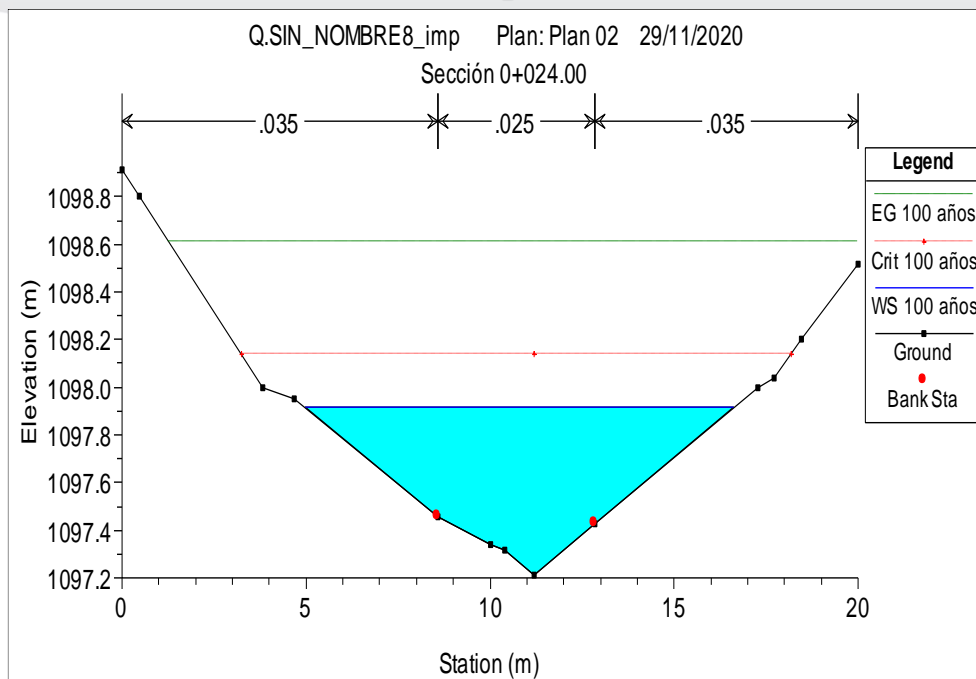


Figura 234. Sección 0+024.00, obtenida del programa HEC-RAS

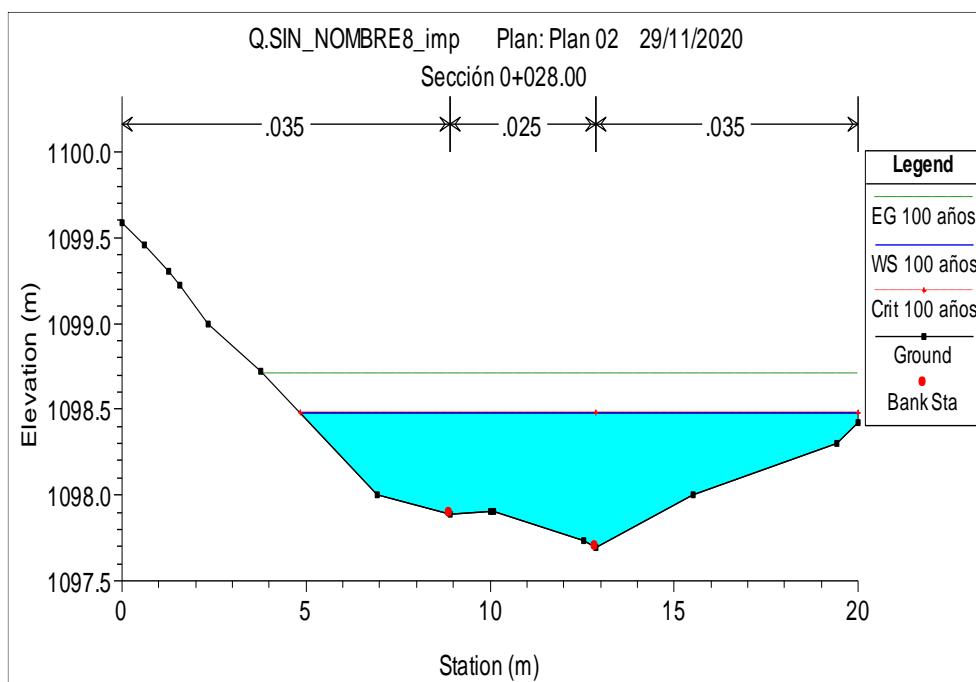


Figura 235. Sección 0+028.00, obtenida del programa HEC-RAS

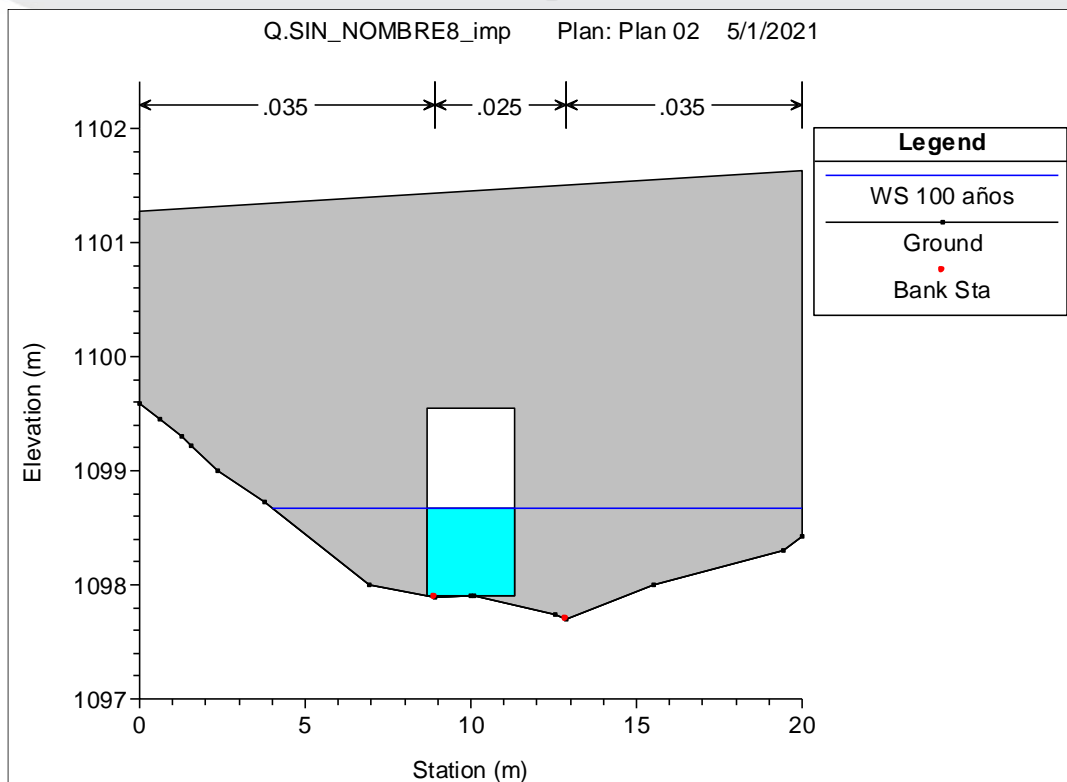


Figura 236. Sección 0+028.00 Culv D (aguas abajo del box culvert), obtenida del programa HEC-RAS

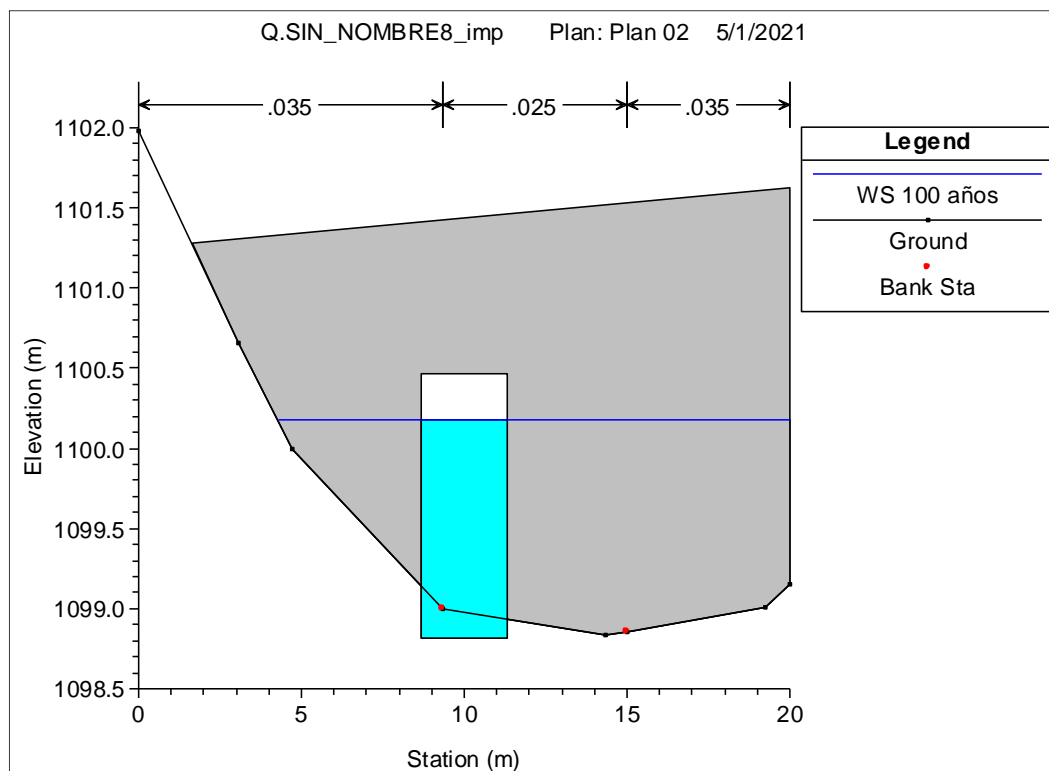


Figura 237. Sección 0+028.00 Culv U (aguas arriba del box culvert), obtenida del programa HEC-RAS

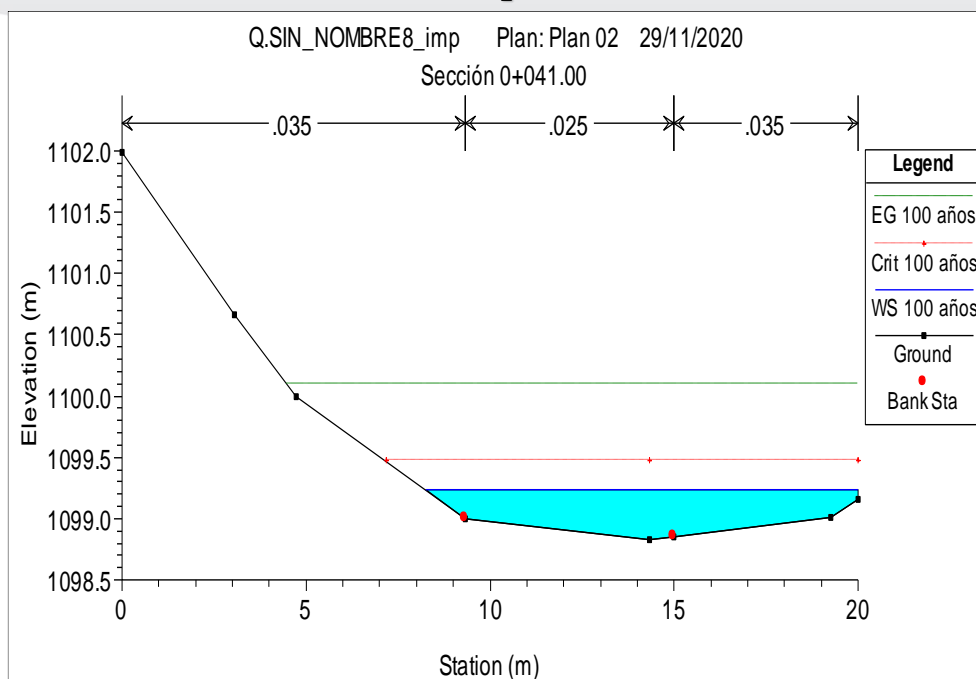


Figura 238. Sección 0+041.00, obtenida del programa HEC-RAS

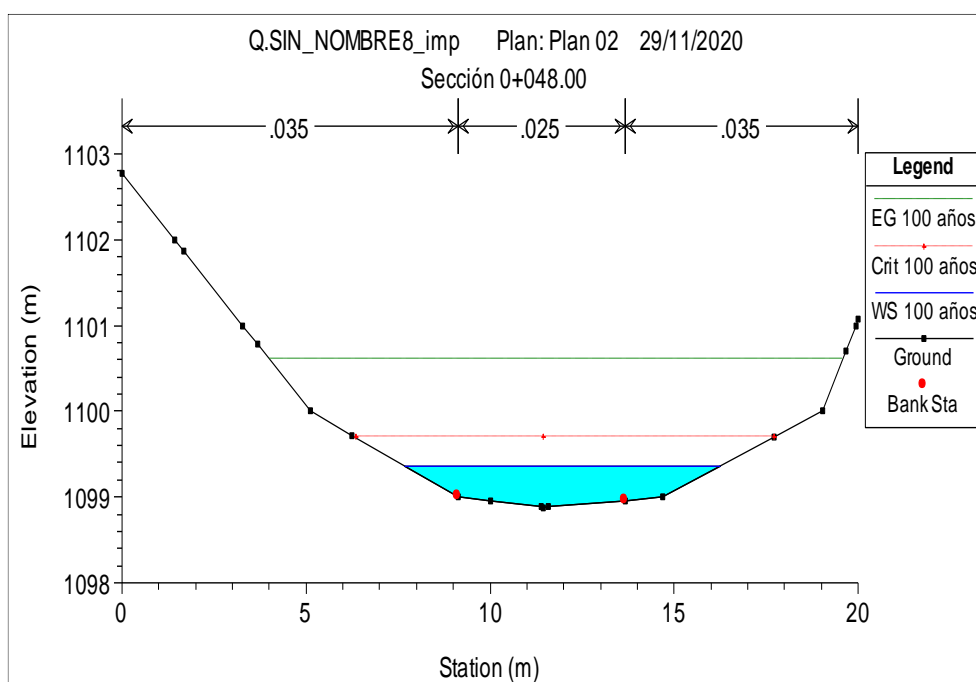


Figura 239. Sección 0+048.00, obtenida del programa HEC-RAS

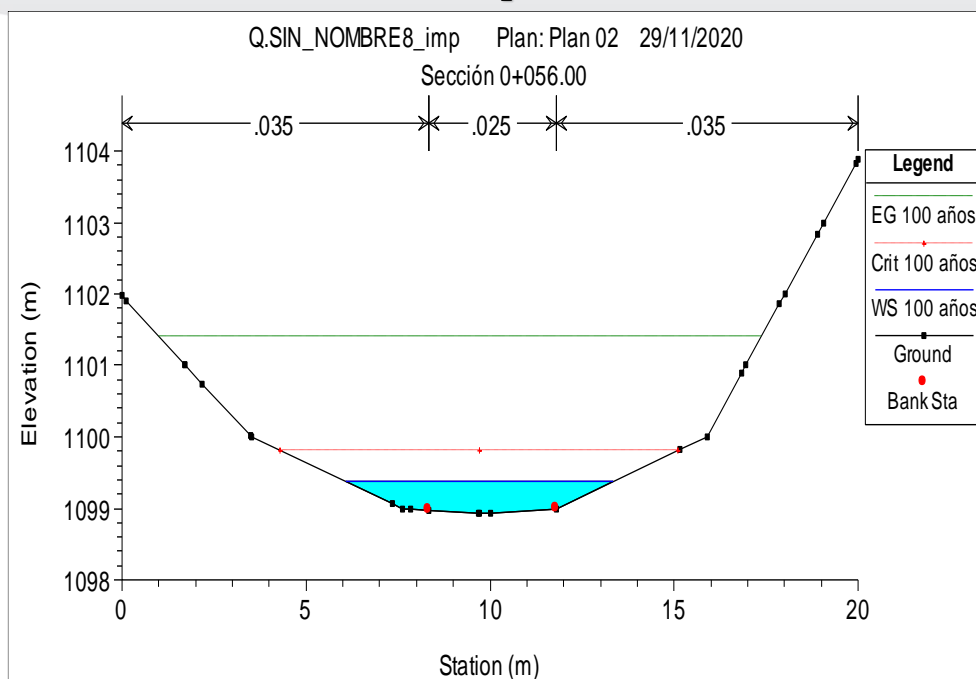


Figura 240. Sección 0+056.00, obtenida del programa HEC-RAS

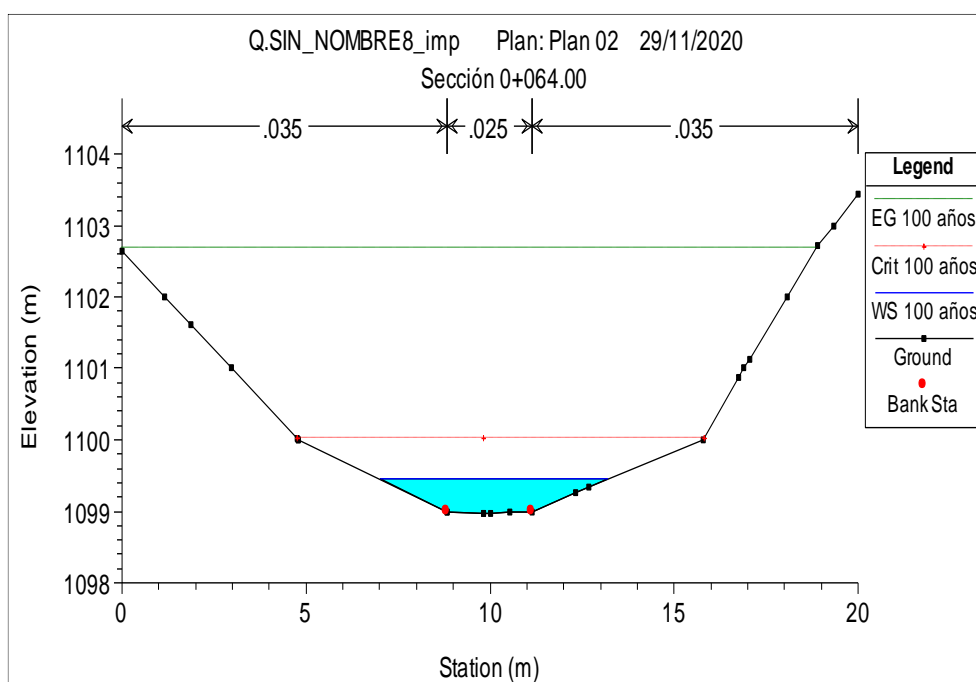


Figura 241. Sección 0+064.00, obtenida del programa HEC-RAS

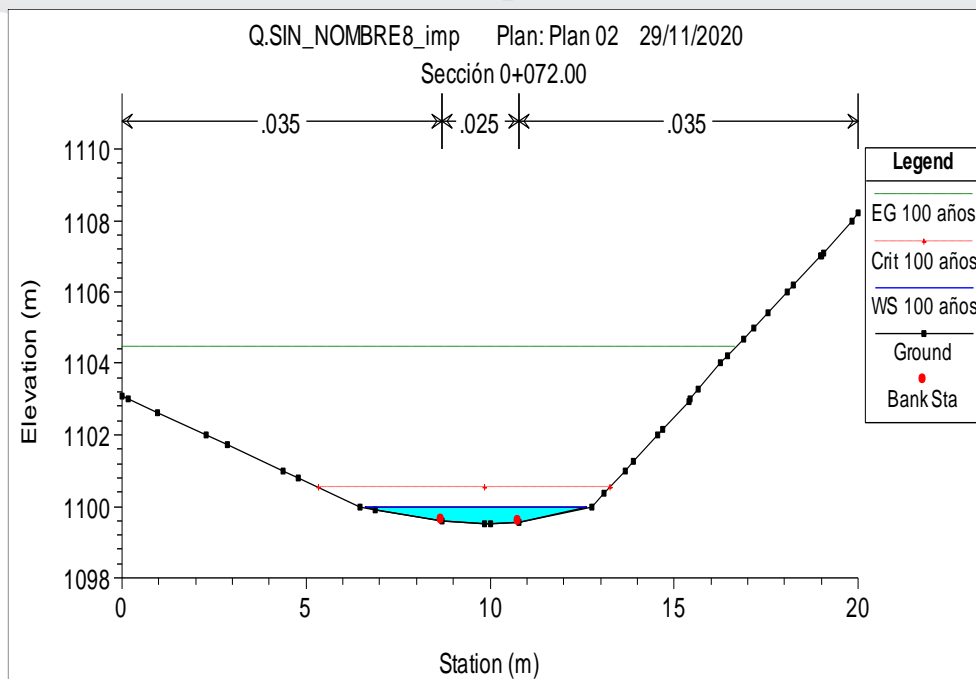


Figura 242. Sección 0+072.00, obtenida del programa HEC-RAS

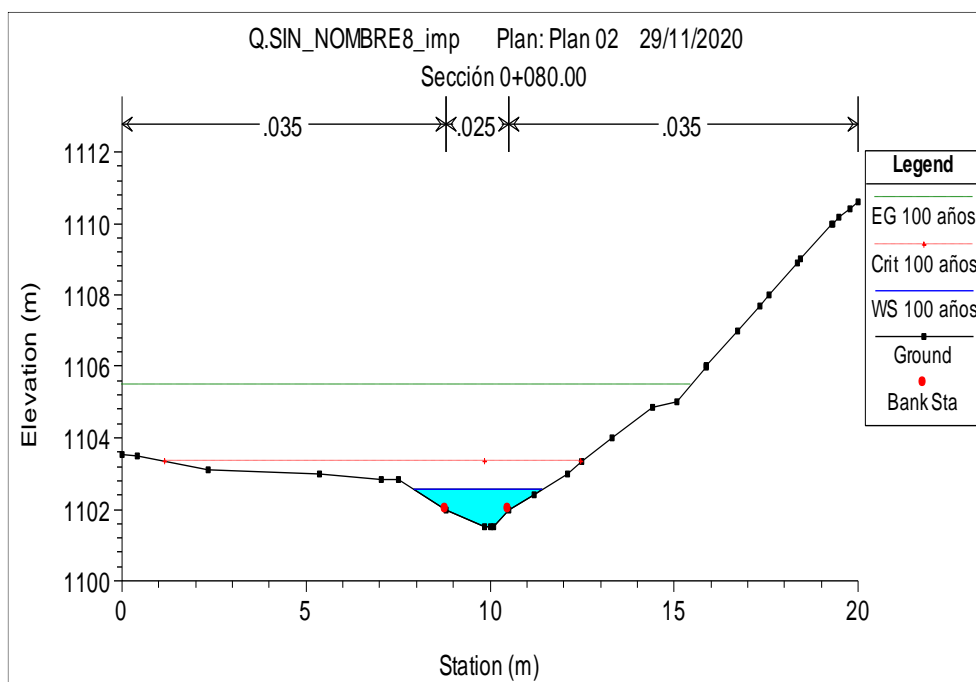


Figura 243. Sección 0+080.00, obtenida del programa HEC-RAS

SECCIONES TRANSVERSALES DE LA Q. VÍA CASA DE MÁQUINAS, CONDICIÓN ACTUAL

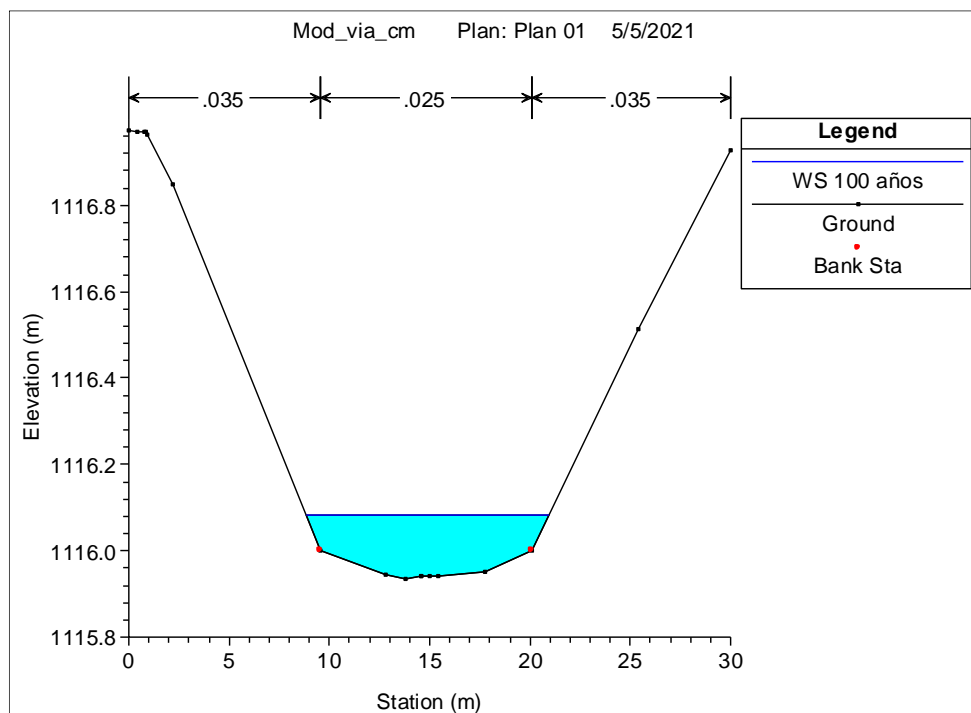


Figura 244. Sección 0+010.00, obtenida del programa HEC-RAS

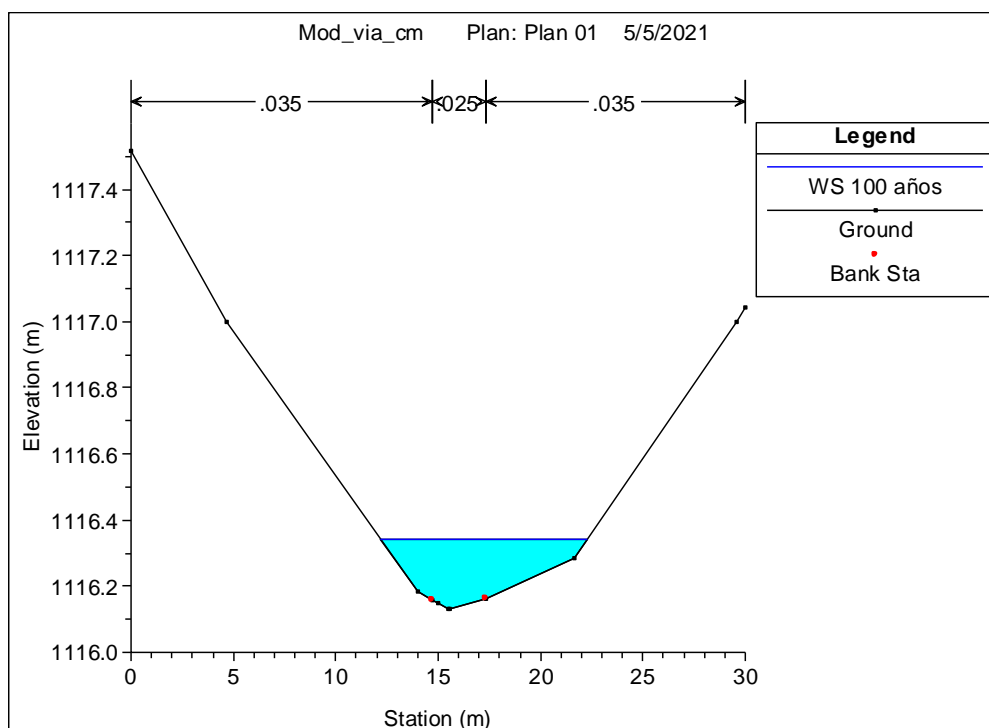


Figura 245. Sección 0+020.00, obtenida del programa HEC-RAS

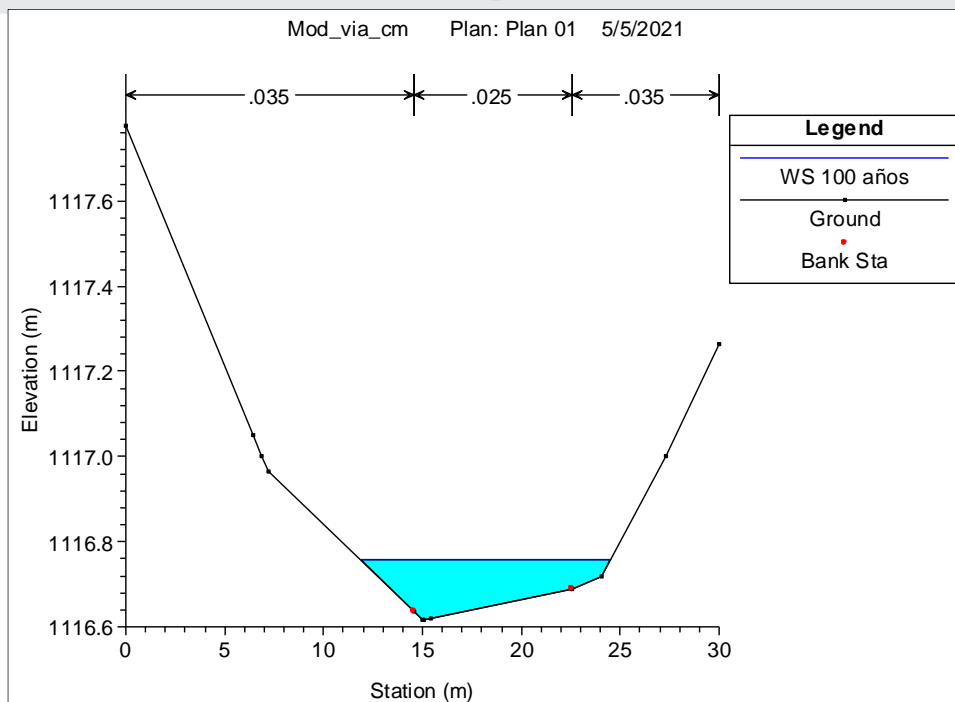


Figura 246. Sección 0+30.00, obtenida del programa HEC-RAS

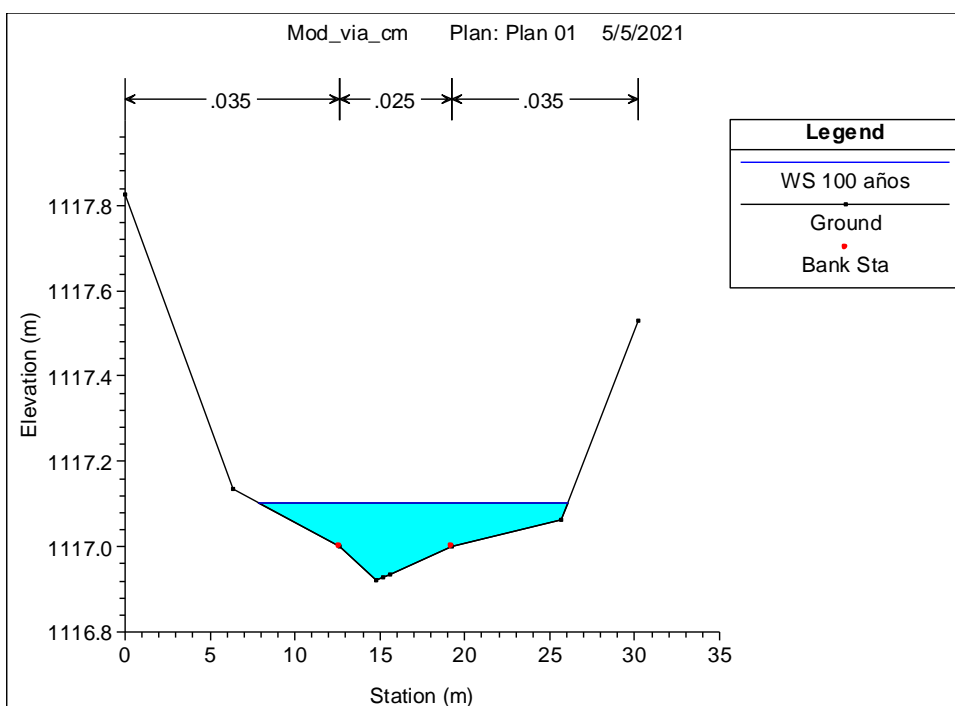


Figura 247. Sección 0+36.27, obtenida del programa HEC-RAS

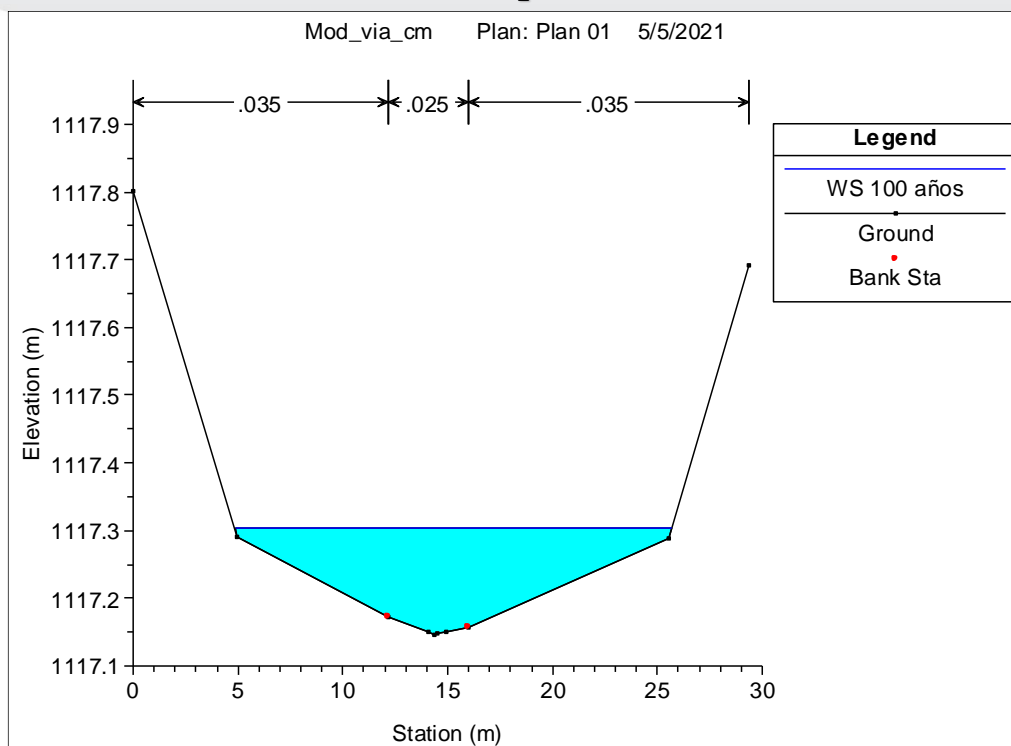


Figura 248. Sección 0+042.79, obtenida del programa HEC-RAS

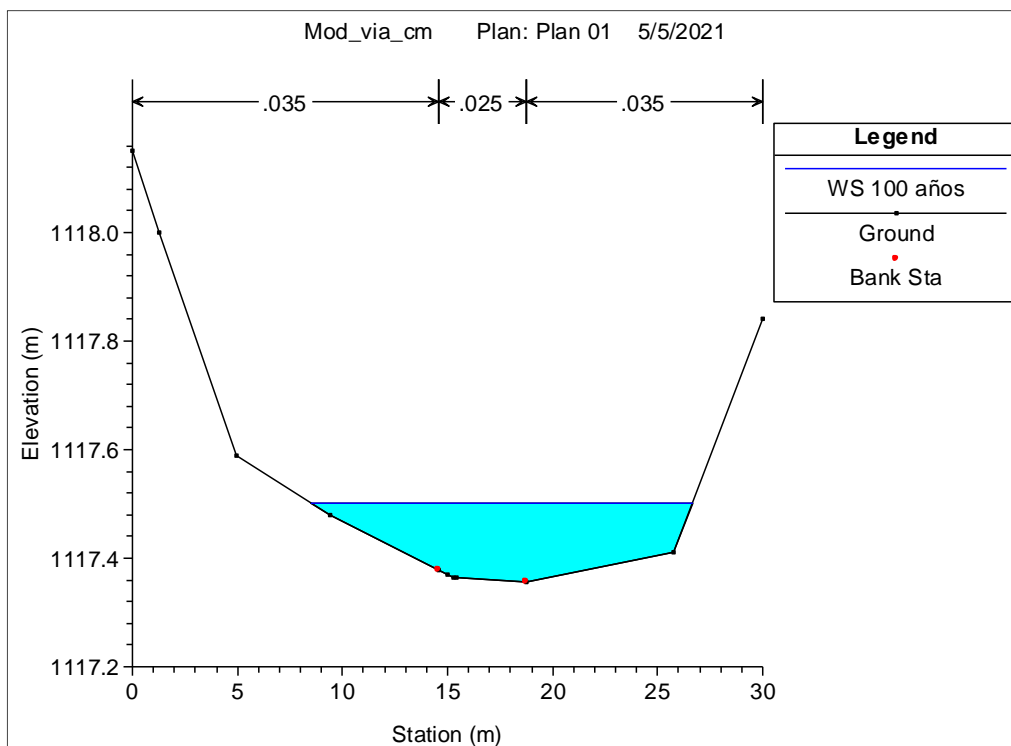


Figura 249. Sección 0+050.00, obtenida del programa HEC-RAS

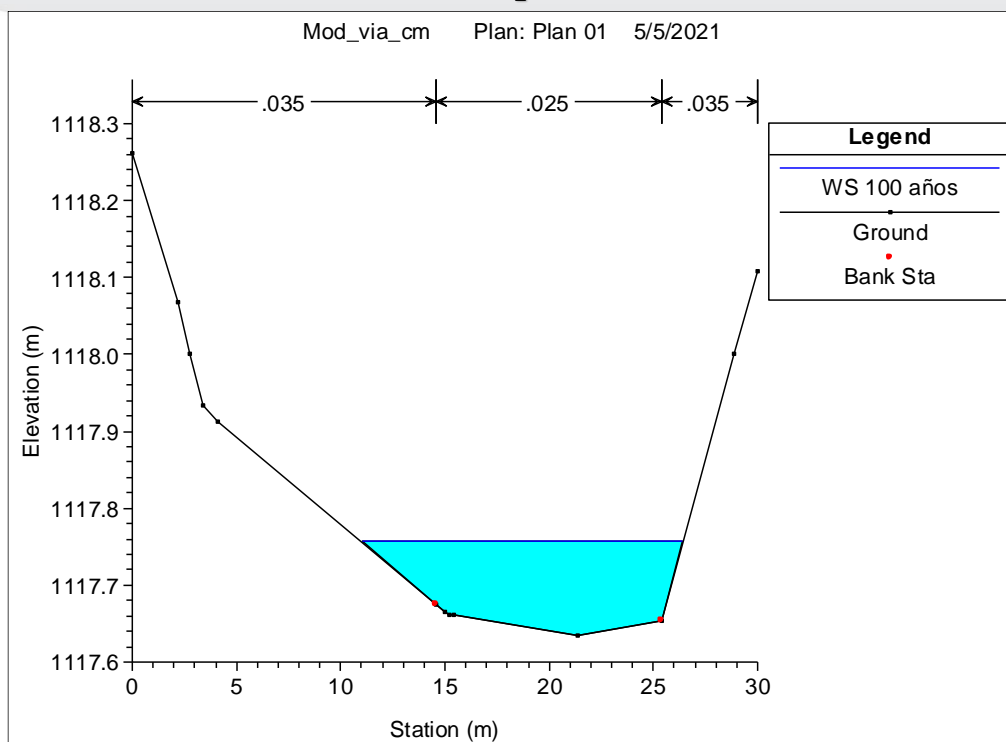


Figura 250. Sección 0+060.00, obtenida del programa HEC-RAS

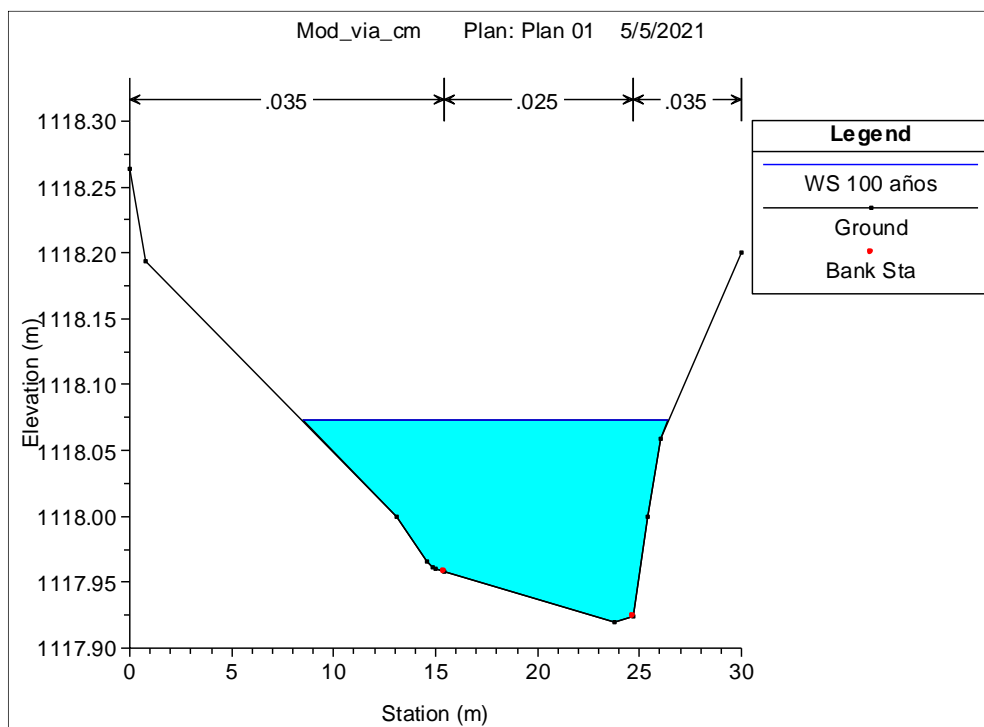


Figura 251. Sección 0+070.00, obtenida del programa HEC-RAS

**SECCIONES TRANSVERSALES DE LA Q. VÍA CASA DE MÁQUINAS, CONDICIÓN
A IMPLEMENTAR**

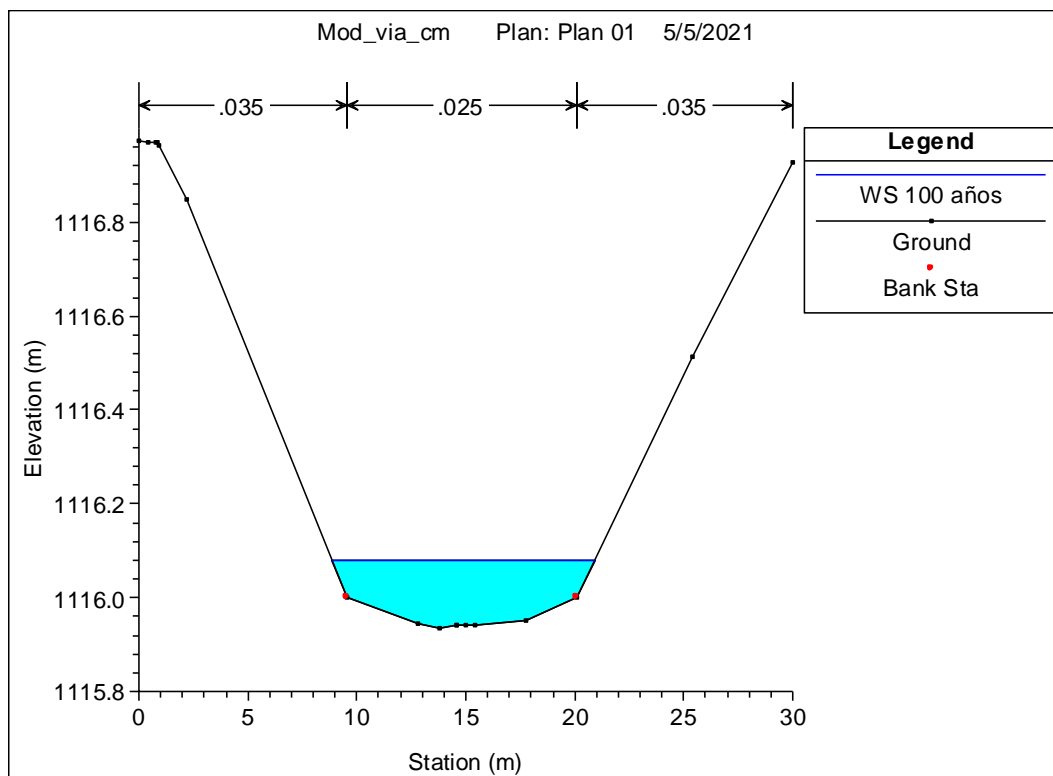


Figura 252. Sección 0+010.00, obtenida del programa HEC-RAS

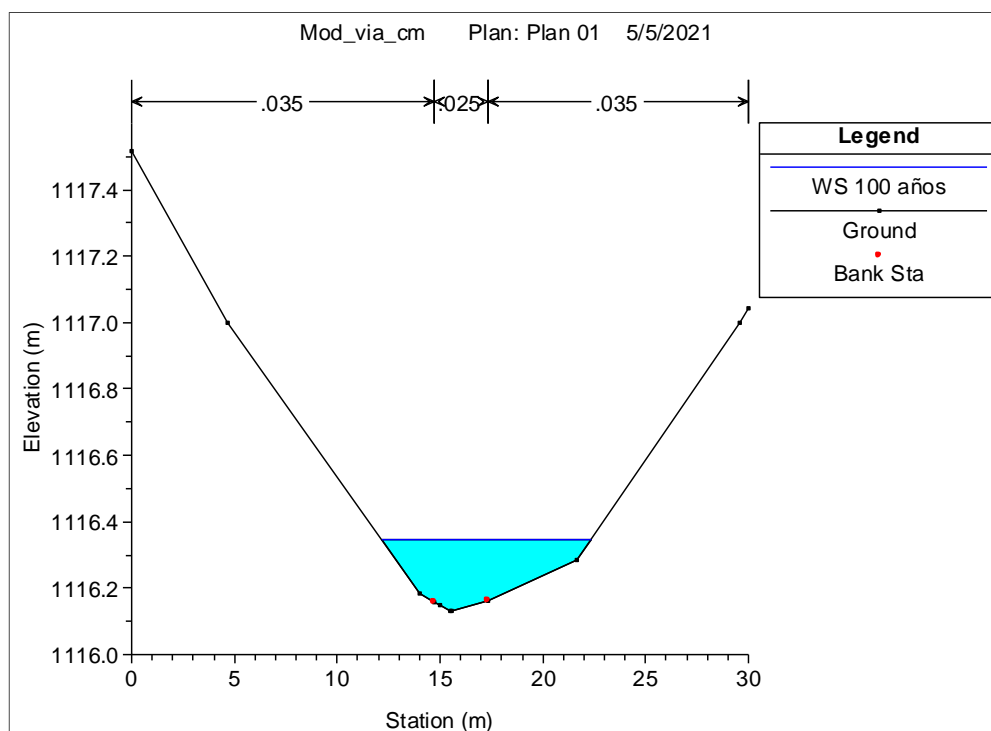


Figura 253. Sección 0+020.00, obtenida del programa HEC-RAS

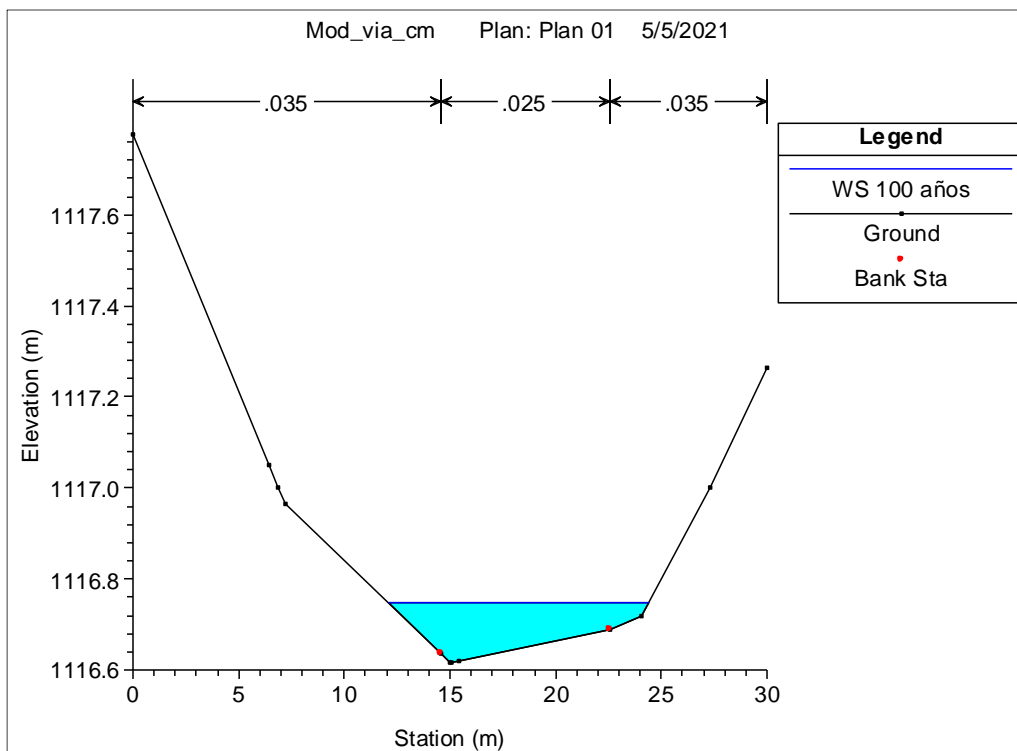


Figura 254. Sección 0+030.00, obtenida del programa HEC-RAS

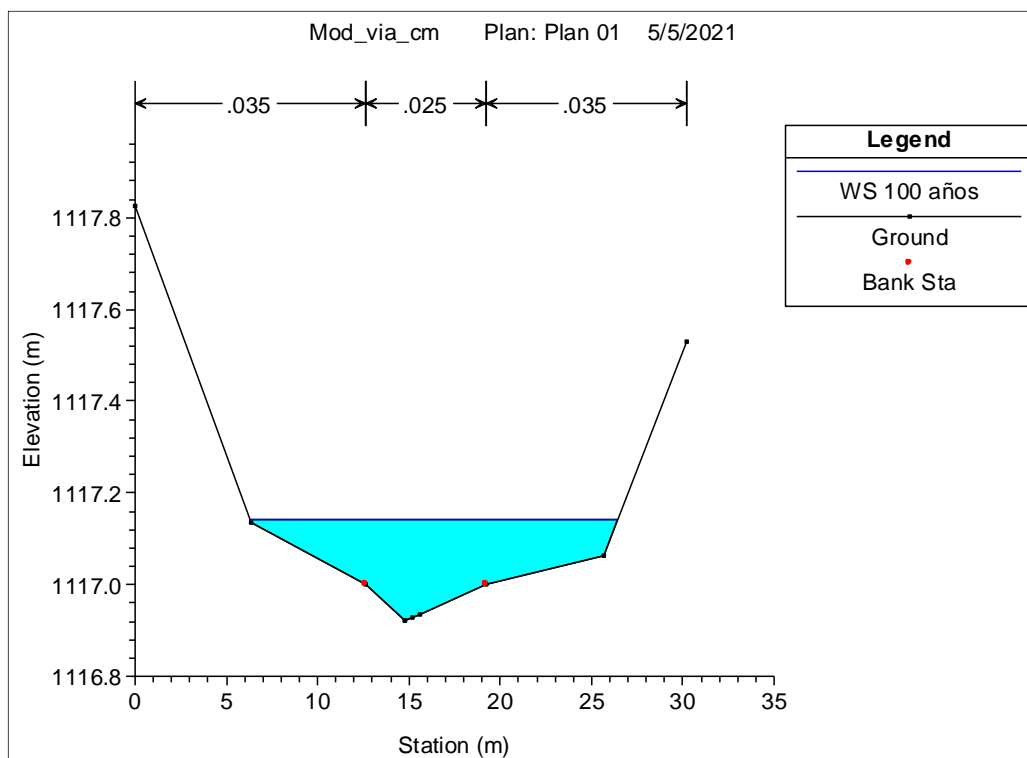


Figura 255. Sección 0+036.27, obtenida del programa HEC-RAS

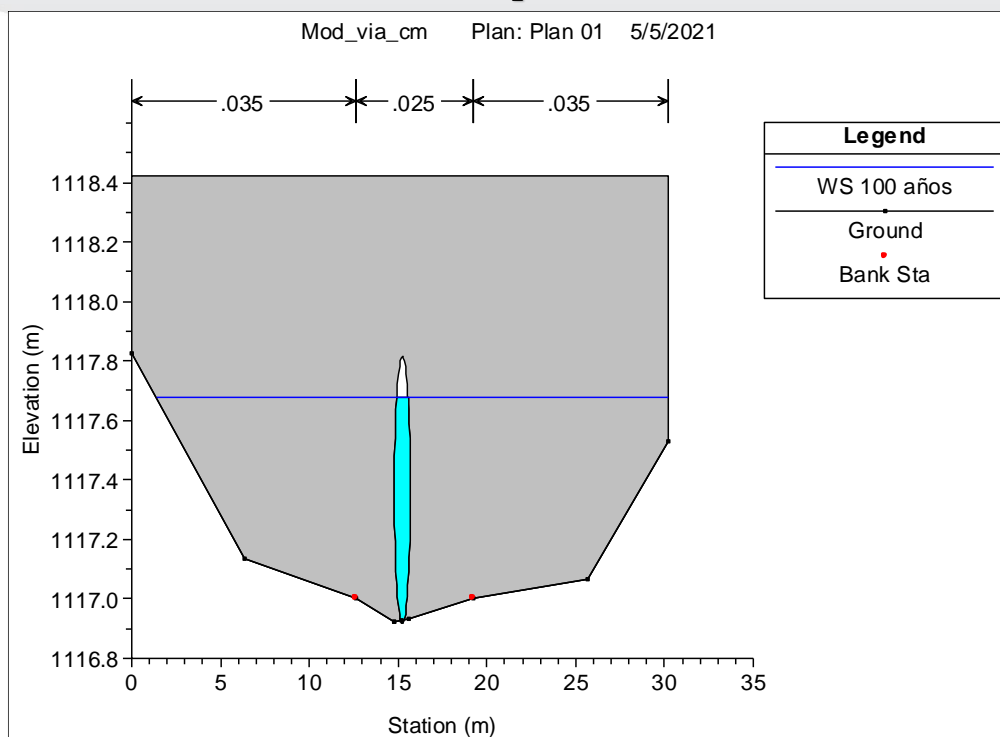


Figura 256. Sección 0+36.5 aguas abajo, obtenida del programa HEC-RAS

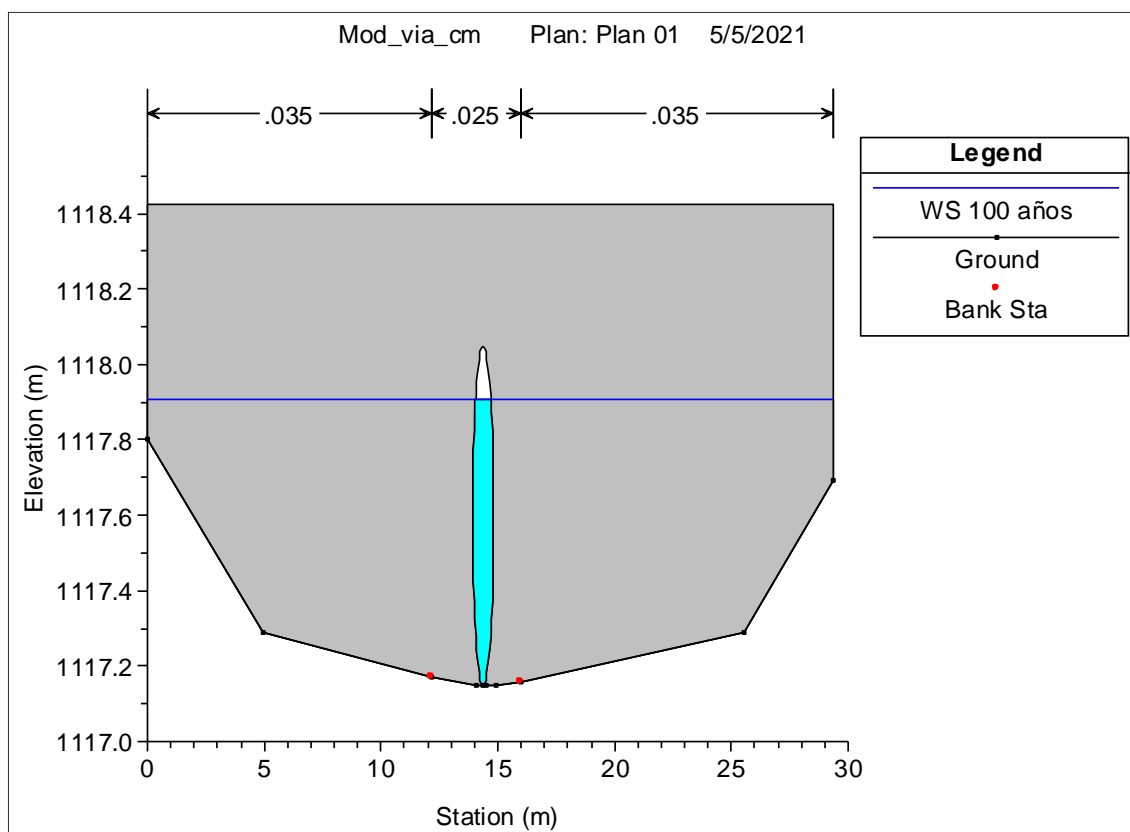


Figura 257. Sección 0+36.5 aguas arriba, obtenida del programa HEC-RAS

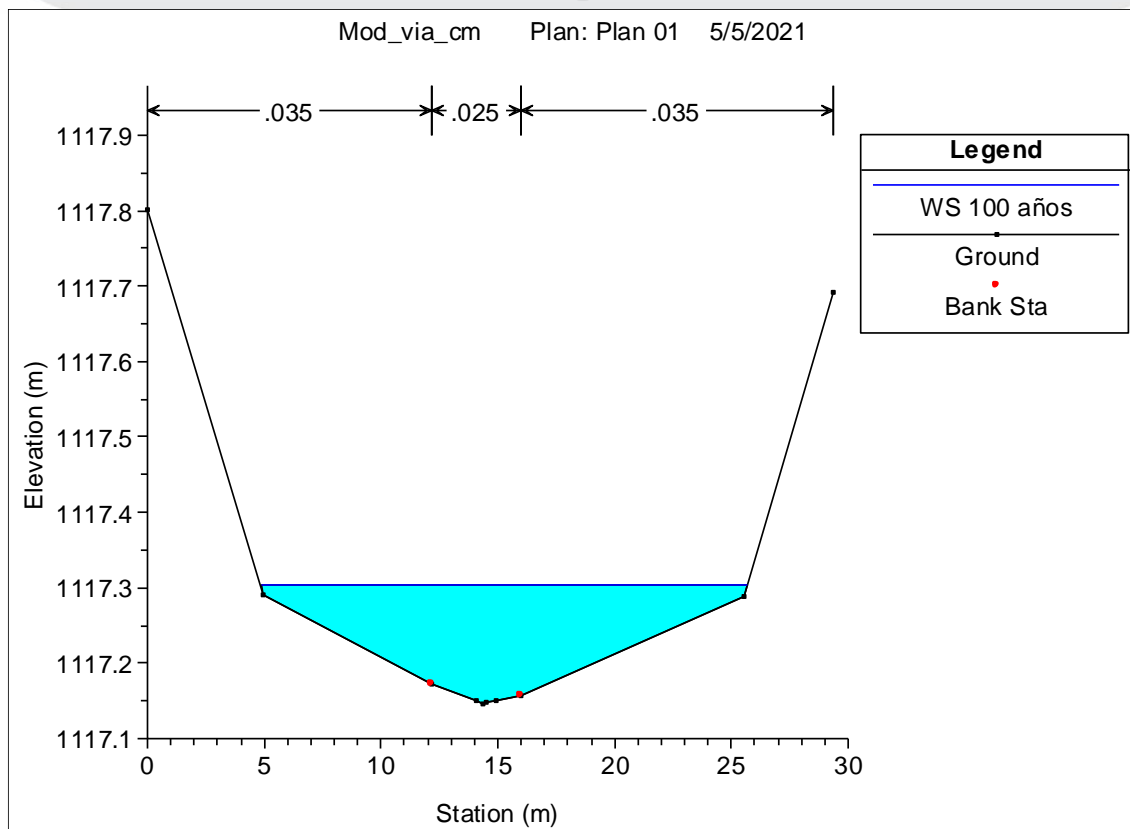


Figura 258. Sección 0+042.79, obtenida del programa HEC-RAS

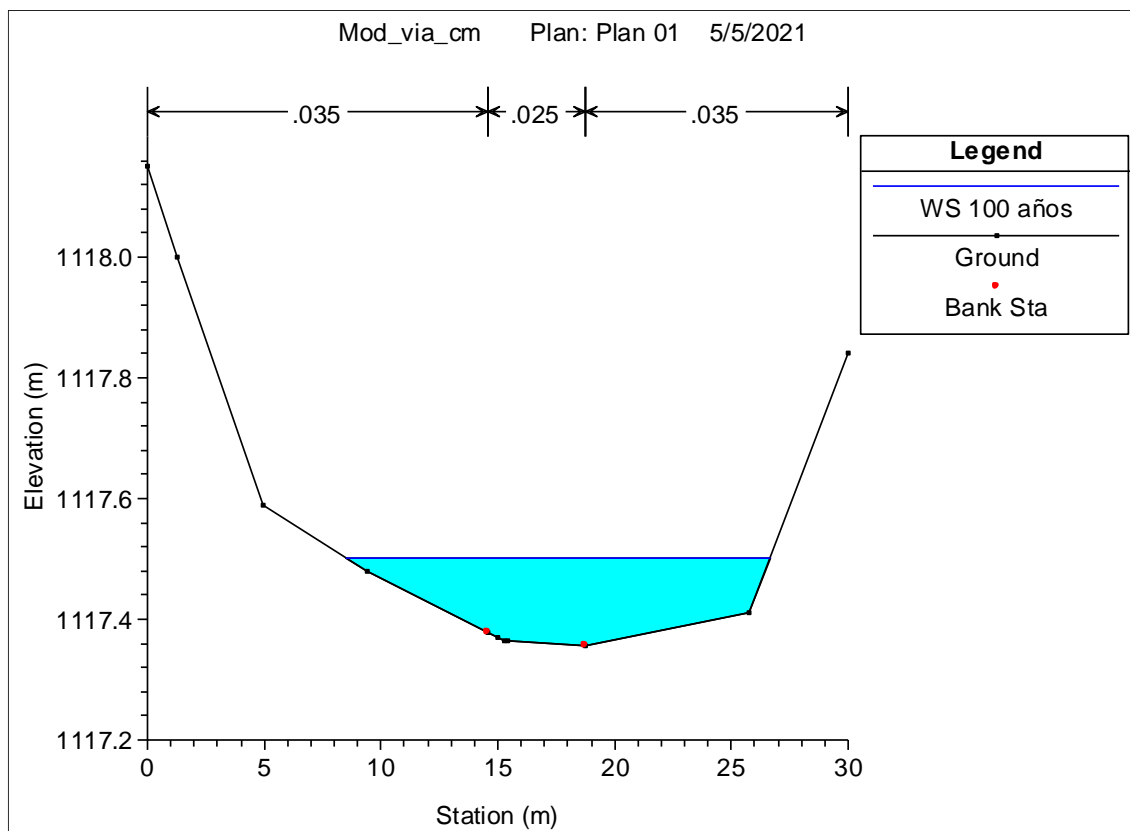


Figura 259. Sección 0+050.00, obtenida del programa HEC-RAS

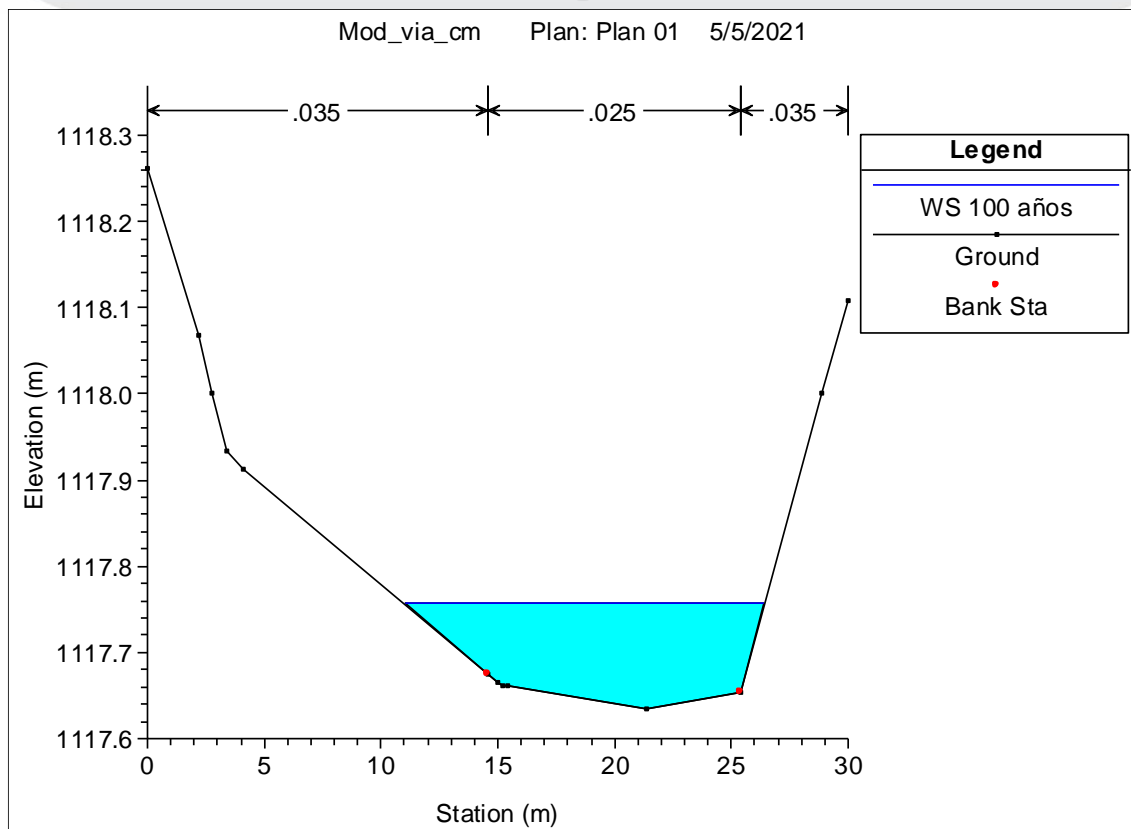


Figura 260. Sección 0+060.00, obtenida del programa HEC-RAS

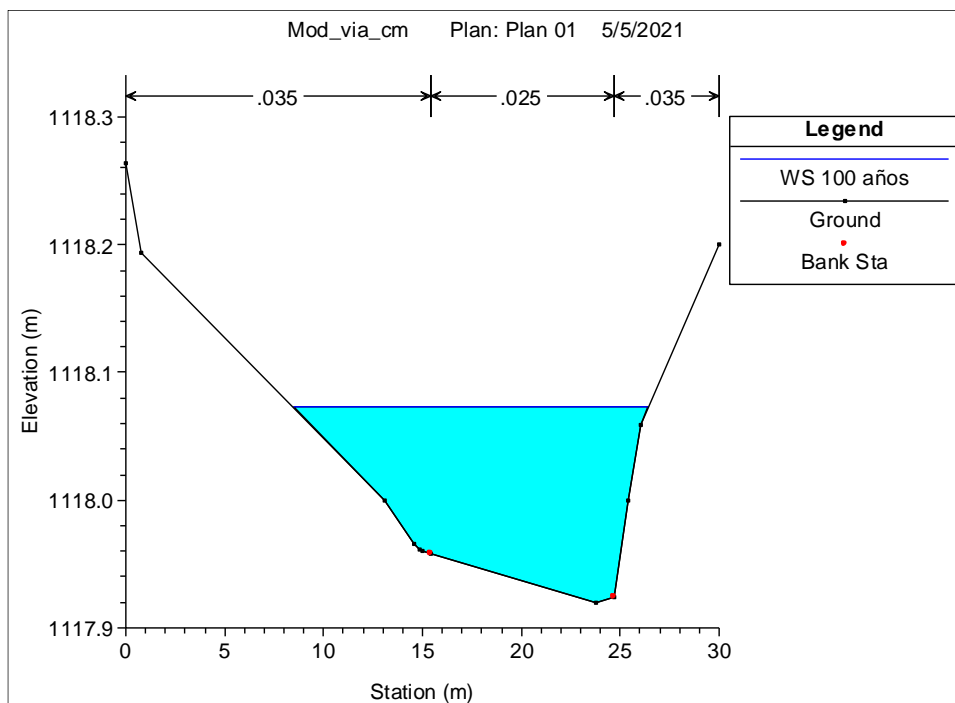


Figura 261. Sección 0+070.00, obtenida del programa HEC-RAS

**SECCIONES TRANSVERSALES DE LA Q. SIN NOMBRE - VÍA EXISTENTE A
CASA DE MÁQUINAS, CONDICIÓN ACTUAL**

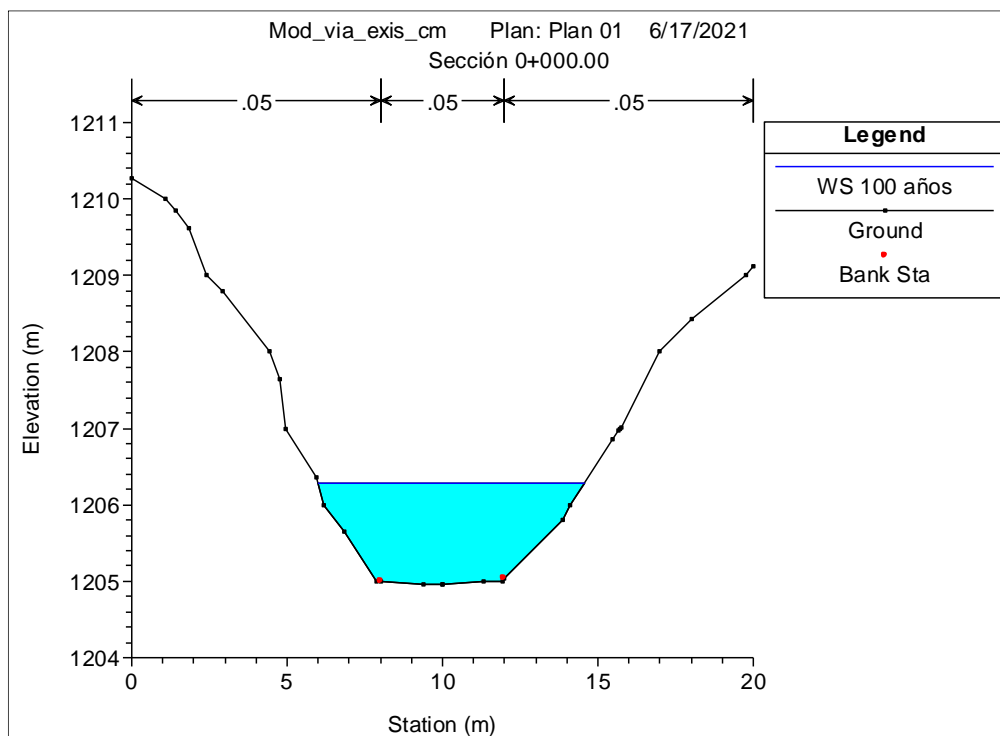


Figura 262. Sección 0+000.00, obtenida del programa HEC-RAS

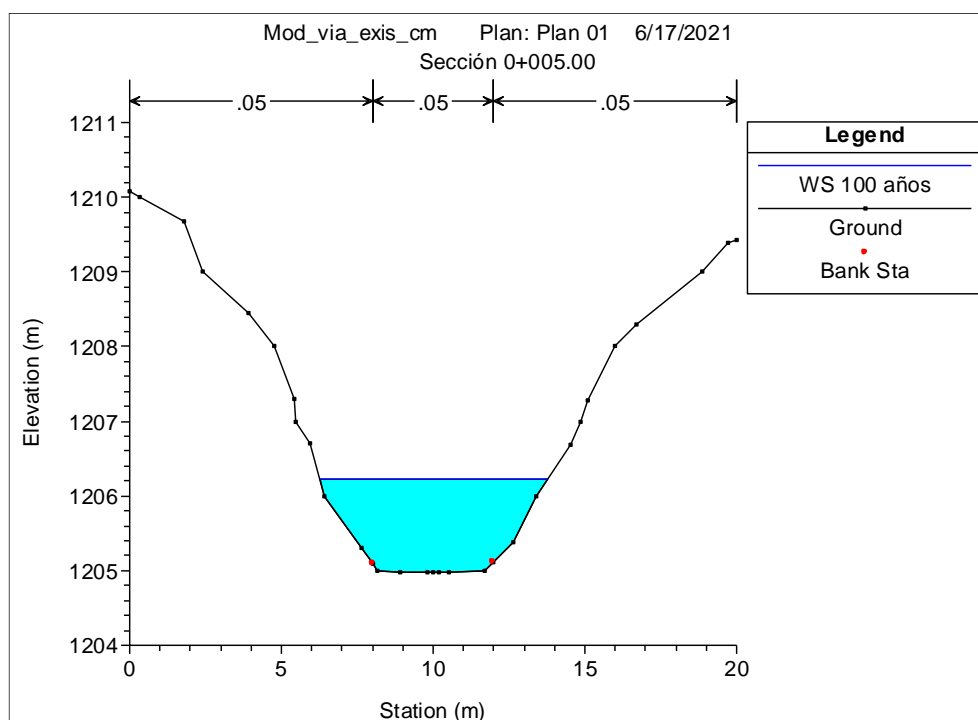


Figura 263. Sección 0+005.00, obtenida del programa HEC-RAS

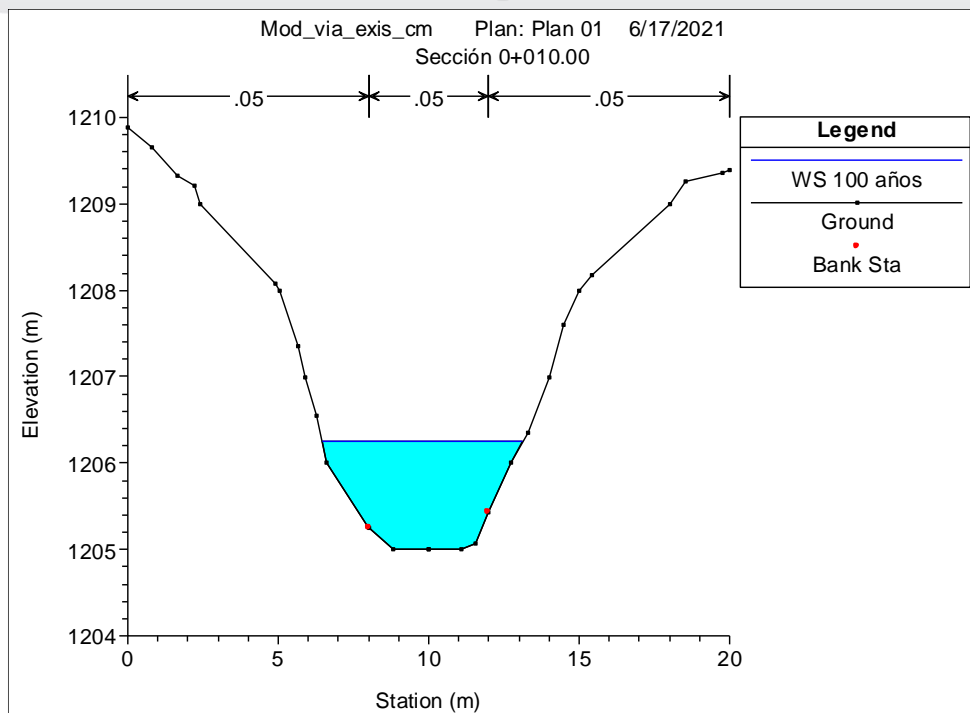


Figura 264. Sección 0+010.00, obtenida del programa HEC-RAS

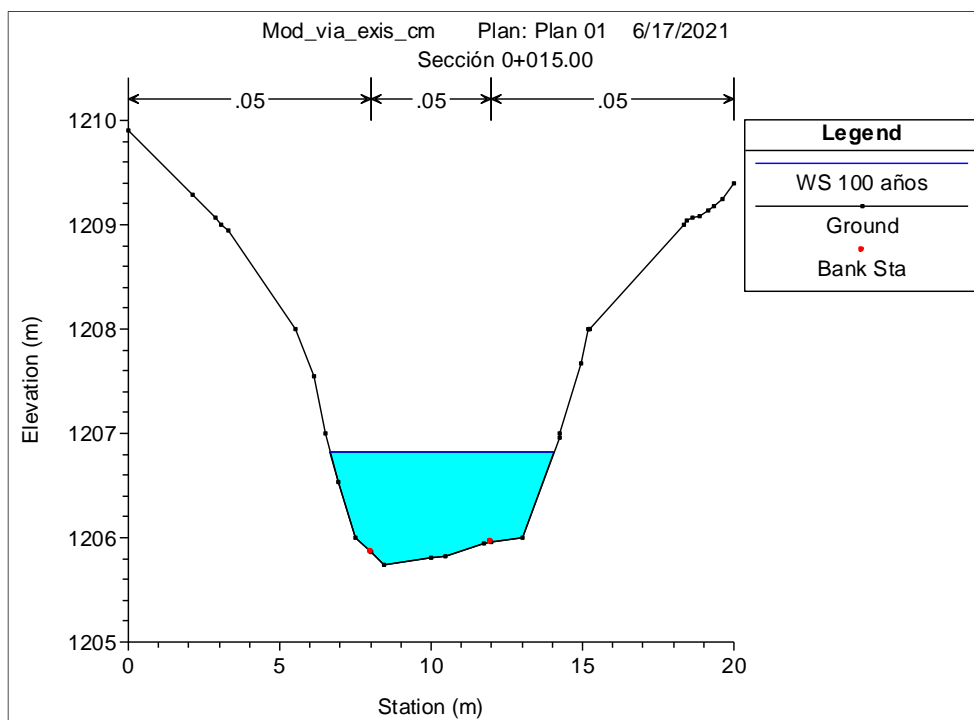


Figura 265. Sección 0+015.00, obtenida del programa HEC-RAS

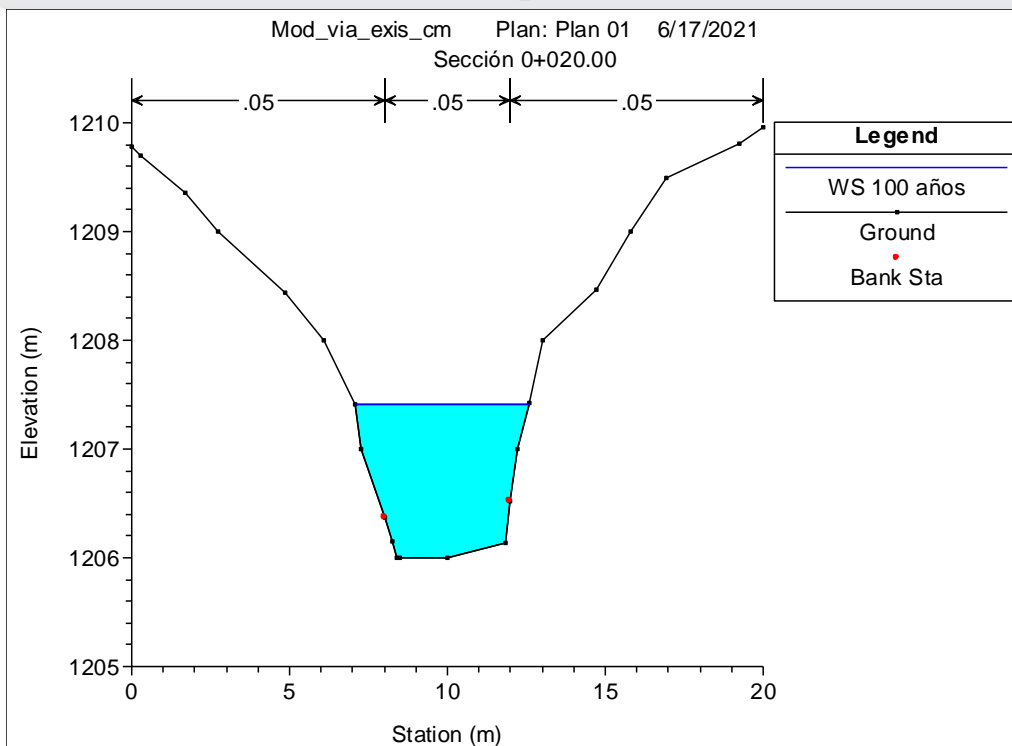


Figura 266. Sección 0+020.00, obtenida del programa HEC-RAS

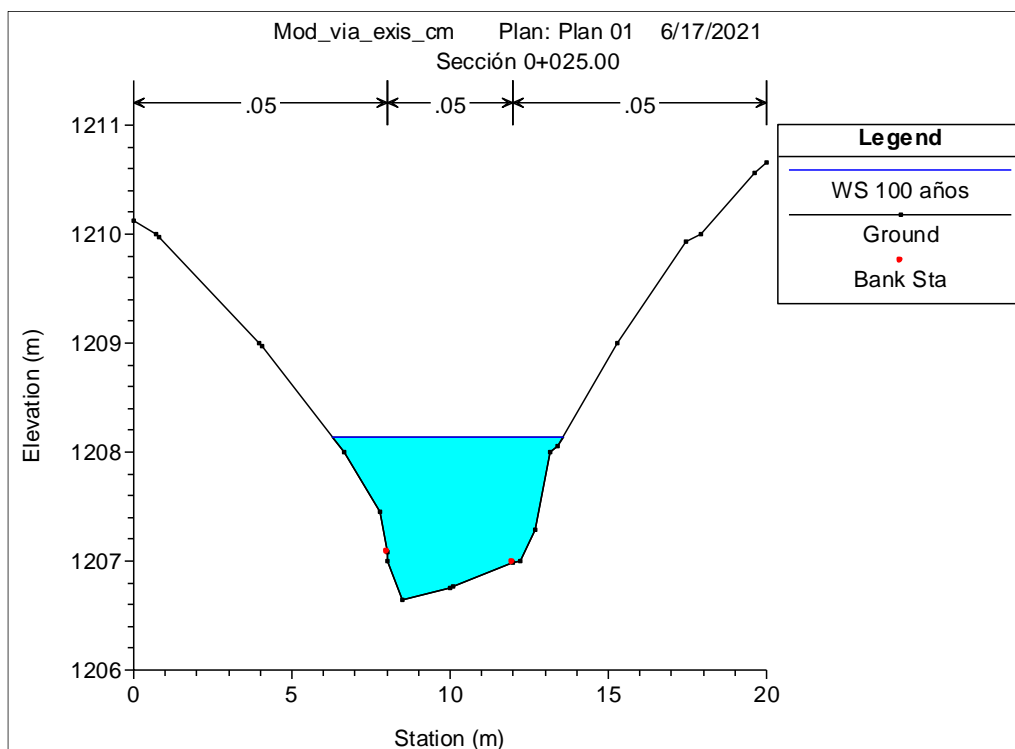


Figura 267. Sección 0+025.00, obtenida del programa HEC-RAS

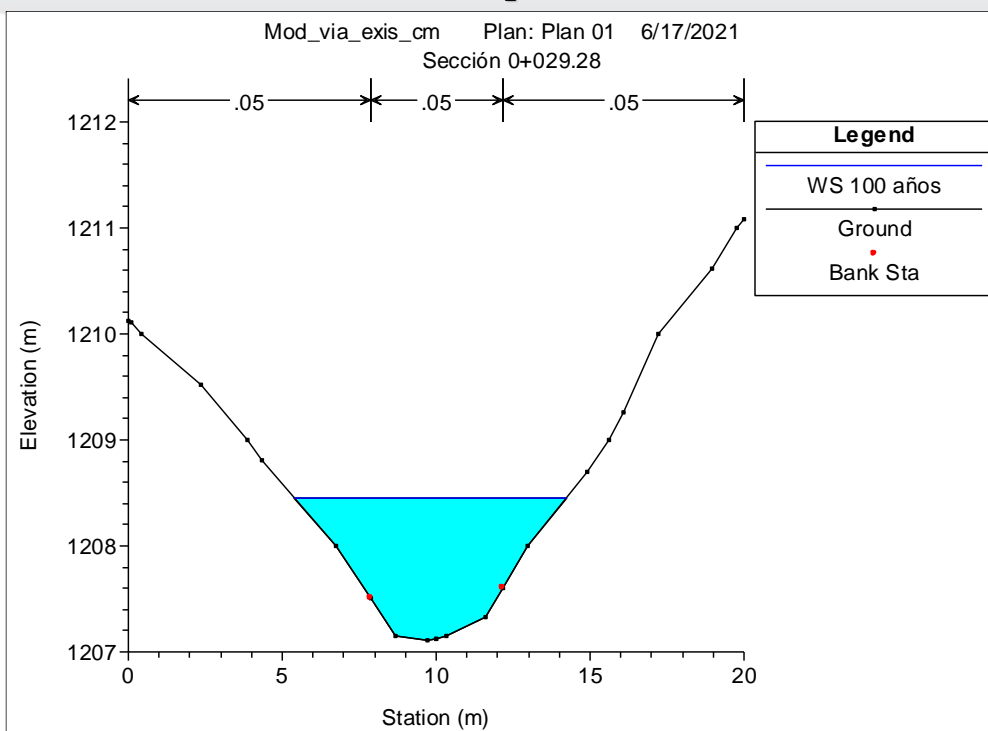


Figura 268. Sección 0+029.28, obtenida del programa HEC-RAS

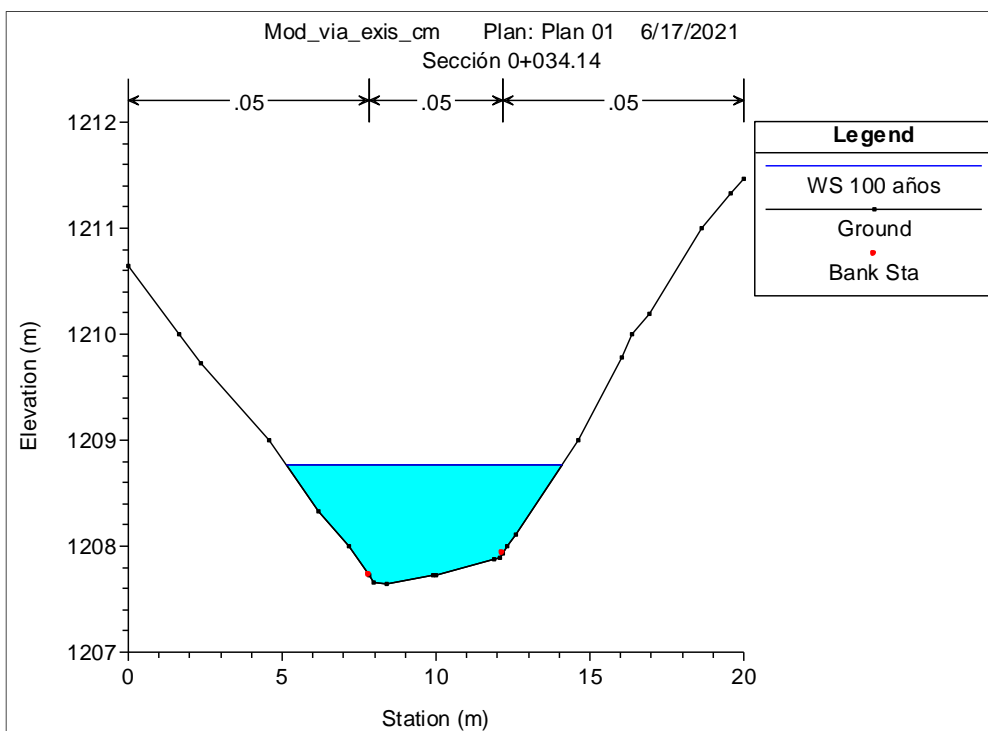


Figura 269. Sección 0+034.14, obtenida del programa HEC-RAS

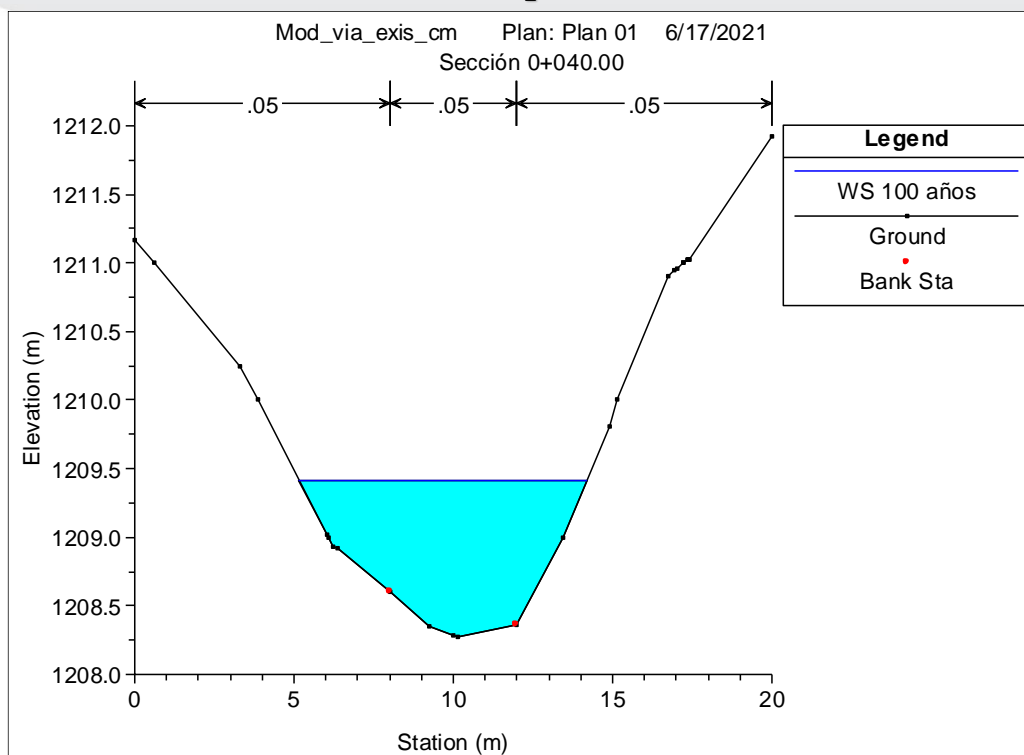


Figura 270. Sección 0+040.00, obtenida del programa HEC-RAS

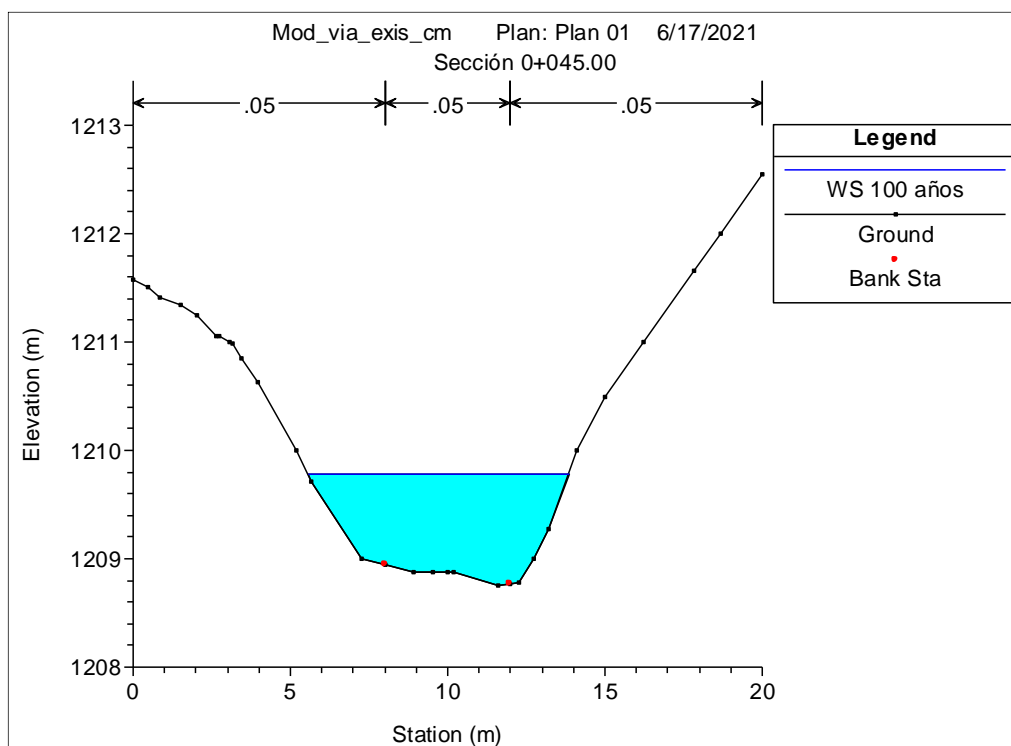


Figura 271. Sección 0+045.00, obtenida del programa HEC-RAS

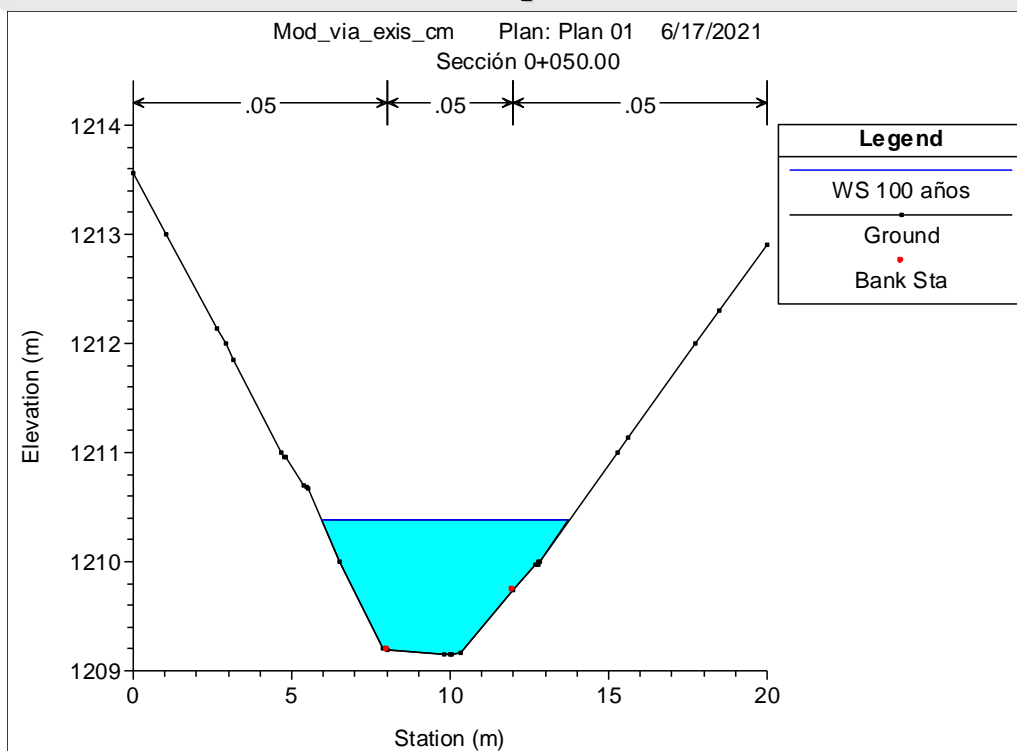


Figura 272. Sección 0+050.00, obtenida del programa HEC-RAS

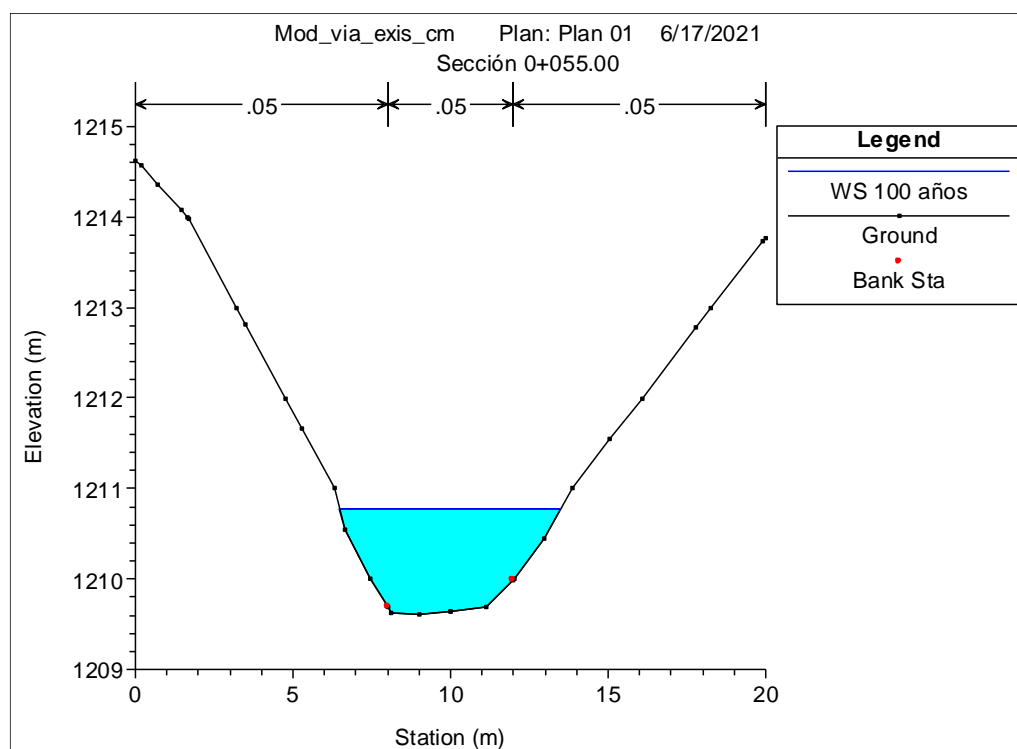


Figura 273. Sección 0+055.00, obtenida del programa HEC-RAS

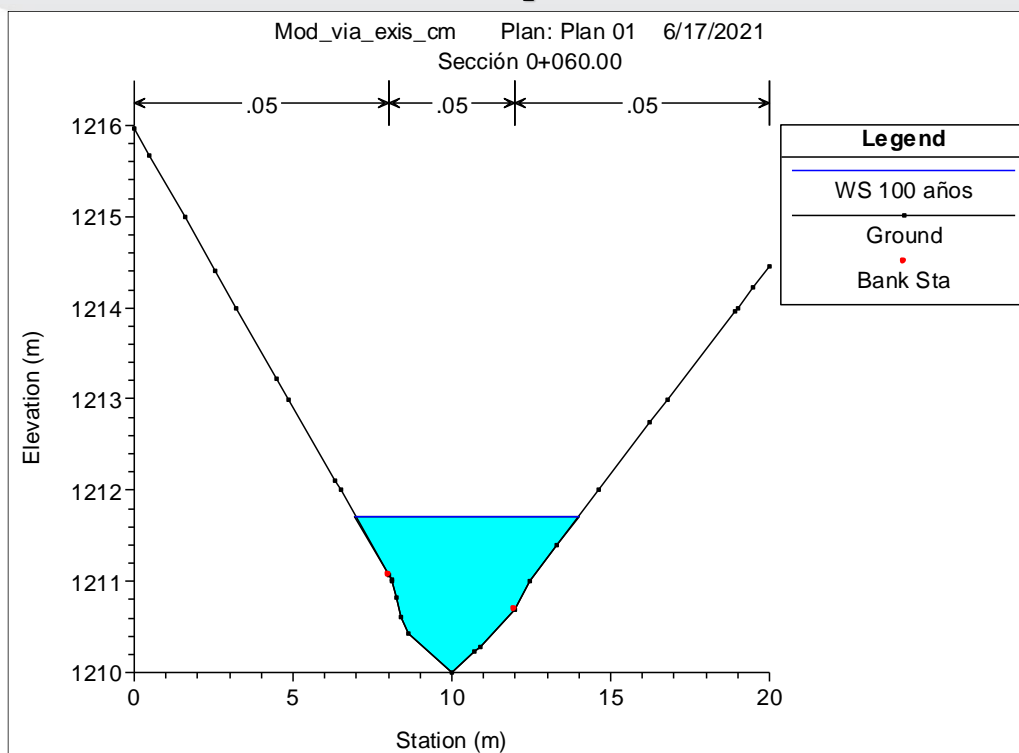


Figura 274. Sección 0+060.00, obtenida del programa HEC-RAS

**SECCIONES TRANSVERSALES DE LA Q. SIN NOMBRE - VÍA EXISTENTE A
CASA DE MÁQUINAS, CONDICIÓN A IMPLEMENTAR**

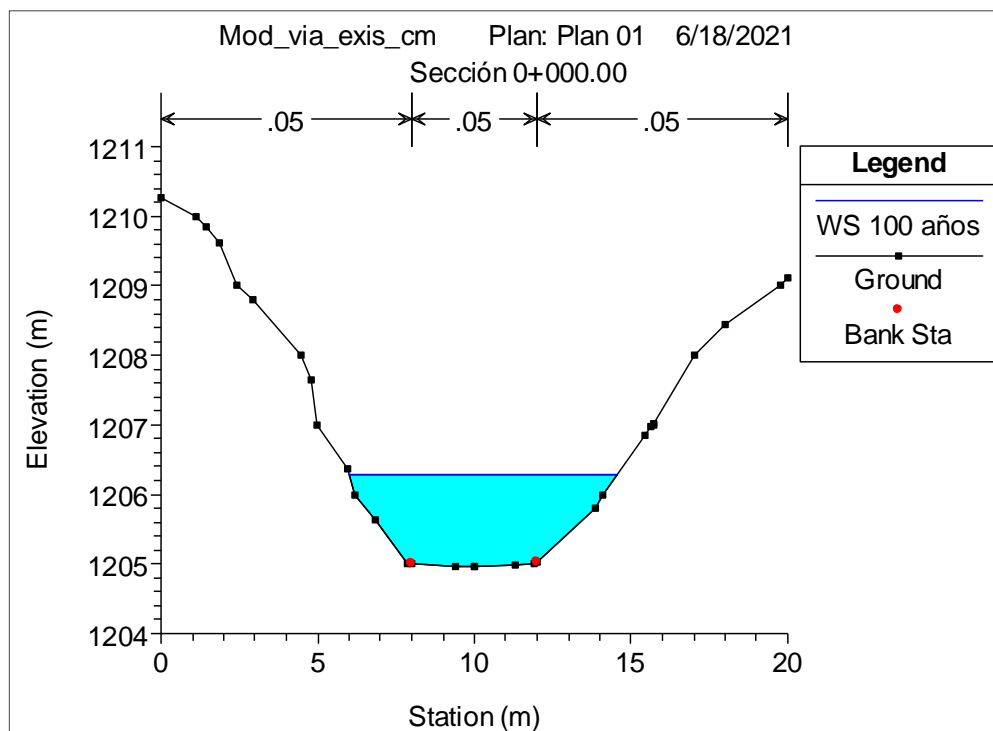


Figura 275. Sección 0+000.00, obtenida del programa HEC-RAS

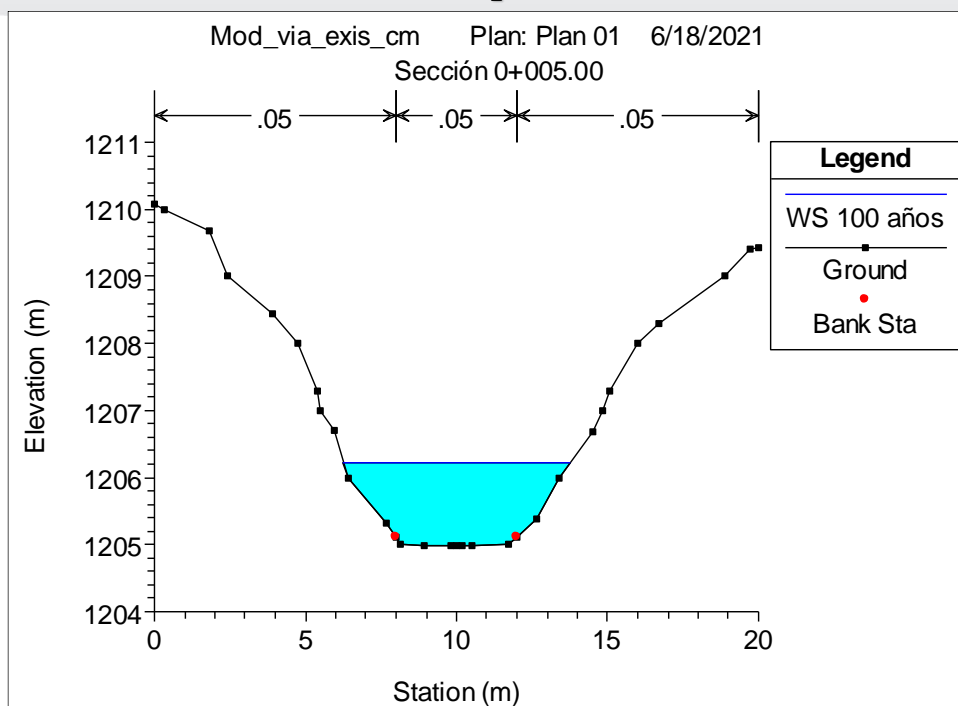


Figura 276. Sección 0+005.00, obtenida del programa HEC-RAS

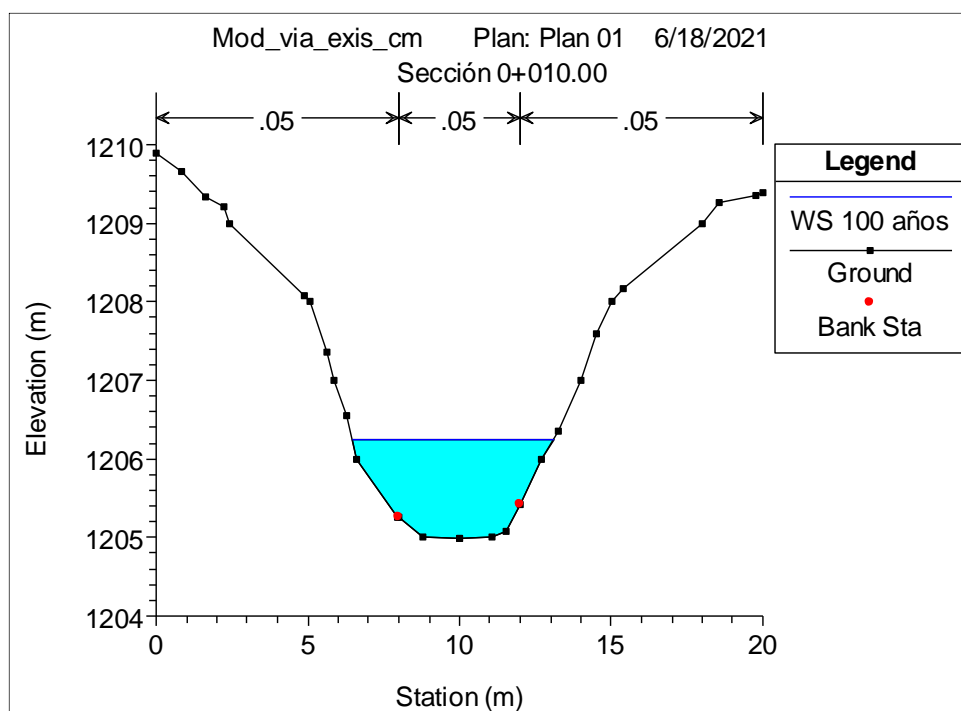


Figura 277. Sección 0+010.00, obtenida del programa HEC-RAS

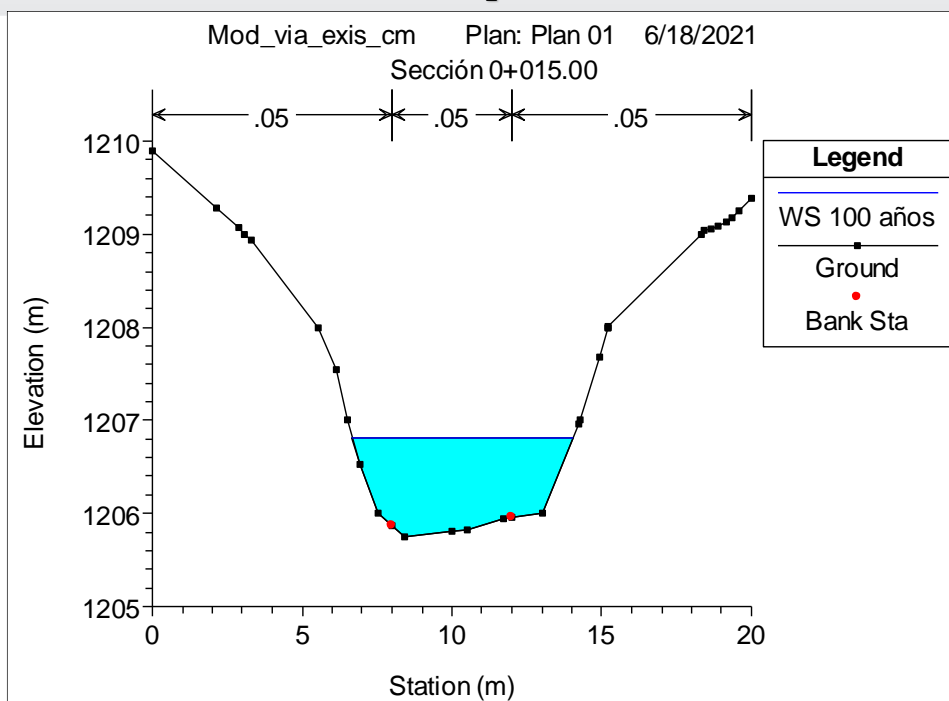


Figura 278. Sección 0+015.00, obtenida del programa HEC-RAS

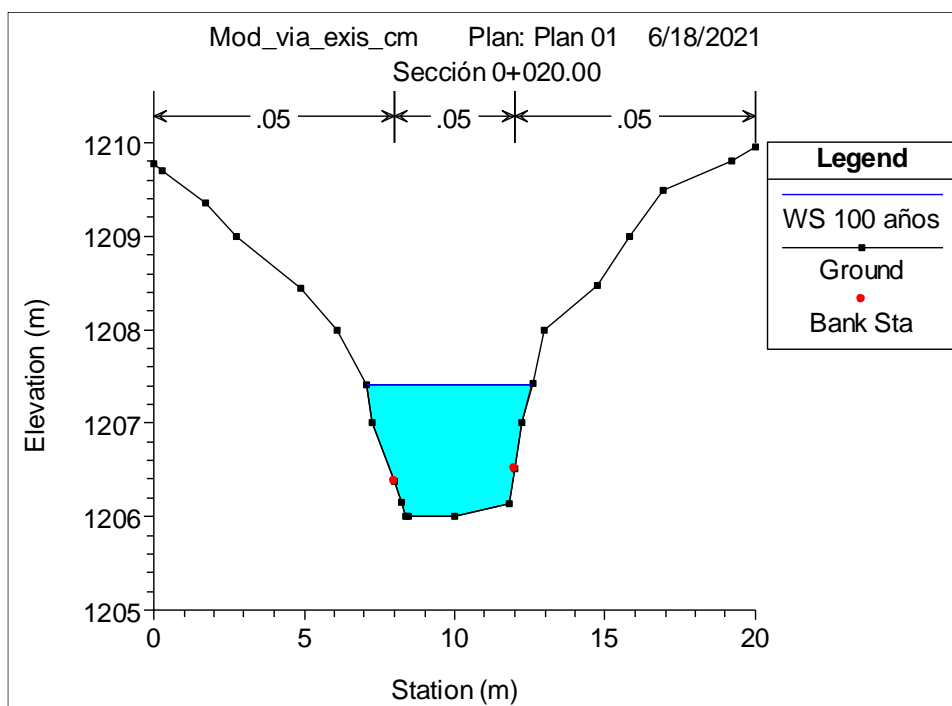


Figura 279. Sección 0+020.00, obtenida del programa HEC-RAS

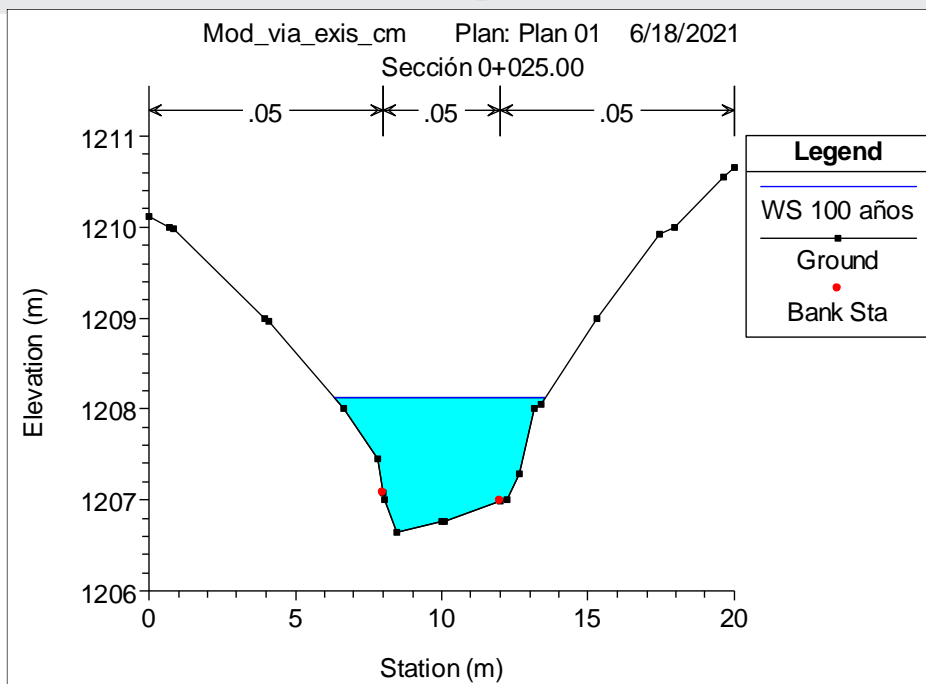


Figura 280. Sección 0+025.00, obtenida del programa HEC-RAS

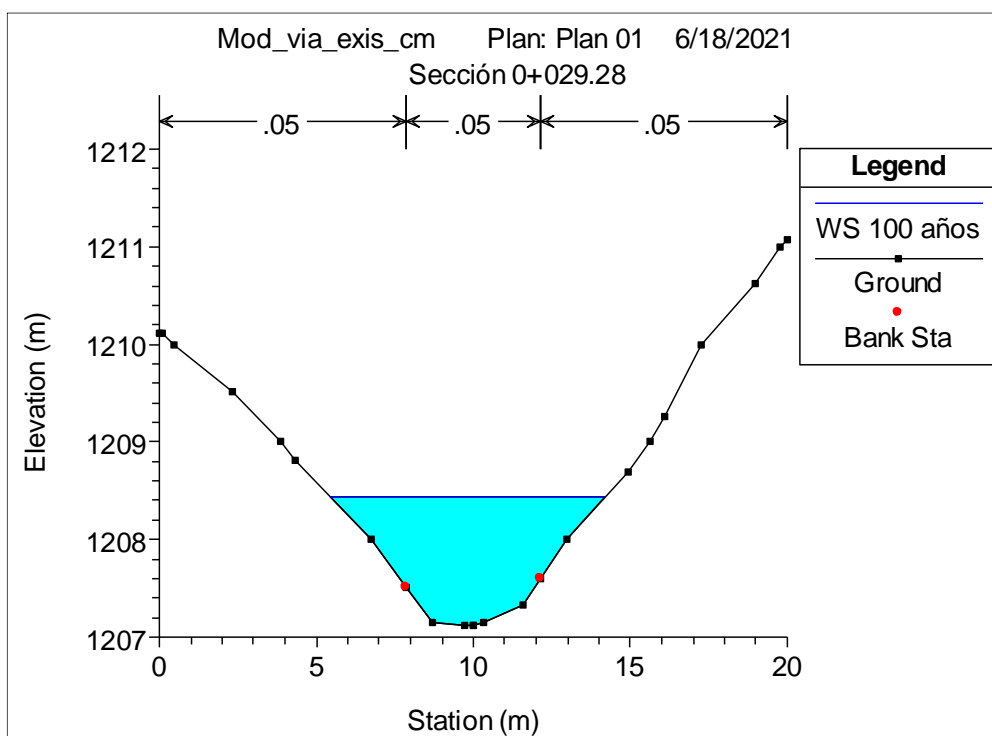


Figura 281. Sección 0+029.28, obtenida del programa HEC-RAS

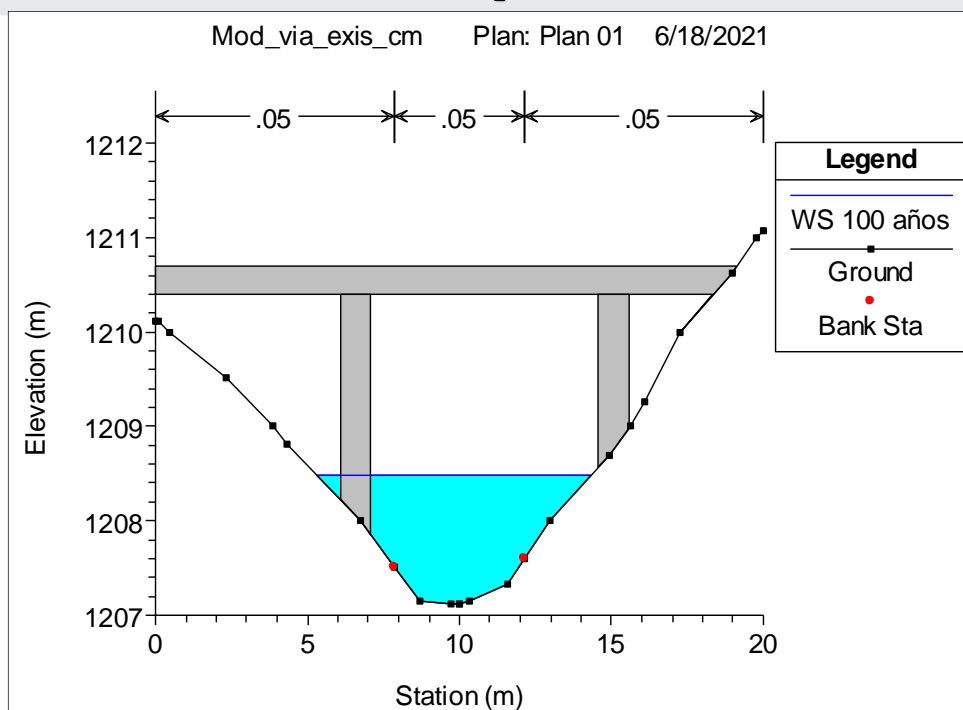


Figura 282. Sección 0+032.00 aguas abajo, obtenida del programa HEC-RAS

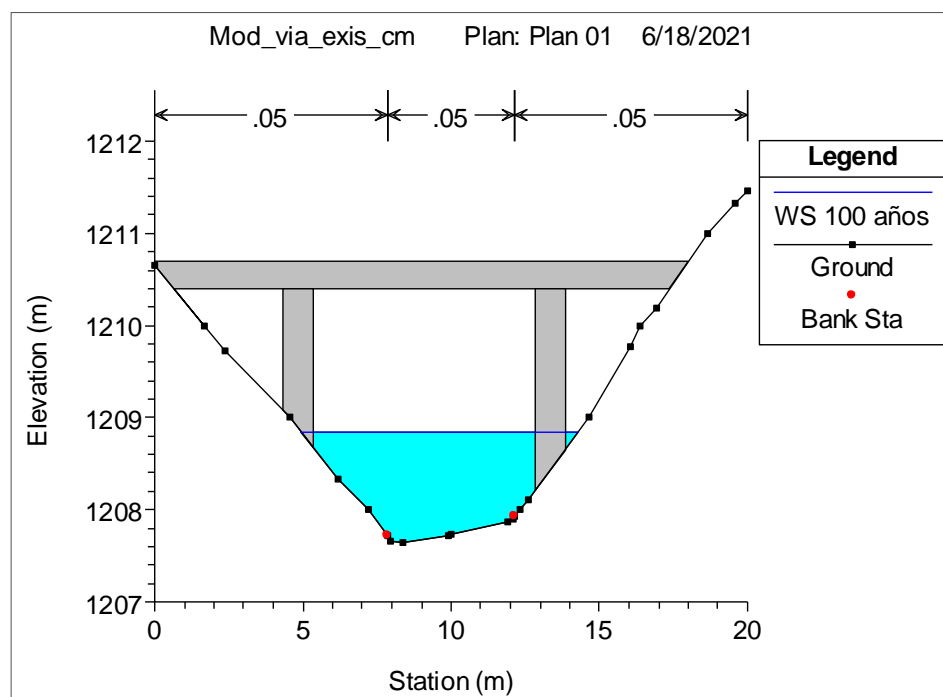


Figura 283. Sección 0+032.00 aguas arriba, obtenida del programa HEC-RAS

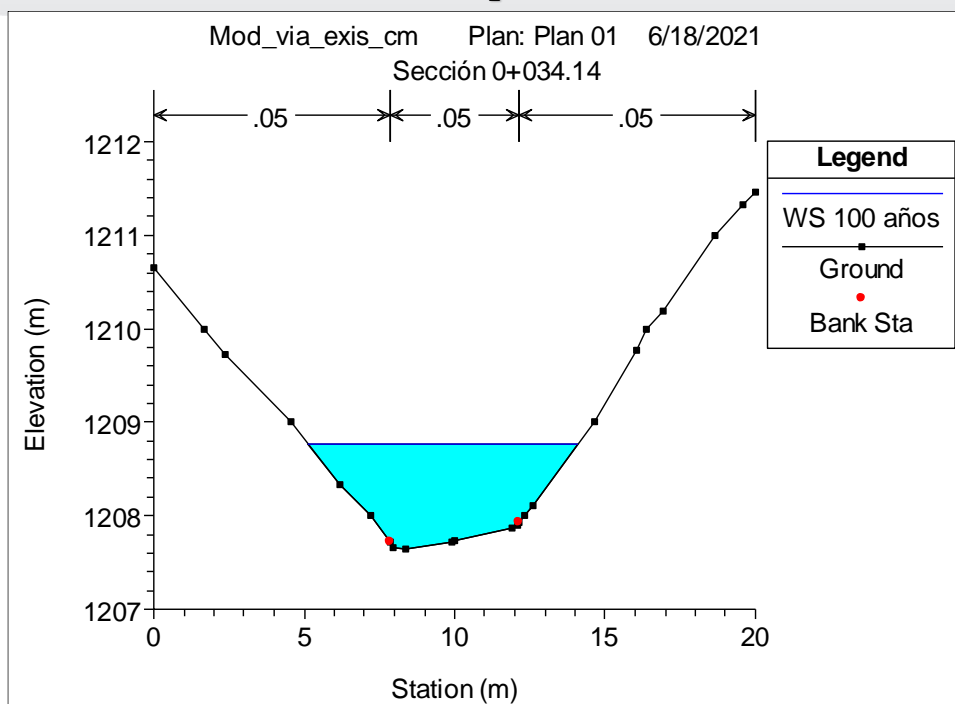


Figura 284. Sección 0+034.14, obtenida del programa HEC-RAS

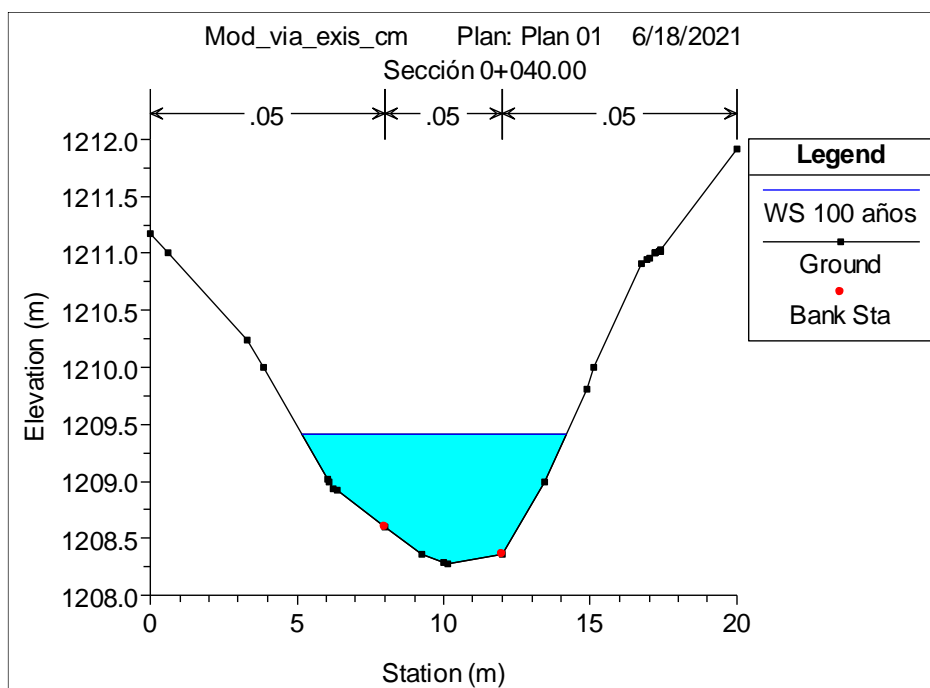


Figura 285. Sección 0+040.00, obtenida del programa HEC-RAS

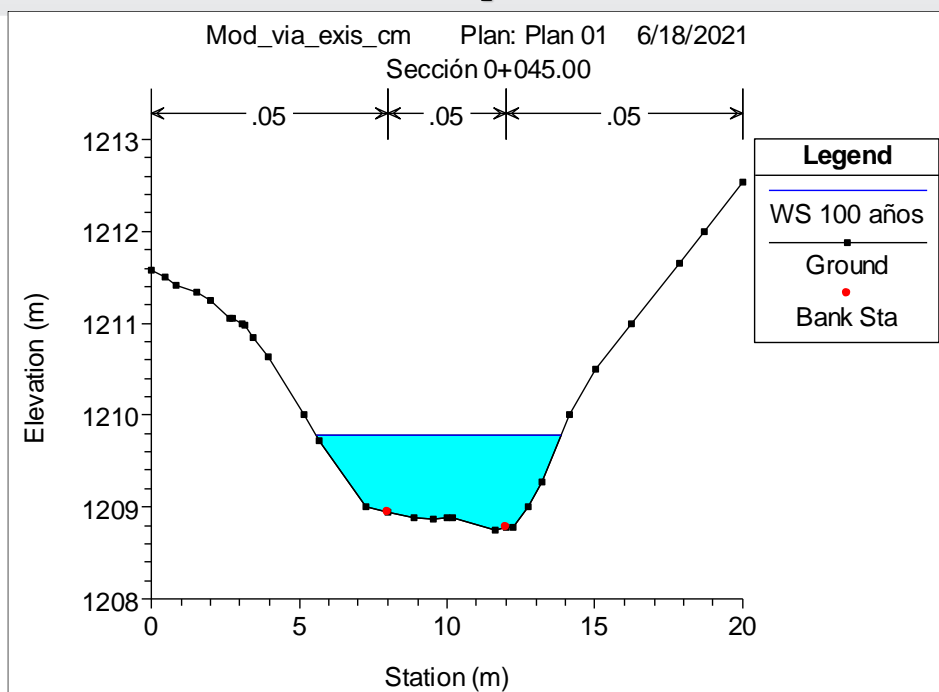


Figura 286. Sección 0+045.00, obtenida del programa HEC-RAS

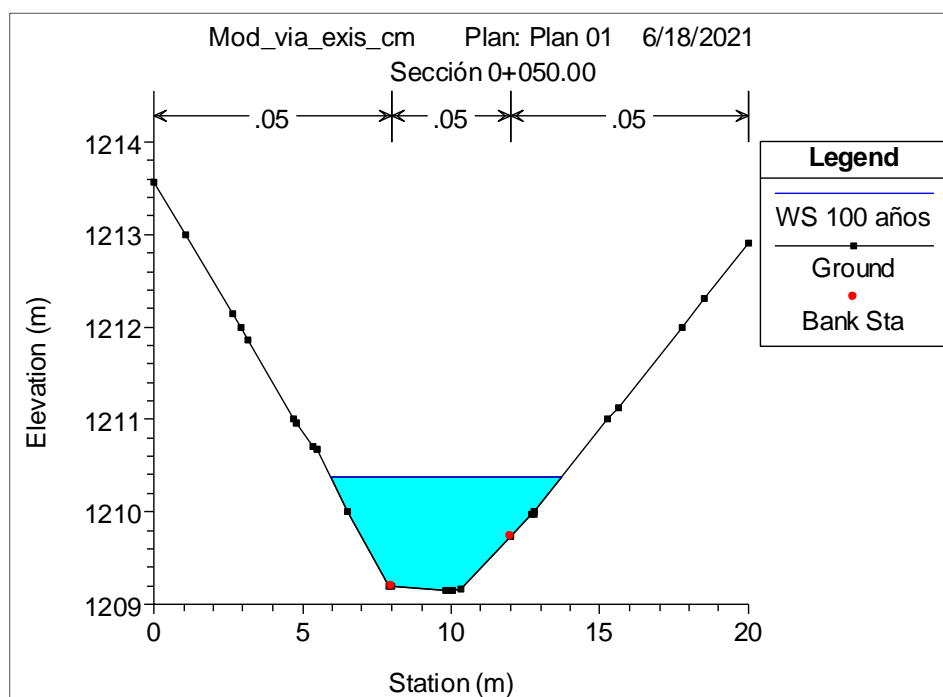


Figura 287. Sección 0+050.00, obtenida del programa HEC-RAS

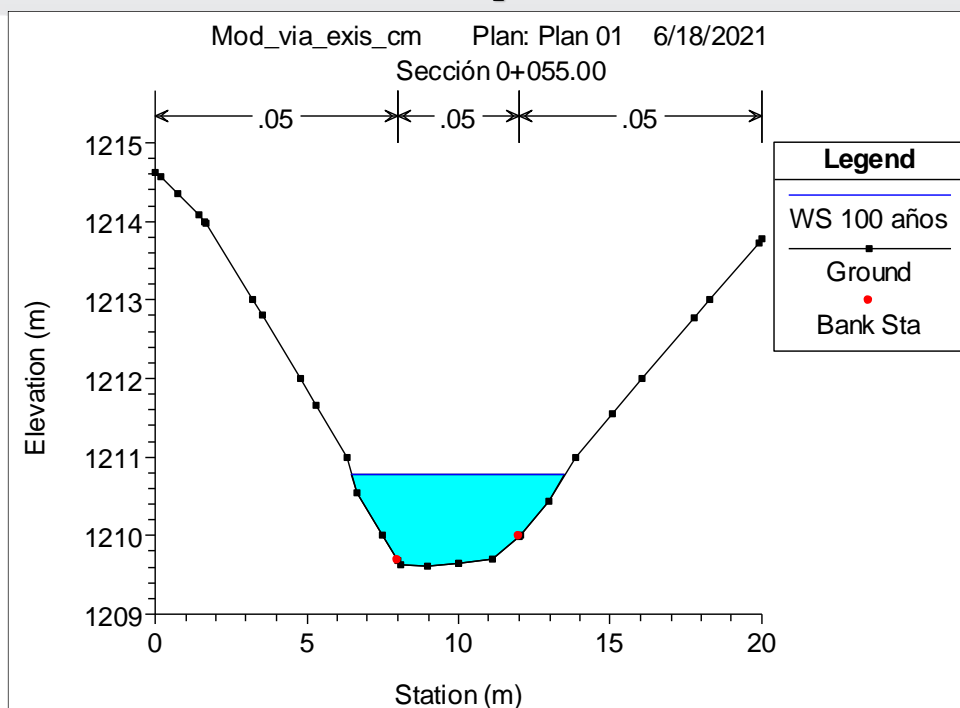


Figura 288. Sección 0+055.00, obtenida del programa HEC-RAS

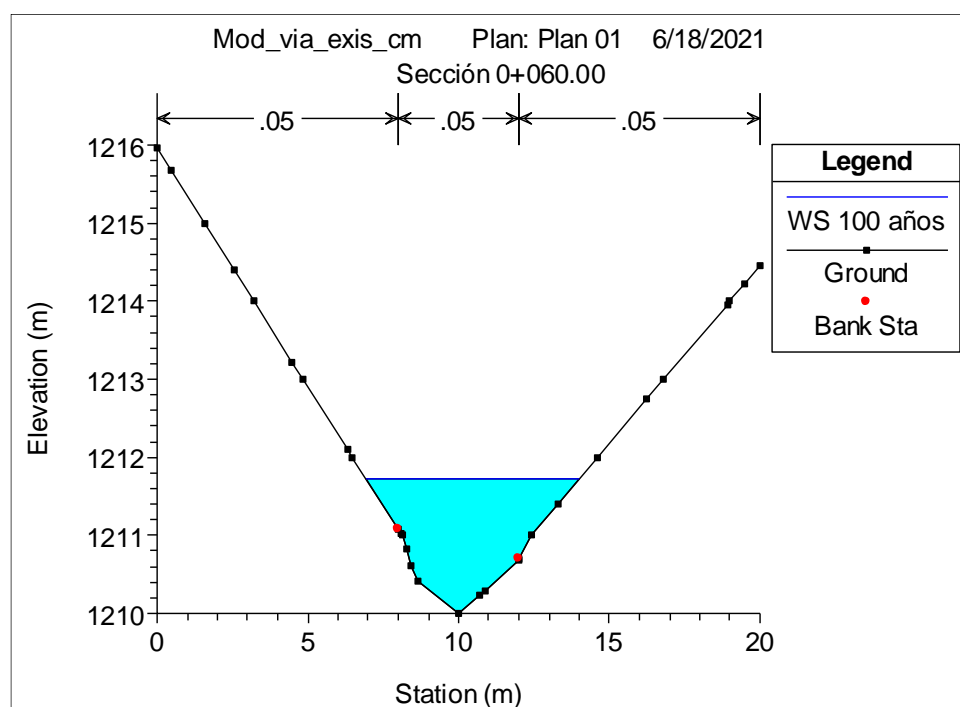


Figura 289. Sección 0+060.00, obtenida del programa HEC-RAS